



Instituto Tecnológico
GeoMinero de España

GRAVIMETRIA EN EXTREMADURA
APOYO GEOFISICO A INVESTIGACIONES
MINERAS

OCTUBRE 1989.

EXPEDIENTE Nº

--	--	--	--

ORGANICA Nº

PROGRAMA Nº

CONCEPTO Nº

--	--	--



MINISTERIO DE INDUSTRIA Y ENERGIA

40354

INDICE

	CAPITULO	PAGINA
INTRODUCCION -----	1	1
LCCALIZACION -----	2	1
GEOLOGIA REGIONAL -----	3	1
3-1 Introducción -----	3	1
3-2 Estratigrafía -----	3	3
3-3 Rocas igneas -----	3	5
3-3-1 Batolito de Alburquerque -----	3	6
3-3-2 Batolito de Cabeza Araya -----	3	7
3-3-3 Stoch de Albalá y Montanchez --	3	7
3-3-4 Apófisis del Trasquilón -----	3	8
3-3-5 Rocas básicas -----	3	9
3-4 Tectónica y metamorfismo -----	3	9
3-4-1 Sector Sur: El Sinclinal de La Codosera -----	3	12
GRAVIMETRIA -----	4	1
4-1 Esquema de trabajo -----	4	1
4-2 Equipo de personal y material -----	4	2
4-3 Topografía -----	4	3
4-4 Gravimetría -----	4	4
4-4-1 Obtención de la anomalía de Bouguer -----	4	9
- Cálculos -----	4	9
- Corrección lunisolar -----	4	9
- Corrección de deriva -----	4	10
- Cálculo de la G. teórica -----	4	10
- Cálculo de la D. de reducción	4	13
- Cálculo del efecto topográfico	4	16
4-4-2 Control de las mediciones y cálculos -----	4	17
- Control de deriva secular ----	4	17
- Control de lecturas del grav.	4	17
- Control en la ejecución de la corrección topográfica -----	4	18
4-4-3 Cálculo de la anomalía de Bouguer	4	20
ESTUDIO DE DENSIDADES -----	5	1
INTERPRETACION -----	6	1
MODELIZACION -----	7	1
APENDICE I - Fichero de datos.		
APENDICE II - Ficheros interpolados.		
APENDICE III - Listado para el cálculo de la densidad de reducción.		
APENDICE IV - Listado de la corrección topográfica lejana.		

INDICE DE FIGURAS

- FIGURA 1 - Situación general de la zona de trabajo (Extremadura)
- FIGURA 2 - Distribución del área en relación con las Hojas escala 1/50.000 del M.T.N.
- FIGURA 3 - Situación del área de estudio en el contexto geológico.
- FIGURA 4 - Zona de La Codosera.
- FIGURA 5 - Serie estratigráfica general.
- FIGURA 6 - Mapa de situación de los cuerpos graníticos y de muestras para estudio de densidades.
- FIGURA 7 - Esquema de enlaces de bases gravimétricas.
- FIGURA 8 - Descripción de la base B1.
- FIGURA 9 - Descripción de la base B2.
- FIGURA 10 - Descripción de la base B3.
- FIGURA 11 - Descripción de la base B4.
- FIGURA 12 - Gráfico de deriva secular en la base B2.
- FIGURA 13 - Gráfico de deriva secular en la base BF-16 (Cáceres).
- FIGURA 14 - Gráfico de deriva secular en la base B1.
- FIGURA 15 - Histograma de densidades para el cálculo de la densidad de reducción.
- FIGURA 16 - Mapa de distribución de densidades.
- FIGURA 17 - Histograma de repeticiones de lecturas del gravímetro.
- FIGURA 18 - Histograma de repeticiones en la corrección topográfica media.
- FIGURA 19 - Cálculo de densidades, histograma total.
- FIGURA 20 - Histogramas de densidades de los materiales Paleozoicos.
- FIGURA 21 - Histogramas de densidades en los materiales graníticos y materiales del C.E.G.
- FIGURA 22 - Mapa reducido de anomalías de Bouguer, con señalización de zonas anómalas.
- FIGURA 23 - Posibles modelos de relaciones entre los Stocks graníticos de Albalá y Plasenzuela.
- FIGURA 24 - Tendencias de fracturación al Sur del Batolito de Alburquerque y Sinclinal de La Codosera.
- FIGURA 25 - Modelo para el perfil Y4360R.
- FIGURA 26 - Modelo para el perfil Y4358R.
- FIGURA 27 - Modelo para el perfil Y4356R.
- FIGURA 28 - Modelo para el perfil Y4354R.
- FIGURA 29 - Modelo para el perfil Y4352R.
- FIGURA 30 - Modelo para el perfil Y4350R.
- FIGURA 31 - Modelo para el perfil X680R.
- FIGURA 32 - Modelo para el perfil X676R.
- FIGURA 32 - Modelo para el perfil X672R.
- FIGURA 34 - Modelo para el perfil X669R.
- FIGURA 35 - Modelo para el perfil X666R.
- FIGURA 36 - Modelo para el perfil X660R.

INDICE DE TABLAS

TABLA I - Repeticiones en la corrección topográfica lejana.

TABLA II - Densidades obtenidas experimentalmente en el sondeo T7. El Trasquilón.

TABLA III - Densidades obtenidas experimentalmente en el sondeo T6. El Trasquilón.

TABLA IV - Densidades obtenidas experimentalmente en la zona de Albalá en muestras de superficie.

TABLA V - Densidades obtenidas experimentalmente en la zona de Alburquerque - La Codosera en muestras de superficie.

PLANOS

PLANC I - Plano de anomalías de Bouguer, escala 1/100.000 y equidistancia 1mGal.

CAPITULO 1
INTRODUCCIÓN

CAPITULO 1

INTRODUCCION

En el Servicio de Geofísica del I.T.G.E. se ha llevado a cabo, a cargo del proyecto "Trabajos geofísicos de apoyo a minería", la cobertura gravimétrica de un área de la Península Ibérica en Extremadura.

Este trabajo se encuadra en el proyecto "Development of new multidisciplinary techniques for mineral exploration in several areas of the western Iberian Peninsula", el cual, está financiado en parte por la comisión de la C.E.E.

Se trata de un proyecto de cooperación multinacional que esta siendo realizado entre diversos organismos públicos y empresas estatales, en el cual, el Instituto Tecnológico Geominero de España ostenta la responsabilidad del proyecto.

Entre las principales técnicas a utilizar destacan, teledetección estructural, control de lineamientos y análisis estructural sobre el terreno junto con la gravimetría así como estudios de litogeoquímica, geoquímica organica, paragénesis minerales, termoluminiscencia e inclusiones fluídas.

El objetivo de este proyecto conjunto es el de proporcionar nuevas guías de exploración de Au, Sb, W, Nb, Ta, Li, y U, en situaciones geológicas donde es conocido que aparecen en

concentraciones económicas o subeconómicas, así como el desarrollo de nuevos conceptos en relación con otros estilos de mineralización desconocidos.

La prospección grávimétrica, como otra de las técnicas multidisciplinarias empleadas, está enfocada al control estructural de las áreas investigadas y junto con la teledetección y el análisis estructural sobre el terreno, podrá ser integrada en un marco geológico de conjunto.

Los objetivos fundamentales por tanto, se han centrado en el estudio y determinación de grandes accidentes estructurales, (lineamientos mayores) en las rocas metamórficas, así como el control de la forma y extensión en profundidad de los cuerpos graníticos aflorantes o subaflorantes y su relación con las rocas encajantes.

Para llevar a cabo estos objetivos, la obtención del mapa de anomalías de Bouguer, constituye el punto de partida de la investigación, con las correcciones y cálculos que conlleva y que se desarrollan en capítulos posteriores.

En cuanto a la interpretación de los mapas de anomalías de Bouguer, se han diferenciado dos fases de estudio consecutivas:

- Interpretación cualitativa del mapa de anomalías de Bouguer, fijando las tendencias generales en la interpretación con una descripción general del Mapa.

- Interpretación cuantitativa de los perfiles derivados del mapa de anomalías de Bouguer.

Hay que precisar que no existe una única interpretación de los datos gravimétricos. Esta ambigüedad en la interpretación puede ser generalmente reducida procurando una integración de los datos geofísicos y geológicos. Así, hay que tener en cuenta que las posibles distribuciones de masa que generan una anomalía, tienen una serie de limitaciones, presentando unas condiciones concretas que se pueden establecer tanto mejor, cuanto más precisa sea la información que se posea de la geología regional.

Por tanto, se ha realizado en el capítulo 3, una síntesis de la geología regional, en la que se han considerado fundamentalmente aquellos aspectos geológicos más relevantes para la interpretación gravimétrica.

Por otra parte, teniendo en cuenta, que la interpretación cuantitativa de los perfiles de anomalías de Bouguer es más rigurosa cuanto más precisos sean los datos de las densidades de las rocas, se ha llevado a cabo un estudio complementario, que se desarrolla en el capítulo 5 y tiene como objetivo llegar a establecer, una aproximación lo más exacta posible al contraste de densidades real de las rocas que configuran la geología del área de estudio.

CAPITULO 2
LOCALIZACION

CAPITULO 2

LOCALIZACION

Geográficamente el área de estudio se sitúa en el Suroeste Peninsular, entre las Provincias de Cáceres y Badajoz (Fig.1).

A grandes rasgos forma una banda de 32 Km de ancho por 97 Km de largo y queda delimitada por las siguientes coordenadas U.T.M.:

A - x=656000; y=4370000

B - x=657000; y=4339000

C - x=753000; y=4371000

D - x=738000; y=4339000 (Fig.2).

La zona ocupa parcialmente las Hojas del M.T.N. a escala 1/50000: 702,703,704,705,727,728,729,730,750 y 751.

En la figura 2 se representa la situación del área en las Hojas del M.T.N. La configuración de la zona obedece a criterios puramente geológicos, abarcando zonas del Complejo Esquistoso Grauváquico que se consideran de interés y cuerpos graníticos que intruyen en estos materiales, así como la zona Sur, (Hojas 727, 729, 750 y 751) que comprende la estructura sinclinal de "La Codosera", cuyo interés es doble: por un lado desde el punto de vista geoestructural, ya que representa el límite entre las Zonas Centro-Ibérica y Ossa Morena, y, por otro lado, desde el punto de vista metalogénico y minero, por la gran variedad de indicios que aparecen en ella.

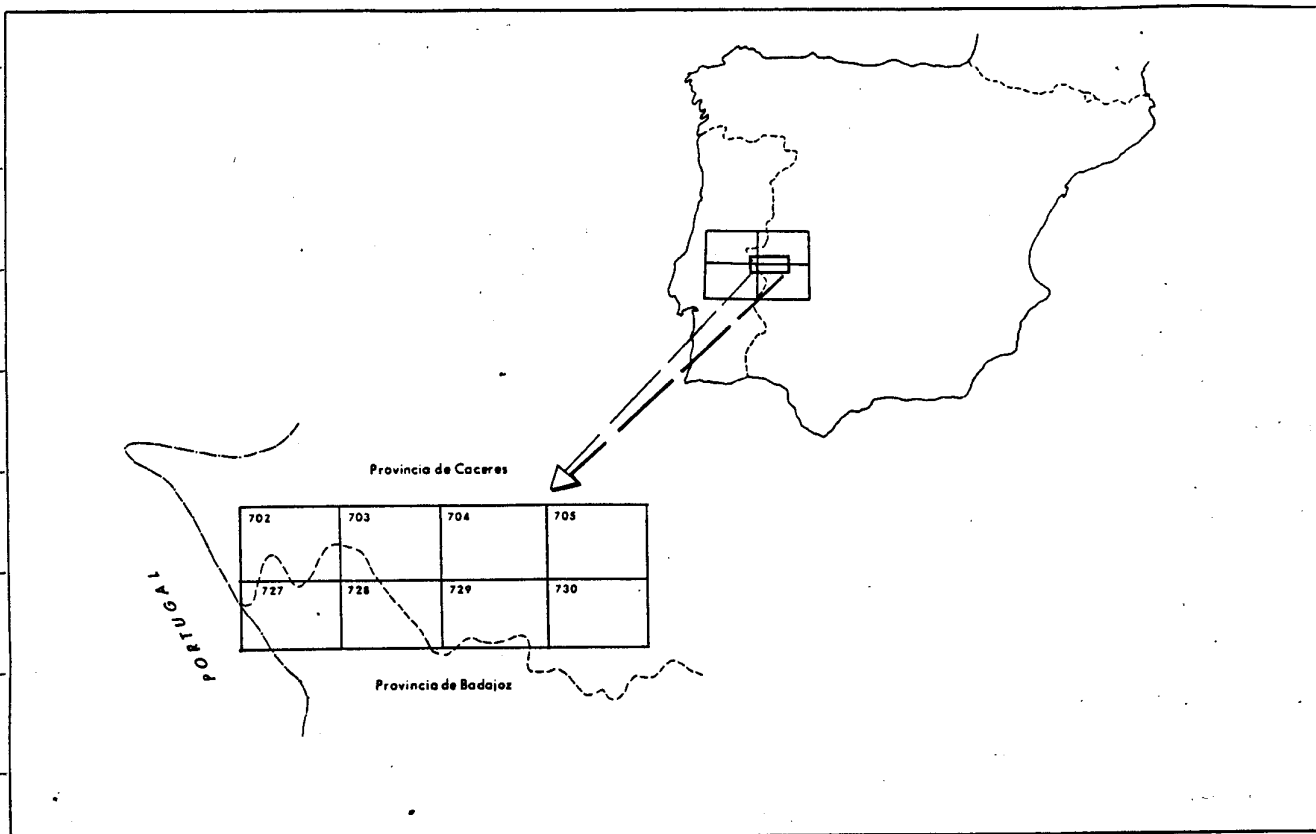


Fig.1.- Situación general de la zona de trabajo (Extremadura).

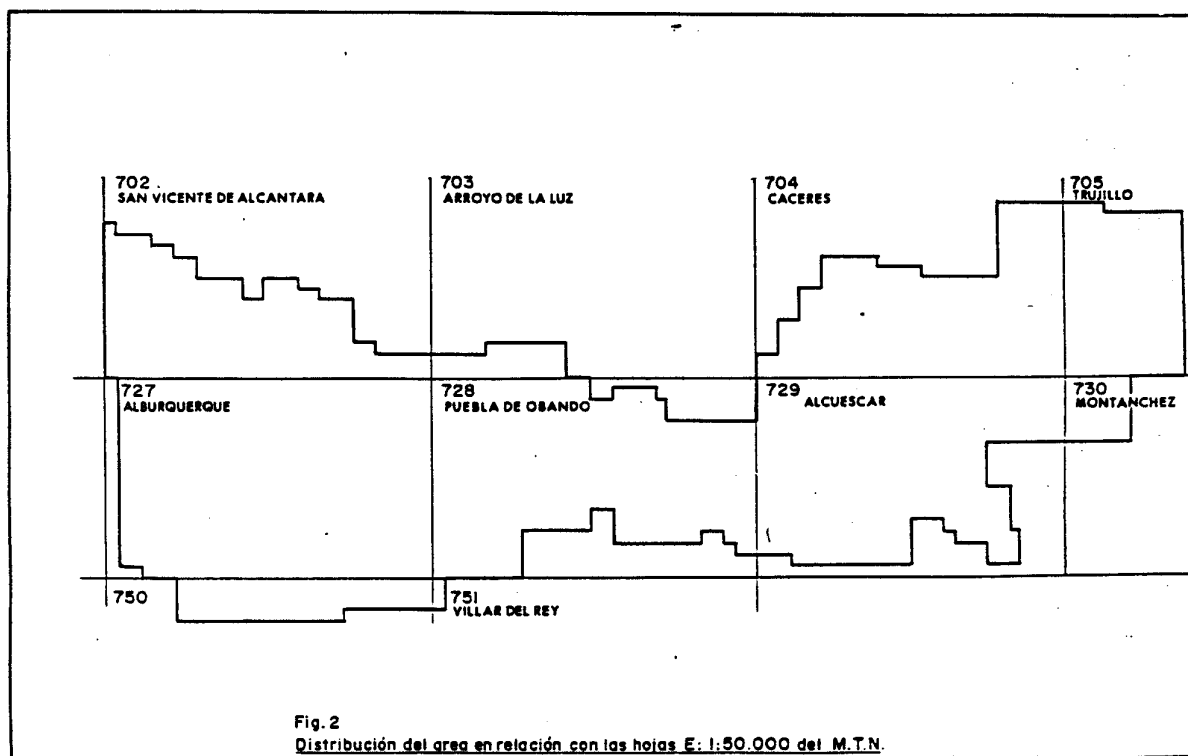


Fig.2
Distribución del área en relación con las hojas E: 1:50.000 del M.T.N.

Fig.2.- Distribución del área en relación con las Hojas E:1/50.000 del M.T.N.

CAPITULO 3
GEOLOGIA REGIONAL

CAPITULO 3

GEOLOGIA REGIONAL

3-1 INTRODUCCION

La base geológica que aquí se presenta, es una síntesis de la abundante información existente y está enfocada, dadas las características del método gravimétrico y la escala regional del trabajo, a resaltar los rasgos geológicos generales.

De acuerdo con la subdivisión de Julivert et. al. (1974) en Extremadura afloran materiales pertenecientes a las Zonas Centro-Ibérica y Ossa Morena, las cuales están separadas por la Zona de Cizalla Badajoz-Córdoba (Burg et. al. 1978; Le Fort y Ribeiro 1980). (Fig. 3).

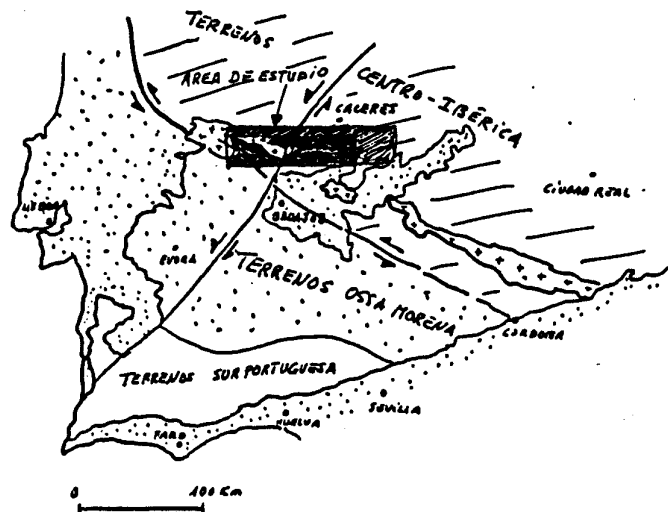


FIGURA.3.- Situación del área de estudio, en el contexto geológico.

Desde el punto de vista geoestructural, el área de estudio se sitúa en el límite sur de la Zona Centroibérica, y puede subdividirse en una serie de unidades tectonoestratigráficas bien definidas que además corresponden a dominios fisiográficos claramente identificables por teledetección.

1 - El Complejo Esquistó Grauváquico (C.E.G), constituido principalmente por pizarras y grauvacas que afloran predominantemente en la totalidad del área.

2 - Rocas graníticas que intruyen en el C.E.G.

3 - Materiales Paleozoicos, que son alternancias predominantemente de cuarcitas y pizarras.

4 - El Sinclinal de La Codosera propiamente dicho, cuyo núcleo está ocupado por rocas carbonatadas y pizarras del Devónico medio y se podría considerar una zona de transición entre las unidades Centroibérica y Ossa Morena, ya que presenta caracteres generales centroibéricos hacia el Norte, y rasgos de Ossa Morena en cuanto a deformación, los cuales van progresivamente aumentando hacia el Sur (Fig.4).

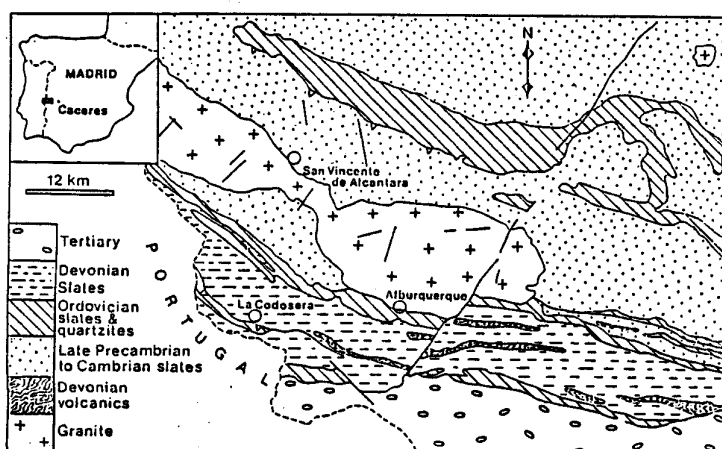


Fig.4.- Zona de La Codosera. (Gumiel et al. 1988. in lit.).

3-2 ESTRATIGRAFIA

El C.E.G está formado por una monótona secuencia de pizarras y grauvácas, la cual se puede subdividir en dos unidades separadas por una discordancia (Bouyx, 1970). La unidad inferior es de edad Proterozoica, y está constituida principalmente por una serie de pizarras y grauvácas, mientras que la unidad superior es más variada e incluye calizas, areniscas y conglomerados, y su edad se atribuye al Vendense y al Cámbrico Inferior. Las rocas microconglomeráticas deformadas o "porfiroides" (Formación Urra) que afloran al sur del Sinclinal de La Codosera pueden atribuirse a esta unidad. (Fig. 5).

El Paleozoico Inferior reposa discordante sobre el CEG y está constituido por una alternancia de cuarcitas y pizarras. La base está bien caracterizada por la Cuarcita Armoricana de edad Arenig y constituye un nivel guía cartografiable. Por debajo aparece esporádicamente una secuencia de pizarras, areniscas y conglomerados, de posible edad Tremadoc.

La sucesión de pizarras negras, areniscas y cuarcitas que se encuentra por encima de la Cuarcita Armoricana, contiene fauna de edad Ordovícica y Silúrica. Esta secuencia puede subdividirse y correlacionarse con la "Serie Tipo" del sinclinal de Almadén (Ortega, 1988). (Fig.5).

El Devónico comienza con un incremento en tramos areniscosos con enriquecimientos en Fe y un nivel de cuarcita de posible edad Siegeniense cerca de la base. Por encima, se encuentran las

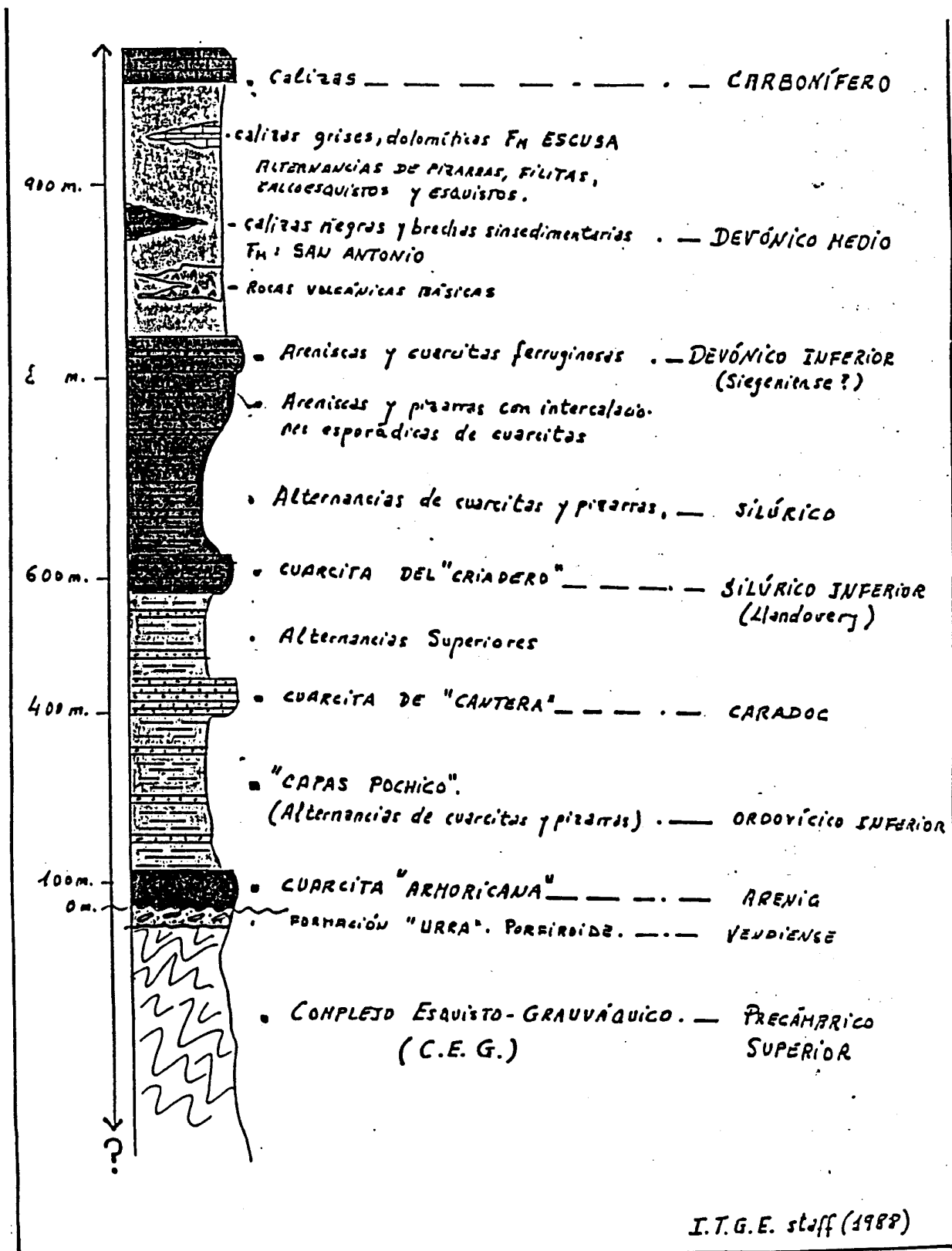


Fig.5.- Serie estratigráfica general.

pizarras grises-rojizas que caracterizan la zona de La Codosera y que forman el núcleo del Sinclinal, y los tramos carbonatados, con brechas sinsedimentarias, lutitas, cherts y rocas volcánicas, que dan lugar a una serie volcano-sedimentaria en la que encaja la mineralización de antimonio de San Antonio (Gumiel, 1982).

Por último, el Carbonífero Inferior está bien representado en el sinclinal de Aliseda, en donde se pueden distinguir dos unidades; una inferior volcano-sedimentaria, con areniscas, tobas y brechas de composición andesítica, y otra superior con calizas, que presentan abundante fauna.

3-3 ROCAS IGNEAS

Se incluyen en este apartado un conjunto de rocas graníticas que muestran una gran variedad de facies y pertenecen a diversos batolitos y plutones que afloran en la zona de estudio. Asimismo, se describen las rocas básicas asociadas por un lado al vulcanismo Devónico del Sinclinal de La Codosera y, por otro, las que aparecen a favor de la fractura Alentejo-Plasencia.

Dentro de los materiales graníticos, se han diferenciado los siguientes cuerpos plutónicos (Fig.6):

- Batolito de Alburquerque.(Fig. 6-1).
- Batolito de Cabeza de Araya.(Fig. 6-2).
- Stock de Albalá.(Fig. 6-3).
- Apófisis de El Trasquilón.(Fig. 6-4).

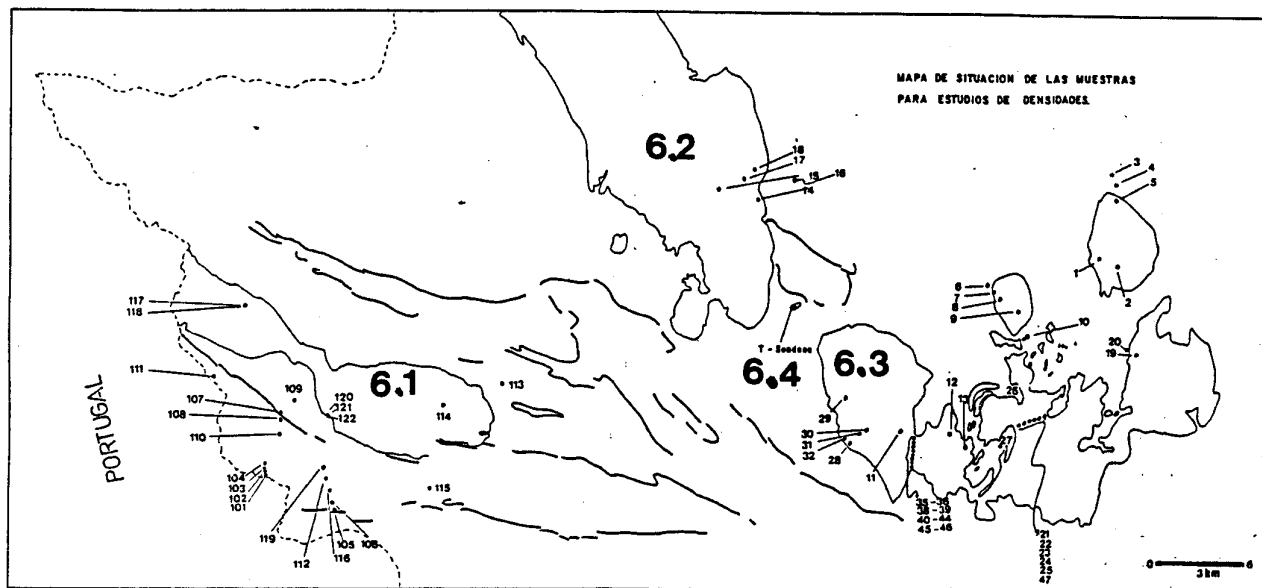


Fig.6.- Mapa de situación de los cuerpos graníticos y de muestras para estudios de densidades.

3-3-1 Batolito de Albuquerque.

El granito de Albuquerque intruye en los materiales del C.E.G y atraviesa las Estructuras Hercínicas presentando características de un granito tardihercínico. Se encuentra intensamente fracturado reconociéndose varios sistemas de fracturas NE-SE, NW-SE, E-W y N-S, siendo la primera la principal y mejor desarrollada en este área.(Fig. 6-1).

En la cartografía MAGNA se han diferenciado cinco facies diferentes:

- granito porfiroide de dos micas
- granito de dos micas de grano medio
- granito moscovítico de grano medio a fino
- granito aplítico con topacio
- granito aplítico de dos micas

3-3-2 Batolito de Cabeza de Araya.

El granito de Cabeza de Araya puede considerarse como un polintrusivo en el que existe una yuxtaposición de masas graníticas correspondientes a varios episodios magmáticos. (Fig. 6-2).

Petrográficamente, se han distinguido cuatro tipos de facies (Corretge, 1971):

- granitos de grano grueso y leucogranitos
- granitos biotítico-moscovíticos con megacristales de feldespatos
- granitos aplíticos alcalinos
- granitos, granodioritas y cuarzodioritas de dos micas

3-3-3 Stock de Albalá y Montánchez.

En base a la composición y edad relativa de emplazamiento, las rocas graníticas que constituyen el Stock de Albalá y Montánchez pueden clasificarse en dos series, serie alcalina y serie calcoalcalina. (Fig. 6-3).

Los materiales graníticos clasificados como de tendencia alcalina, intruyen discordantemente en las pizarras y grauvácas del CEG y ocupan la mayor parte del stock de Albalá y Montánchez.

En la serie alcalina se han diferenciado dos tipos de facies; granito de dos micas rico en cuarzo y granitos perfidicos de dos micas, asimismo existen numerosos diques aplíticos de potencia variable, entre centimétrica y métrica.

La serie de tendencia calcoalcalina es de composición cuarzodiorítica y/o granodiorítica. Son rocas de origen más profundo que las de la serie alcalina y probablemente su emplazamiento es más tardío. Estas rocas ocupan la parte suroriental del Macizo Granítico de Montánchez y, se muestran en ocasiones afectadas por deformación por cizallamiento ductil (Gumiel y Gil, 1988).

3-3-4 Apófisis del Trasquilón.

La cúpula granítica del Trasquilón es un ejemplo clásico de "apogranito" de gran interés metalogénico. La existencia de otros cuerpos de estas características, tanto en el CEG como en otros materiales, como por ejemplo en el Sinclinal de Cáceres, es de gran interés desde el punto de vista de la exploración y en su búsqueda y localización es de gran utilidad el empleo de métodos gravimétricos con una malla adecuada.

La cúpula granítica del Trasquilón está situada a 10 Km al sur del Sinclinal de Cáceres muy próxima al borde sur de esta estructura y entre los batolitos de Cabeza de Araya y Albalá. (Fig. 6-4).

Se trata de un cuerpo granítico de forma elipsoidal de 1100 por 750 m aproximadamente y probable forma cónica invertida, que atraviesa los materiales del CEG. En el granito se han diferenciado dos tipos de facies principales:

- Leucogranitos moscovíticos, a veces de carácter aplítico, que constituyen la facies principal.
- Granito de dos micas.

El granito del Trasquilón presenta notables procesos de alteración postmagmática (albitización, potasificación y greisenización), característicos de cuerpos emplazados en condiciones hipoabisales.

3-3-5 Rocas básicas.

A favor de la falla, en dirección, del Alentejo-Plasencia, intruyen rocas básicas (gabros y diabasas) de edad Jurásica, como consecuencia de reactivaciones de dicha estructura cuando actuó como falla de extensión.

Por otra parte el magmatismo básico está representado por gabros y diabasas que aparecen interestratificadas en la serie carbonatada del Devónico y que dan lugar a series volcano-sedimentarias.

3-4 TECTONICA Y METAMORFISMO

La configuración actual, es el resultado de la superposición de numerosos procesos tectónicos .

En Extremadura se diferencian tres zonas:

1 - Zona Septentrional - a la que pertenecen los terrenos centroeibéricos y está caracterizada por amplias áreas anticlinoriales, en las que afloran materiales del CEG, entre las cuales se sitúan estrechos sinclinales ocupados por las series Paleozoicas. Todo ello se encuentra intruido por numerosas masas graníticas de dimensiones plutónicas o batolíticas.

2 - Zona Intermedia - la cual coincide con la Zona de Cizalla Badajoz-Córdoba y representa la zona sur marginal del Terreno Centroibérico. Se caracteriza fundamentalmente por una estructuración de cabalgamientos con vergencia Norte.

3 - Zona Meridional - se trata de una zona compartimentada por zonas de cizalla, espaciadas en bandas alternantes.

El área objeto de este estudio se sitúa en la zona Septentrional (Centroibérica) pero, la influencia de las zonas intermedia y meridional es evidente, por lo que se hace una referencia especial al "Área de La Codosera" (cap.3-4-1) en donde esta influencia se traduce en la configuración y desarrollo de estructuras específicas.

Las deformaciones que han afectado a la zona corresponden fundamentalmente a la Orogenia Hercínica, aunque es evidente, que los materiales del CEG han sido afectados por un plegamiento anterior (Sárdico) que da lugar a pliegues de dirección NE-SW que no afecta a los materiales del Ordovícico.

Las deformaciones producidas por la Orogenia Hercínica afectan a todos los materiales desde el Precámbrico Superior hasta el Carbonífero discordante. Esta Orogenia se manifiesta en la zona mediante dos fases de deformación:

1ª FASE de deformación (F1): es la principal y responsable de las macroestructuras de la zona. Da lugar a pliegues de escala kilométrica de dirección E-W producidos por un acortamiento en dirección próxima a la N-S. Esta fase lleva

asociada una esquistosidad de plano axial de dirección aproximada N180. El metamorfismo regional es sincrónico con esta fase de deformación.

Asociados probablemente a esta fase aparecen cabalgamientos que ponen en contacto directo los materiales del CEG con los suprayacentes.

2ª FASE de deformación (F2) - La segunda fase de deformación no desarrolla esquistosidad pero si, repliega los materiales previamente deformados, produciendo pliegues de dirección NNE-SSW con ejes fuertemente inclinados derivados de un acortamiento en dirección E-W.

Se podría considerar una tercera fase de deformación Hercínica responsable de las crenulaciones y Kink-bands que a veces, y sobre todo microscópicamente se aprecian en algunos materiales pelíticos del área.

La TECTONICA DE FRACTURACION es muy importante desde el punto de vista metalogénico y minero, pues son las estructuras de fracturación las que van a favorecer la formación de los filones, existiendo, por tanto, un claro control estructural de las mineralizaciones.

La respuesta frágil a la deformación se manifiesta por una serie de conjuntos de fracturas (N-S, NE-SW, E-W), de extensión las cuales se agrupan, en su mayoría, según un haz de dirección principal NE-SW.

3-4-1 Sector Sur: El Sinclinal de La Codosera.

El núcleo del Sinclinal de La Codosera está ocupado por pizarras del Devónico medio, en las que se observan pliegues de eje subvertical, y esquistosidad fuertemente buzante y penetrativa. El Sinclinal es asimétrico (Vergencia Norte. Fig.3) con desarrollo de pliegues más suaves en el flanco norte (Sector Central-Jola) y pliegues fuertemente inclinados y rocas muy deformadas en el flanco sur, como resultado de la influencia de la zona de cizalla principal Badajoz-Córdoba.

El flanco sur del sinclinal comprende materiales desde el Ordovícico hasta el Devónico, con cuarcitas, pizarras y calizas. El interés de dicho flanco es por las mineralizaciones de Oro que en él aparecen (Los Algarbes, Perla de Anibal, La Portilla, etc.) y por las de Antimonio, explotadas hasta el año 1987 (Mina San Antonio, Gumiel, 1982).

Cartografías de detalle en algunos indicios, (ver informe Development of new multi-disciplinary techniques ... informe anual, Marzo 1989), han revelado la importancia de las estructuras compresivas (cabalgamientos y fallas inversas) en el desarrollo estructural del flanco sur del Sinclinal de La Codosera.

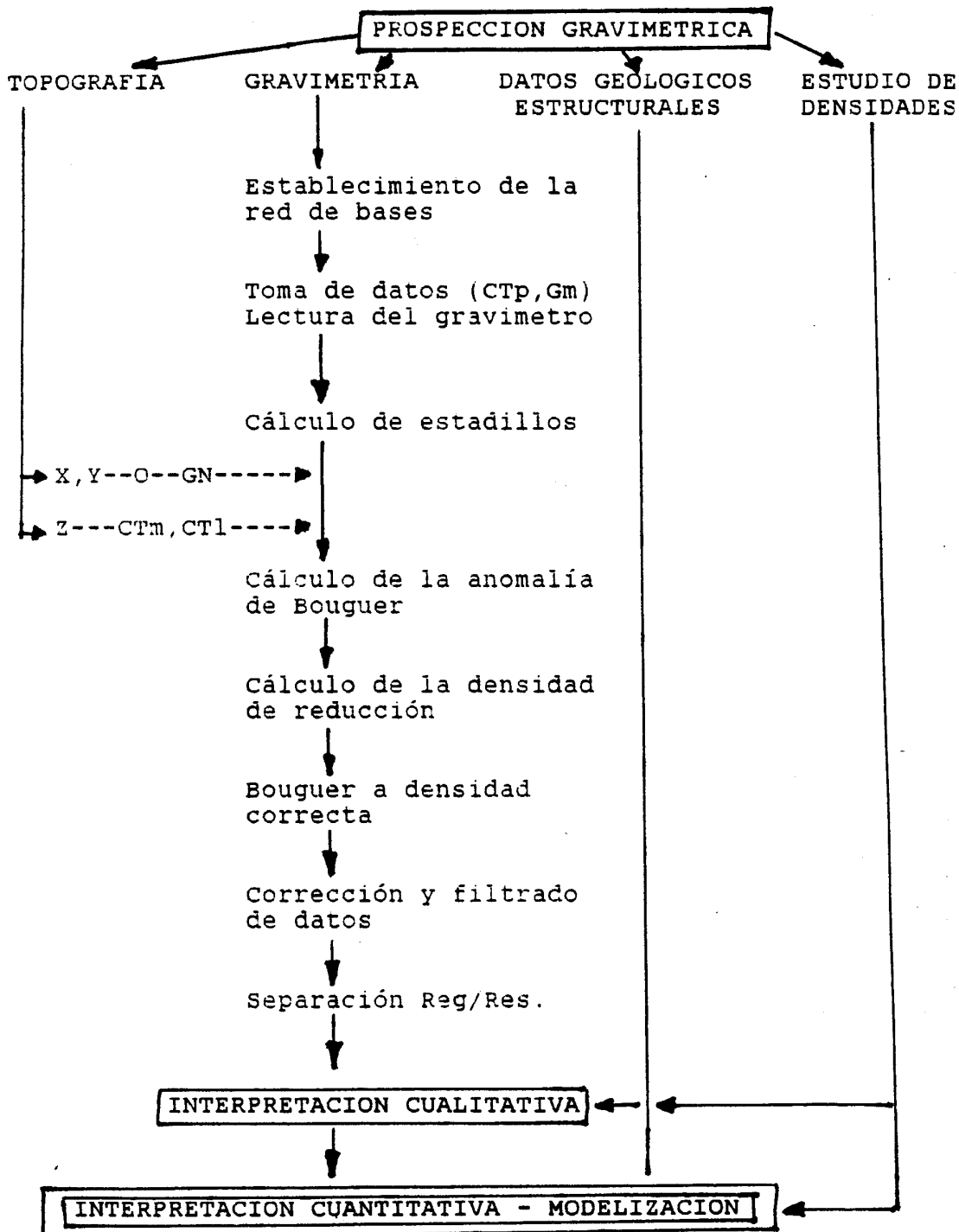
Los criterios de campo señalan la existencia de una cizalla ductil sinistral aproximada E-W, que afecta al flanco sur del Sinclinal de La Codosera. La intensidad de esta cizalla aumenta hacia el sur, representando una transición hacia la zona de cizalla principal. (El eje Badajoz-Córdoba).

CAPITULO 4
GRAVIMETRIA

CAPITULO 4

GRAVIMETRIA

4-1 ESQUEMA DE TRABAJO



4-2 EQUIPO DE PERSONAL Y MATERIAL

Jefe de equipo - Dña. Rocio Campos Egea
(Lic. en C. Geológicas).

Supervisor de topografía - D. Ceferino Avilero Hurtado
(Ing. Tec. de Minas).

Operador - D. Jose MA Llorente Delgado.

Supervisión - D. Juan Luis Plata Torres
(Ing. Sup. de Minas).

Los trabajos de topografía fueron contratados a la empresa Cartografía y Servicios (CYS), (Ver apendice I).

El material empleado fué:

- Gravímetro Lacoste-Romberg Modelo G-582.
- Vehículo Land-Rover del ITGE.
- Ordenadores HP-9845-B y IBM-PS.
- Calculadoras programables HP-67.

4-3 TOPOGRAFIA

El levantamiento topográfico de las estaciones gravimétricas se ha efectuado utilizando dos tipos de instrumentos topográficos: Wild T-1000, DI-3000, GRE-3 y un Sokisihor TH6, RED 2L y el material auxiliar de vehiculos etc.

La empresa a la que se adjudicó el trabajo, realizó, la recopilación de la información geodesica existente, observada y calculada por el I.G.N. La zona de trabajo se encontró suficientemente densificada, lo que permitió radiar desde los vertices de la red geodésica la mayoría de las estaciones quedando puntos que fueron impuestos desde estaciones radiadas o bien por poligonales.

Las estaciones gravimétricas se señalaron en el terreno adecuadamente mediante estaquillas y señales de pintura y se localizaron con la ayuda de los croquis correspondientes.

Las lecturas en campo no dieron lugar a errores de transcripción dado que eran registradas electronicamente, no obstante se acompañó a la documentación un cuaderno de campo. Los errores de cierre fueron tratados en los casos de triangulación y poligonales, las compensaciones se realizaron por el método de mínimos cuadrados, todo ello unido al proceso de cálculo mediante el programa TOPCAL.

4-4 GRAVIMETRIA

La toma de datos en campo se efectuó entre los meses de Enero a Noviembre de 1988, realizándose 1543 estaciones con una densidad de una estación por Km². Se procuró una distribución de las estaciones lo más aproximada posible a la configuración de malla regular, dentro de las limitaciones que, por topografía y falta de accesos presentó la zona.

Para la toma de datos de gravimetría se establecieron, en primer lugar, cuatro bases gravimétricas, teniendo en cuenta el tiempo de duración, así como la rentabilidad de los desplazamientos diarios para la apertura y cierres de programas. La unión de estas bases para trabajar con valores absolutos de la gravedad se realizó con las bases de la red de gravimetría fundamental (IGSN-71): BF16 (Cáceres) y BF11 (Badajoz). (Fig. 7).

Los croquis y referencias de las bases están representados en las figuras 8, 9, 10, y 11.

Teniendo en cuenta cierres y compensaciones, los valores de estas cuatro bases son: B1 - 980033.87 mGal ; B2 - 980006.38 mGal ; B3 - 980021.14 mGal ; B4 - 980056.87 mGal.

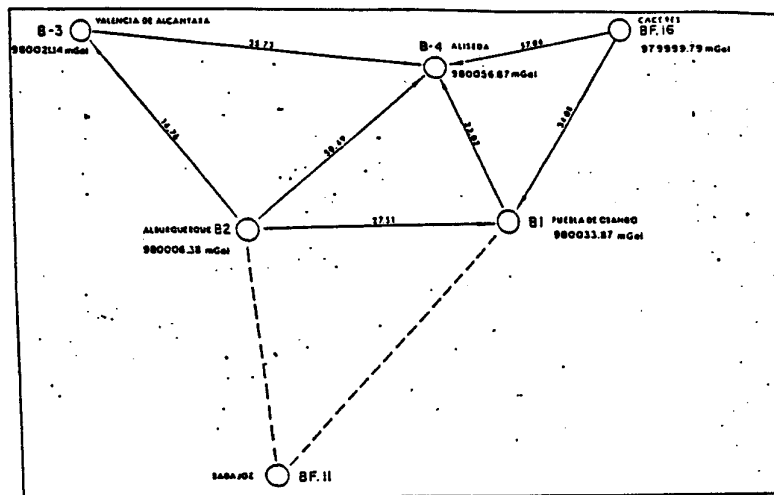


Figura. 7- Esquema de enlaces de bases gravimétricas.

DENOMINACION DE LA BASE - B1 - Puebla de Obando

COORDENADAS U.T.M. X= 710400
(aproximadas) Y= 4346550

GRAVEDAD - 980033.87 mGal

TERMINO MUNICIPAL - Cáceres

PROVINCIA - Cáceres

HOJA DEL M.T.N. ESCALA 1/50.000 - 728 - Puebla de Obando



RESEÑA

Por la C.N. Cáceres-Badajoz (N523) existe un desvío en el Km 31. Tomando este desvío a 45 m del cruce se encuentra a mano derecha una cancela de una finca, la base se sitúa en el asfalto de la carretera a la altura de la columna derecha de la puerta de entrada a la finca.

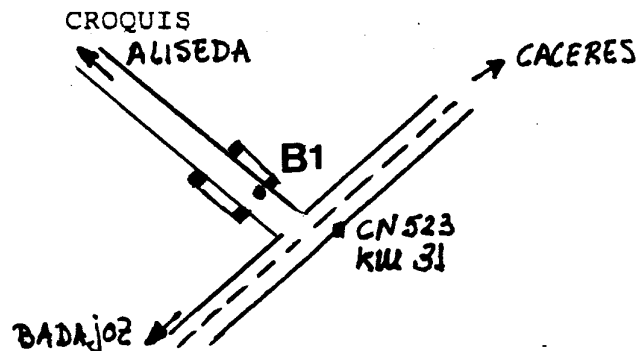


FIGURA .8.- Descripción de la base -B1-.

DENOMINACION DE LA BASE - B2 - Alburquerque.

COORDENADAS U.T.M. - X= 671450
(aproximadas) Y= 4343750

GRAVEDAD - 980006.38 mGal

TERMINO MUNICIPAL - Alburquerque

PROVINCIA - Badajoz

HOJA DEL M.T.N. ESCALA 1/50.000 - 727 - Alburquerque.



RESEÑA

En la localidad de Alburquerque la base esta situada en el cruce de la carretera 530 (Badajoz - San Vicente de Alcantara) con la carretera comarcal que lleva a Aliseda, sobre el asfalto al pié de una señal de Stop.

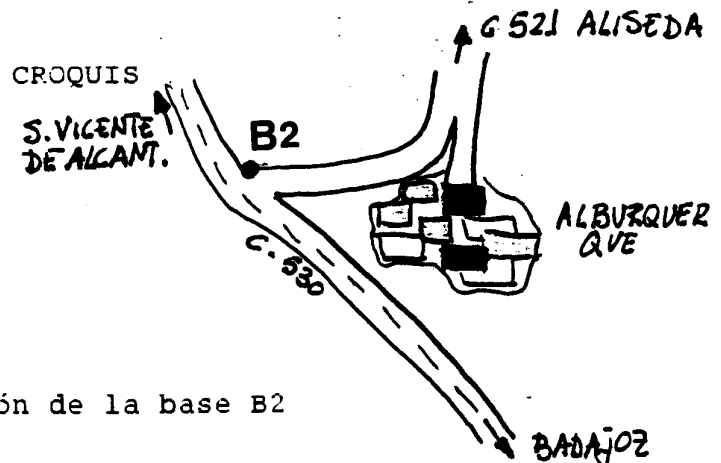


FIGURA. 9.- Descripción de la base B2

DENOMINACION DE LA BASE - B3 - Valencia de Alcantara

COORDENADAS U.T.M. - X= 652600
(aproximadas) Y= 4364600

GRAVEDAD - 980021.14 mGal

TERMINO MUNICIPAL - Valencia de Alcantara

PROVINCIA - Badajoz

HOJA DEL M.T.N ESCALA 1/50.000 - 701 - Valencia de Alcantara



RESEÑA

En el cruce de la carretera 530 con la 521, la base se sitúa en una casilla de peones camineros, en el peldaño de entrada, esquina izquierda.

CROQUIS

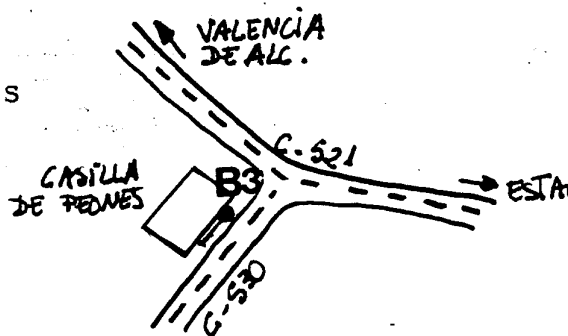


FIGURA.10.- Descripción de la base B3.

DENOMINACION DE LA BASE - B4 - Aliseda

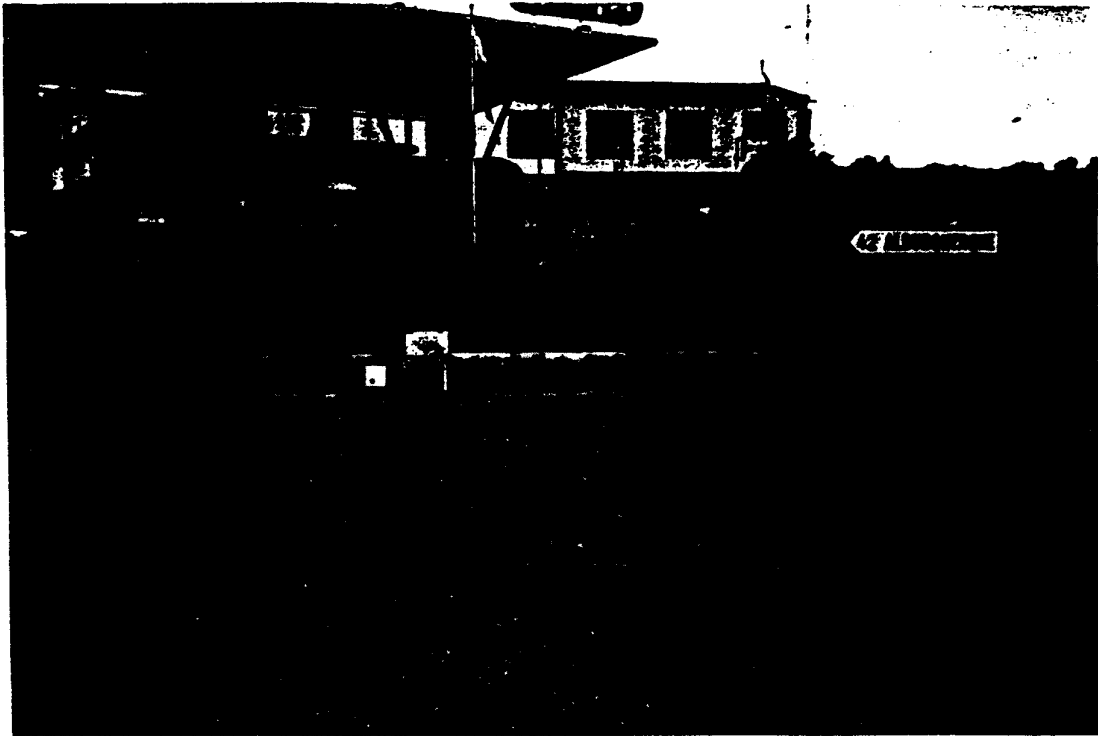
COORDENADAS U.T.M. - X= 698850
(aproximadas) Y= 4366850

GRAVEDAD - 980056.87 mGal

TERMINO MUNICIPAL - Aliseda

PROVINCIA - Cáceres

HOJA DEL M.T.N. ESCALA 1/50.000 - 703 - Arroyo de la Luz.



RESEÑA

En la gasolinera de Aliseda existe una zona ajardinada en forma de media luna, la base se situa en una esquina del jardin, proxima a la señalización de dirección hacia Alburquerque.

CRCQUIS

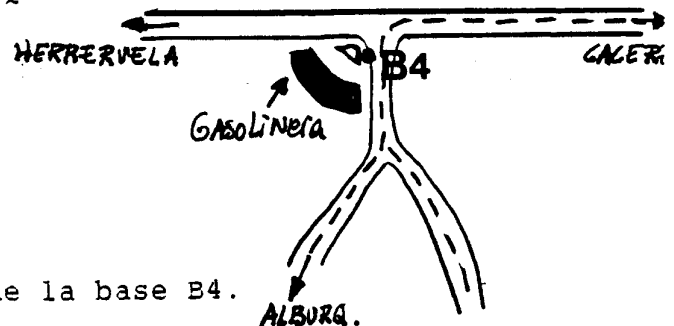


FIGURA.11.- Descripción de la base B4.

4-4-1 Obtención de la anomalía de Bouguer.

Para la obtención de la anomalía de Bouguer en lo que respecta a la adopción de sistema de cálculo, unidades, etc... se ha seguido la norma UNE 22611 (1985) relativa a trabajos geofísicos de gravimetría.

CALCULOS

En la determinación de la anomalía de Bouguer, se han incluido las siguientes correcciones y cálculos:

- corrección lunisolar
- corrección de deriva
- cálculo de la gravedad teórica
- cálculo de la densidad de reducción
- cálculo del efecto topográfico

CORRECCION LUNISOLAR

Estos cálculos están automatizados utilizándose el programa PRETID, obteniéndose los valores de corrección con una apreciación de 0.005 mGal a intervalos de 10 minutos.

CORRECCION DE DERIVA

La deriva instrumental se controló por las lecturas en base al principio y final de jornada, suponiendola de variación lineal en ese tiempo. En los gráficos 12, 13 y 14 de deriva secular se contemplan también los valores de deriva diaria de cada programa.

El valor medio de las derivas de trabajo por hora de la campaña fué calculado en 0.004 mGal/hora.

CALCULO DE LA GRAVEDAD TEORICA

Los valores de la gravedad normal dados por la ecuación:
 $g_0 = g_p(1 + A \sin^2 \theta - B \sin^2 2\theta)$ dependen de los adoptados como datum y del geocido de referencia. El sistema empleado fué el del año 1967.

Elipsoide internacional

$$a = 6378160$$

$$b = 6356774.5161$$

$$c = 1/298.25$$

$$\text{datum postdam} = 981260 \text{ mGal}$$

$$g_p = 978031.8 \text{ mGal}$$

$$g_{67} = 978031.85 (1 + 0.0053024 \sin^2 \theta - 0.0000059 \sin^2 2\theta)$$

expresada en mGal, siendo θ la latitud.

Por otra parte, la corrección de aire libre o de Fayé y la corrección de Bouguer han sido ejecutadas con los siguientes coeficientes:

$$F = 0.30854 \text{ mGal/m}$$

$$B = 0.04192 \text{ (mGal/m)} \cdot (\text{cc/gr}).$$

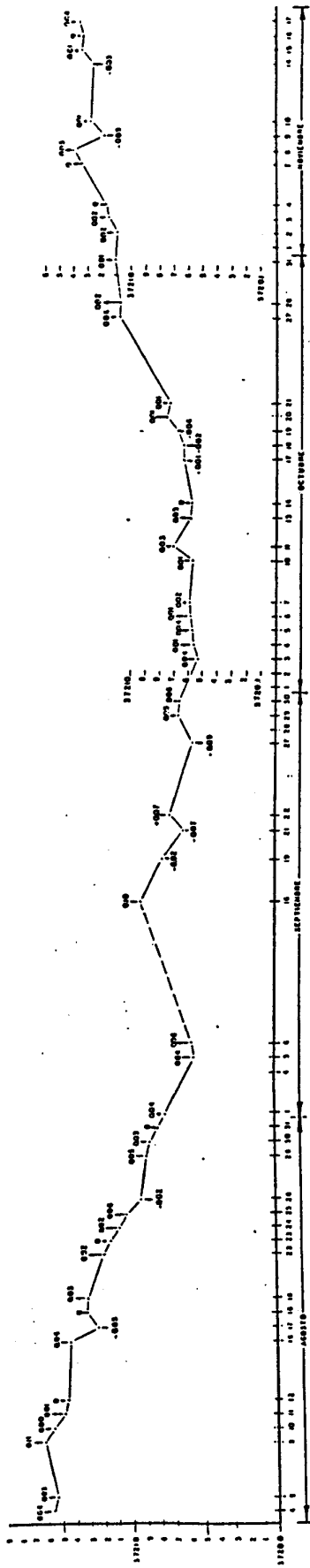


FIGURA 12 - GRAFICO DE DERIVA SECULAR. LACOSTE ROMBERG MODELO G-582 . BASE B2 - ALBURQUERQUE.
 DERIVA MEDIA DE LA CAMPAÑA = 0.0004 mGal / hora.

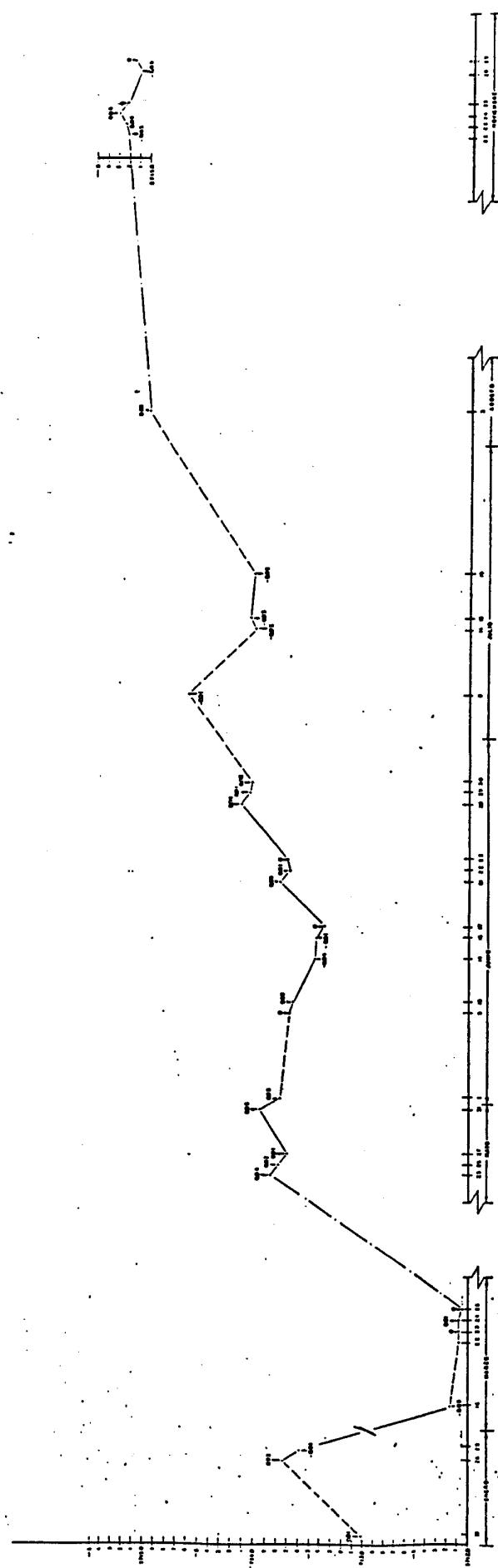


FIGURA 13 - GRAFICO DE DERIVA SECULAR. LACOSTE ROMBERG MODELO G-582. BASE FUNDAMENTAL 16 (CACERES).
 DERIVA MEDIA DE LA CAMPANA= 0.0004 mGal / hora.

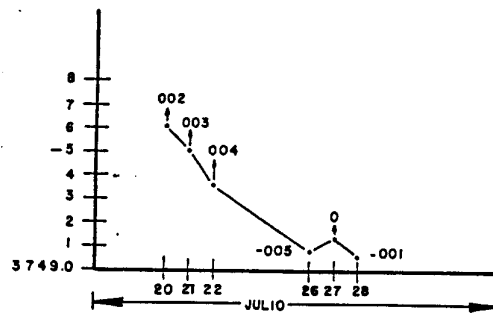


Fig.14.- Gráfico de deriva secular El Puebla de Obando.
 Deriva media por hora de la campaña =0.004 mGal/Hora.
 Mod. LACOSTE ROMBERG G-582.

CALCULO DE LA DENSIDAD DE REDUCCION

Entendemos por densidad de reducción la que aplicamos para la obtención de la "corrección de Bouguer", y por tanto la densidad media de las rocas desde el nivel de referencia de la gravedad normal o geoides, hasta la superficie de medición.

Para su determinación se ha seguido el método desarrollado por Plata. J.L (1983) que consiste básicamente en calcular la densidad que consigue minimizar las desviaciones o anomalías residuales de Bouguer, respecto de una superficie regional plana, para un pequeño conjunto de estaciones de medición. En este caso se ha optado por un entorno de 2Km de radio, consiguiéndose muestras de unas 10 estaciones. Esta muestra ha barrido la zona de trabajo, desplazando su origen cada 2Km en direcciones N-S y E-W, consiguiendo así tomar 1.000 muestras. La densidad calculada para cada muestra se ha considerado aceptable si se encontraba en el intervalo 1.5 - 3.5 gr/cc, obteniéndose la distribución indicada en la figura 15.

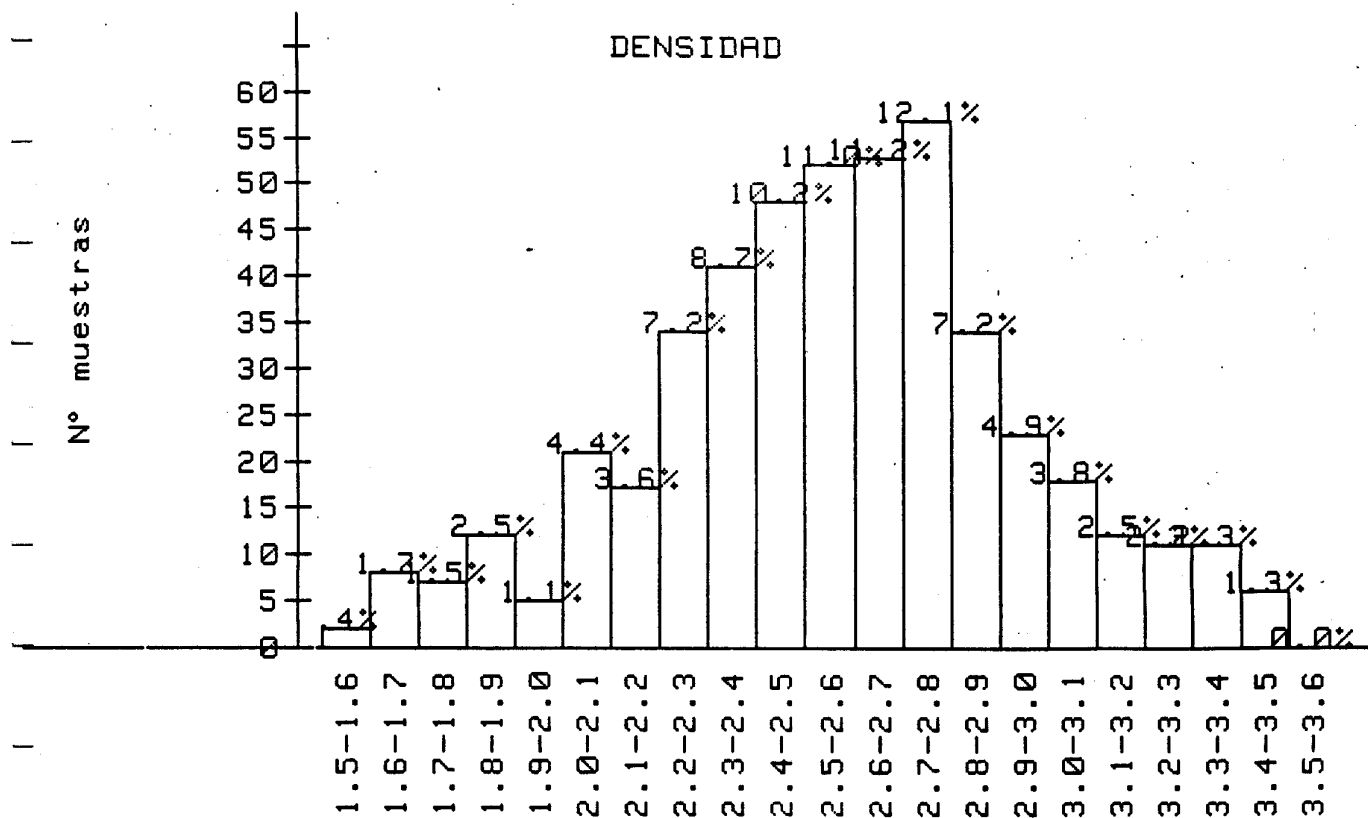


Figura .15.- HISTOGRAMA DE DENSIDADES PARA EL CALCULO DE LA DENSIDAD DE REDUCCION.

La media aritmética de esta distribución es de 2.57 gr/cc, dado que el valor relativo de la anomalía de Bouguer y su correlación topográfica es casi la misma para 2.6 y 2.67 gr/cc, se ha conservado este último valor para el cálculo, a fin de obtener un mapa normalizado con el valor standard adoptado en este tipo de trabajos. Además, las mediciones efectuadas sobre muestras de roca han dado valores entre 2.6 y 2.8 gr/cc, intervalo para el que las densidades halladas en el muestreo estadístico arrojan un valor medio de 2.7 gr/cc.

El método seguido permite además la construcción de un mapa de distribución de densidades (Fig.16) del que puede deducirse

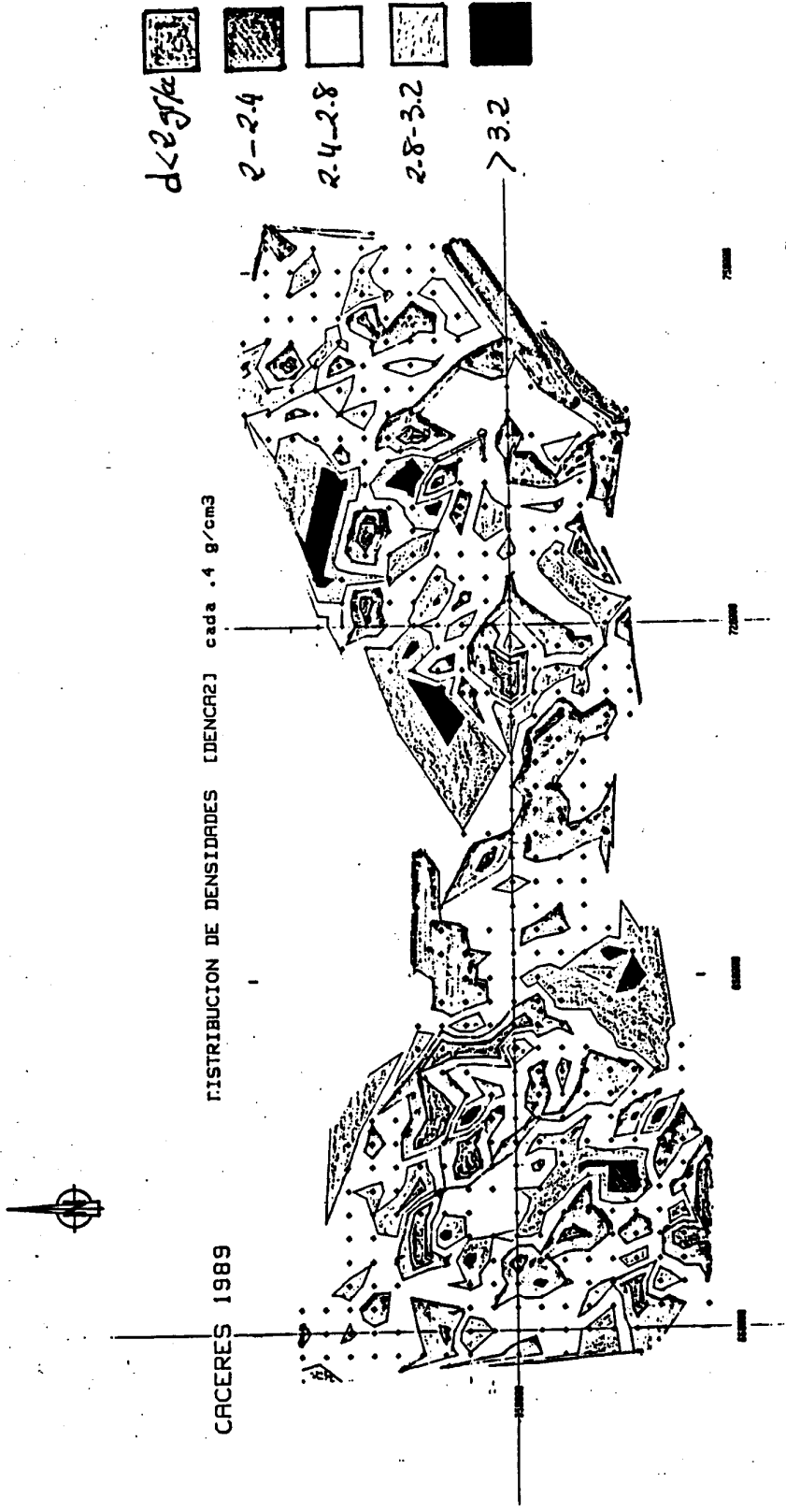


FIGURA 16 - MAPA DE DISTRIBUCION DE DENSIDADES PARA EL CALCULO DE LA DENSIDAD DE REDUCCION.

que en general la densidad es más baja en la zona de Alburquerque que en la zona de Albalá y es más uniforme en la zona central entre ambos batolitos. Las anomalías de densidad estadística también marcan fielmente las zonas de trazado anómalo en extensiones del orden de 15 Km^2 .

En el anexo III se da el listado de estos cálculos.

CALCULO DEL EFECTO TOPOGRAFICO

La corrección topográfica ha sido realizada según el método de Hammer, siguiendo el modo operativo descrito en 1939 (Geophysics IV, pp184).

Para el cálculo de la influencia topográfica total se ha subdividido la corrección en las siguientes zonas:

- Corrección topográfica proxima: hasta 170 m , engloba las coronas E, C y D. Se estima en campo punto por punto, al mismo tiempo que la medida con el gravímetro.

- Corrección topográfica media: desde 170 m hasta 4470 m, abarca las coronas E, F, G, H, e I y se estima sobre planos a escala 1/50.000 punto por punto.

- Corrección topográfica lejana: se refiere a las coronas J, K, L y M y abarca una zona desde los 4470 m hasta 21944 m de radio. Esta corrección se realizó por el método de interpolación de Neuman (1963), sobre planos a escala 1/200.000 a partir de los datos en malla (22x10) de 5000 m de paso Y origen U.T.M. X= 655000; Y=4330000.

4-4-2 Control de las mediciones y cálculos.

Con anterioridad al inicio de la campaña y durante la misma se realizaron las revisiones necesarias al gravímetro. Los controles realizados para mejorar la calidad de las mediciones a lo largo de la campaña fueron

- Control de deriva secular
- Control de las lecturas del gravímetro
- Control de la corrección topográfica media y lejana.

CONTROL DE DERIVA SECULAR

Se efectuó con las lecturas realizadas al principio de la jornada de trabajo, en la base correspondiente, como orientación para conocer el estado mecánico del aparato y su variación con el tiempo de duración de la campaña.

En las figuras 12, 13 y 14 se muestran los gráficos tanto de deriva secular como diaria (lectura inicial y final en base), presentando un comportamiento correcto del gravímetro; estos gráficos no son continuos dado que a lo largo de la toma de datos se utilizaron las diferentes bases anteriormente mencionadas.

CONTROL DE LECTURAS DEL GRAVIMETRO

Para el control de las lecturas del gravímetro se repitieron un total de 134 estaciones (8%), en días diferentes.

Tanto el valor medio de las derivas de los programas (0.004 mGal por hora) como el error medio cometido en las lecturas (0.015 mGal) obtenido mediante la semidiferencia entre las lecturas repetidas, pueden considerarse validos (Fig. 17).

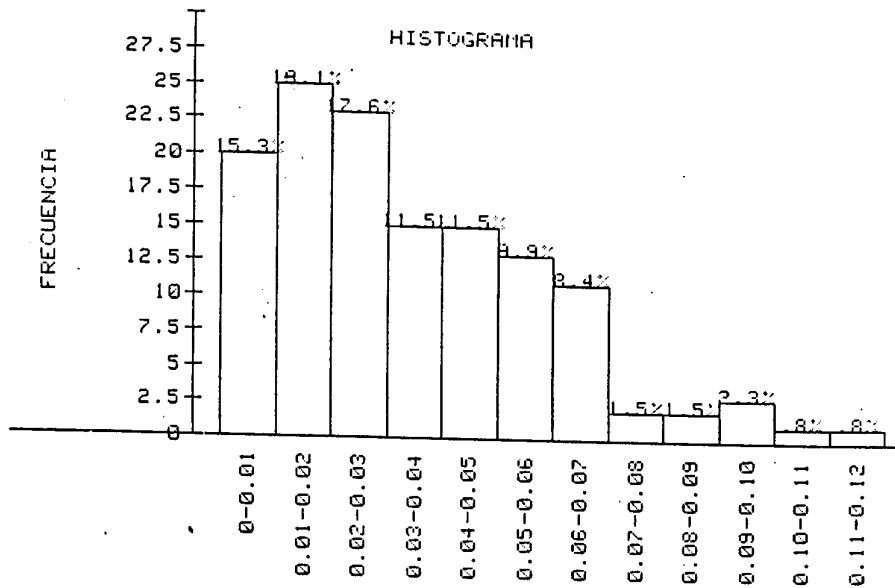


Figura .17.-Histograma de repeticiones de lecturas del gravímetro.

CONTROL EN LA EJECUCION DE LA CORRECCION TOPOGRAFICA MEDIA Y LEJANA

La forma de llevar a cabo en la practica la corrección topográfica implica una laboriosa estimación de desniveles sobre hojas topográficas que puede introducir graves errores en el cálculo posterior de la anomalía de Bouguer. Por ello, en zonas como la actualmente investigada, de relieve medio, es preciso llevar a cabo este control por repeticiones.

Para la corrección topográfica lejana se ha realizado la repetición del 5% de las estaciones. Teniendo en cuenta el valor de las correcciones topográficas lejanas, así como el relieve de

la zona, se ha estimado admisible unas diferencias en las repeticiones de un 15%-20%.

$$\text{Siendo: } E\% = (CT1-CT2/CT2)*100$$

La figura 18 muestra la repartición de errores en la repetición de la corrección topografica media.

TABLA I : CORRECCION TOPOGRAFICA LEJANA

ESTACION	CT1	CT2	DIFERENCIA	E	%
14-6	2.1	2.4	0.3	0.2	12.5
10-5	2.4	2.5	0.1	0.0	4.0
17-9	1.1	1.2	0.1	0.0	8.3
8-4	1.8	1.6	0.2	0.1	12.5
6-3	2.2	2.3	0.1	0.0	4.3
11-3	2.8	2.1	0.7	0.4	33.3
1-5	10.3	9.1	1.2	0.6	13.2
5-9	6.5	5.6	0.9	0.5	16.0
16-10	2.1	1.7	0.4	0.2	23.5
15-3	3.7	3.0	0.7	0.4	23.3
10-1	2.6	2.2	0.4	0.2	18.2

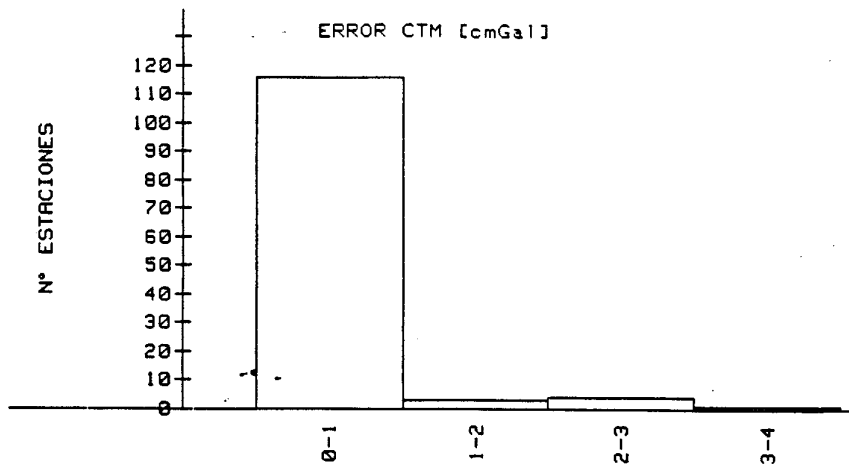


Figura .18.- Histograma de repeticiones en la corrección topografica media.

4-4-3 CALCULO DE LA ANOMALIA DE BOUGUER

El cálculo de la anomalía de Bouguer se realizó según la expresión :

$$A = G - (gN - Z (F - B * D) - T)$$

Siendo:

A - anomalía de Bouguer; G - gravedad observada corregida del efecto lunisolar y de deriva instrumental; gN - gravedad normal; F - coeficiente de Fayé; B - coeficiente de Bouguer; D - densidad de reducción; Z - altitud; T - corrección topográfica total.

El factor de conversión C, para paso a otra densidad de reducción se obtiene mediante la fórmula, $C = 0.8384 Z - T$ y la anomalía de Bouguer en otra densidad distinta a 2 gr/cc es:

$$A_1 = A - ((d - 2) / 2) * C.$$

Tanto a los valores de gravedad en las bases como a GN se le han restado 979000 mGal, para manejar números de menos cifras.

CAPITULO 5
ESTUDIO DE DENSIDADES

CAPITULO 5

ESTUDIO DE DENSIDADES

La densidad de las rocas, así como la geometría de los cuerpos a los que se le asigna un contraste de densidad determinado, son los datos más relevantes que entran a formar parte como punto de partida en la interpretación cuantitativa del mapa de anomalías de Bouguer.

La densidad standard media de 2.67 gr/cc, dada para la Corteza por Daly en 1933, está basada en la densidad de rocas graníticas fundamentalmente, pero, se disponen de pocos datos relativos a la densidad de las rocas metamórficas, algunos ejemplos se pueden encontrar en Birch, 1960; Woolard, 1962; Christensen, 1962; Daly et. al. 1966; etc...

Smithson en 1971, calculó la densidad media de siete terrenos metamórficos, cuya densidad variable podía estar comprendida entre 2.70 gr/cc a 2.86 gr/cc por lo que propuso como densidad standard para la corteza el valor de 2.74 gr/cc.

Se deduce de estos estudios, que en cada caso es conveniente conocer la densidad media de las rocas que configuran el área de estudio, ya que con un contraste de densidades de 0.1 gr/cc pueden generalmente resolverse las anomalías gravimétricas.

Si por otra parte, admitimos que la mayoría de las variaciones de interés en la exploración, resultan de cambios en la densidad de rocas corticales poco profundas y que la densidad

de las rocas depende de factores tales como litología, procesos de cementación y recristalización, porosidad etc... se plantea como necesario un estudio complementario de las densidades de las rocas de la zona investigada.

Dicho estudio, para el área de Extremadura, ha consistido en primer lugar en la realización de un muestreo de las diferentes litologías del área (ver Fig 6. Posición de las muestras), en testigos de sondeos a diferentes profundidades y afloramientos representativos; en segundo lugar, la determinación experimental de la densidad de dichas muestras (Ver Tablas II, III, IV y V) y; por último, en el estudio estadístico de los datos derivados de la determinación experimental, para llegar a establecer una aproximación lo más exacta posible, al contraste de densidades reales de los materiales, lo cual, aumenta el rigor en la interpretación cuantitativa de los perfiles de anomalías de Bouguer.

En las tablas II y III se presentan las muestras a diferentes profundidades correspondientes a los sondeos T7 y T6 respectivamente, localizados ambos en la cúpula granítica del Trasquilón ($x=726100$; $y=4364600$), (ver capítulo 3-3). La facies principal presente en ambos sondeos corresponde a un granito greisenizado de grano medio, en ocasiones mineralizado y la densidad media calculada para estos dos sondeos fué 2.67 gr/cc.

La tabla IV muestra la densidad de las rocas aflorantes en el área denominada "Zona de Albalá" en la que a grandes rasgos se pueden diferenciar dos tipos de materiales:

MUESTRA	DENSIDAD	PROFUNDIDAD	DESCRIPCION	NOMBRE
M - 55	2.66	9.0 m.	Greisen cuarzomícaeo.	T7 m1
M - 56	2.68	9.0	Greisen cuarzomícaeo.	T7 m1
M - 57	2.67	12.4	G. con casiterita caolimizado	T7 m2
M - 58	2.67	12.4	G. con casiterita Disem.	T7 m2
M - 59	2.67	16.4	G. de tendencia porfídica.	T7 m3
M - 60	2.66	16.4	G. de tendencia porfídica.	T7 m3
M - 61	2.67	18.0	G con Q+Ep+Sulf_casit.	T7 m4
M - 62	2.66	18.0	G con Q+Ep+Sulf_casit.	T7 m4
M - 63	2.66	18.0	G con Q+Ep+Sulf+casit.	T7 m4
M - 64	2.66	23.0	Leucogranito moscovítico.	T7 m5
M - 65	2.66	23.0	Leucogranito moscovítico	T7 m5
M - 66	2.67	26.0	L. mosc. porfídico.	T7 m6
M - 67	2.67	26.0	L. mosc. porfídico.	T7 m6
M - 68	2.64	29.0	Gran. Greisinizado Def.	T7 m7
M - 69	2.64	29.0	Gran. Greisinizado Def.	T7 m7
M - 70	2.67	30.0	Gran. Greisinizado Q + misp.	T7 m8
M - 71	2.67	30.0	Gran. Greisenizado Q + misp.	T7 m8

TAELA II .- DENSIDADES - SONDEO T7 - EL TRASQUILON.
X= 726100; Y=4364500.

MUESTRA	DENSIDAD	PROFUND.	DESCRIPCION	NOMBRE
M 72	2.67	14.5	Granito greisinizado de grano medio con feldespatos caolinizado.	T6 m1
M 73	2.67	14.5		
M 74	2.64	19	Greisen de grano fino con óxidos de Fe y Mn.	T6 m2
M 75	2.65	19		
M 76	2.62	21	Aplita greisinizada.	T6 m3
M 77	2.64	21		
M 78	2.67	25	Granito greisinizado con procesos de hematización.	T6 m4
M 79	2.70	25		
M 80	2.69	27	Granito greisinizado con procesos de hematización, facies aplíticas.	T6 m5
M 81	2.70	27		
M 82	2.71	30	Granito greisinizado, facies pegmatoide con orientación en la vertical.	T6 m6
M 83	2.71	30		
M 84	2.70	33	Granito greisinizado, facies pegmatoide con algunas bandas más aplíticas.	T6 m7
M 85	2.71	33		
M 86	2.67	34	Granito greisinizado de grano medio, con procesos de hematización.	T6 m8
M 87	2.68	34		
M 88	2.67	37.5	Granito greisinizado de grano medio con procesos de hematización.	T6 m9
M 89	2.66	37.5		
M 90	2.68	40.5	Leucogranito mosovítico estéril.	T6 m10
M 91	2.68	40.5		

TABLA III .- DENSIDADES - SONDEO T6 - EL TRASQUILON -.
X= 726100; Y=4364500

MUESTRA	DENSIDAD	DESCRIPCION	LOCALIDAD	X	Y
M 1	2.63	Granito.	Trujillo	768.500	4.370.300
M 2	2.66	Granito.	Trujillo	768.500	4.370.500
M 3	2.71	Pizarras con met. contacto.	Trujillo	768.300	4.381.500
M 4	2.68	Grauvacas.	Trujillo	768.900	4.380.600
M 5	2.64	Granito.	Trujillo	768.100	4.379.200
M 6	2.69	Pizarras.	Plasenz.	752.600	4.366.400
M 7	2.74	Corneanas.	Plasenz.	752.600	4.366.400
M 8	2.64	Aplitas.	Plasenz.	752.600	4.366.400
M 9	2.65	Granito.	Plasenz.	756.700	4.364.800
M 10	2.74	Diorita.	Ruanes.	758.100	4.361.700
M 11	2.64	Granodiorita.	Albalá.	739.800	4.348.400
M 12	2.65	Granito.	Mont.	749.500	4.342.500
M 13	2.67	Cuarzodiorita.	Mont.	750.400	4.343.400
M 14	2.66	Granito.	C. AR.	720.000	4.380.100
M 15	2.65	Granito.	C. AR.	719.400	4.382.500
M 16	2.81	CEG	C. AR.	726.100	4.381.150
M 17	2.63	Granito.	Zafrilla	713.600	4.379.000
M 19	2.71	Granodiorita.	Sta. Cruz	771.000	4.358.200
M 21	2.65	Granito.	Alijares	757.000	4.350.000
M 22	2.65	Leucogranito.	Alijares	758.500	4.350.000
M 23	2.80	Cuarzodiorita.	Alijares	757.200	4.349.900
M 24	2.65	Leucogranito.	Alijares	757.200	4.349.900
M 25	2.69	Cuarzodiorita.	Zarza.	756.400	4.349.500
M 26	2.68	Cuarzodiorita.	Zarza	754.500	4.351.800
M 27	2.73	Granito.	Zarza.	754.500	4.351.800
M 28	2.73	Corneanas.	Albalá	734.500	4.346.300
M 29	2.77	Granito porfídico.	Albalá.	733.300	4.352.900
M 30	2.61	Granito.	Albalá	738.300	4.342.700
M 31	2.66	Granito.	Albalá.	737.200	4.348.100
M 36	2.79	Granito con glomérulos.	C. Iny.	743.900	4.347.600
M 47	2.63	Leucogranito	C. Iny.	742.500	4.350.700

TABLA IV.- ZONA DE ALBALA - DENSIDADES -
MUESTRAS DE SUPERFICIE.

MUESTRA	DENSIDAD	DESCRIPCION	LOCALIDAD	COORDENADAS
101-1	2.89	Cuarcita Devónica ferruginizada.	Codosera S	657500 4349100
101-2	2.89			
101-3	2.89			
101-4	2.88			
102-1	2.84	Cuarcita de Criadero (Morfológica)	Codosera S	657500 4339800
102-2	2.82			
102-3	2.83			
102-4	2.83			
103-1	2.85	Alternancias inferiores.	Codosera S	658000 4340100
103-2	2.83			
103-3	2.83			
103-4	2.85			
104-1	2.81	Cuarcita de Cantera (Ordovícico medio).	Codosera S	657700 4340700
104-2	2.81			
104-3	2.81			
104-4	2.83			
105-1	2.89	Cuarcita Armoricana.	Codosera- Alburquer.	664600 4334300
105-2	2.85			
105-3	2.85			
105-4	2.86			
106-1	2.87	Pófidos (Formación Urra)	Codosera- Alburquer.	666500 4334500
106-2	2.89			
106-3	2.89			
106-4	2.80			
107-1	2.86	Cuarcita Armoricana.	Codosera W	661200 4348700
107-2	2.85			
107-3	2.86			
107-4	2.84			
108-1	2.77	Pizarras (Capas Pochico)	Codosera W	661000 4346800
108-2	2.78			
108-3	2.78			
108-4	2.78			
109-1	2.72	C.E.G.	Codosera W	661600 4350100
109-2	2.70			
109-3	2.70			
109-4	2.70			
110-1	2.75	Alternancias superiores.	Codosera W	659800 4344400
110-2	2.78			
110-3	2.77			
110-4	2.78			
111-1	2.80	Pizarras negras con graptolites (Silúrico)	La Talcosa	656000 4346800
111-2	2.80			
111-3	2.75			
111-4	2.81			
112-1	2.71	Brecha de S. Antonio (Devónico)	S. Antonio	665900 4339200
112-2	2.72			
112-3	2.72			
112-4	2.71			
113-1	2.71	C.E.G.	Rio Zapat.	688200 4332300
113-2	2.72			
113-3	2.72			
113-4	2.71			
114-1	2.84	Granito de Alburquerque.	Rio Albar.	677500 4347800
115-1	2.88			
115-2	2.88			
115-3	2.88			
115-4	2.87	Tramos carbonatados (Devónico)	Alburquer- V. Rey.	676900 4340300
116-1	2.79			
116-2	2.79			
116-3	2.79			
116-4	2.77	Rocas Básicas.	Codosera- Alburquer.	667000 4338700
117-1	2.84			
117-2	2.84			
117-4	2.84			
118-1	2.73	Granito de Alburquerque.	S.V. Alcan	654500 4362200
118-2	2.73			
118-3	2.73			
118-4	2.74			
119-1	2.77	Cornearas pertenecientes a enclaves en la zona de Stopping del Granito de Alburquerque.	S.V. Alcan.	654500 4362200
119-2	2.73			
119-3	2.73			
119-4	2.73			
120-1	2.75	Pizarras Devónicas.	Codosera- Alburquer.	666100 4340000
120-2	2.75			
120-3	2.76			
120-4	2.75			
121-1	2.85	C.E.G. con metamorfismo de contacto.	Tres Arroy	664900 4347500
121-2	2.61			
121-3	2.61			
121-4	2.61			
122-1	2.69	Facies aplíticas.	Tres Arroy	665300 4347200
122-2	2.61			
123-1	2.69	Facies pegmatítica con lepidolita.	Tres Arroy	664500 4347500
123-2	2.72			

TABLA V .- ZONA DE ALBURQUERQUE - LA CODOSERA .
DENSIDADES - MUESTRAS DE SUPERFICIE.

- 1- Materiales pertenecientes al C.E.G (pizarras y grauvácas).
- 2- Materiales graníticos (granitos s.s, aplitas, dioritas, leucogranitos...).

Por último en la tabla V, se representan las densidades de aquellas muestras correspondientes al área de "Alburquerque- La Codosera" en la que además de las diferentes facies de rocas graníticas correspondientes al Batolito de Alburquerque y los materiales encajantes del C.E.G, se representan también aquellas densidades de la Serie Paleozoica aflorante en el Sinclinal de La Codosera y Sierra de San Pedro.

Derivados del estudio estadístico de las densidades de las muestras, se presentan los histogramas de las figuras 19, 20 y 21, de ellos se deduce que la densidad media total (Histograma total), (Figura 19) es de 2.65 a 2.7 gr/cc, sin embargo parece conveniente para la interpretación diferenciar y tener en cuenta los siguientes grupos:

	LITOLOGIA	DENSIDAD MED. GR/CC
FACIES GRANITICAS	Granitos	2.64
	Granodioritas	2.72
C.E.G.	Pizarras y Grauvácas metamorfizadas	2.72
PALEOZOICO	Cuarcitas	2.64
	otras facies	2.72
	Rocas básicas	2.78

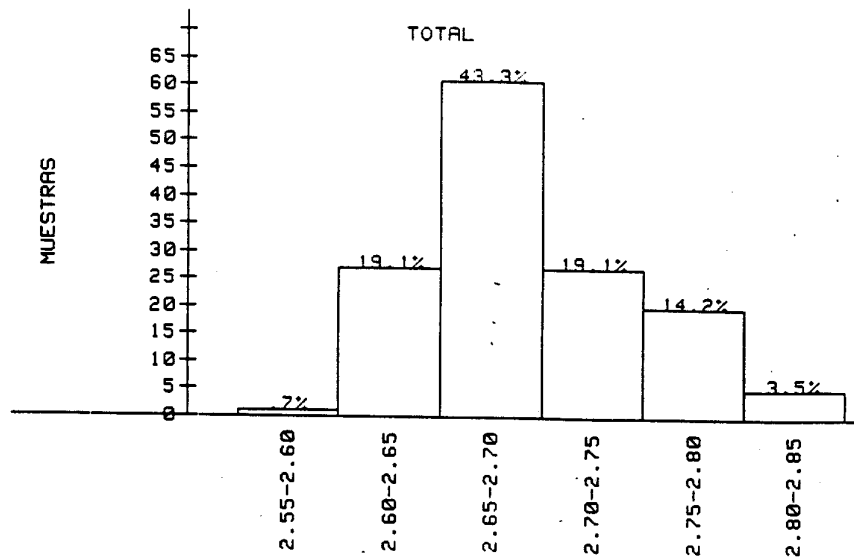


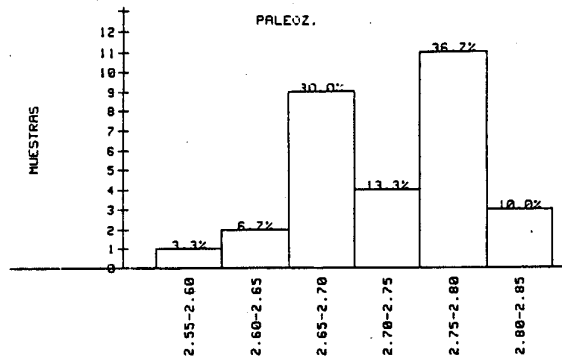
Figura.19.- :HISTOGRAMA TOTAL. (N=141; M=2.65-2.70).

En terminos exclusivamente de densidad, podemos diferenciar:

1- Granitos s.s y Cuarcitas Paleozoicas con una densidad media de 2.64 gr/cc.

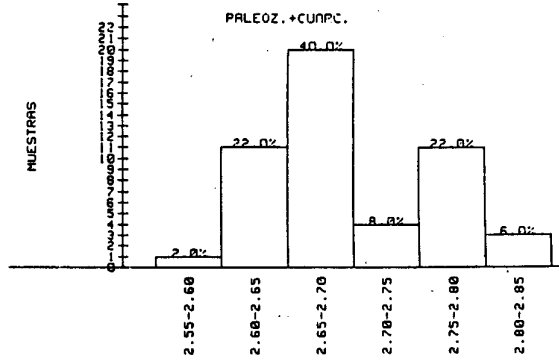
2- Materiales del Complejo Esquisto-grauváquico en general, junto con las facies no cuarcíticas del Paleozoico y las facies granodioríticas de la Zona de Albalá, con una densidad media de 2.72 gr/cc.

3- Rocas básicas, cuya densidad es más alta 2.78 gr/cc.



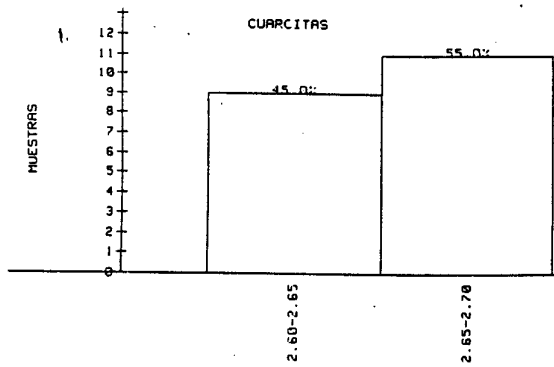
N=30
M=2.72

20-a



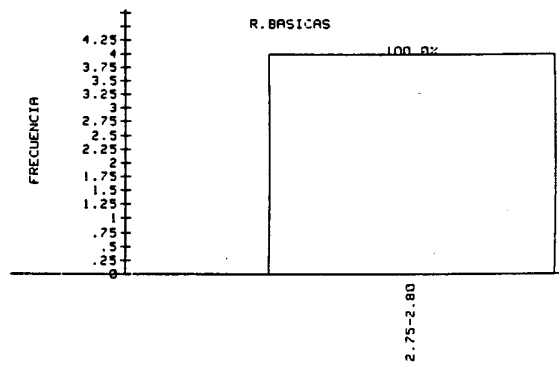
N=50
M=2.65-2.70

20-b



N=20
M=2.64

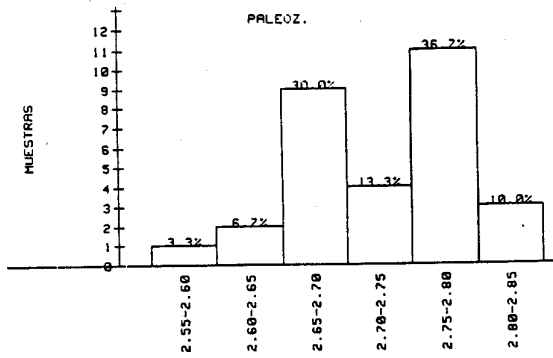
20-c



N=4
M=2.78

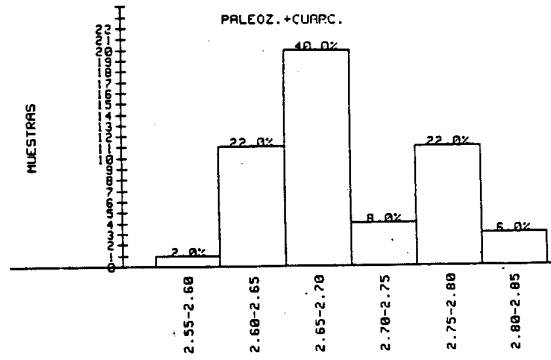
20-d

Figura 20.- Histogramas de densidades de los materiales Paleozoicos (20-a, 20-b, 20-c) y rocas básicas (20-d).



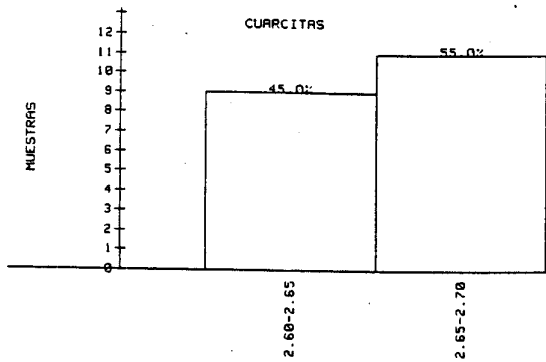
N=66
M=2.64

21-a



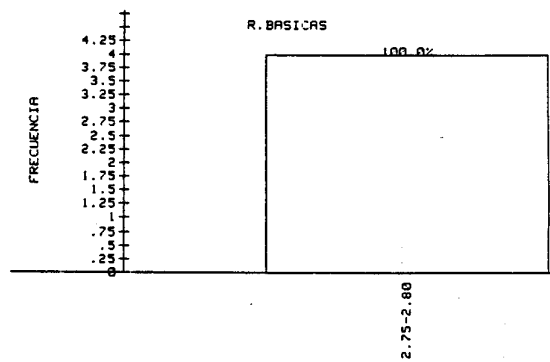
N=58
M=2.64

21-b



N=8
M=2.72

21-c



N=21
M=2.72

21-d

Figura 21.- Histogramas de densidades de los materiales graníticos (21-a, 21-b, 21-c) y del CEG (21-d).

CAPITULO 6
INTERPRETACION

CAPITULO 6

INTERPRETACION

6-1 DESCRIPCION DEL BOUGUER GENERAL

En el mapa de anomalías de Bouguer se pueden diferenciar claramente dos zonas; 1, Zona de Albalá (al Este) y 2, Zona de Alburquerque-La Codosera (al Oeste); El área límite entre estas dos zonas viene marcada por una tendencia de las curvas del mapa según la dirección N130-140 (Anomalía A) en donde aparece un gradiente muy fuerte (4.6 mGal/Km). Este gradiente representa un salto en los valores de la gravedad, siendo más negativos en dirección E-NE. La correspondencia geológica de esta anomalía A sería la alineación de materiales Paleozoicos que constituyen la Sierra de San Pedro. Estos materiales forman un sinclinal con una estructuración muy compleja siguiendo una directriz principal Hercínica. En la zona anómala A el trazado de las curvas presenta unas inflexiones que podrían interpretarse como una serie de alineaciones en dirección NE-SW, que podrían corresponder con un sistema de fracturas en dicha dirección.(Fig.22).

La zona situada al NE de estas alineaciones, denominada "ZONA DE ALBALA" viene caracterizada por una fuerte anomalía negativa (-38 mGal, Anomalía B). Su directriz general es N-S, pero se observa una tendencia de inflexión en las curvas hacia el NW, la cual podría ser debida a su posible conexión con la anomalía generada por el Batolito de Cabeza de Araya.(Anomalía C), (conexión o solo influencia?), o bien a la influencia del sinclinal Paleozoico de Cáceres.

La anomalía C, aunque aparece como una anomalía cerrada, seguramente no lo es, siendo debida a un efecto de borde, ya que ésta coincide con la parte Sur del Batolito de Cabeza de Araya.

Los límites de las anomalías negativas B y C están bien definidos, presentando unos gradientes máximos de 2 mGal/Km. El gradiente más acusado (3.14 mGal/Km) al sur de la anomalía C, es debido probablemente a la proximidad con el flanco norte del Sinclinal de la Sierra de San Pedro.

La zona de unión (o separación) entre las anomalías B y C está representada por una serie de alineaciones, aproximadamente N-NE como muestra la tendencia de las curvas del mapa de anomalías de Bouguer (Zona anómala D). Estas alineaciones corresponden, en la cartografía geológica (Hojas 704-Cáceres y 729-Alcuescar) con una tendencia general de fracturación conocida. Esta dirección N10-20E, señalada en la figura 22, se puede prolongar hacia el sur intersectando la zona anómala A y coincide aproximadamente con la misma dirección estructural que marca la falla de Plasencia.

Por último, la anomalía positiva (Anomalía E) del borde NE del mapa, podría representar una anomalía positiva relativa, ya que queda incluida dentro de la tendencia general negativa. Puede interpretarse como un exceso de metasedimentos (pizarras y grauwacas del CEG), lo que implicaría una profundización de los granitos en este sector (Fig. 23-a), o bien podría tener una correspondencia con rocas básicas situadas en el borde occidental

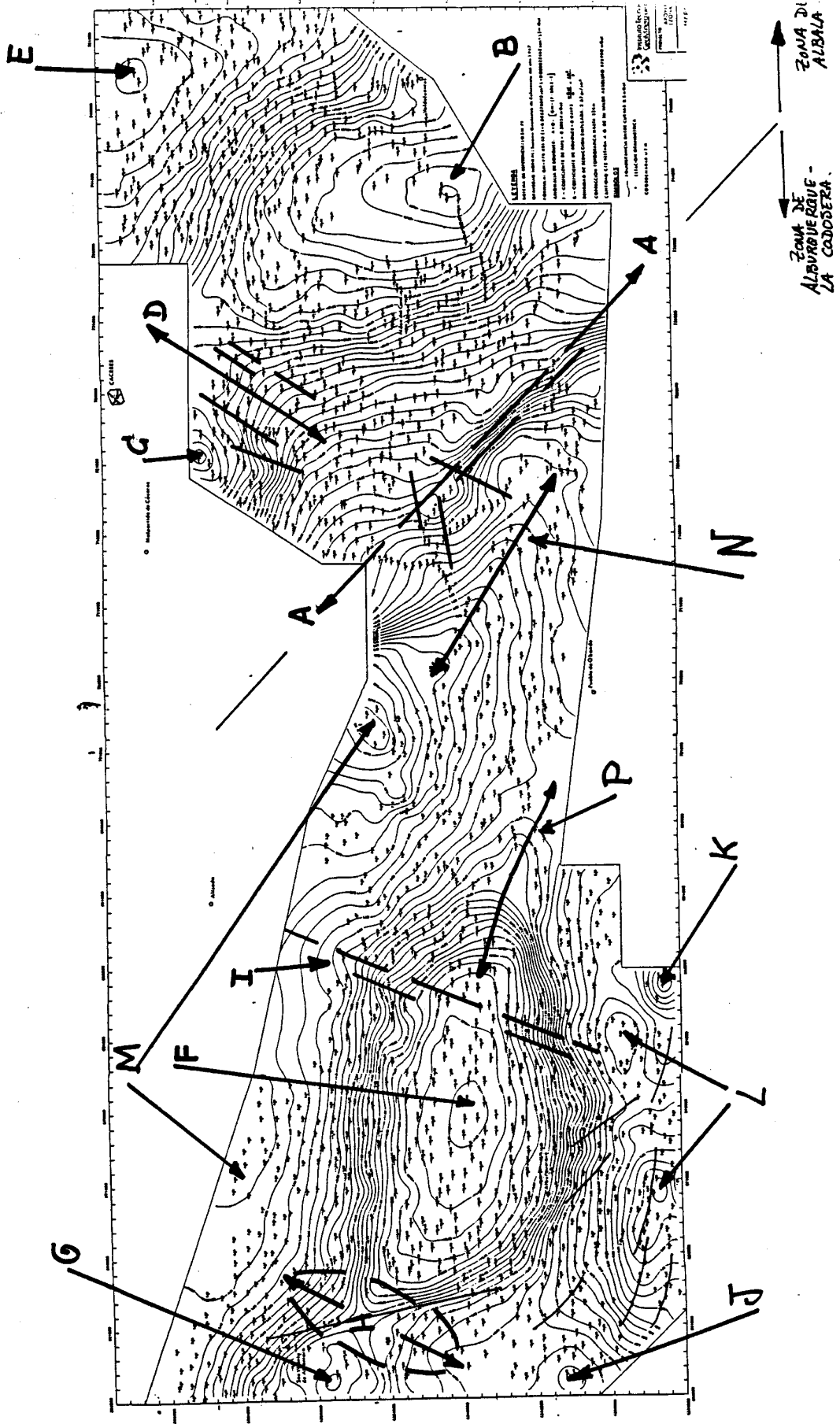


FIGURA 22 - MAPA REDUCIDO DE ANOMALIAS DE BOUGUER CON LA SEÑALIZACION DE LAS ZONAS ANOMALAS.

del Stock de Plasenzuela. (Fig. 23-b). En este sentido, hay que señalar que en los mapas de anomalías aereomagnéticas existen anomalías debidas probablemente a rocas básicas en el borde occidental del stock de Plasenzuela, y que en las imagenes Landsat TM se observan claramente lineamientos que coinciden con fracturas regionales de dirección NE-SW, sin embargo las dimensiones de esta anomalía son excesivamente grandes para correlacionarla unicamente con la existencia de estas rocas básicas.

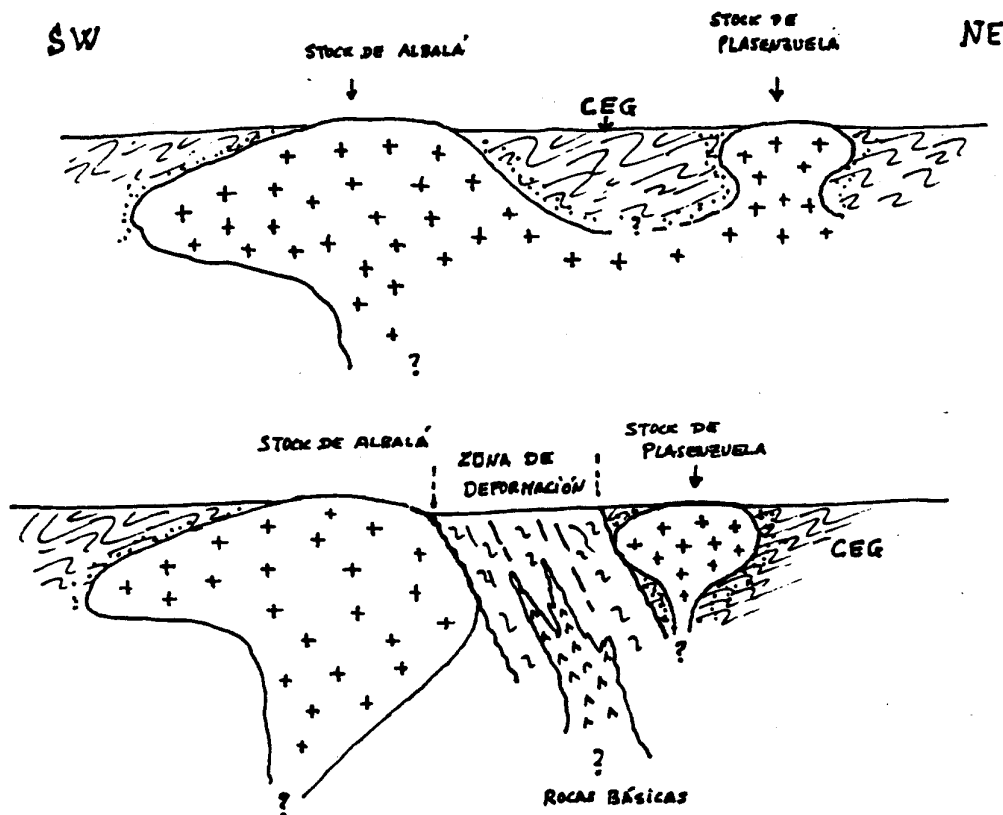


FIGURA.-23- POSIBLES MODELOS DE RELACIONES ENTRE LOS STOCKS GRANITICOS DE ALBALÁ Y PLASENZUELA (no escala).

La zona denominada ALBURQUERQUE - LA CODOSERA (2), de la misma forma que la de Albalá, está caracterizada por una fuerte anomalía negativa (Anomalía F) generada por el Batolito de Alburquerque. Esta anomalía, aunque de gran extensión, presenta unos valores negativos de menor intensidad (-17 mGal) que la anomalía B (-38 mGal) debida al granito de Albalá. La diferencia entre estos dos valores anómalos podría representar una diferencia en la profundidad, morfología y dimensiones de los cuerpos graníticos en ambas zonas.

Existen diferencias en los gradientes que delimitan esta anomalía de norte a sur, siendo 2.5 mGal/Km en el Norte y 3.6 mGal/Km en el Sur, diferencias posiblemente debidas a la influencia de posibles anomalías de carácter regional. Al Este de la anomalía el gradiente es más suave (2.0 mGal/Km). Estas diferencias en los gradientes también se pueden interpretar como debidas a diferencias en el grado de verticalización de los contactos del cuerpo intrusivo, lo que le confiere una forma asimétrica (quizá elíptica) la cual también se pone de manifiesto hacia el E, (Anomalía P). (Ver Cap. 7).

La anomalía G situada en el borde W del mapa, está caracterizada por valores negativos de -11 mGal y representa la prolongación del Batolito de Alburquerque hacia el Oeste. La unión de estas dos anomalías F y G se realiza a través de la zona anomala H, la cual parece de difícil interpretación. En ella, la inflexión de las curvas muestra una dirección general aproximada NE-SW (N20-N30), pero también parece que existe una alineación definida por la unión de los dos gradientes máximos al NW y SE de

la anomalía H. La correspondencia geológica de la dirección N20-30, en la zona, viene definida por numerosas fracturas de extensión rellenas de cuarzo que corresponden a la familia de fallas del accidente tectónico del Alentejo-Plasencia (ver informe anual). Por otra parte, la dirección N170 deducida del mapa de anomalias de Bouguer, está bien representada en todo el área por una dirección estructural importante. Esta dirección, en la zona del sinclinal de La Codosera (zona Sur), sufre una progresiva rotación desde N170E hasta aproximadamente E-W la cual se ha interpretado como originada por un movimiento de cizalla de sentido sinistral (Fig.24). En el mapa de anomalias de Bouguer, este efecto de rotación podría estar marcado por la tendencia que señalan los contornos de las anomalías mayores, (Anomalías F, G, H y L).

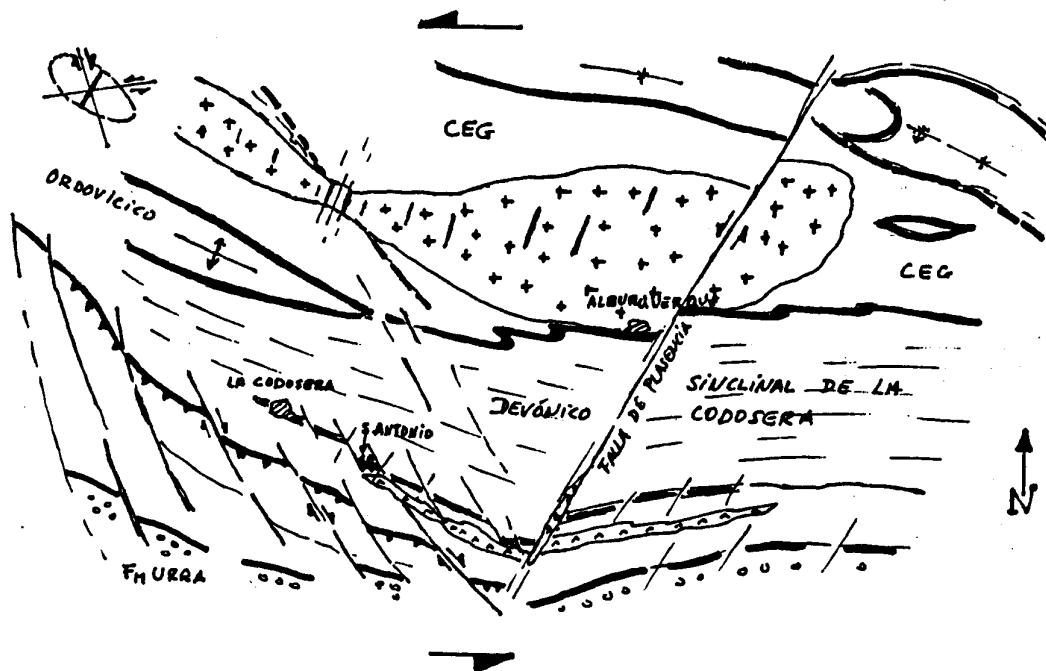


FIGURA.24.- TENDENCIAS DE FRACTURACION AL SUR DEL BATOLITO DE ALEURQUERQUE Y SINCLINAL DE LA CODOSERA (no escala).

La anomalía I es en realidad un área anómala de dirección aproximada N20 que se prolonga de sur a norte del mapa y viene marcada por la forma lobulada de los contornos de la anomalía F en su sector Este. Esta zona anómala I, se corresponde geológicamente con el trazado de la falla del Alentejo-Plasencia, la cual está representada por un conjunto de fracturas de direcciones comprendidas entre N20 y N45E.

La anomalía negativa J, es el inicio de una anomalía que parece definirse al W de la zona de estudio, cuya dirección y carácter no quedan suficientemente patentes en este mapa. Comprobar la existencia real de esta anomalía puede tener gran interés; primero, porque si corresponde con un granito oculto, no se conoce su existencia en el sinclinal de La Codosera y segundo, por su situación la cual puede ser de gran importancia metalogénica y minera. Datos que apoyan la existencia de dicha anomalía son la presencia de campos abiertos clasificados como "de contacto" en la imagen Landsat TM, así como las anomalías radiométricas de Potasio, al Oeste de la zona anómala.

De la misma forma, la anomalía K representa un mínimo, muy acusado y bastante bien delimitado, pero al estar en una de las esquinas del mapa, su interpretación se hace dudosa por el efecto de borde que se puede producir en esta zona.

En cuanto a las anomalías de carácter positivo que aparecen en la zona de Alburquerque - La Codosera se pueden diferenciar:

1- Anomalías L que corresponden a las dos anomalías situadas al sur de la zona.

2- Anomalías M situadas en el centro-norte del mapa.

3- Lineamiento N situado en el centro del mapa de anomalías de Bouguer, y que puede ser la dirección de las masas responsables de la anomalía M.

Las anomalías L corresponden a máximos relativos incluidos dentro de una anomalía positiva de mayor rango que es la que coincide con la situación del Sinclinal de La Codosera. Estas dos anomalías, de dimensiones menores, podrían ser fácilmente correlacionables con las rocas básicas (diabasas) que aparecen interestratificadas en la serie Devónica de dicho Sinclinal. Dentro de las anomalías L, la más oriental podría corresponder también a algún cuerpo de gabros de los que intruyen a favor de la falla de Plasencia.

Las zonas anómalas M y la alineación N representan un exceso de gravedad que se corresponde con el trazado estructural de la alineación de la Sierra de San Pedro. La estructuración de esta unidad, constituida en su mayor parte por materiales Paleozoicos, marca el límite norte de la zona de estudio.

CAPITULO 7
MODELIZACION

CAPITULO 7
INTERPRETACION CUANTITATIVA

La interpretación cuantitativa consiste en la realización de modelos con los que se obtiene una configuración 2D ó 2.5D, mediante un proceso iterativo que genera sucesivas curvas teóricas de atracción gravitacional, hasta conseguir el ajuste a la anomalía real.

Este proceso se ha realizado mediante el programa MAGIX (Golden CO, USA) que se basa en el método descrito por Taiwani et.al.(1959). Se requieren, por una parte una configuración de los poligonos de ajuste, que se realiza mediante una aproximación a los datos geológicos regionales y basándose en la cartografía de la zona de estudio (ver cap.3) y, por otra parte, un conocimiento de las densidades que se atribuyen a los poligonos (ver cap.5).

En base al mapa de anomalías de Bouguer, el área de estudio se ha dividido en dos zonas; Zona de Albalá y Zona de La Codosera - Alburquerque, las cuales se diferencian tanto por sus características gravimétricas como geológicas.

Con el fin de una mayor facilidad en el tratamiento de datos y en la elección de perfiles se ha dividido el fichero de estaciones gravimétricas en cuatro ficheros parciales (BOUINI, BOUIN2, BOUIN3 y BOUINLL) y cada uno de ellos ha sido interpolado a una malla regular.

ZONA DE ALBALA

Para la interpretación cuantitativa de la zona de Albalá se han realizado seis perfiles con una dirección E-W, que de Sur a Norte son: Y4350R, Y4352R, Y4354R, Y4356R, Y4358R e Y4360R, siendo: Y = perfil en la dirección E-W según la coordenada Y (UTM); 4352 = coordenada UTM en m. correspondiente al perfil; R= perfil interpretado separando anomalía regional.

Basándose en el plano de anomalías de Bouguer de la Península Ibérica a escala 1/1.000.000, publicado por el I.G.N., se ha elegido una anomalía regional de carácter profundo isostático, que corresponde a un plano buzando hacia el Este y que se representa en los perfiles de anomalías de Bouguer por una línea recta definida por las coordenadas A(0m, -10mGal) y B(35000m, -18mGal), con un gradiente de 0.23 mGal/Km.

Del estudio de los perfiles de anomalías de Bouguer (Figs. 25 a 30) se desprende la existencia de un mínimo de 15 Km de anchura media y un valor próximo a -20 mGal que se sitúa en una posición centrada en el Batolito de Albalá. Teniendo en cuenta que el Stock de Albalá atraviesa únicamente los materiales del CEG, y dadas las características de este mínimo gravimétrico, se considera que está causado exclusivamente por un defecto de masa atribuible a las rocas graníticas que constituyen dicho Stock de Albalá.

Teniendo en cuenta un contraste de densidad entre ambos materiales de -0.1 gr/cc (CEG=2.72 ; granitos=2.62 gr/cc), y considerando la dimensión "longitud en dirección" (strike length) en función de la posible extensión lateral del cuerpo granítico,

los resultados de la interpretación son los que se presentan en las figuras 25, 26, 27, 28, 29 y 30.

En base a los resultados obtenidos, se deduce que el stock de Albalá es un cuerpo intrusivo granítico con una profundidad máxima comprendida entre 9 y 10 Km y una anchura de unos 22 Km. Muestra una morfología típica en forma de "globo" o "stock en seta" con una mayor extensión en las partes superiores del cuerpo (hasta aproximadamente 5Km) y disminuyendo en profundidad. El plutón de Albalá alcanza una considerable profundidad en la Corteza, pues entre el 60 y 70% de la masa granítica se sitúa por encima de los 5 Km de profundidad, y el resto (30% aprox.), queda distribuida hasta su profundidad máxima.

La inclinación de los contactos señala con claridad una asimetría del cuerpo siendo convergentes en profundidad (>5 Km), lo que le confiere una característica forma cónica, aunque la pendiente de los contactos próximos a la superficie es similar (30-60º y divergentes).

Esta forma es característica de los stocks que se emplazan en parte, debido a mecanismos de ascenso diapírico y a inyección forzada, dando lugar a masas ígneas de considerable dimensión y desenraizadas, tal es el caso de stocks postcinemáticos.

La interpretación geológica de los modelos de los perfiles se muestra en la figura 26 (perfil Y4358R) en el cual se observan las características arriba mencionadas.

Por otra parte, en los perfiles Y4354R, Y4352R e Y4350R se observa que la anomalía obtenida no queda suficientemente

justificada con un único cuerpo granítico, por esta razón, se ha incluido otro polígono que se corresponde con el stock granítico de Montánchez. Este cuerpo con el mismo contraste de densidad (-0.1 gr/cc), es aflorante en los perfiles Y4350R e Y4352R y subaflorante en el perfil Y4354R. Su profundidad media es difícil de determinar ya que queda en uno de los márgenes de la zona de estudio, pero no obstante, sus dimensiones disminuyen hacia el Norte, lo que le confiere una forma elipsoidal de dirección aproximadamente N-S y cabeceo hacia el Norte.

Las relaciones entre estas dos masas graníticas son difíciles de establecer. De la observación de los perfiles (figs. 28, 29 y 30) parece que existe una clara discontinuidad entre ambas y por criterios de campo se sabe que aunque composicionalmente ambas masas son similares (monzogranitos) existen importantes diferencias estructurales. El granito de Montánchez desarrolla una fuerte fábrica C-S debida a que ha sido sometido a mecanismos de cizallamiento dúctil, mientras que el granito de Albalá no presenta deformación. Por lo tanto probablemente ambos granitos son heterócronos y además pueden estar separados por una zona de intensa deformación dúctil-frágil que justifique la discontinuidad observada en los perfiles.

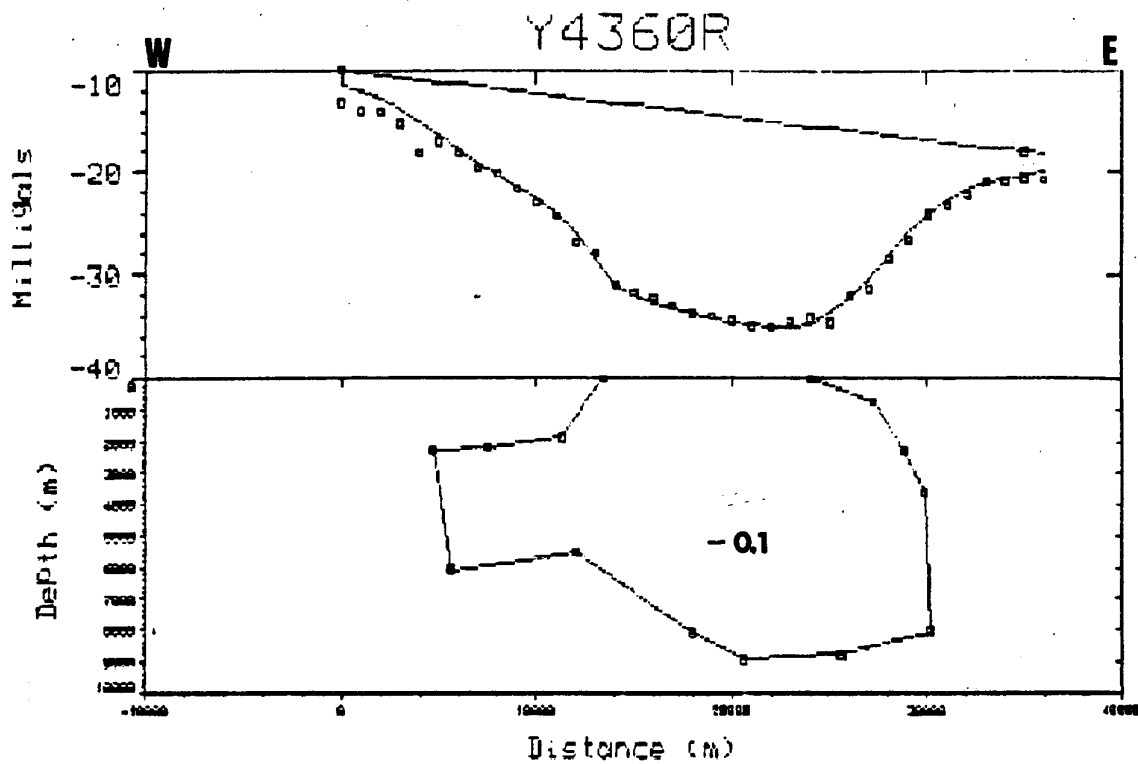


FIG - 25

Gravity Model Parameters 4360

	X (M)	FREE?	Z (M)	FREE?	g/cc	FREE?
1	13400	NO	0	NO	-0.1	NO
2	24000	NO	0	NO		
3	27216.8555	YES	724.699	YES		
4	28796.2715	YES	2267.6221	YES		
5	29862.8398	YES	3664.1792	YES		
6	30140.6172	YES	8034.4004	YES		
7	25558.0527	YES	8793.998	YES		
8	20607.1895	YES	8962.7441	YES		
9	17920.0391	YES	8114.3774	YES		
10	12053.3926	YES	5535.4771	YES		
11	5631.0723	YES	6073.3003	YES		
12	4700.0713	YES	2266.7302	YES		
13	7514.1562	YES	2166.4441	YES		
14	11285.9053	YES	1890.9761	YES		

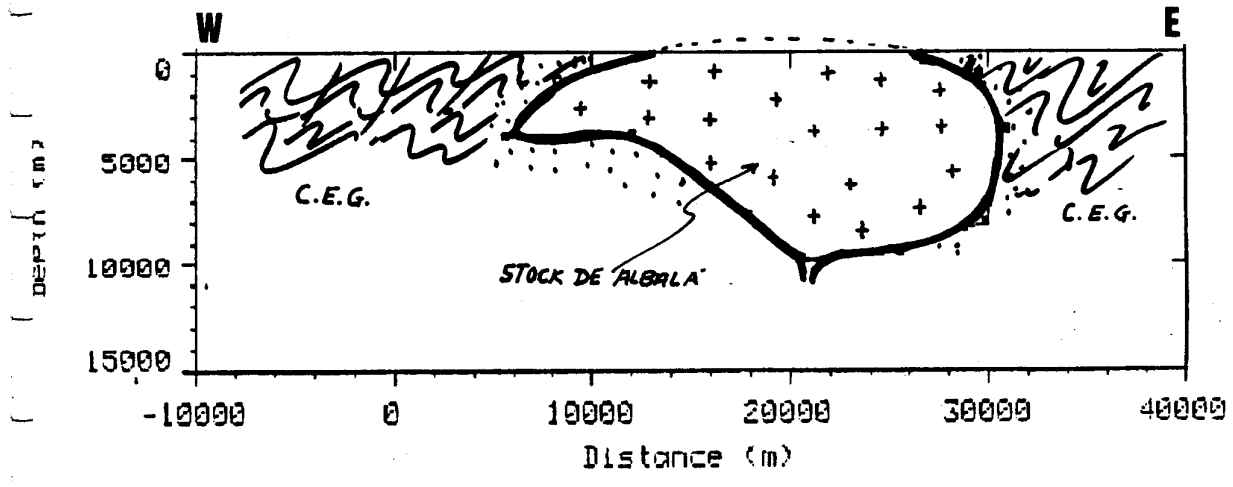
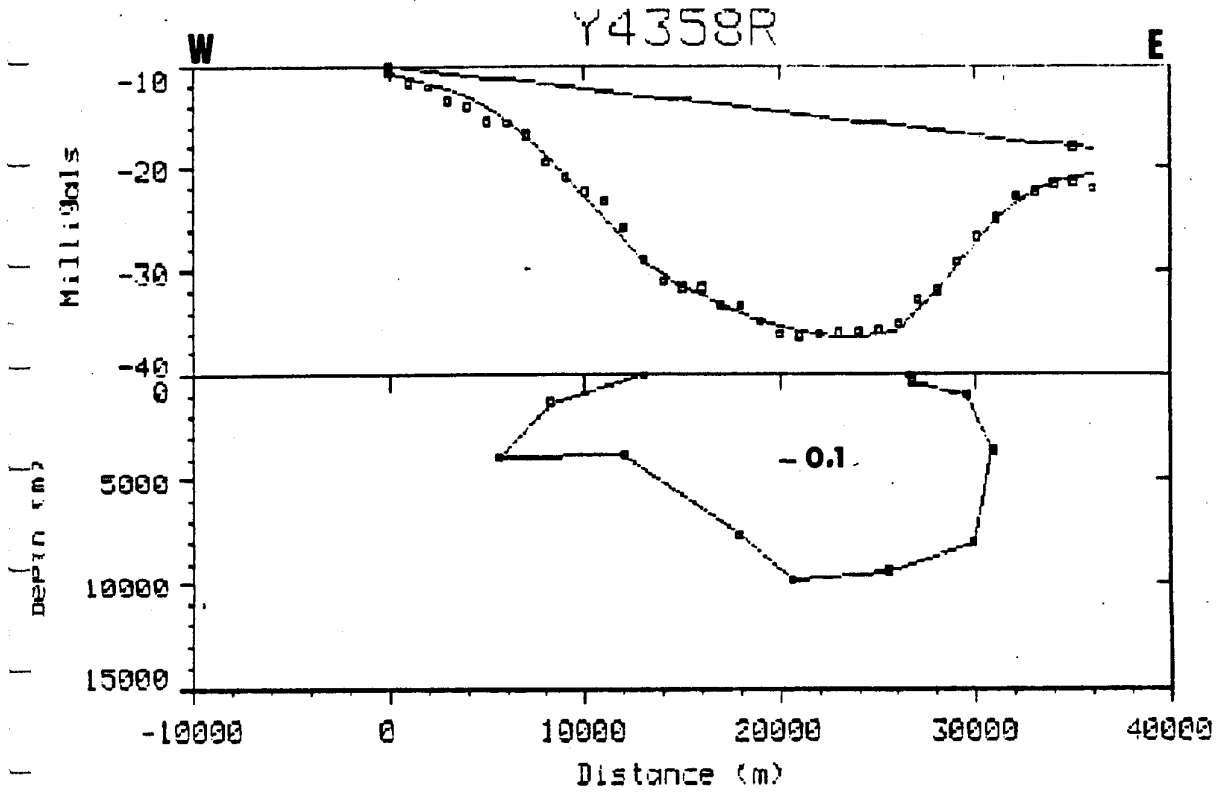


FIG 26

Gravity Model Parameters 4358

	X (M)	FREE?	Z (M)	FREE?	g/cc	FREE?
1	13000	NO	0	NO	-0.1	NO
2	26500	NO	0	NO		
3	26700	YES	300	YES		
4	29520.0156	YES	1000.0001	YES		
5	30800	YES	3600	YES		
6	29840.0625	YES	8000.0024	YES		
7	25500	YES	9370.0361	YES		
8	20600.0039	YES	9830.2031	YES		
9	17900	YES	7600.0513	YES		
10	12000.0078	YES	3810.0242	YES		
11	5600	YES	3900	YES		
12	8240.0273	YES	1310.0651	YES		

Y4356R

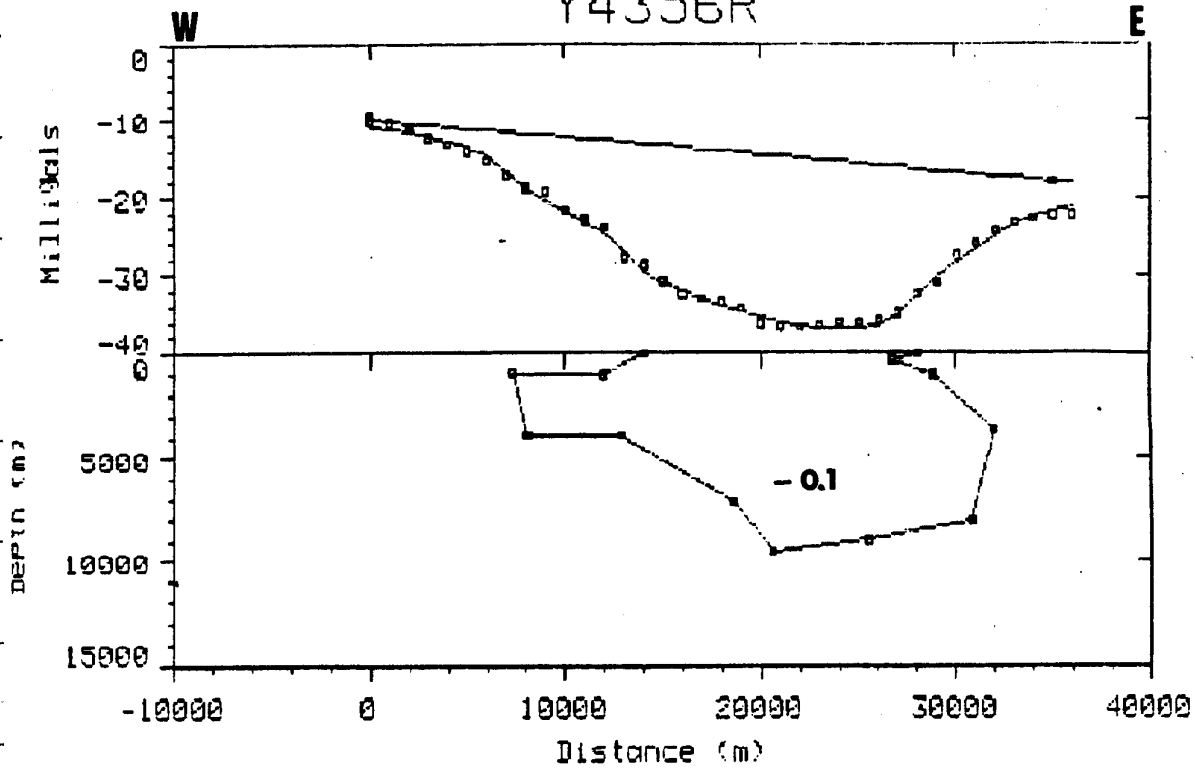


FIG 27

Gravity Model Parameters 4356

	X (M)	FREE?	Z (M)	FREE?	g/cc	FREE?
1	14000	NO	0	NO	-0.1	NO
2	28000	NO	0	NO		
3	26700	YES	290	YES		
4	28800	YES	1037	YES		
5	31940.0176	YES	3660.0002	YES		
6	30830.0312	YES	8034.0015	YES		
7	25500	YES	8970.0352	YES		
8	20600.0039	YES	9540.0361	YES		
9	18590.0215	YES	7100.0005	YES		
10	12820.0176	YES	3950.0251	YES		
11	8059.8926	YES	3900.0002	YES		
12	7310.0186	YES	939.9561	YES		
13	11966.3926	YES	1045.766	YES		

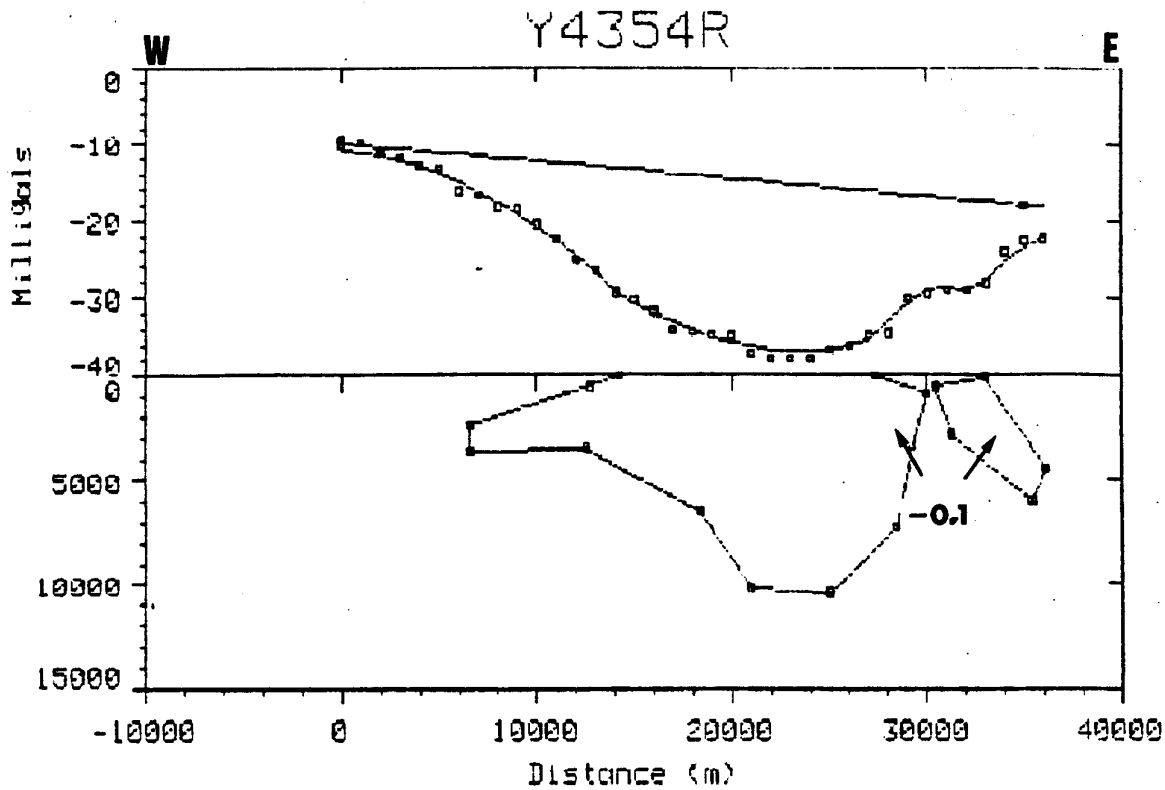


FIG 28

Gravity Model Parameters 4354

	X (M)	FREE?	Z (M)	FREE?	g/cc	FREE?
1	14200	NO	0	NO	-0.1	NO
2	27300	NO	0	NO		
3	29950.3066	YES	860.0889	YES		
4	29264.7754	YES	3452.0019	YES		
5	28443.377	YES	7262.7998	YES		
6	25044.6445	YES	10394.5762	YES		
7	21011.1719	YES	10233.6182	YES		
8	18321.0566	YES	6478.4761	YES		
9	12510.2773	YES	3482.8862	YES		
10	6576.603	YES	3702.2566	YES		
11	6556.2148	YES	2383.7693	YES		
12	12765.6982	YES	520.4224	YES		

Gravity Model Parameters

	X (M)	FREE?	Z (M)	FREE?	g/cc	FREE?
1	32912.957	YES	35.0759	YES	-0.1	NO
2	36072.582	YES	4449.52	YES		
3	35403.1484	YES	5994.7051	YES		
4	31274.2539	YES	2855.623	YES		
5	30421.9746	YES	526.399	YES		

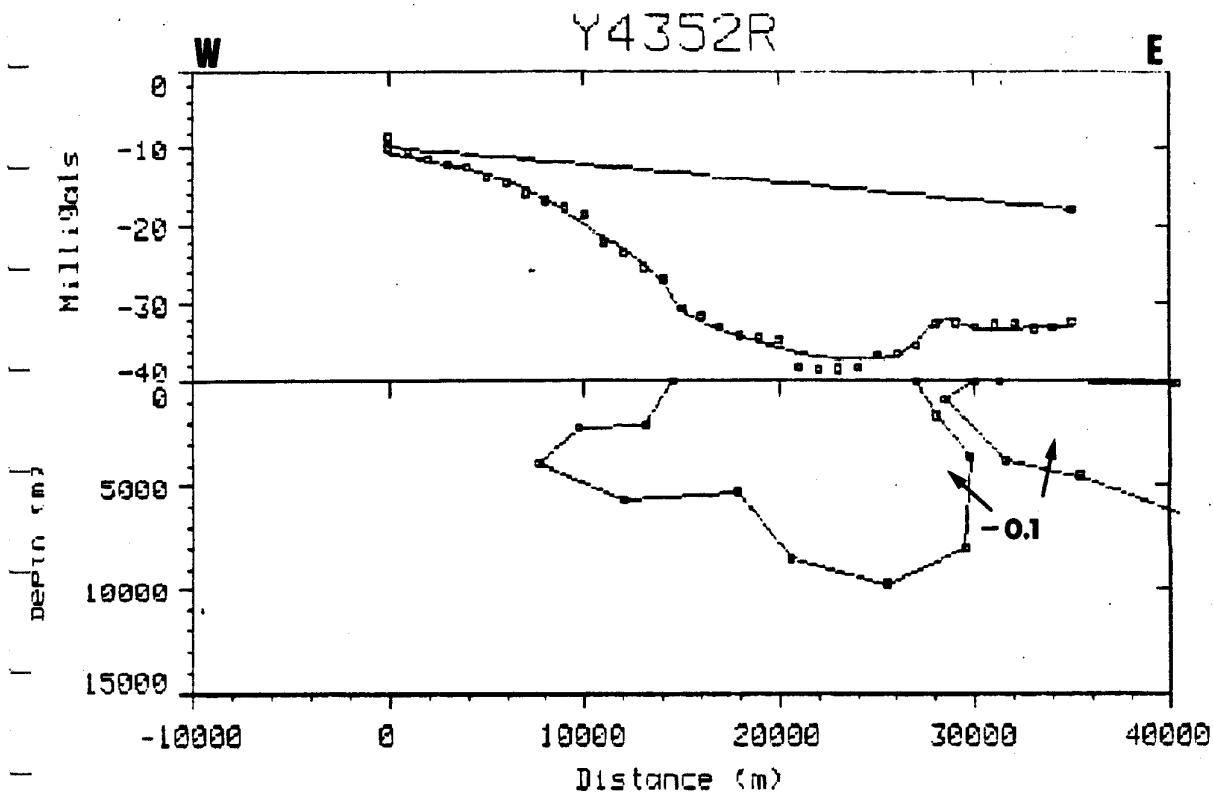


FIG 29

Gravity Model Parameters 4352

	X (M)	FREE?	Z (M)	FREE?	g/cc	FREE?
1	14500	NO	0	NO	-0.1	NO
2	27000	NO	0	NO		
3	28020.2246	YES	1677.0361	YES		
4	29760.248	YES	3664.0002	YES		
5	29500.1309	YES	8034.0015	YES		
6	25500	YES	9750.0352	YES		
7	20600.0039	YES	8560.04	YES		
8	17900	YES	5270.041	YES		
9	12000	YES	5695	YES		
10	7661.0571	YES	3953.0012	YES		
11	9754.0732	YES	2235.999	YES		
12	13113.7598	YES	2163.76	YES		

Gravity Model Parameters

	X (M)	FREE?	Z (M)	FREE?	g/cc	FREE?
1	30000	NO	0	NO	-0.1	NO
2	31200	NO	0	NO		
3	40336.4766	YES	113.993	YES		
4	43975.0156	YES	2061.9324	YES		
5	42159.8437	YES	6976.8042	YES		
6	35411.8086	YES	4516.29	YES		
7	31542.8242	YES	3780.5083	YES		
8	28471.1191	YES	833.194	YES		

Y4350R

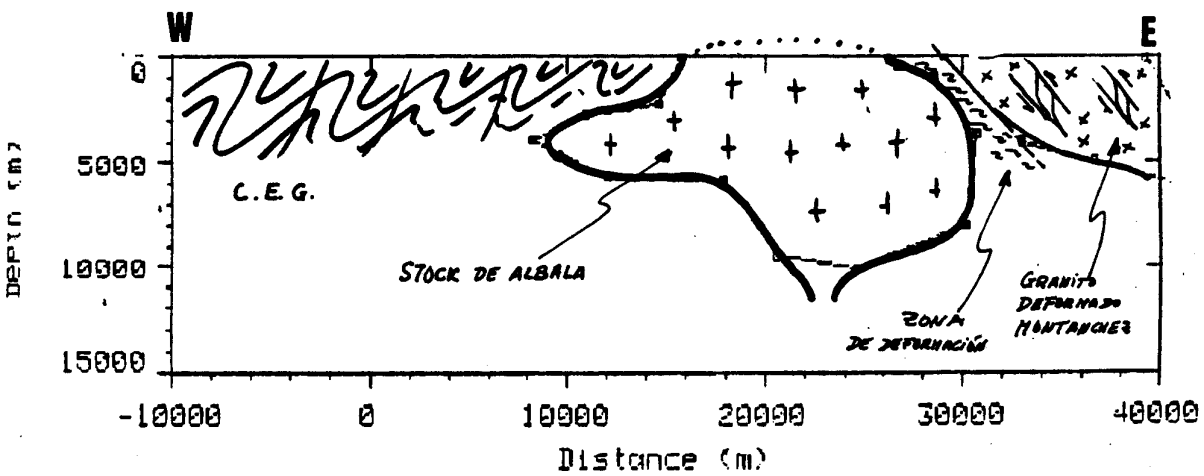
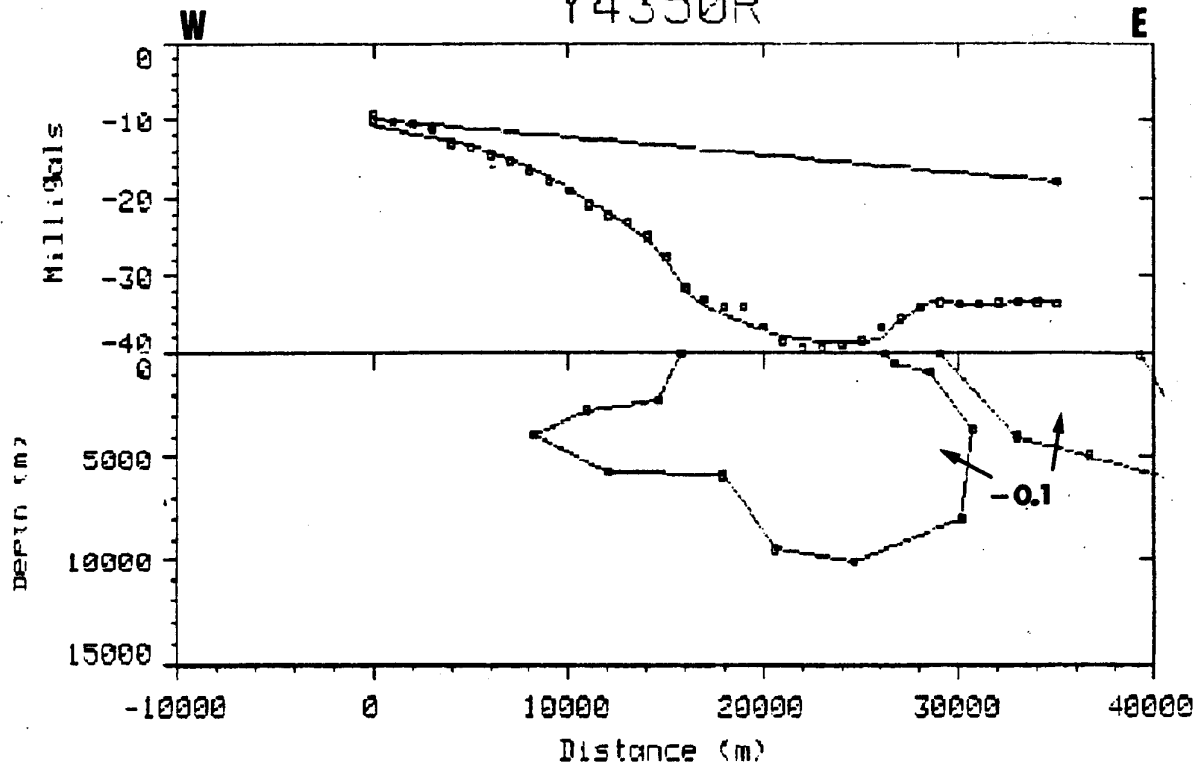


FIG 30

Gravity Model Parameters 4350

	X (M)	FREE?	Z (M)	FREE?	g/cc	FREE?
1	15800	NO	0	NO	-0.1	NO
2	26200	NO	0	NO		
3	26600.125	YES	463.942	YES		
4	28510.1211	YES	846.989	YES		
5	30700	YES	3664	YES		
6	30100	YES	8034	YES		
7	24590.127	YES	10050.0342	YES		
8	20600.0039	YES	9480.0342	YES		
9	17900	YES	5890.0352	YES		
10	12000	YES	5695	YES		
11	8229.8945	YES	3953.0012	YES		
12	10883.9766	YES	2716.0342	YES		
13	14627.3047	YES	2235.5081	YES		

Gravity Model Parameters

	X (M)	FREE?	Z (M)	FREE?	g/cc	FREE?
1	29010.0547	NO	0	NO	-0.1	NO
2	39303.910	NO	0	NO		
3	43490.3242	YES	6765.1172	YES		
4	36657.2148	YES	4890.644	YES		
5	32980.0312	YES	4010.2302	YES		

ZONA DE ALBURQUERQUE- LA CODOSERA

En la interpretación cuantitativa de la zona de Alburquerque se ha realizado la modelización de seis perfiles con una dirección N-S, que de Este a Oeste son: X680R, X676R, X672R, X669R, X666R y X660R (figuras 31, 32, 33, 34, 35 y 36).

De la misma forma que para la zona de Albalá y basándose en el plano de anomalías de Bouguer a escala 1/1.000.000 de la Península Ibérica publicado por el I.G.N, se ha elegido una tendencia regional que elimine exclusivamente aquellos efectos debidos a anomalías muy profundas isostáticas. Esta regional corresponde a un plano horizontal con cota 5 mGal y por tanto gradiente cero. En todos los perfiles se observa una anomalía negativa de aproximadamente -20 mGal de valor mínimo, y anchura comprendida entre 10 y 12 Km que se correlaciona posicionalmente con el Batolito de Alburquerque. Esta anomalía negativa viene en parte contrarrestada por las anomalías positivas, que a Norte y Sur de los perfiles, generan los materiales Paleozoicos de la Sierra de San Pedro y del sinclinal de La Codosera respectivamente (Figura 22):

Para llevar a cabo la modelización, los contrastes de densidad atribuidos a los polígonos han sido los siguientes:

$$d \text{ (CEG y Mat. Graníticos)} = -0.1 \text{ gr/cc}$$

$$d \text{ (CEG y Mat. Paleozoicos)} = 0.05 \text{ gr/cc.}$$

El contraste de densidad entre los materiales del CEG y los

Paleozoicos está justificado por la existencia de rocas básicas.

Estas rocas interestratificadas en la Serie Paleozoica dan lugar a un aumento considerable de la densidad global de estos materiales.

En base a los resultados obtenidos se deducen las siguientes consideraciones:

Las rocas graníticas que forman el Batolito de Albuquerque llegan a una profundidad máxima comprendida entre 10 y 11 Km. La anchura media del cuerpo es de unos 12 Km y más del 60% de la masa granítica se sitúa por encima de los 5 Km de profundidad, lo que le confiere una morfología "en pera" o cónica con una reducción de masa en profundidad a partir de los 5 Km. Según se desprende de los perfiles, el contacto Norte está más verticalizado que el Sur, y también parece que se observa una extensión lateral del cuerpo hacia el Sur.

El polígono que se observa al Sur de los perfiles, ocupa la situación que tiene el Sinclinal de La Codosera. Los materiales Paleozoicos que constituyen dicho Sinclinal, en ocasiones muestran una profundidad excesiva para una estructura de este tipo, por ejemplo, el X680r. La explicación podría ser por una parte, la existencia de rocas básicas que hacen que aumente la densidad de la Serie y consiguientemente el valor de la gravedad, y por otra el que exista una duplicación de sedimentos debida a la estructura de imbricaciones que caracteriza la parte Sur del Sinclinal de La Codosera.

Se mantiene un cierto paralelismo entre el contacto del polígono correspondiente a los materiales paleozoicos y el del sur del Batolito, llegando incluso a aparecer el cuerpo granítico por debajo del sinclinal. Este paralelismo sugiere un contacto mecánico entre ambas unidades (cabalgamiento o falla de extensión).

El perfil X650R que es el situado más al Oeste y coincide con el estrechamiento cartografiado del Batolito, es analizado individualmente ya que presenta unas características diferentes a los anteriores. Se observan claramente dos mínimos gravimétricos, el A (fig 3b) que estaría atribuido exclusivamente al defecto de masa causado por los materiales graníticos, y el mínimo B en el que se unen dos factores, al mínimo originado por una posible prolongación del Batolito de Albuquerque hacia el sur, se superpone el efecto positivo que causan los materiales Paleozoicos del Sinclinal de la Codosera.

La posibilidad de dos cuerpos graníticos individualizados para justificar los dos mínimos gravimétricos quedó, en principio, descartada tras varios ensayos en la interpretación, aunque está sujeta a nuevos datos que puedan ampliar los conocimientos en este sentido.

Se ha optado por considerar un único cuerpo granítico que se prolonga hacia el sur por debajo del sinclinal de La Codosera.

Este cuerpo tiene una morfología irregular; la parte principal A correlacionable con el Batolito de Albuquerque,

llega hasta una profundidad máxima de 7000 m y sus contactos en

cotas hacia la superficie son convergentes, y verticalizado el contacto sur. La prolongación del cuerpo hacia el sur, (Zona B, Fig 36), se sitúa por debajo del Sinclinal de La Codosera (C), a una profundidad de unos 1500 m, llegando a alcanzar los 8000 m.

La interpretación geológica de este perfil (Fig. 36), resulta de gran interés por las implicaciones geológicas que pueda llevar consigo. Sin forzar el trazado de la geometría de dichos cuerpos, resulta tentador suponer que pueda tratarse de un cuerpo en principio de geometría uniforme, desplazado por un importante accidente estructural (falla de extensión) que hunda el bloque sur unos 1000 m, lo que justificaría que no existan indicios en la superficie de la presencia de dicho granito, ya que se sitúa a una considerable profundidad por debajo del Sinclinal de La Codosera. Además se sospecha de la existencia de esta falla en el terreno hacia la zona del estrechamiento del Batolito de Albuquerque aunque su caracterización es difícil de establecer.

X680R

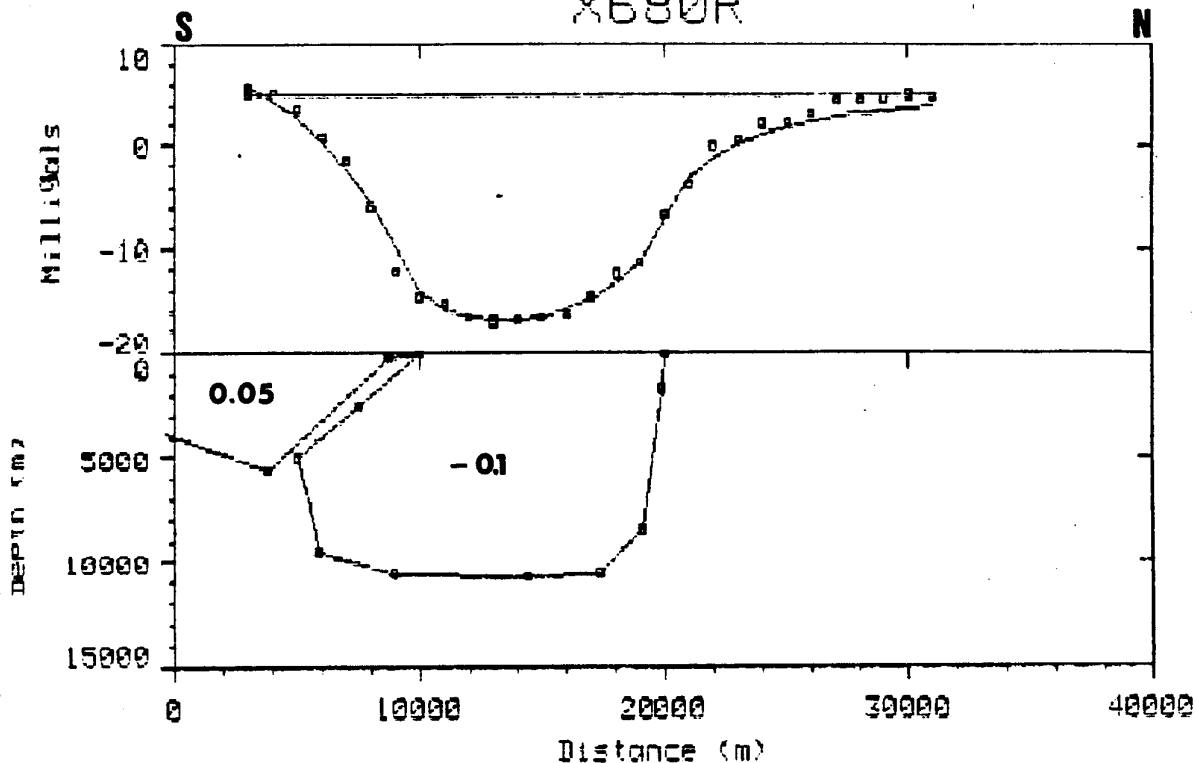


FIG 31

Gravity Model Parameters 680

	X (M)	FREE?	Z (M)	FREE?	g/cc	FREE?
1	10000	NO	0	NO	-0.1	NO
2	20000	NO	0	NO		
3	19905.416	YES	1704.7191	YES		
4	19080.1094	YES	8447.4863	YES		
5	17340.8242	YES	10534.416	YES		
6	14376.6494	YES	10697.0342	YES		
7	8913.0566	YES	10520.6172	YES		
8	5903.9141	YES	9522.3174	YES		
9	5009.4712	YES	5000.1431	YES		
10	7522.7983	YES	2504.8191	YES		

Gravity Model Parameters

	X (M)	FREE?	Z (M)	FREE?	g/cc	FREE?
1	-9495.457	YES	0	NO	0.05	NO
2	10000	NO	0	NO		
3	8736.7598	YES	219.9021	YES		
4	3789.7559	YES	5620.459	YES		

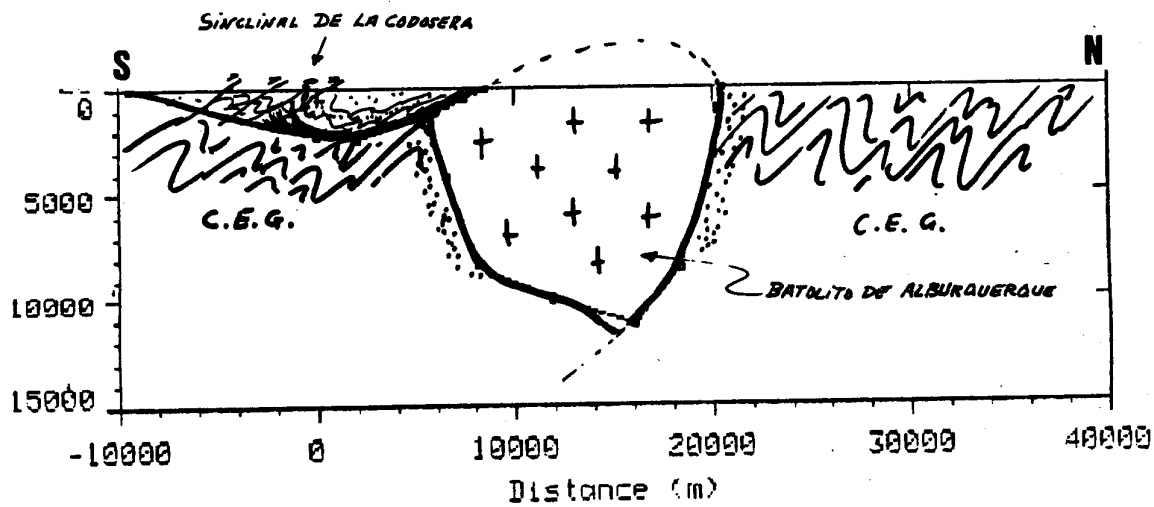
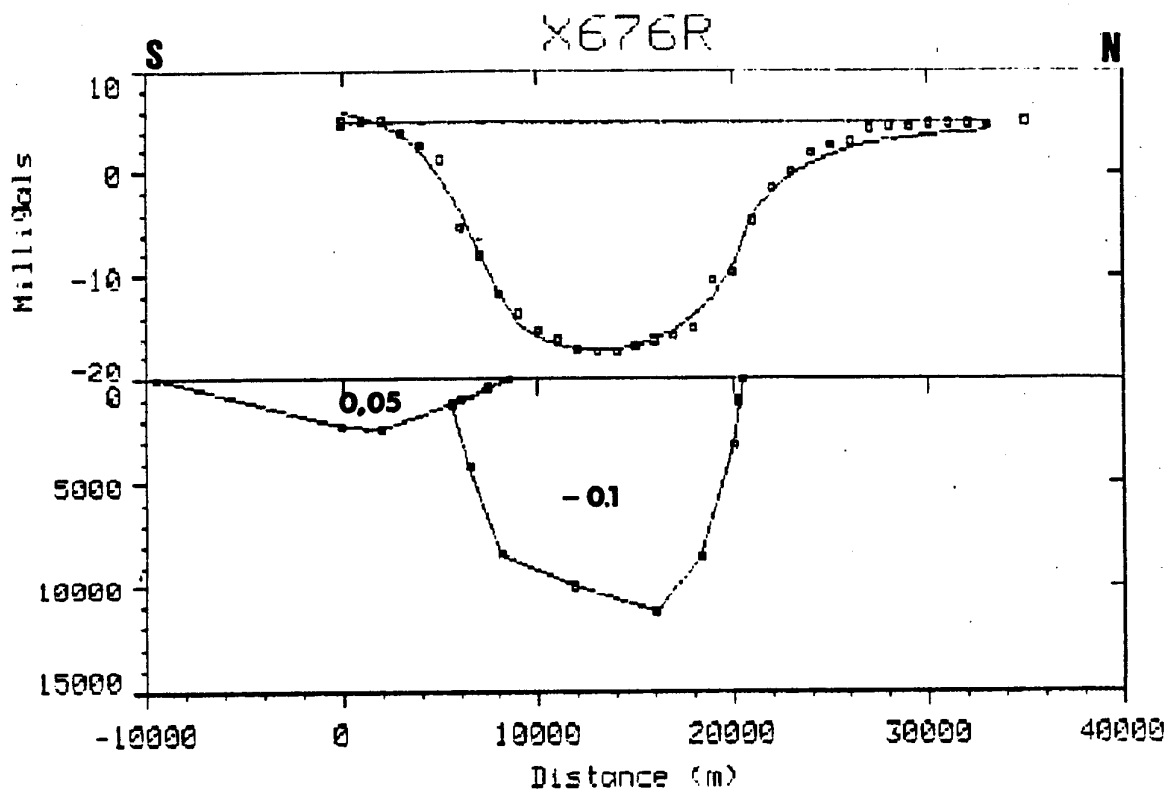


FIG 32

Gravity Model Parameters 676

	X (M)	FREE?	Z (M)	FREE?	g/cc	FREE?
1	8500	NO	0	NO	-0.1	NO
2	20500	NO	0	NO		
3	20316.4434	YES	1065.062	YES		
4	20063.2793	YES	3121.5471	YES		
5	18338.9395	YES	8553.166	YES		
6	16086.3135	YES	11180.0254	YES		
7	11806.4502	YES	10000	YES		
8	8081.3345	YES	8411.3262	YES		
9	6477.9453	YES	4198.1782	YES		
10	5554.5664	YES	1182.504	YES		
11	7428.5542	YES	428.5869	YES		

Gravity Model Parameters

	X (M)	FREE?	Z (M)	FREE?	g/cc	FREE?
1	-9448.625	YES	0	NO	0.05	NO
2	8500	NO	0	NO		
3	6000	YES	1000	YES		
4	2000.0001	YES	2379.937	YES		
5	0	YES	2229.9412	YES		

X672R

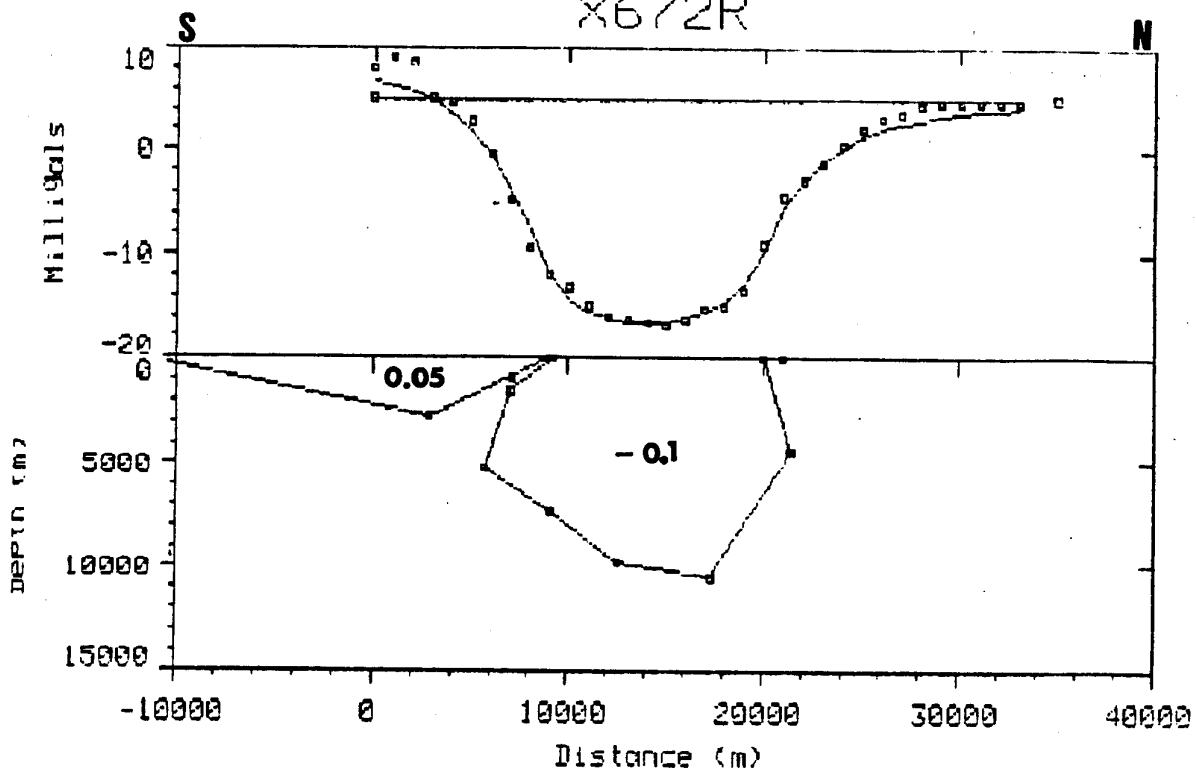


FIG 33

Gravity Model Parameters 672

	X (M)	FREE?	Z (M)	FREE?	g/cc	FREE?
1	9250	NO	0	NO	-0.1	NO
2	21000	NO	0	NO		
3	20000.3301	YES	1.084	YES		
4	21426.334	YES	4400.2071	YES		
5	17340.5176	YES	10499.2861	YES		
6	12526.1309	YES	9837.4023	YES		
7	9114.873	YES	7409.9756	YES		
8	5714.3013	YES	5199.0693	YES		
9	7054.5625	YES	1550.295	YES		

Gravity Model Parameters

	X (M)	FREE?	Z (M)	FREE?	g/cc	FREE?
1	-11684.2871	YES	0	NO	0.05	NO
2	9000	NO	0	NO		
3	7092.0225	YES	910.176	YES		
4	2899.9661	YES	2786.9272	YES		

X669R

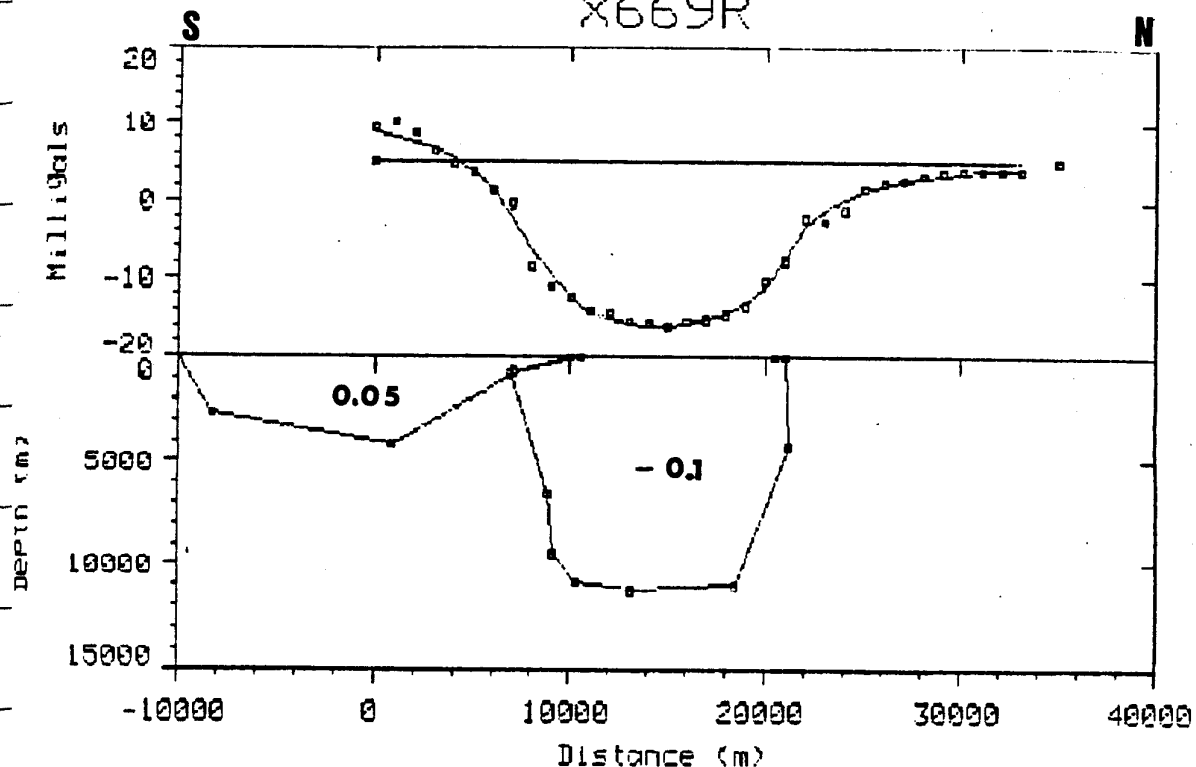


FIG 34

Gravity Model Parameters 669

	X (M)	FREE?	Z (M)	FREE?	g/cc	FREE?
1	10500	NO	0	NO	-0.1	NO
2	20500	NO	0	NO		
3	21028.1758	YES	1.2015	YES		
4	21201.7012	YES	4305.2319	YES		
5	18404.0457	YES	11022.0283	YES		
6	13140.9287	YES	11264.9004	YES		
7	10307.958	YES	10847.5674	YES		
8	9114.6885	YES	9490.0273	YES		
9	8866.9707	YES	6578.7026	YES		
10	6925.1392	YES	788.6721	YES		

Gravity Model Parameters

	X (M)	FREE?	Z (M)	FREE?	g/cc	FREE?
1	-10013.1826	YES	0	NO	0.05	NO
2	10000	NO	0	NO		
3	7116.2368	YES	676.1949	YES		
4	900.9451	YES	4152.9044	YES		
5	-8286.3584	YES	2649.8247	YES		

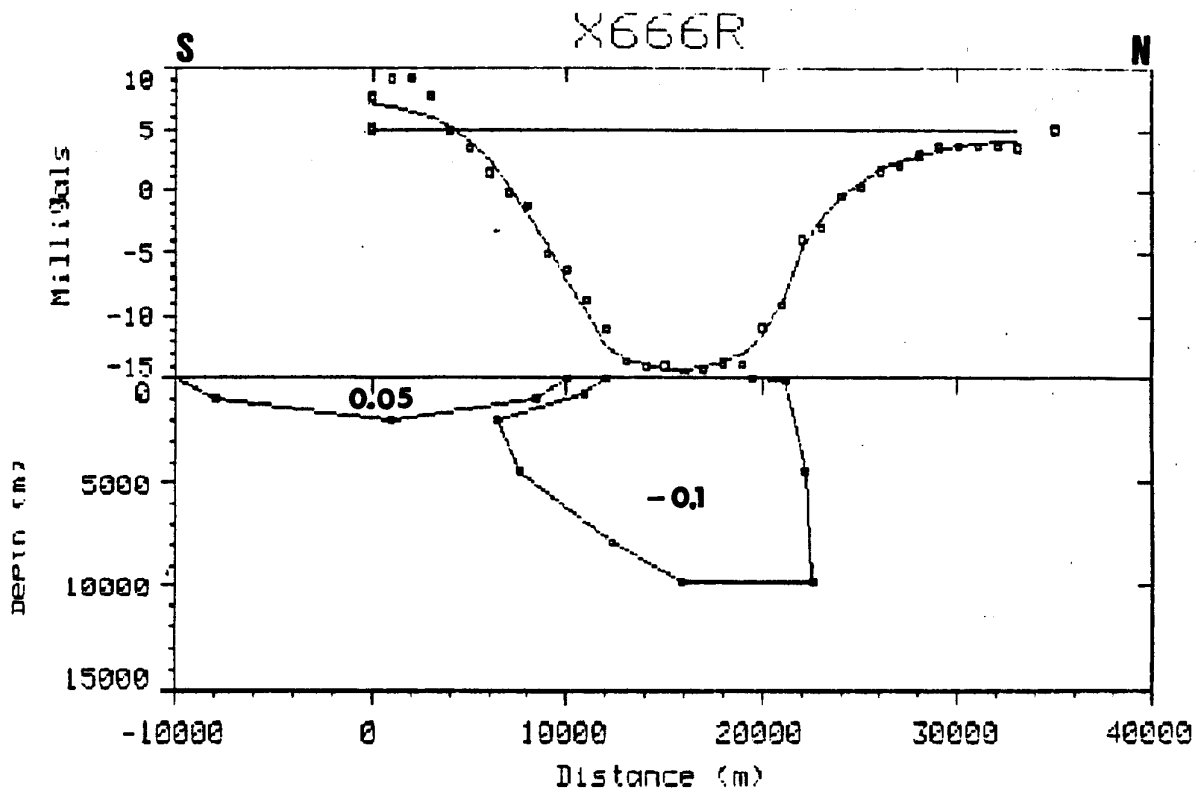


FIG 35

Gravity Model Parameters 666

	X (M)	FREE?	Z (M)	FREE?	g/cc	FREE?
1	12000	NO	0	NO	-0.1	NO
2	19500	NO	0	NO		
3	21172.2148	YES	82.9993	YES		
4	22211.334	YES	4431.8356	YES		
5	22575.9219	YES	9790.1182	YES		
6	15887.6953	YES	9850.7432	YES		
7	12364.0928	YES	7913.8462	YES		
8	7598.7783	YES	4464.7671	YES		
9	6429.8213	YES	2042.5741	YES		
10	10912.5371	YES	722.144	YES		

Gravity Model Parameters

	X (M)	FREE?	Z (M)	FREE?	g/cc	FREE?
1	-10090.0139	YES	0	NO	0.05	NO
2	10000	NO	0	NO		
3	8489.0793	YES	1000	YES		
4	1000	YES	2000	YES		
5	-8000	YES	1000	YES		

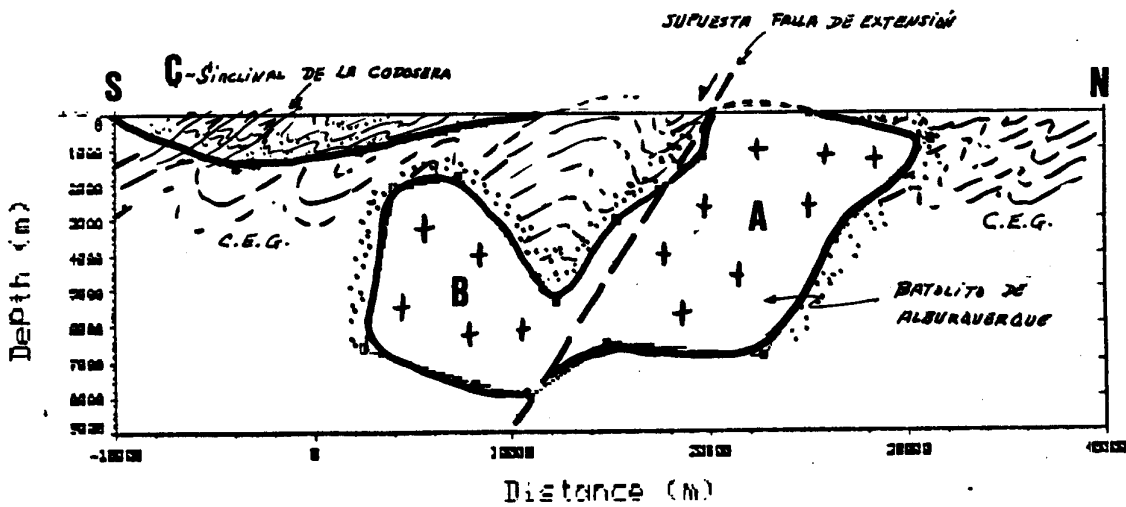
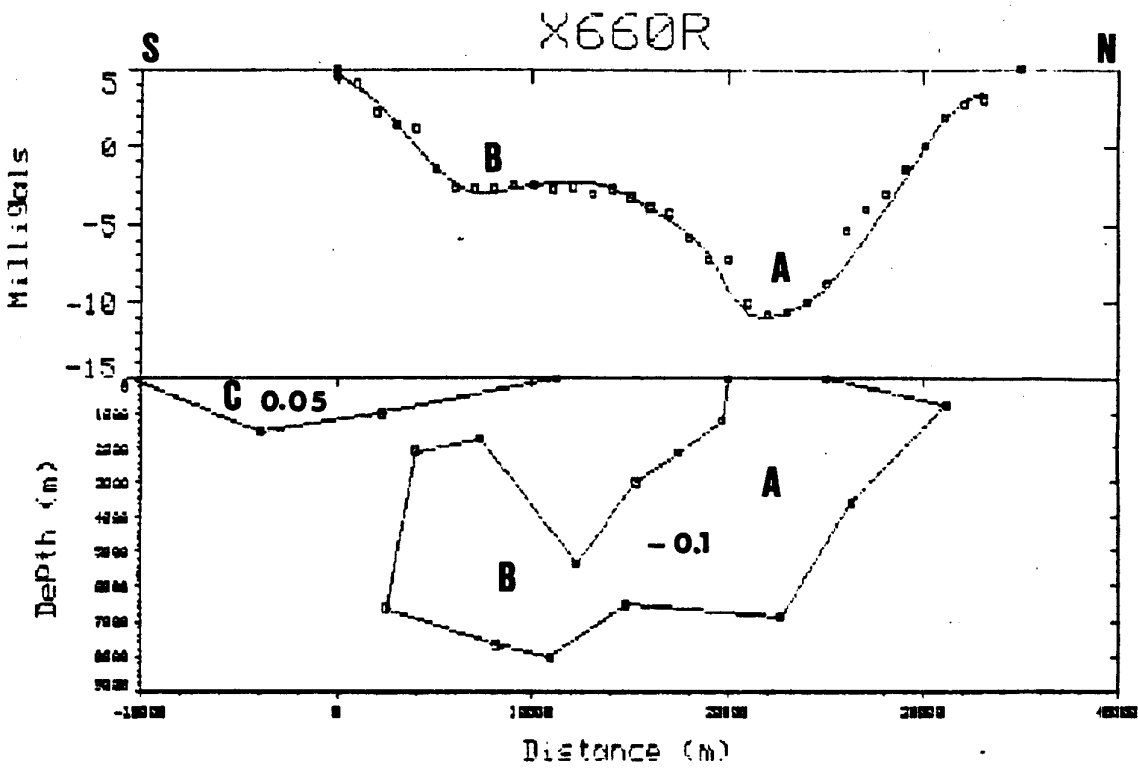


FIG 36

Gravity Model Parameters 660

	X (M)	FREE?	Z (M)	FREE?	g/cc	FREE?
1	20000	NO	0	NO	-0.1	NO
2	25000	NO	0	NO		
3	31090.0762	YES	736.0001	YES		
4	26300	YES	3593	YES		
5	22689.9785	YES	6870.0015	YES		
6	14760.0088	YES	6528.0205	YES		
7	10900	YES	8043.0093	YES		
8	8099.0015	YES	7684.0205	YES		
9	2498.979	YES	6626.0005	YES		
10	4000	YES	2093	YES		
11	7339.0005	YES	1731.9691	YES		
12	12260.002	YES	5358.02	YES		
13	15300	YES	3005.019	YES		
14	17460	YES	2126.9631	YES		
15	19700	YES	1226.026	YES		

Gravity Model Parameters

	X (M)	FREE?	Z (M)	FREE?	g/cc	FREE?
1	-10558.8447	YES	0	NO	0.05	NO
2	11250	NO	0	NO		
3	2273.9605	YES	1000	YES		
4	-3994.3071	YES	1500	YES		

APENDICE I

Contiene 1600 registros , cada uno formado por las variables H, N, X, Y, Z, G, GN, TP, T, A, C, Al.

H- Hoja topográfica escala 1/50.000.

N- Numero de estación

X, Y- Coordenadas U.T.M. en m.

Z- Altura en m.

G- Gravedad medida en mGal.

GN- Gravedad normal en mGal.

TP y T- Corrección topográfica proxima y total en mGal.

A- Anomalía de Bouguer a densidad 2.0 gr/cc.

Al- Anomalía de Bouguer a densidad 2.67 gr/cc.

C - Factor de conversión de densidades (Solo en disco).

GRAVIMETRIA EN: CACERES				PAG N°: 1		DENSIDAD DE REDUCCION: 2.67				
HOJA	NUM	X m.	Y m.	Z m.	G mgal.	GN mgal.	TP mgal.	T mgal.	A mgal.	A1 mgal.
702	1172	684542	4357750	370.63	1039.84	1111.09	0.01	0.20	12.23	1.88
702	1173	684792	4356591	356.34	1039.75	1110.16	0.02	0.18	9.84	-0.11
702	1184	683497	4357723	382.04	1037.80	1111.09	0.01	0.21	12.77	2.11
702	1199	682936	4357132	360.96	1040.41	1110.63	0.01	0.19	11.08	1.00
702	1200	682188	4356434	378.18	1032.99	1110.08	0.01	0.13	8.01	-2.57
702	1214	681126	4357712	421.21	1029.54	1111.13	0.01	0.25	13.31	1.56
702	1215	681263	4356544	352.72	1039.75	1110.19	0.01	0.15	8.97	-0.89
702	1232	680248	4357326	381.63	1035.94	1110.83	0.02	0.18	11.04	0.38
702	1250	679434	4358783	422.83	1031.34	1112.01	0.01	0.29	14.63	2.85
702	1251	679508	4356426	348.02	1039.39	1110.13	0.01	0.54	8.00	-1.60
702	1272	678921	4357803	383.53	1036.53	1111.24	0.03	0.17	11.64	0.92
702	1292	677682	4362462	477.85	1025.18	1114.98	0.00	0.58	18.15	4.93
702	1294	677897	4360450	533.96	1009.67	1113.37	0.44	1.49	17.77	3.27
702	1295	677211	4359389	403.22	1035.46	1112.54	0.01	0.16	13.68	2.41
702	1296	677833	4358434	386.48	1036.95	1111.76	0.21	0.39	12.41	1.69
702	1297	677494	4357615	372.49	1037.73	1111.11	0.01	0.15	10.46	0.05
702	1298	677306	4356617	349.86	1038.73	1110.32	0.00	0.10	7.12	-2.67
702	1317	676656	4362616	498.25	1020.94	1115.12	0.16	0.40	18.17	4.31
702	1318	676746	4361532	462.80	1026.96	1114.26	0.01	0.22	16.92	4.00
702	1319	676814	4360657	451.25	1027.85	1113.56	0.06	0.32	16.01	3.44
702	1320	676381	4359876	423.73	1031.91	1112.94	0.01	0.17	14.35	2.51
702	1322	676475	4357668	361.82	1039.98	1111.18	0.01	0.08	10.18	0.05
702	1323	676679	4356445	349.70	1037.97	1110.20	0.00	0.06	6.41	-3.39
702	1342	675607	4362498	464.35	1027.74	1115.05	0.05	0.48	17.51	4.63
702	1343	675580	4361391	441.80	1030.83	1114.16	0.00	0.17	16.10	3.75
702	1344	675700	4360519	430.30	1031.48	1113.47	0.01	0.15	14.85	2.82
702	1345	675541	4359635	418.72	1032.29	1112.76	0.01	0.16	13.77	2.06
702	1346	675334	4358575	386.83	1036.52	1111.92	0.00	0.11	11.63	0.80
702	1347	675470	4357530	360.35	1039.02	1111.08	0.00	0.08	8.99	-1.11
702	1348	675261	4356467	351.01	1037.31	1110.24	0.00	0.07	6.01	-3.82
702	1367	674187	4363336	444.01	1033.00	1115.74	0.02	0.23	17.25	4.86
702	1362	674888	4342936	422.35	1004.16	1099.45	0.04	0.48	0.10	-11.60
702	1369	674415	4361456	414.54	1036.31	1114.24	0.07	0.24	15.46	3.90
702	1371	674586	4359920	395.08	1037.23	1113.01	0.04	0.16	13.15	2.11
702	1372	674519	4358807	362.90	1041.56	1112.12	0.01	0.12	11.10	0.95
702	1373	674412	4357608	353.85	1040.38	1111.16	0.01	0.08	8.80	-1.11
702	1374	674342	4356666	357.83	1036.47	1110.41	0.00	0.10	6.56	-3.46
702	1393	673402	4363692	454.41	1031.13	1116.04	0.06	0.32	17.51	4.86
702	1394	673432	4362213	418.68	1036.56	1114.86	0.02	0.24	16.02	4.34
702	1395	673768	4361360	401.96	1038.49	1114.17	0.07	0.21	14.85	3.63
702	1397	673957	4359646	370.42	1041.66	1112.80	0.00	0.11	12.21	1.84
702	1398	673518	4358269	383.08	1035.99	1111.71	0.00	0.08	10.44	-0.30
702	1399	673246	4357276	363.19	1037.24	1110.92	0.01	0.07	8.00	-2.18
702	1400	673446	4356674	359.34	1036.16	1110.44	0.01	0.10	6.57	-3.49
702	1419	672568	4364241	459.62	1030.32	1116.50	0.00	0.24	17.34	4.52
702	1420	672494	4363638	451.23	1031.55	1116.01	0.00	0.21	17.14	4.54
702	1421	672644	4362340	441.99	1032.07	1114.98	0.01	0.15	16.56	4.20
702	1422	672162	4361375	418.84	1035.05	1114.21	0.00	0.10	15.05	3.32
702	1423	672856	4360703	396.64	1038.44	1113.66	0.04	0.14	14.05	2.95
702	1424	672518	4359661	403.87	1034.98	1112.84	0.00	0.07	12.96	1.64

GRAVIMETRIA EN: CACERES

PAG NO: 2

DENSIDAD DE REDUCCION: 2.67

HOJA	NUM	X m.	Y m.	Z m.	G mgal.	GN mgal.	TP mgal.	T mgal.	A mgal.	A1 mgal.
702	1425	672632	4358652	385.82	1036.38	1112.03	0.00	0.07	11.12	0.31
702	1426	672636	4357423	368.49	1036.64	1111.05	0.00	0.07	8.46	-1.86
702	1427	672003	4356943	367.71	1035.22	1110.68	0.01	0.13	7.30	-2.99
702	1446	671501	4364342	449.62	1032.68	1116.59	0.01	0.19	17.30	4.74
702	1449	671531	4361550	418.57	1035.27	1114.36	0.00	0.09	15.05	3.32
702	1450	671627	4360268	404.82	1035.85	1113.34	0.01	0.08	13.56	2.21
702	1452	678883	4358294	380.36	1036.50	1111.63	0.05	0.11	10.45	-0.20
702	1453	672139	4357457	380.49	1034.85	1111.08	0.01	0.16	9.42	-1.21
702	1454	671538	4356598	347.13	1038.10	1110.41	0.00	0.07	5.77	-3.96
702	1473	670682	4364485	461.90	1030.25	1116.72	0.00	0.19	17.50	4.59
702	1474	670429	4363436	430.41	1034.85	1115.89	0.06	0.31	15.99	4.00
702	1477	670684	4360030	404.19	1035.02	1113.16	0.05	0.17	12.85	1.56
702	1478	670570	4359433	391.86	1036.26	1112.69	0.04	0.12	11.74	0.78
702	1479	670738	4358757	389.78	1035.46	1112.15	0.01	0.10	10.99	0.08
702	1480	670206	4357478	373.67	1035.38	1111.14	0.01	0.10	8.31	-2.15
702	1481	670566	4356769	365.48	1034.93	1110.56	0.04	0.14	6.63	-3.59
702	1500	669431	4362541	433.46	1032.91	1115.19	0.01	0.19	15.30	3.19
702	1501	669050	4361710	438.64	1030.87	1114.54	0.01	0.10	15.00	2.71
702	1502	669131	4360618	448.23	1027.18	1113.66	0.01	0.17	14.40	1.87
702	1504	669234	4358400	384.45	1034.68	1111.89	0.01	0.09	9.26	-1.51
702	1505	669743	4357481	359.66	1038.11	1111.15	0.01	0.09	7.87	-2.20
702	1526	668559	4361767	464.96	1025.79	1114.59	0.00	0.14	15.82	2.81
702	1527	668913	4360999	454.00	1026.62	1113.97	0.02	0.18	14.84	2.15
702	1529	668596	4358201	392.72	1031.14	1111.74	0.00	0.09	7.73	-3.27
702	1550	667448	4364540	525.06	1017.16	1116.82	0.04	0.26	18.58	3.92
702	1551	667947	4363485	475.16	1025.87	1115.97	0.01	0.33	16.99	3.76
702	1552	667770	4362776	463.72	1027.14	1115.41	0.01	0.12	16.05	3.06
702	1553	667628	4361694	463.66	1025.69	1114.55	0.02	0.12	15.45	2.47
702	1554	667233	4360928	454.48	1026.17	1113.94	0.02	0.13	14.48	1.76
702	1557	667450	4357579	403.15	1029.18	1111.26	0.02	0.10	8.60	-2.69
702	1558	667263	4356496	432.04	1019.98	1110.40	0.01	0.12	6.78	-5.31
702	1562	667421	4352648	389.03	1016.24	1107.33	0.07	0.12	-3.55	-14.44
702	1577	666568	4364499	483.47	1025.44	1116.81	0.01	0.19	17.46	3.94
702	1578	666789	4363556	489.31	1023.13	1116.05	0.01	0.14	17.17	3.47
702	1579	666426	4362385	495.94	1020.00	1115.12	0.05	0.18	16.50	2.63
702	1580	666456	4361919	503.05	1017.90	1114.75	0.00	0.17	16.36	2.29
702	1582	666170	4359563	432.27	1027.82	1112.87	0.02	0.10	12.18	0.07
702	1584	666208	4357269	434.44	1021.85	1111.04	0.00	0.09	8.53	-3.64
702	1585	666637	4356798	434.72	1020.51	1110.65	0.00	0.11	7.65	-4.52
702	1589	666505	4352316	385.20	1016.70	1107.08	0.00	0.05	-3.78	-14.58
702	1604	665810	4364467	469.41	1027.92	1116.79	0.03	0.19	16.79	3.67
702	1605	665709	4363550	468.23	1026.89	1116.06	0.05	0.18	16.22	3.13
702	1606	665609	4362469	499.46	1018.95	1115.20	0.00	0.13	16.11	2.13
702	1607	665884	4361667	484.94	1020.76	1114.56	0.00	0.13	15.30	1.72
702	1608	665216	4360432	467.26	1021.98	1113.58	0.00	0.10	13.49	0.40
702	1609	665535	4359603	443.22	1025.37	1112.91	0.01	0.09	12.14	-0.28
702	1611	665852	4357678	439.83	1021.68	1111.37	0.00	0.10	9.24	-3.08
702	1631	664914	4364506	454.08	1030.54	1116.84	0.06	0.17	15.90	3.20
702	1632	664300	4363077	476.71	1023.82	1115.71	0.01	0.10	15.32	1.97
702	1633	664662	4362608	481.79	1022.17	1115.33	0.01	0.11	15.21	1.73

GRAVIMETRIA EN: CACERES

PAG N°: 3

DENSIDAD DE REDUCCION: 2.67

HOJA	NUM	X m.	Y m.	Z m.	G mgal.	GN mgal.	TP mgal.	T mgal.	A mgal.	A1 mgal.
702	1634	664374	4361304	448.66	1026.58	1114.29	0.00	0.06	13.16	0.58
702	1635	664646	4360470	460.86	1023.09	1113.62	0.03	0.10	13.12	0.21
702	1636	664117	4359499	446.43	1023.49	1112.85	0.00	0.06	11.01	-1.51
702	1637	664713	4358341	457.89	1019.93	1111.92	0.00	0.11	11.01	-1.81
702	1638	664130	4357187	470.73	1012.18	1111.01	0.01	0.14	7.08	-6.09
702	1658	663659	4366428	443.52	1034.07	1118.40	0.11	0.50	15.83	3.55
702	1659	663349	4365433	440.40	1033.72	1117.61	0.01	0.17	15.24	2.93
702	1660	663602	4364567	471.43	1028.07	1116.91	0.02	0.14	17.23	4.04
702	1661	663694	4363668	481.29	1023.33	1116.19	0.01	0.15	15.43	1.96
702	1662	663469	4362396	441.83	1029.09	1115.18	0.01	0.08	13.27	0.89
702	1664	663957	4360739	449.53	1025.27	1113.85	0.01	0.07	12.50	-0.10
702	1666	664023	4358627	459.79	1018.76	1112.16	0.01	0.08	10.00	-2.89
702	1667	663857	4357842	468.00	1014.44	1111.53	0.01	0.13	8.20	-4.90
702	1687	662195	4366565	421.22	1038.39	1118.53	0.00	0.15	14.65	2.87
702	1688	662732	4365019	448.29	1030.71	1117.29	0.00	0.12	14.28	1.73
702	1689	662452	4364753	452.38	1029.96	1117.08	0.00	0.07	14.61	1.92
702	1690	662429	4363822	427.88	1033.27	1116.34	0.01	0.10	13.18	1.20
702	1691	662457	4362510	423.86	1031.75	1115.29	0.06	0.13	11.83	-0.03
702	1693	662992	4360903	436.33	1027.05	1113.99	0.03	0.09	11.19	-1.04
702	1694	662292	4359584	456.98	1019.09	1112.95	0.01	0.08	8.90	-3.91
702	1713	661440	4367371	422.31	1038.89	1119.19	0.04	0.22	14.81	3.03
702	1714	661572	4366492	403.19	1041.75	1118.48	0.01	0.17	14.03	2.76
702	1716	661731	4364828	429.26	1034.15	1117.15	0.03	0.09	13.55	1.52
702	1717	661659	4363284	420.71	1033.07	1115.92	0.01	0.07	11.75	-0.04
702	1718	661813	4362642	426.22	1030.96	1115.40	0.01	0.07	11.40	-0.55
702	1719	661866	4361219	437.76	1025.85	1114.27	0.01	0.11	10.06	-2.19
702	1720	662040	4359993	448.61	1021.11	1113.28	0.00	0.07	8.70	-3.88
702	1721	661744	4359732	445.93	1020.57	1113.08	0.06	0.16	7.85	-4.62
702	1722	661346	4358484	488.20	1008.25	1112.09	0.01	0.16	6.02	-7.63
702	1724	661580	4357554	505.51	1002.05	1111.34	0.01	0.15	4.45	-9.70
702	1739	660423	4367515	387.50	1045.91	1119.32	0.01	0.22	13.89	3.08
702	1740	660641	4366305	419.06	1038.01	1118.35	0.02	0.12	13.95	2.22
702	1741	660806	4365414	396.88	1040.95	1117.63	0.01	0.21	12.70	1.62
702	1742	660623	4364194	421.69	1033.58	1116.66	0.00	0.06	11.73	-0.09
702	1743	660679	4363458	429.23	1030.51	1116.07	0.01	0.07	10.95	-1.08
702	1744	660295	4362398	429.32	1027.62	1115.23	0.01	0.08	8.94	-3.09
702	1745	660444	4361391	443.38	1022.53	1114.43	0.03	0.09	7.82	-4.60
702	1746	660558	4360505	450.76	1019.24	1113.72	0.01	0.08	6.89	-5.74
702	1747	661129	4359639	455.92	1017.34	1113.02	0.04	0.15	6.92	-5.84
702	1759	659616	4368602	375.06	1049.45	1120.20	0.09	0.34	13.87	3.45
702	1760	659396	4367285	422.04	1038.51	1119.15	0.03	0.21	14.40	2.61
702	1762	659396	4365317	429.42	1033.25	1117.58	0.01	0.08	12.24	0.20
702	1763	659499	4364080	427.83	1030.79	1116.59	0.01	0.07	10.40	-1.59
702	1764	659123	4363603	429.69	1028.47	1116.21	0.00	0.07	8.88	-3.16
702	1765	659524	4362380	445.42	1022.93	1115.23	0.08	0.15	7.94	-4.52
702	1766	659491	4361546	428.35	1023.82	1114.57	0.04	0.17	5.68	-6.30
702	1767	659708	4360429	450.43	1016.76	1113.67	0.05	0.19	4.49	-8.10
702	1768	659713	4359570	491.68	1006.23	1112.98	0.07	0.25	3.98	-9.75
702	1769	659730	4358567	521.75	998.20	1112.18	0.05	0.22	3.48	-11.10
702	1770	659152	4357181	482.32	1004.75	1111.08	0.01	0.20	2.25	-11.23

GRAVIMETRIA EN: CACERES

PAG NO: 4

DENSIDAD DE REDUCCION: 2.67

HOJA	NUM	X m.	Y m.	Z m.	G mgal.	GN mgal.	TP mgal.	T mgal.	A mgal.	Al mgal.
702	1779	658305	4368329	420.64	1039.86	1120.00	0.03	0.21	14.58	2.84
702	1780	658562	4367647	420.89	1038.86	1119.46	0.01	0.14	14.12	2.35
702	1781	658726	4366448	436.28	1033.78	1118.49	0.00	0.11	13.43	1.22
702	1782	658365	4365717	436.37	1032.10	1117.92	0.03	0.10	12.34	0.12
702	1783	658927	4364156	429.38	1029.79	1116.66	0.00	0.07	9.68	-2.35
702	1784	658515	4363690	439.36	1026.28	1116.29	0.03	0.11	8.82	-3.49
702	1785	658756	4363136	429.15	1026.78	1115.85	0.03	0.10	7.47	-4.55
702	1786	658798	4361235	460.86	1015.13	1114.33	0.01	0.14	4.49	-8.40
702	1787	658460	4360705	466.38	1011.18	1113.91	0.02	0.22	2.29	-10.74
702	1790	658480	4357071	492.85	1002.73	1111.01	0.01	0.48	2.94	-10.74
702	1798	657370	4368361	373.61	1049.07	1120.05	0.11	0.27	13.25	2.85
702	1799	657205	4367623	408.39	1041.11	1119.46	0.03	0.22	13.63	2.24
702	1800	657298	4366629	426.73	1034.66	1118.66	0.00	0.14	12.02	0.08
702	1801	657657	4365676	436.01	1031.50	1117.90	0.00	0.11	11.68	-0.52
702	1802	658298	4364612	448.18	1026.79	1117.03	0.00	0.20	10.66	-1.86
702	1803	657339	4363465	398.96	1031.90	1116.13	0.04	0.20	5.62	-5.52
702	1804	657393	4362749	416.75	1026.28	1115.56	0.00	0.22	4.58	-7.05
702	1805	657336	4361360	492.39	1007.45	1114.45	0.01	0.27	3.91	-9.83
702	1808	657328	4358341	529.13	996.32	1112.04	0.01	0.19	3.36	-11.44
702	1809	657792	4357668	470.05	1007.79	1111.50	0.02	0.40	2.32	-10.75
702	1811	657774	4355704	480.18	1004.30	1109.93	0.01	0.31	2.58	-10.80
702	1816	657037	4368479	367.60	1050.39	1120.15	0.06	0.24	13.09	2.85
702	1817	656366	4367521	403.32	1041.71	1119.39	0.03	0.32	13.26	2.04
702	1818	656291	4366741	401.23	1039.94	1118.77	0.12	0.36	11.69	0.54
702	1819	656613	4365332	407.97	1035.40	1117.64	0.01	0.13	9.57	-1.85
702	1820	656573	4364769	409.87	1033.19	1117.19	0.05	0.21	8.31	-3.14
702	1821	656467	4363425	402.82	1029.80	1116.12	0.03	0.23	4.42	-6.82
702	1822	656857	4362587	458.03	1016.75	1115.44	0.07	0.27	4.50	-8.28
702	1823	656335	4361964	491.71	1007.66	1114.95	0.14	0.74	3.94	-9.62
702	1610	665343	4358168	443.64	1021.98	1111.77	0.01	0.09	9.99	-2.45
703	994	696503	4357345	340.00	1049.84	1110.53	0.00	0.08	15.79	6.26
703	995	696499	4356695	342.49	1048.69	1110.02	0.00	0.08	15.72	6.12
703	1011	695988	4357068	334.54	1050.45	1110.32	0.02	0.10	15.40	6.03
703	1012	696084	4356464	335.07	1049.89	1109.84	0.00	0.09	15.43	6.05
703	1027	694521	4357820	348.03	1047.41	1110.95	0.00	0.09	14.75	5.01
703	1028	695149	4357730	348.61	1047.57	1110.87	0.00	0.11	15.14	5.39
703	1029	694728	4356572	325.86	1051.38	1109.95	0.07	0.18	14.83	5.73
703	1045	693459	4357783	341.72	1047.60	1110.94	0.01	0.08	13.52	3.95
703	1107	689292	4356380	293.31	1054.10	1109.91	0.03	0.17	10.27	2.09
703	1149	686796	4356750	322.20	1046.28	1110.25	0.06	0.18	8.61	-0.38
703	1160	685114	4357140	360.56	1040.20	1110.59	0.01	0.18	10.80	0.73
703	1161	685442	4356531	347.74	1040.94	1110.10	0.03	0.14	9.12	-0.60
704	193	742356	4362453	430.88	999.98	1113.58	0.00	0.04	-16.74	-28.83
704	206	741482	4371090	412.46	1020.93	1120.50	0.00	0.04	-6.85	-18.43
704	207	740895	4370387	400.12	1021.97	1119.95	0.00	0.03	-8.05	-19.27
704	208	742119	4369090	410.88	1018.53	1118.88	0.00	0.02	-8.01	-19.54
704	209	741583	4367977	436.69	1011.14	1118.01	0.00	0.20	-8.55	-20.75
704	210	741873	4367253	439.08	1009.51	1117.42	0.00	0.06	-9.19	-21.50
704	212	741609	4365151	433.57	1005.11	1115.75	0.00	0.03	-13.18	-25.35
704	213	741817	4364455	435.98	1003.08	1115.19	0.00	0.03	-14.11	-26.35

GRAVIMETRIA EN: CACERES

PAG Nº: 5

DENSIDAD DE REDUCCION: 2.67

HOJA	NUM	X m.	Y m.	Z m.	G mgal.	GN mgal.	TP mgal.	T mgal.	A mgal.	A1 mgal.
704	214	741262	4363894	423.52	1003.60	1114.76	0.00	0.03	-15.96	-27.85
704	215	741502	4362208	427.65	998.88	1113.41	0.01	0.04	-18.40	-30.40
704	216	741489	4361278	443.46	993.55	1112.66	0.00	0.03	-19.44	-31.88
704	217	741447	4360232	439.07	991.55	1111.83	0.00	0.04	-21.58	-33.90
704	218	741773	4359514	437.50	989.83	1111.25	0.02	0.05	-23.06	-35.33
704	219	741640	4357893	460.51	983.60	1109.96	0.01	0.09	-22.79	-35.70
704	228	740017	4371578	400.07	1023.18	1120.92	0.01	0.07	-7.78	-18.99
704	229	740273	4370553	393.02	1023.14	1120.10	0.01	0.04	-8.61	-19.64
704	230	740506	4370064	404.88	1019.95	1119.70	0.02	0.07	-8.71	-20.06
704	231	740308	4368515	408.44	1016.36	1118.47	0.00	0.06	-10.27	-21.72
704	234	740838	4365155	421.99	1006.93	1115.77	0.00	0.03	-14.00	-25.84
704	236	740601	4363426	420.45	1002.67	1114.40	0.00	0.03	-17.23	-29.02
704	237	739770	4361999	443.93	993.60	1113.28	0.00	0.03	-19.90	-32.36
704	238	740630	4361657	445.95	992.80	1112.99	0.01	0.04	-19.94	-32.45
704	239	740542	4360743	440.64	991.37	1112.26	0.00	0.03	-21.84	-34.21
704	240	740905	4359299	412.50	994.26	1111.10	0.01	0.07	-24.07	-35.64
704	241	740742	4358491	429.67	990.19	1110.46	0.01	0.05	-23.67	-35.72
704	242	740930	4357882	447.39	986.05	1109.97	0.00	0.06	-23.33	-35.87
704	250	739848	4370970	391.67	1023.97	1120.44	0.00	0.04	-8.42	-19.41
704	251	739421	4370177	384.85	1023.53	1119.82	0.03	0.05	-9.76	-20.55
704	253	739265	4368374	406.87	1016.48	1118.38	0.00	0.03	-10.45	-21.87
704	254	739184	4367650	407.49	1014.86	1117.81	0.00	0.02	-11.36	-22.80
704	255	739935	4366485	410.15	1012.11	1116.86	0.00	0.02	-12.57	-24.08
704	256	739917	4364948	412.88	1007.48	1115.63	0.00	0.02	-15.36	-26.94
704	257	739403	4364495	427.43	1003.12	1115.28	0.00	0.03	-16.08	-28.08
704	258	739144	4363791	425.04	1001.60	1114.73	0.00	0.04	-17.58	-29.51
704	259	739349	4362030	436.74	994.84	1113.32	0.01	0.03	-20.31	-32.57
704	260	739386	4361486	432.85	993.74	1112.88	0.00	0.03	-21.85	-34.00
704	261	739189	4360490	431.30	992.18	1112.09	0.06	0.10	-22.90	-34.98
704	262	739310	4359384	399.48	997.15	1111.21	0.01	0.08	-24.21	-35.41
704	263	739515	4358600	424.35	990.98	1110.57	0.01	0.05	-24.19	-36.09
704	272	738177	4371035	393.77	1022.38	1120.54	0.00	0.04	-9.64	-20.69
704	273	738368	4370315	398.56	1020.75	1119.96	0.01	0.02	-9.62	-20.81
704	274	738424	4368916	417.31	1014.69	1118.84	0.00	0.09	-10.28	-21.97
704	275	738360	4368272	418.21	1013.33	1118.32	0.00	0.04	-10.98	-22.72
704	276	738131	4367611	423.62	1010.81	1117.80	0.00	0.04	-11.77	-23.65
704	277	738131	4366565	429.07	1007.23	1116.97	0.01	0.05	-13.28	-25.31
704	278	738476	4365346	429.11	1004.32	1115.98	0.01	0.04	-15.20	-27.24
704	279	738448	4363999	442.67	999.68	1114.91	0.00	0.03	-15.73	-28.16
704	280	738507	4363707	441.15	997.67	1114.68	0.00	0.02	-17.86	-30.24
704	281	738512	4362094	435.66	994.45	1113.39	0.03	0.05	-21.00	-33.22
704	282	738385	4361763	434.50	993.61	1113.13	0.01	0.04	-21.84	-34.03
704	283	738775	4360781	437.30	991.42	1112.33	0.01	0.06	-22.60	-34.86
704	284	738610	4359853	410.25	995.80	1111.60	0.04	0.08	-23.53	-35.02
704	285	738345	4359140	405.16	995.79	1111.03	0.05	0.10	-24.11	-35.45
704	286	738134	4357971	438.93	987.41	1110.11	0.03	0.07	-24.00	-36.31
704	294	737593	4371165	399.30	1021.45	1120.65	0.01	0.04	-9.44	-20.64
704	295	737475	4370466	406.66	1019.11	1120.10	0.00	0.03	-9.58	-20.99
704	296	737319	4369640	409.95	1016.88	1119.44	0.00	0.04	-10.41	-21.91
704	297	737122	4368905	397.74	1017.77	1118.86	0.00	0.03	-11.68	-22.84

GRAVIMETRIA EN: CACERES

PAG N°: 6

DENSIDAD DE REDUCCION: 2.67

HOJA	NUM	X m.	Y m.	Z m.	G mgal.	GN mgal.	TP mgal.	T mgal.	A mgal.	A1 mgal.
704	298	737499	4367426	426.71	1009.48	1117.67	0.00	0.04	-12.26	-24.23
-704	299	737680	4366813	432.77	1007.00	1117.18	0.00	0.04	-12.89	-25.03
704	300	737576	4365478	446.00	1000.74	1116.11	0.00	0.05	-15.11	-27.61
704	301	737684	4364190	425.09	1001.65	1115.08	0.01	0.05	-17.86	-29.78
-704	302	737629	4363156	440.49	995.75	1114.26	0.00	0.04	-19.49	-31.85
704	303	737392	4362584	420.47	998.35	1113.81	0.00	0.04	-20.94	-32.73
704	304	738584	4361176	417.57	995.87	1112.65	0.05	0.09	-22.87	-34.57
-704	307	737315	4358142	439.42	987.74	1110.26	0.03	0.08	-23.71	-36.02
704	308	737711	4357642	451.42	984.66	1109.85	0.01	0.08	-23.68	-36.34
704	319	736639	4371393	386.28	1023.96	1120.86	0.01	0.05	-10.05	-20.88
704	320	736677	4370240	399.23	1019.86	1119.94	0.00	0.05	-10.32	-21.52
704	321	736314	4369302	395.54	1018.75	1119.20	0.00	0.05	-11.52	-22.61
-704	322	735834	4368307	409.98	1013.70	1118.41	0.00	0.08	-12.51	-24.00
704	323	736777	4367239	421.33	1009.77	1117.54	0.00	0.05	-13.04	-24.86
704	324	736618	4366660	419.70	1008.84	1117.08	0.00	0.05	-13.88	-25.66
-704	325	736416	4365518	438.63	1002.08	1116.17	0.00	0.04	-15.50	-27.80
704	326	736256	4364459	420.54	1002.79	1115.33	0.01	0.04	-18.00	-29.80
704	327	736604	4363755	416.54	1001.82	1114.76	0.01	0.04	-19.31	-31.00
-704	328	736429	4362426	421.41	997.24	1113.70	0.03	0.08	-21.69	-33.50
704	329	736779	4361216	435.09	993.15	1112.73	0.03	0.06	-21.75	-33.95
-704	330	736826	4360483	415.17	996.12	1112.14	0.06	0.10	-22.63	-34.26
704	331	736694	4358893	422.50	992.78	1110.88	0.03	0.06	-23.10	-34.95
704	348	735235	4364408	417.41	1002.85	1115.31	0.01	0.04	-18.63	-30.34
704	349	735642	4363857	416.30	1001.81	1114.87	0.01	0.04	-19.47	-31.15
-704	350	735449	4362652	408.75	999.95	1113.91	0.05	0.13	-21.98	-33.41
704	351	735567	4361720	435.35	993.21	1113.16	0.01	0.05	-22.08	-34.29
-704	353	735450	4359479	411.50	996.38	1111.38	0.03	0.07	-22.46	-33.99
704	370	734195	4364303	412.76	1003.44	1115.26	0.01	0.06	-19.01	-30.59
704	371	734303	4363536	398.36	1004.73	1114.64	0.01	0.06	-20.34	-31.50
-704	372	733766	4362348	392.85	1003.16	1113.71	0.01	0.08	-22.19	-33.20
704	373	734102	4361345	425.96	995.37	1112.90	0.05	0.10	-21.72	-33.65
704	374	734726	4360637	424.04	995.51	1112.32	0.01	0.05	-21.48	-33.37
-704	375	734802	4359200	404.13	998.05	1111.17	0.05	0.07	-22.24	-33.56
704	376	734344	4358730	406.14	997.44	1110.80	0.05	0.09	-22.01	-33.39
704	400	733637	4364504	424.82	1001.44	1115.43	0.01	0.10	-18.44	-30.34
704	401	733529	4363720	408.30	1003.37	1114.81	0.00	0.07	-19.63	-31.07
704	402	733434	4362671	391.56	1004.29	1113.97	0.01	0.06	-21.64	-32.62
-704	403	733438	4361634	412.85	998.29	1113.14	0.04	0.08	-22.01	-33.57
704	404	733820	4360780	399.97	1000.54	1112.45	0.03	0.08	-21.96	-33.17
704	405	733857	4359366	394.06	1000.81	1111.32	0.01	0.12	-21.85	-32.87
-704	406	733778	4358816	406.24	997.67	1110.89	0.12	0.17	-21.76	-33.11
704	424	732186	4364574	418.58	1003.26	1115.52	0.00	0.27	-17.94	-29.60
704	425	732498	4363692	408.45	1003.74	1114.81	0.00	0.06	-19.23	-30.69
-704	426	732529	4362084	386.35	1004.82	1113.52	0.00	0.05	-21.84	-32.68
704	429	732728	4359291	401.40	1000.16	1111.29	0.04	0.09	-20.85	-32.09
-704	430	732624	4358762	415.31	997.08	1110.87	0.04	0.06	-20.41	-32.05
704	448	731683	4364816	404.28	1006.87	1115.73	0.01	0.16	-17.85	-29.15
704	449	731895	4363100	396.99	1005.49	1114.35	0.01	0.04	-19.61	-30.75
704	450	731386	4362372	386.61	1007.12	1113.78	0.08	0.11	-19.68	-30.50
-704	451	731338	4361494	377.06	1007.17	1113.08	0.08	0.13	-21.05	-31.60

GRAVIMETRIA EN: CACERES

PAG Nº: 7

DENSIDAD DE REDUCCION: 2.67

HOJA	NUM	X m.	Y m.	Z m.	G mgal.	GN mgal.	TP mgal.	T mgal.	A mgal.	A1 mgal.
704	452	731849	4361199	386.61	1003.88	1112.83	0.12	0.16	-21.92	-32.73
704	471	730657	4364136	408.76	1006.08	1115.21	0.00	0.05	-17.23	-28.70
704	472	730918	4363431	400.70	1006.44	1114.64	0.00	0.04	-18.12	-29.37
704	474	730763	4361493	375.89	1008.73	1113.09	0.03	0.07	-19.83	-30.36
704	475	730608	4360969	395.06	1004.09	1112.68	0.01	0.06	-19.76	-30.84
704	476	730597	4358623	440.11	995.15	1110.81	0.00	0.11	-16.66	-28.98
704	477	730212	4358488	427.85	996.83	1110.71	0.07	0.11	-17.63	-29.61
704	493	729513	4364664	413.44	1006.09	1115.66	0.06	0.16	-16.51	-28.07
704	494	729850	4363807	407.70	1006.60	1114.96	0.01	0.08	-16.68	-28.10
704	495	729512	4362536	384.77	1010.43	1113.96	0.01	0.04	-17.03	-27.83
704	496	729422	4361547	376.32	1011.57	1113.17	0.00	0.04	-17.00	-27.56
704	498	729780	4358887	400.43	1004.37	1111.04	0.00	0.06	-16.64	-27.86
704	500	730167	4357647	414.57	999.04	1110.04	0.01	0.03	-17.81	-29.45
704	516	728601	4364748	425.90	1003.93	1115.74	0.00	0.09	-16.02	-27.95
704	517	728353	4363568	402.38	1008.91	1114.81	0.03	0.07	-15.41	-26.69
704	518	728341	4362433	386.02	1012.14	1113.90	0.00	0.03	-14.99	-25.82
704	519	728690	4362011	384.90	1011.61	1113.56	0.00	0.02	-15.44	-26.24
704	522	728990	4358208	421.66	1002.05	1110.51	0.00	0.06	-13.66	-25.48
704	523	728941	4357727	409.36	1004.45	1110.13	0.00	0.04	-13.66	-25.15
704	539	727087	4364196	415.36	1005.23	1115.34	0.02	0.07	-16.71	-28.35
704	541	727212	4362589	383.11	1014.28	1114.05	0.00	0.05	-13.64	-24.39
704	542	727421	4361696	370.70	1016.22	1113.34	0.00	0.05	-13.77	-24.17
704	543	727845	4359959	381.57	1012.64	1111.94	0.04	0.07	-13.49	-24.18
704	546	727391	4357761	397.22	1009.33	1110.20	0.00	0.04	-11.57	-22.71
704	565	726595	4365164	415.59	1006.11	1116.12	0.00	0.10	-16.53	-28.17
704	566	726594	4364418	424.81	1003.72	1115.53	0.08	0.17	-16.19	-28.06
704	567	727011	4363497	400.33	1009.99	1114.78	0.00	0.04	-14.80	-26.02
704	568	726293	4362543	382.21	1015.11	1114.04	0.00	0.04	-13.01	-23.73
704	571	726392	4359097	399.72	1011.00	1111.28	0.00	0.03	-10.44	-21.66
704	572	726902	4358903	398.69	1010.13	1111.12	0.00	0.03	-11.37	-22.56
704	573	726541	4357552	386.58	1012.63	1110.05	0.00	0.03	-10.53	-21.38
704	592	725570	4365108	401.94	1010.03	1116.10	0.00	0.11	-15.64	-26.89
704	593	725177	4364399	396.45	1011.90	1115.55	0.00	0.06	-14.51	-25.62
704	594	726149	4364127	402.03	1009.90	1115.31	0.01	0.07	-15.00	-26.27
704	595	725438	4362783	377.62	1016.81	1114.25	0.00	0.06	-12.53	-23.12
704	598	725317	4359391	392.22	1013.98	1111.54	0.00	0.02	-9.41	-20.42
704	599	725907	4358175	382.23	1014.37	1110.56	0.00	0.02	-10.28	-21.01
704	600	725341	4357566	373.00	1016.78	1110.09	0.03	0.06	-9.43	-19.89
704	615	724495	4366445	414.87	1006.37	1117.20	0.01	0.16	-17.44	-29.04
704	616	724519	4364944	396.15	1011.72	1116.00	0.00	0.06	-15.20	-26.30
704	618	724610	4363480	381.75	1015.70	1114.82	0.00	0.05	-13.30	-24.01
704	621	724540	4359906	387.83	1015.68	1111.97	0.00	0.02	-9.12	-20.01
704	622	724920	4359459	388.95	1015.03	1111.61	0.01	0.03	-9.15	-20.07
704	624	724783	4357673	369.23	1018.41	1110.19	0.00	0.04	-8.77	-19.13
704	638	723131	4366041	394.82	1009.11	1116.90	0.02	0.08	-19.00	-30.07
704	639	723302	4365135	407.15	1008.13	1116.18	0.03	0.10	-16.46	-27.86
704	640	723144	4364534	397.72	1009.96	1115.70	0.01	0.06	-16.31	-27.46
704	641	723475	4363085	364.33	1018.98	1114.54	0.03	0.07	-13.62	-23.83
704	642	723084	4362254	370.64	1018.58	1113.88	0.05	0.08	-11.93	-22.32
704	644	723214	4361026	381.11	1018.04	1112.90	0.00	0.02	-9.20	-19.90

GRAVIMETRIA EN: CACERES

PAG N°: 8

DENSIDAD DE REDUCCION: 2.67

HOJA	NUM	X m.	Y m.	Z m.	G mgal.	GN mgal.	TP mgal.	T mgal.	A mgal.	A1 mgal.
704	645	723274	4360146	399.20	1015.02	1112.19	0.01	0.06	-7.42	-18.61
704	662	722184	4365245	370.43	1013.52	1116.29	0.02	0.07	-19.46	-29.84
704	663	722735	4364158	385.42	1011.88	1115.41	0.01	0.05	-16.88	-27.69
704	664	722516	4363209	361.28	1017.74	1114.66	0.01	0.05	-15.69	-25.82
704	666	722823	4361548	379.74	1017.66	1113.32	0.00	0.04	-10.30	-20.95
704	668	721926	4359673	400.11	1016.09	1111.85	0.01	0.05	-5.80	-17.02
704	669	722325	4359075	388.10	1018.55	1111.36	0.04	0.08	-5.53	-16.40
704	670	723451	4357489	364.86	1022.81	1110.07	0.00	0.04	-5.23	-15.46
704	682	721452	4366220	371.56	1012.25	1117.09	0.03	0.06	-21.29	-31.70
704	683	721056	4365514	368.05	1013.26	1116.53	0.01	0.04	-20.52	-30.85
704	684	721949	4364369	371.65	1014.06	1115.60	0.03	0.06	-17.96	-28.38
704	685	721346	4363505	354.76	1018.13	1114.92	0.01	0.05	-17.03	-26.97
704	688	721114	4360520	380.18	1018.88	1112.54	0.01	0.04	-8.20	-18.86
704	689	721277	4359484	397.95	1017.24	1111.71	0.00	0.05	-5.00	-16.16
704	690	721476	4358952	376.10	1021.68	1111.28	0.01	0.06	-5.04	-15.58
704	704	720288	4365272	361.68	1015.33	1116.35	0.02	0.06	-19.70	-29.83
704	705	720053	4364749	350.00	1017.95	1115.94	0.05	0.10	-19.25	-29.04
704	706	720882	4363100	352.16	1019.20	1114.61	0.01	0.06	-16.22	-26.09
704	707	720252	4362479	374.52	1016.14	1114.13	0.04	0.07	-13.76	-24.25
704	709	720897	4361200	375.36	1017.88	1113.09	0.00	0.03	-10.84	-21.37
704	710	720209	4359094	393.48	1019.45	1111.42	0.00	0.05	-3.51	-14.55
704	711	720158	4358161	377.98	1022.68	1110.68	0.02	0.07	-2.99	-13.59
704	712	720047	4357227	362.35	1025.84	1109.94	0.01	0.07	-2.61	-12.77
704	724	719824	4364392	344.55	1019.49	1115.66	0.01	0.05	-18.70	-28.36
704	725	719600	4362697	365.75	1018.26	1114.31	0.04	0.07	-13.80	-24.04
704	726	719451	4361988	367.65	1019.46	1113.75	0.01	0.04	-11.64	-21.96
704	728	719502	4359313	383.80	1021.86	1111.61	0.00	0.03	-3.48	-14.25
704	729	718733	4358841	374.58	1024.71	1111.26	0.00	0.04	-2.34	-12.85
704	730	719408	4357505	361.79	1026.40	1110.17	0.01	0.07	-2.41	-12.55
704	740	718282	4363398	333.13	1025.22	1114.90	0.01	0.07	-14.76	-24.09
704	741	718537	4362433	362.12	1021.63	1114.13	0.01	0.04	-11.09	-21.24
704	742	718721	4361995	351.02	1024.72	1113.77	0.01	0.05	-10.13	-19.97
704	743	718543	4360603	371.56	1023.79	1112.67	0.00	0.03	-5.35	-15.78
704	744	718543	4359816	370.27	1025.09	1112.04	0.00	0.03	-3.72	-14.11
704	745	718455	4358328	373.52	1025.05	1110.85	0.08	0.13	-1.75	-12.19
704	746	718454	4357846	367.57	1026.51	1110.47	0.00	0.08	-1.29	-11.59
704	757	717295	4360172	362.34	1027.27	1112.35	0.00	0.03	-3.63	-13.79
704	758	717766	4359264	364.06	1027.28	1111.61	0.00	0.05	-2.48	-12.69
704	759	718020	4358617	367.67	1026.67	1111.09	0.01	0.07	-1.74	-12.05
704	771	716559	4361142	368.28	1026.02	1113.14	0.00	0.06	-4.31	-14.64
704	772	716450	4359794	354.11	1029.64	1112.07	0.00	0.04	-2.82	-12.75
704	773	716937	4358003	338.56	1033.19	1110.63	0.00	0.06	-1.30	-10.79
704	774	716845	4357571	335.26	1034.23	1110.28	0.08	0.14	-0.58	-9.95
704	783	715780	4357248	356.37	1030.69	1110.05	0.01	0.10	0.82	-9.16
704	794	714673	4357750	342.56	1033.72	1110.47	0.00	0.07	0.29	-9.31
704	795	714642	4357007	354.88	1031.74	1109.88	0.01	0.10	1.70	-8.24
704	377	734006	4357743	433.03	991.26	1110.02	0.02	0.08	-21.38	-33.52
704	407	733362	4357886	430.23	994.25	1110.15	0.06	0.10	-19.13	-31.18
704	453	731714	4359137	412.27	998.30	1111.19	0.12	0.15	-20.11	-31.64
704	454	731413	4358241	427.12	994.93	1110.48	0.01	0.05	-19.53	-31.51

GRAVIMETRIA EN: CACERES

PAG Nº: 9

DENSIDAD DE REDUCCION: 2.67

HOJA	NUM	X m.	Y m.	Z m.	G mgal.	GN mgal.	TP mgal.	T mgal.	A mgal.	A1 mgal.
704	455	731822	4357869	427.92	994.43	1110.18	0.01	0.04	-19.55	-31.56
704	497	729285	4360450	388.04	1008.64	1112.30	0.01	0.04	-16.43	-27.32
704	520	728775	4361170	372.01	1013.37	1112.88	0.00	0.04	-15.89	-26.32
704	521	728470	4359145	401.13	1007.70	1111.27	0.00	0.03	-13.41	-24.67
704	544	727277	4359738	392.92	1011.44	1111.78	0.00	0.02	-12.03	-23.06
704	569	726229	4361533	373.89	1017.28	1113.23	0.01	0.04	-11.90	-22.39
704	570	726290	4360462	378.68	1016.02	1112.38	0.01	0.03	-11.24	-21.86
704	643	723267	4361306	376.25	1018.97	1113.12	0.00	0.03	-9.58	-20.14
704	665	722732	4362192	366.38	1019.67	1113.84	0.67	0.83	-11.01	-21.02
704	667	722821	4360131	391.62	1017.17	1112.19	0.01	0.04	-6.98	-17.97
704	687	721457	4361677	382.71	1015.86	1113.46	0.00	0.05	-11.56	-22.29
705	1	752798	4370486	331.93	1035.13	1119.73	0.01	0.15	-9.86	-19.13
705	2	752530	4368990	343.02	1031.69	1118.54	0.04	0.19	-9.58	-19.15
705	3	752333	4368313	372.00	1023.69	1118.00	0.07	0.25	-10.48	-20.85
705	5	752278	4366560	382.09	1019.88	1116.61	0.03	0.18	-10.69	-21.36
705	6	752530	4365715	381.04	1018.97	1115.92	0.03	0.18	-11.15	-21.79
705	8	752329	4363334	393.35	1016.32	1114.03	0.01	0.09	-9.24	-20.26
705	9	752893	4362431	405.44	1012.44	1113.29	0.01	0.08	-9.67	-21.03
705	10	752330	4361426	414.62	1010.31	1112.51	0.01	0.06	-8.98	-20.60
705	11	752368	4360163	430.38	1006.10	1111.50	0.01	0.05	-8.64	-20.72
705	12	752471	4359513	425.82	1006.24	1110.98	0.00	0.06	-9.00	-20.94
705	13	752501	4358572	409.74	1008.04	1110.22	0.00	0.09	-10.03	-21.51
705	16	752223	4370430	355.78	1030.93	1119.70	0.01	0.08	-8.74	-18.71
705	17	752105	4369520	374.65	1026.04	1118.97	0.00	0.26	-8.49	-18.93
705	18	751656	4368916	359.43	1028.81	1118.50	0.00	0.13	-8.80	-18.85
705	20	751026	4366981	345.57	1029.95	1116.97	0.01	0.14	-9.24	-18.90
705	21	751346	4365648	370.89	1023.28	1115.90	0.03	0.21	-9.07	-19.42
705	22	751482	4364460	382.85	1019.92	1114.95	0.00	0.10	-8.90	-19.62
705	24	752029	4362765	390.14	1016.56	1113.58	0.03	0.11	-9.24	-20.16
705	26	751802	4360021	417.53	1008.62	1111.40	0.00	0.05	-8.91	-20.62
705	28	751564	4358332	414.53	1007.20	1110.06	0.01	0.06	-9.66	-21.28
705	31	751805	4370781	368.58	1029.41	1119.99	0.00	0.14	-7.62	-17.92
705	32	750367	4369244	330.52	1036.25	1118.80	0.02	0.11	-8.17	-17.41
705	33	750296	4368186	365.87	1028.19	1117.96	0.01	0.22	-7.33	-17.53
705	34	750063	4367634	378.71	1025.25	1117.52	0.01	0.19	-6.99	-17.56
705	35	750712	4367176	380.99	1023.47	1117.14	0.02	0.29	-7.77	-18.38
705	36	750712	4366278	356.48	1027.40	1116.42	0.03	0.15	-8.77	-18.73
705	37	750892	4364578	376.17	1021.63	1115.06	0.00	0.12	-8.79	-19.31
705	38	750520	4363562	354.53	1025.05	1114.26	0.01	0.17	-9.37	-19.27
705	39	750420	4362343	394.84	1015.88	1113.29	0.01	0.06	-8.62	-19.69
705	40	750468	4360303	391.25	1013.96	1111.66	0.00	0.07	-9.72	-20.69
705	41	750256	4359980	389.26	1013.80	1111.41	0.00	0.08	-10.06	-20.96
705	42	750654	4359383	407.36	1009.58	1110.92	0.01	0.05	-9.75	-21.18
705	43	750480	4358834	407.59	1008.75	1110.49	0.01	0.09	-10.06	-21.48
705	46	749304	4370576	358.53	1032.73	1119.89	0.00	0.06	-6.54	-16.59
705	47	750042	4369540	343.96	1034.22	1119.04	0.00	0.09	-7.44	-17.07
705	48	749451	4368317	342.98	1033.01	1118.08	0.03	0.14	-7.87	-17.45
705	49	749655	4367372	385.97	1023.49	1117.32	0.02	0.30	-6.81	-17.55
705	50	749703	4366389	394.50	1020.90	1116.54	0.00	0.13	-6.86	-17.90
705	51	749199	4365416	410.15	1016.77	1115.77	0.01	0.13	-6.71	-18.19

GRAVIMETRIA EN: CACERES

PAG Nº: 10

DENSIDAD DE REDUCCION: 2.67

HOJA	NUM	X m.	Y m.	Z m.	G mgal.	GN mgal.	TP mgal.	T mgal.	A mgal.	A1 mgal.
705	52	749567	4364651	383.57	1020.86	1115.15	0.03	0.12	-7.98	-18.71
705	53	749767	4363984	401.89	1016.46	1114.61	0.01	0.13	-7.72	-18.97
705	54	749464	4362032	416.93	1010.87	1113.06	0.01	0.07	-8.44	-20.13
705	55	749335	4361762	422.86	1009.30	1112.85	0.01	0.07	-8.46	-20.31
705	58	749567	4358612	414.61	1006.69	1110.33	0.00	0.08	-10.40	-22.02
705	61	748615	4370207	386.48	1027.02	1119.61	0.00	0.15	-5.60	-16.41
705	65	747976	4366880	374.43	1025.25	1116.97	0.11	0.21	-7.37	-17.82
705	66	748487	4366320	397.08	1020.30	1116.51	0.02	0.25	-6.74	-17.80
705	67	748341	4364105	427.23	1011.53	1114.75	0.01	0.10	-7.12	-19.08
705	68	748991	4363427	416.17	1012.80	1114.19	0.01	0.09	-7.79	-19.45
705	69	749065	4362549	413.83	1011.73	1113.49	0.00	0.08	-8.69	-20.29
705	70	748551	4361381	427.53	1007.19	1112.57	0.01	0.06	-9.25	-21.23
705	71	748670	4360225	431.54	1004.67	1111.64	0.00	0.06	-9.94	-22.04
705	72	748011	4359602	451.99	998.71	1111.16	0.00	0.07	-10.82	-23.49
705	73	748301	4358975	424.98	1003.40	1110.65	0.03	0.17	-11.59	-23.47
705	77	747941	4369888	395.31	1025.05	1119.37	0.00	0.07	-5.43	-16.50
705	79	747239	4367261	410.63	1018.62	1117.29	0.01	0.12	-6.28	-17.78
705	80	747145	4366622	394.45	1020.70	1116.79	0.03	0.13	-7.32	-18.35
705	81	747357	4365624	411.67	1016.08	1115.98	0.03	0.17	-7.23	-18.73
705	83	747761	4363273	449.61	1005.30	1114.10	0.01	0.11	-7.66	-20.25
705	84	747490	4362181	454.85	1002.02	1113.23	0.01	0.09	-8.92	-21.66
705	86	747565	4360382	461.10	997.50	1111.80	0.01	0.07	-10.61	-23.54
705	87	747730	4359626	454.58	997.91	1111.19	0.01	0.05	-11.08	-23.83
705	98	746778	4369500	426.26	1018.05	1119.09	0.01	0.09	-5.17	-17.12
705	100	746467	4367356	418.68	1016.87	1117.39	0.01	0.07	-6.38	-18.11
705	101	746266	4366489	407.38	1017.53	1116.70	0.04	0.12	-7.52	-18.92
705	103	746717	4364668	435.66	1009.38	1115.24	0.01	0.10	-7.86	-20.06
705	105	746812	4362486	481.85	996.11	1113.49	0.00	0.13	-8.98	-22.47
705	106	746334	4361142	461.30	996.76	1112.43	0.00	0.07	-11.95	-24.88
705	107	746161	4360600	469.76	993.48	1112.01	0.01	0.06	-12.91	-26.08
705	108	746504	4359493	455.71	994.71	1111.11	0.00	0.04	-13.96	-26.75
705	109	746948	4358591	451.08	995.79	1110.38	0.00	0.04	-13.19	-25.85
705	118	745594	4371477	425.33	1020.26	1120.70	0.01	0.10	-4.77	-16.68
705	120	745720	4369244	444.53	1013.89	1118.92	0.06	0.19	-4.95	-17.38
705	121	745573	4368373	440.52	1013.65	1118.23	0.00	0.07	-5.52	-17.87
705	122	745774	4367585	432.28	1014.03	1117.59	0.01	0.07	-6.35	-18.47
705	123	745241	4366995	426.59	1014.43	1117.13	0.00	0.06	-6.79	-18.75
705	124	745031	4365549	427.50	1011.05	1115.98	0.01	0.08	-8.80	-20.78
705	125	745125	4364446	444.06	1005.81	1115.10	0.02	0.12	-9.39	-21.82
705	126	745789	4363442	450.00	1003.45	1114.28	0.01	0.09	-9.63	-22.24
705	127	745535	4362653	462.09	998.74	1113.66	0.00	0.07	-11.02	-23.97
705	128	745682	4361294	472.36	993.46	1112.57	0.00	0.06	-12.91	-26.16
705	129	745229	4360274	473.73	990.09	1111.77	0.01	0.07	-15.16	-28.44
705	130	745569	4359382	454.88	992.75	1111.05	0.00	0.04	-16.05	-28.81
705	131	745933	4358064	445.50	993.04	1109.99	0.00	0.04	-16.80	-29.30
705	140	744367	4371402	449.06	1014.99	1120.67	0.00	0.10	-4.68	-17.26
705	141	744970	4370299	435.06	1016.92	1119.78	0.00	0.09	-5.01	-17.20
705	142	744284	4369603	435.36	1015.73	1119.24	0.00	0.08	-5.60	-17.80
705	143	744567	4368233	443.31	1012.66	1118.14	0.00	0.08	-5.79	-18.21
705	145	744738	4366743	442.03	1010.34	1116.94	0.04	0.10	-7.18	-19.56

GRAVIMETRIA EN: CACERES

PAG Nº: 11

DENSIDAD DE REDUCCION: 2.67

HOJA	NUM	X m.	Y m.	Z m.	G mgal.	GN mgal.	TP mgal.	T mgal.	A mgal.	A1 mgal.
705	147	744369	4363881	446.14	1003.20	1114.67	0.00	0.04	-11.18	-23.69
705	148	744253	4363455	445.89	1002.11	1114.33	0.00	0.04	-11.99	-24.50
705	149	744862	4362200	455.48	998.00	1113.31	0.00	0.05	-12.92	-25.69
705	150	744470	4361485	454.39	995.92	1112.75	0.00	0.05	-14.68	-27.43
705	151	744470	4361635	470.40	990.78	1112.87	0.01	0.07	-16.33	-29.52
705	153	744720	4358152	444.03	990.77	1110.09	0.00	0.05	-19.50	-31.95
705	162	743425	4372109	440.19	1017.09	1121.26	0.00	0.07	-5.19	-17.53
705	163	743474	4371153	442.38	1015.57	1120.50	0.00	0.07	-5.45	-17.85
705	164	743345	4369793	420.93	1018.52	1119.42	0.00	0.03	-6.28	-18.09
705	165	743258	4368012	432.55	1013.55	1118.00	0.01	0.06	-7.19	-19.32
705	166	743218	4367178	444.34	1009.46	1117.33	0.00	0.06	-7.97	-20.43
705	167	743435	4366320	454.99	1005.82	1116.64	0.00	0.08	-8.51	-21.26
705	168	743192	4365501	458.28	1003.13	1115.99	0.00	0.07	-9.82	-22.67
705	169	743445	4363846	437.76	1003.76	1114.66	0.00	0.05	-12.49	-24.77
705	170	743643	4363365	437.16	1003.00	1114.28	0.00	0.04	-13.01	-25.27
705	171	743103	4362326	436.79	999.42	1113.46	0.01	0.05	-15.85	-28.10
705	172	743786	4361300	457.00	993.76	1112.62	0.00	0.04	-16.14	-28.96
705	184	742518	4370795	433.11	1016.87	1120.24	0.01	0.07	-5.98	-18.12
705	185	742650	4370374	422.65	1018.31	1119.90	0.00	0.04	-6.58	-18.44
705	186	742436	4369258	409.06	1019.54	1119.01	0.01	0.04	-7.52	-18.99
705	187	742386	4369063	407.56	1019.55	1118.86	0.00	0.03	-7.70	-19.14
705	188	742738	4367736	430.41	1012.77	1117.79	0.01	0.05	-8.25	-20.32
705	189	742746	4366485	443.58	1009.72	1116.79	0.00	0.05	-7.34	-19.78
705	190	742673	4365346	459.39	1001.73	1115.88	0.01	0.09	-10.84	-23.71
705	191	742642	4364262	439.39	1003.05	1115.02	0.00	0.03	-13.20	-25.53
705	192	742930	4363664	432.01	1003.59	1114.53	0.01	0.05	-13.82	-25.93
705	194	742596	4361633	443.22	995.59	1112.92	0.00	0.03	-17.71	-30.14
705	195	742878	4360895	456.68	991.32	1112.32	0.01	0.05	-18.34	-31.14
705	196	742598	4359692	447.10	990.08	1111.37	0.00	0.04	-20.78	-33.33
705	7	752308	4364430	389.94	1017.62	1114.90	0.01	0.11	-9.55	-20.47
705	23	751613	4363565	385.79	1018.39	1114.23	0.06	0.15	-9.00	-19.78
705	27	751444	4359247	404.23	1010.23	1110.79	0.01	0.06	-9.67	-21.00
705	152	744328	4359226	451.23	990.98	1110.95	0.01	0.05	-18.53	-31.19
705	173	743318	4360032	462.12	988.92	1111.62	0.01	0.06	-18.81	-31.77
705	174	743113	4359338	436.93	991.83	1111.07	0.00	0.04	-21.03	-33.28
705	197	742799	4358360	439.80	988.67	1110.30	0.04	0.07	-22.74	-35.07
727	1175	684179	4354120	322.85	1037.79	1108.20	0.01	0.20	2.33	-6.67
727	1176	685115	4353641	301.97	1037.09	1107.80	0.00	0.15	-2.71	-11.14
727	1177	684027	4352791	335.18	1028.11	1107.14	0.07	0.16	-3.56	-12.92
727	1179	684295	4350412	305.33	1030.02	1105.24	0.01	0.08	-6.53	-15.08
727	1180	685068	4349328	326.23	1024.99	1104.36	0.01	0.07	-6.00	-15.14
727	1181	684778	4348356	311.69	1026.78	1103.59	0.02	0.08	-6.69	-15.42
727	1182	684697	4347627	285.25	1031.24	1103.01	0.07	0.18	-7.50	-15.45
727	1183	684362	4346360	301.20	1027.61	1102.00	0.00	0.05	-6.67	-15.11
727	1187	683381	4354469	332.47	1037.42	1108.49	0.00	0.11	3.74	-5.56
727	1188	683522	4353303	317.16	1035.15	1107.56	0.00	0.06	-1.09	-9.98
727	1189	683357	4352538	323.74	1030.02	1106.95	0.01	0.06	-4.12	-13.20
727	1191	683880	4350211	294.27	1031.73	1105.09	0.00	0.07	-7.16	-15.40
727	1192	683709	4349650	295.67	1030.67	1104.64	0.01	0.39	-7.15	-15.31
727	1193	684054	4348565	290.96	1030.66	1103.77	0.07	0.14	-7.59	-15.71

GRAVIMETRIA EN: CACERES

PAG Nº: 12

DENSIDAD DE REDUCCION: 2.67

HOJA	NUM	X m.	Y m.	Z m.	G mgal.	GN mgal.	TP mgal.	T mgal.	A mgal.	A1 mgal.
727	1194	683323	4347466	329.85	1022.08	1102.91	0.01	0.08	-6.62	-15.86
727	1195	683485	4346856	331.97	1021.52	1102.42	0.01	0.10	-6.20	-15.49
727	1196	683274	4345664	306.32	1026.78	1101.47	0.00	0.05	-5.80	-14.39
727	1197	683279	4344939	312.06	1026.81	1100.89	0.00	0.08	-3.88	-12.62
727	1198	683614	4343354	280.06	1036.29	1099.62	0.02	0.14	-0.26	-8.08
727	1201	682880	4354952	339.06	1037.58	1108.89	0.00	0.30	5.17	-4.25
727	1202	682626	4354636	328.28	1038.26	1108.64	0.00	0.14	3.52	-5.65
727	1203	682668	4353422	320.23	1033.99	1107.67	0.00	0.13	-1.60	-10.55
727	1209	682238	4347762	317.01	1025.18	1103.16	0.02	0.05	-6.70	-15.58
727	1210	682537	4346579	314.06	1025.08	1102.21	0.01	0.05	-6.51	-15.32
727	1211	682345	4345676	333.84	1021.04	1101.50	0.01	0.08	-5.36	-14.72
727	1212	682430	4344453	400.19	1008.75	1100.52	0.23	1.24	-0.61	-11.43
727	1213	682505	4343510	292.24	1033.94	1099.76	0.01	0.11	-0.05	-8.22
727	1222	681750	4349694	313.16	1026.44	1104.71	0.08	0.14	-7.77	-16.52
727	1224	681296	4347783	329.18	1021.56	1103.20	0.03	0.12	-7.54	-16.75
727	1225	681527	4346713	310.78	1025.95	1102.34	0.01	0.13	-6.42	-15.11
727	1226	681233	4345654	336.42	1020.91	1101.50	0.00	0.03	-4.96	-14.40
727	1227	681470	4344404	435.48	1000.56	1100.50	0.27	1.79	-0.29	-11.92
727	1228	682290	4343639	294.88	1033.33	1099.87	0.00	0.17	-0.11	-8.34
727	1229	681545	4342417	266.29	1044.26	1098.91	0.01	0.21	5.40	-2.01
727	1230	682033	4341481	243.21	1051.19	1098.15	0.04	0.40	8.08	1.38
727	1231	681623	4340126	276.76	1045.95	1097.08	0.01	0.06	11.12	3.37
727	1233	681446	4355420	337.98	1038.88	1109.29	0.00	0.15	5.69	-3.76
727	1234	680290	4355260	332.93	1038.00	1109.18	0.00	0.21	3.84	-5.44
727	1235	680729	4354264	320.43	1035.45	1108.38	0.00	0.35	-0.58	-9.47
727	1239	681092	4349869	321.33	1025.55	1104.86	0.03	0.24	-6.88	-15.82
727	1240	680798	4349430	350.95	1018.87	1104.52	0.02	0.11	-6.68	-16.50
727	1241	680380	4348173	334.86	1020.61	1103.52	0.01	0.04	-7.63	-17.03
727	1242	680796	4347441	331.23	1020.88	1102.93	0.01	0.04	-7.58	-16.87
727	1243	680664	4346562	328.69	1021.32	1102.23	0.01	0.04	-7.01	-16.23
727	1244	680465	4345773	327.34	1022.03	1101.61	0.02	0.06	-5.96	-15.14
727	1245	680925	4344535	372.61	1014.82	1100.61	0.01	0.35	-1.71	-12.06
727	1246	680427	4343476	345.82	1021.85	1099.78	1.44	1.88	1.66	-7.42
727	1247	680570	4342552	287.59	1039.04	1099.04	0.10	0.24	4.87	-3.13
727	1248	680875	4341883	300.90	1039.03	1098.50	0.01	0.09	8.24	-0.18
727	1249	680552	4340144	289.83	1043.35	1097.12	0.01	0.07	11.43	3.32
727	1253	679762	4355705	337.61	1038.66	1109.55	0.00	0.10	5.07	-4.38
727	1254	679993	4354416	333.00	1032.97	1108.51	0.01	0.22	-0.50	-9.77
727	1255	679740	4353966	350.16	1027.43	1108.16	0.06	0.14	-1.91	-11.70
727	1256	679547	4353442	331.67	1029.42	1107.75	0.02	0.11	-3.69	-12.97
727	1257	678501	4351895	387.52	1014.77	1106.53	0.01	0.09	-4.60	-15.45
727	1258	679864	4349907	354.64	1018.47	1104.92	0.00	0.05	-6.71	-16.66
727	1260	679510	4348623	347.47	1018.53	1103.90	0.05	0.09	-7.21	-16.94
727	1261	679655	4347810	337.60	1019.84	1103.25	0.01	0.04	-7.51	-16.98
727	1262	679776	4346801	337.26	1019.47	1102.44	0.01	0.04	-7.15	-16.61
727	1263	680061	4345503	334.29	1020.48	1101.40	0.01	0.06	-5.74	-15.11
727	1264	679802	4344517	296.72	1028.83	1100.62	0.14	0.30	-4.82	-13.05
727	1265	679279	4343745	307.29	1027.26	1100.01	0.03	0.26	-3.45	-11.99
727	1266	679474	4342659	296.99	1035.50	1099.14	0.08	0.23	3.33	-4.94
727	1267	679545	4341382	284.96	1041.78	1098.12	0.06	0.27	7.96	0.04

GRAVIMETRIA EN: CACERES

PAG Nº: 13

DENSIDAD DE REDUCCION: 2.67

HOJA	NUM	X m.	Y m.	Z m.	G mgal.	GN mgal.	TP mgal.	T mgal.	A mgal.	A1 mgal.
727	1268	679398	4340165	298.94	1040.64	1097.15	0.01	0.08	10.74	2.38
727	1269	679317	4339525	311.56	1039.59	1096.64	0.05	0.12	13.08	4.37
727	1270	679295	4338066	328.40	1036.10	1095.48	0.01	0.07	14.48	5.28
727	1274	678274	4355891	328.03	1040.56	1109.72	0.00	0.10	4.65	-4.53
727	1275	678834	4354354	336.47	1031.33	1108.49	0.01	0.15	-1.40	-10.80
727	1277	678678	4352438	361.01	1021.12	1106.96	0.01	0.09	-4.63	-14.74
727	1278	677872	4351872	389.19	1014.04	1106.52	0.01	0.08	-4.95	-15.86
727	1279	678726	4350556	371.74	1015.73	1105.46	0.00	0.50	-5.70	-15.97
727	1280	678688	4349491	347.25	1019.34	1104.61	0.01	0.06	-7.18	-16.91
727	1281	678545	4348212	357.01	1016.35	1103.59	0.00	0.73	-6.29	-16.08
727	1282	678818	4347821	347.10	1017.96	1103.27	0.01	0.12	-7.20	-16.91
727	1284	679232	4345325	336.52	1019.64	1101.27	0.06	0.28	-5.74	-15.10
727	1285	679047	4344767	324.37	1022.60	1100.83	0.07	0.13	-5.21	-14.28
727	1286	678827	4343390	327.09	1023.86	1099.74	0.01	0.14	-2.24	-11.38
727	1287	678886	4342483	313.41	1031.06	1099.01	0.04	0.26	2.73	-5.98
727	1288	678270	4341086	306.71	1035.41	1097.91	0.04	0.35	6.77	-1.72
727	1289	678807	4340318	301.27	1039.36	1097.29	0.00	0.12	9.89	1.46
727	1290	678601	4339372	320.85	1037.21	1096.54	0.03	0.12	12.89	3.92
727	1291	678859	4338591	325.44	1037.21	1095.91	0.00	0.07	14.49	5.38
727	1299	677535	4355574	331.33	1038.01	1109.48	0.00	0.08	3.05	-6.23
727	1300	677740	4354523	323.91	1033.59	1108.64	0.00	0.13	-2.14	-11.19
727	1301	677988	4353893	350.57	1026.21	1108.13	0.01	0.34	-2.81	-12.54
727	1302	677264	4352698	356.45	1021.96	1107.19	0.01	0.14	-5.00	-14.97
727	1303	677189	4351772	373.06	1016.99	1106.46	0.02	0.08	-5.56	-16.01
727	1304	677932	4350627	383.20	1013.47	1105.53	0.01	0.06	-5.89	-16.63
727	1305	677786	4349153	362.23	1015.65	1104.35	0.01	0.04	-7.27	-17.43
727	1306	677938	4348261	350.89	1017.49	1103.64	0.01	0.05	-7.26	-17.09
727	1307	677957	4347206	359.50	1014.99	1102.80	0.03	0.06	-6.97	-17.05
727	1309	677943	4345505	374.24	1011.98	1101.44	0.01	0.13	-5.24	-15.70
727	1311	677820	4343743	366.69	1014.87	1100.04	0.01	0.12	-2.65	-12.91
727	1312	678055	4342586	339.44	1022.44	1099.11	0.03	0.47	0.08	-9.30
727	1313	677726	4341305	349.45	1023.46	1098.09	0.02	0.50	4.39	-5.26
727	1314	677442	4340515	321.99	1031.40	1097.47	0.00	0.26	6.55	-2.41
727	1315	677888	4339771	315.13	1035.94	1096.87	0.07	0.18	10.07	1.28
727	1316	677902	4338745	347.31	1032.80	1096.05	0.01	0.09	14.89	5.16
727	1324	676712	4355129	324.91	1036.30	1109.14	0.00	0.13	0.30	-8.79
727	1325	676349	4354896	328.49	1034.07	1108.96	0.07	0.24	-0.84	-9.98
727	1326	676848	4353206	366.41	1020.80	1107.61	0.03	0.08	-4.39	-14.65
727	1327	676831	4352509	366.57	1019.57	1107.05	0.01	0.09	-5.02	-15.28
727	1328	676371	4351558	375.22	1016.50	1106.30	0.00	0.05	-5.44	-15.96
727	1329	676542	4350595	392.74	1011.26	1105.53	0.01	0.09	-5.93	-16.93
727	1331	676661	4348389	365.45	1014.39	1103.76	0.00	0.05	-7.20	-17.45
727	1332	676463	4347259	365.79	1013.70	1102.87	0.01	0.04	-6.93	-17.19
727	1334	676499	4345579	370.20	1012.91	1101.53	0.01	0.07	-5.36	-15.73
727	1335	676644	4344374	390.24	1009.53	1100.56	0.01	0.20	-3.15	-14.04
727	1337	675658	4342923	423.10	1003.80	1099.42	0.03	0.57	0.02	-11.67
727	1338	676088	4341499	402.24	1010.83	1098.28	0.09	0.77	3.71	-7.33
727	1339	676851	4340437	359.84	1022.88	1097.42	0.15	0.33	6.65	-3.35
727	1340	676223	4339146	325.48	1034.26	1096.40	0.02	0.21	11.21	2.14
727	1341	676661	4338732	359.63	1029.09	1096.06	0.06	0.21	14.05	4.02

GRAVIMETRIA EN: CACERES

PAG NO: 14

DENSIDAD DE REDUCCION: 2.67

HOJA	NUM	X m.	Y m.	Z m.	G mgal.	GN mgal.	TP mgal.	T mgal.	A mgal.	A1 mgal.
727	1349	675171	4355359	330.02	1036.29	1109.36	0.00	0.10	1.19	-8.05
727	1350	675121	4354768	339.82	1030.60	1108.88	0.03	0.15	-1.78	-11.27
727	1353	675520	4351752	395.12	1012.72	1106.47	0.02	0.06	-4.91	-15.99
727	1354	675215	4350726	398.08	1010.50	1105.66	0.03	0.07	-5.64	-16.79
727	1356	675344	4348580	379.68	1011.90	1103.94	0.00	0.04	-6.69	-17.34
727	1357	675403	4347715	388.14	1009.00	1103.25	0.32	0.37	-6.66	-17.44
727	1358	675617	4346477	386.49	1009.76	1102.26	0.04	0.09	-5.56	-16.38
727	1360	675183	4344687	403.01	1007.09	1100.84	0.04	0.20	-3.00	-14.25
727	1361	675274	4343442	400.80	1008.05	1099.84	0.05	0.29	-1.44	-12.60
727	1368	674168	4362421	423.93	1035.93	1115.01	0.06	0.36	16.53	4.75
727	1363	675865	4340999	370.37	1019.08	1097.88	0.01	0.40	4.82	-5.45
727	1364	675151	4340532	378.23	1021.47	1097.52	0.01	0.20	9.14	-1.41
727	1365	675356	4339484	327.95	1034.53	1096.68	0.01	0.23	11.77	2.64
727	1366	675151	4338638	298.46	1041.07	1096.01	0.01	0.14	12.26	3.93
727	1375	674304	4355536	333.76	1036.28	1109.51	0.01	0.09	1.86	-7.49
727	1376	674576	4354477	376.27	1022.10	1108.66	0.03	0.24	-1.77	-12.26
727	1379	674657	4351167	403.05	1010.14	1106.02	0.00	0.05	-5.26	-16.56
727	1381	674691	4349613	383.03	1012.19	1104.78	0.07	0.10	-6.42	-17.14
727	1382	674257	4348680	390.81	1009.81	1104.04	0.04	0.10	-6.32	-17.26
727	1383	674520	4347231	375.96	1011.87	1102.88	0.00	0.04	-6.50	-17.04
727	1384	674504	4346494	374.19	1012.33	1102.29	0.01	0.05	-5.83	-16.32
727	1385	674657	4345391	379.16	1011.37	1101.41	0.03	0.08	-4.76	-15.39
727	1386	674095	4344337	418.12	1004.09	1100.58	0.01	0.16	-2.37	-14.06
727	1387	674398	4343563	413.54	1005.67	1099.95	0.04	0.19	-1.17	-12.72
727	1389	674466	4341548	342.35	1024.18	1098.35	0.05	0.48	3.24	-6.21
727	1390	674350	4340563	359.29	1025.65	1097.56	0.00	0.21	9.03	-1.00
727	1391	674672	4339099	292.70	1041.75	1096.39	0.00	0.17	11.30	3.13
727	1392	674573	4338765	282.54	1044.32	1096.12	0.00	0.17	11.85	3.97
727	1402	673659	4354525	360.61	1025.44	1108.72	0.01	0.08	-2.16	-12.26
727	1403	673260	4353163	406.36	1012.97	1107.64	0.01	0.08	-3.28	-14.67
727	1404	673097	4352382	407.22	1011.46	1107.02	0.00	0.06	-4.00	-15.41
727	1405	673820	4351881	423.98	1007.24	1106.60	0.01	0.10	-4.00	-15.87
727	1406	673894	4350920	414.62	1006.99	1105.83	0.02	0.09	-5.59	-17.21
727	1407	673821	4349673	375.81	1013.77	1104.84	0.01	0.06	-6.57	-17.10
727	1408	673487	4348235	376.52	1012.49	1103.70	0.00	0.04	-6.56	-17.12
727	1409	673609	4347382	378.66	1011.67	1103.02	0.24	0.32	-5.95	-16.47
727	1411	673370	4345548	365.77	1014.01	1101.56	0.00	0.08	-5.28	-15.52
727	1412	673115	4344345	402.07	1007.71	1100.60	0.01	0.10	-2.45	-13.71
727	1413	673260	4343458	418.89	1004.76	1099.89	0.00	0.16	-0.84	-12.55
727	1414	673423	4342534	467.59	1001.00	1099.15	0.47	0.62	7.54	-5.39
727	1415	673371	4341642	348.25	1023.61	1098.44	0.03	0.31	3.73	-5.94
727	1416	673716	4340634	331.78	1031.01	1097.63	0.03	0.19	8.13	-1.13
727	1417	673439	4339542	293.18	1041.80	1096.76	0.00	0.15	11.06	2.88
727	1418	673895	4338407	271.62	1047.11	1095.85	0.01	0.13	12.42	4.84
727	1428	672979	4355173	354.23	1030.28	1109.25	0.00	0.08	0.71	-9.21
727	1430	672603	4353439	399.11	1014.97	1107.87	0.01	0.07	-3.14	-14.39
727	1431	672683	4352379	405.55	1011.78	1107.02	0.01	0.06	-4.05	-15.42
727	1432	672929	4351439	393.56	1012.65	1106.27	0.01	0.06	-5.13	-16.16
727	1433	672700	4350888	381.07	1014.35	1105.83	0.00	0.09	-5.77	-16.44
727	1434	673078	4349573	378.98	1013.08	1104.77	0.01	0.04	-6.50	-17.13

GRAVIMETRIA EN: CACERES

PAG Nº: 15

DENSIDAD DE REDUCCION: 2.67

HOJA	NUM	X m.	Y m.	Z m.	G mgal.	GN mgal.	TP mgal.	T mgal.	A mgal.	A1 mgal.
727	1435	672675	4348134	379.98	1012.25	1103.63	0.00	0.06	-5.94	-16.59
727	1438	672490	4345541	393.13	1009.06	1101.57	0.00	0.10	-4.07	-15.08
727	1439	672390	4344416	393.38	1009.55	1100.67	0.00	0.10	-2.63	-13.64
727	1440	672611	4343534	419.24	1004.98	1099.96	0.01	0.30	-0.48	-12.16
727	1441	672872	4342522	369.22	1016.59	1099.15	0.01	0.39	0.80	-9.44
727	1442	672606	4341363	302.62	1034.59	1098.23	0.02	0.20	4.56	-3.88
727	1443	673051	4340874	304.58	1035.84	1097.83	0.05	0.21	6.66	-1.83
727	1444	672539	4339483	286.31	1043.47	1096.73	0.02	0.19	11.26	3.28
727	1445	672328	4338343	254.55	1050.65	1095.83	0.00	0.11	12.13	5.01
727	1455	671521	4355198	358.91	1029.40	1109.29	0.01	0.09	0.84	-9.21
727	1458	672074	4352671	392.55	1014.78	1107.26	0.01	0.04	-4.23	-15.24
727	1460	671337	4350278	384.58	1012.97	1105.37	0.02	0.08	-5.90	-16.68
727	1461	671531	4349480	363.05	1016.36	1104.73	0.00	0.05	-6.74	-16.92
727	1462	671645	4348642	366.99	1015.21	1104.06	0.01	0.05	-6.33	-16.62
727	1463	672087	4347564	370.34	1013.86	1103.19	0.07	0.15	-5.96	-16.31
727	1465	671511	4345495	370.95	1013.78	1101.55	0.01	0.06	-4.35	-14.75
727	1466	671631	4344451	400.04	1009.34	1100.71	0.04	0.17	-1.32	-12.50
727	1467	671621	4343586	414.69	1006.47	1100.02	0.02	0.29	-0.08	-11.63
727	1468	671626	4342760	343.84	1022.97	1099.36	0.06	0.36	1.23	-8.31
727	1469	671542	4341628	294.86	1036.69	1098.46	0.01	0.19	4.67	-3.54
727	1470	671535	4340634	296.47	1039.63	1097.67	0.01	0.31	8.89	0.67
727	1471	671502	4339411	264.33	1048.19	1096.69	0.00	0.30	11.19	3.87
727	1472	671854	4338619	265.02	1048.67	1096.06	0.02	0.14	12.31	4.91
727	1484	670340	4353391	407.69	1015.65	1107.87	0.00	0.17	-0.44	-11.83
727	1487	670353	4350372	393.39	1011.74	1105.46	0.01	0.07	-5.25	-16.28
727	1488	670538	4349821	377.15	1014.18	1105.02	0.01	0.07	-6.02	-16.59
727	1489	670612	4348753	349.38	1019.12	1104.16	0.02	0.07	-6.46	-16.25
727	1490	670566	4347600	337.74	1020.75	1103.24	0.03	0.10	-6.50	-15.95
727	1491	670282	4346599	333.24	1021.60	1102.45	0.02	0.09	-5.88	-15.21
727	1492	670472	4345417	384.64	1011.66	1101.50	0.02	0.17	-3.25	-13.99
727	1493	669994	4344386	371.15	1015.41	1100.69	0.11	0.21	-1.68	-12.03
727	1494	671022	4343566	449.12	998.54	1100.02	0.31	1.65	1.09	-10.98
727	1495	670696	4342488	314.97	1030.02	1099.16	0.08	0.31	1.94	-6.80
727	1496	670601	4341214	271.00	1043.92	1098.15	0.04	0.22	6.89	-0.65
727	1497	670816	4340462	261.56	1047.35	1097.54	0.01	0.15	8.73	1.44
727	1498	670306	4339597	246.41	1051.93	1096.86	0.01	0.13	10.57	3.69
727	1499	670506	4338562	240.82	1053.88	1096.03	0.03	0.13	12.09	5.37
727	1509	669778	4353689	416.12	1012.21	1108.12	0.00	0.12	-2.29	-13.94
727	1510	669576	4352634	391.36	1015.32	1107.28	0.01	0.05	-3.97	-14.94
727	1512	669757	4350573	387.74	1013.17	1105.63	0.00	0.06	-5.28	-16.15
727	1513	669212	4349662	356.33	1018.54	1104.91	0.04	0.12	-6.18	-16.15
727	1515	669664	4347751	326.18	1023.32	1103.38	0.01	0.09	-6.68	-15.81
727	1516	669465	4346364	361.55	1016.45	1102.28	0.01	0.28	-4.31	-14.37
727	1517	669901	4345276	376.48	1013.60	1101.40	0.04	0.13	-3.07	-13.60
727	1518	669592	4344594	386.89	1012.24	1100.86	0.00	0.15	-1.54	-12.36
727	1519	669651	4343853	369.79	1016.89	1100.27	0.01	0.18	-0.11	-10.43
727	1521	669358	4341436	284.31	1041.49	1098.35	0.02	0.21	7.23	-0.68
727	1522	669473	4340787	254.77	1048.78	1097.83	0.00	0.17	8.37	1.28
727	1523	669564	4339538	250.70	1051.37	1096.83	0.01	0.15	11.02	4.03
727	1524	669810	4338482	238.74	1054.53	1095.98	0.00	0.13	12.32	5.66

GRAVIMETRIA EN: CACERES

PAG Nº: 16

DENSIDAD DE REDUCCION: 2.67

HOJA	NUM	X m.	Y m.	Z m.	G mgal.	GN mgal.	TP mgal.	T mgal.	A mgal.	A1 mgal.
727	1532	668719	4355127	411.55	1018.55	1109.28	0.01	0.10	1.84	-9.69
727	1535	668332	4352385	385.36	1016.16	1107.10	0.00	0.05	-4.30	-15.11
727	1536	668419	4351572	381.97	1015.79	1106.45	0.11	0.14	-4.69	-15.37
727	1537	668231	4350324	355.56	1019.77	1105.46	0.03	0.08	-5.71	-15.67
727	1538	668637	4349358	372.77	1015.36	1104.68	0.02	0.11	-5.45	-15.88
727	1540	668251	4347656	316.41	1025.96	1103.33	0.03	0.11	-6.16	-15.00
727	1541	668549	4346619	361.27	1016.80	1102.50	0.04	0.24	-4.27	-14.34
727	1543	668368	4344918	377.50	1014.23	1101.14	0.05	0.37	-1.71	-12.19
727	1546	668221	4341464	251.09	1048.89	1098.39	0.01	0.18	7.11	0.12
727	1547	668757	4340673	257.16	1048.65	1097.75	0.01	0.15	8.84	1.67
727	1548	668905	4339567	249.87	1051.52	1096.86	0.00	0.11	10.91	3.93
727	1549	668858	4339030	257.58	1050.47	1096.44	0.00	0.11	12.02	4.82
727	1559	667204	4355385	440.19	1013.66	1109.52	0.01	0.15	3.20	-9.11
727	1560	667391	4354806	444.06	1009.23	1109.05	0.05	0.27	0.23	-12.15
727	1561	667553	4353323	403.10	1014.40	1107.86	0.01	0.05	-2.83	-14.14
727	1563	667869	4351407	363.62	1019.39	1106.33	0.13	0.21	-5.02	-15.16
727	1564	667827	4350603	372.76	1016.89	1105.69	0.01	0.06	-4.97	-15.42
727	1565	667719	4349329	364.98	1017.35	1104.67	0.05	0.10	-5.21	-15.43
727	1566	667328	4348421	361.67	1017.99	1103.95	0.01	0.11	-4.59	-14.71
727	1567	667719	4347845	333.00	1023.18	1103.49	0.03	0.11	-5.37	-14.69
727	1568	667558	4346603	319.21	1025.89	1102.50	0.01	0.08	-4.80	-13.74
727	1569	667133	4345496	308.56	1029.75	1101.62	0.07	0.21	-2.33	-10.93
727	1570	667384	4344632	287.33	1035.37	1100.93	0.08	0.35	-0.64	-8.60
727	1572	667591	4342783	259.04	1046.05	1099.45	0.01	0.40	5.21	-1.93
727	1573	667678	4340969	260.68	1047.99	1098.00	0.01	0.12	8.68	1.40
727	1574	667337	4340083	248.33	1051.46	1097.30	0.00	0.14	10.10	3.17
727	1575	667720	4339544	253.87	1050.74	1096.86	0.00	0.12	11.04	3.95
727	1576	667469	4338032	320.87	1040.02	1095.66	0.01	0.22	16.67	7.74
727	1586	666360	4355518	431.10	1015.11	1109.64	0.01	0.11	2.45	-9.63
727	1587	666423	4354333	379.07	1020.62	1108.69	0.01	0.13	-2.76	-13.36
727	1588	666241	4354015	402.51	1015.00	1108.44	0.02	0.09	-2.90	-14.17
727	1590	666715	4351772	381.61	1016.63	1106.64	0.05	0.09	-4.17	-14.86
727	1591	666620	4350979	369.55	1018.28	1106.01	0.01	0.07	-4.62	-14.98
727	1592	666568	4349700	365.39	1018.36	1104.99	0.01	0.07	-4.46	-14.70
727	1593	666624	4348753	354.90	1019.93	1104.23	0.00	0.07	-4.49	-14.44
727	1594	666900	4347829	357.60	1018.93	1103.49	0.02	0.16	-4.05	-14.04
727	1595	666645	4346415	300.32	1030.98	1102.36	0.05	0.18	-3.72	-12.10
727	1596	666501	4345407	262.12	1041.32	1101.56	0.03	0.34	-1.00	-8.25
727	1597	666013	4344810	303.97	1034.80	1101.10	0.14	0.36	2.37	-6.05
727	1598	666796	4342997	253.59	1046.95	1099.64	0.01	0.25	4.54	-2.50
727	1599	666446	4342109	282.48	1042.97	1098.93	0.01	0.13	7.64	-0.25
727	1600	666512	4341304	269.24	1046.27	1098.29	0.00	0.10	8.58	1.05
727	1601	666610	4339943	259.41	1049.19	1097.20	0.01	0.14	10.42	3.18
727	1602	666643	4339779	255.78	1050.08	1097.07	0.01	0.14	10.62	3.49
727	1603	666791	4338211	312.30	1041.75	1095.82	0.01	0.11	16.22	7.49
727	1613	665920	4355496	431.52	1013.94	1109.63	0.10	0.25	1.53	-10.51
727	1615	665684	4353655	371.49	1021.18	1108.16	0.05	0.18	-3.33	-13.71
727	1616	665444	4352395	380.88	1018.20	1107.16	0.07	0.22	-3.15	-13.78
727	1617	665821	4351887	384.47	1016.90	1106.75	0.00	0.05	-3.41	-14.19
727	1618	665561	4350500	362.39	1020.26	1105.64	0.02	0.11	-3.85	-13.99

GRAVIMETRIA EN: CACERES

PAG Nº: 17

DENSIDAD DE REDUCCION: 2.67

HOJA	NUM	X m.	Y m.	Z m.	G mgal.	GN mgal.	TP mgal.	T mgal.	A mgal.	Al mgal.
727	1619	665822	4349504	351.05	1021.71	1104.84	0.03	0.10	-4.15	-13.98
727	1620	666206	4348581	353.98	1020.27	1104.10	0.02	0.12	-4.17	-14.07
727	1621	665546	4347223	295.81	1033.68	1103.03	0.02	0.17	-2.71	-10.97
727	1622	665559	4346737	316.33	1030.37	1102.64	0.04	0.20	-0.99	-9.81
727	1623	665494	4345695	258.67	1041.71	1101.81	0.00	0.34	-1.64	-8.79
727	1624	665677	4344263	347.54	1026.91	1100.66	0.02	0.23	4.57	-5.11
727	1625	665466	4343571	308.13	1036.23	1100.12	0.13	0.29	5.65	-2.91
727	1626	665518	4342385	262.63	1046.82	1099.17	0.00	0.15	6.81	-0.51
727	1627	665367	4341344	266.23	1046.94	1098.34	0.05	0.18	8.60	1.19
727	1628	665254	4340602	274.29	1045.84	1097.75	0.12	0.24	9.96	2.34
727	1629	666052	4339884	262.47	1048.69	1097.16	0.01	0.16	10.66	3.34
727	1630	665948	4339212	306.09	1040.58	1096.63	0.60	0.81	13.54	5.21
727	1640	664298	4355608	447.76	1010.11	1109.74	0.03	0.22	1.20	-11.30
727	1642	664976	4353450	370.69	1021.31	1108.01	0.01	0.32	-3.09	-13.39
727	1643	664996	4352558	358.49	1023.13	1107.30	0.01	0.30	-3.31	-13.28
727	1644	664645	4351930	378.36	1019.18	1106.80	0.05	0.29	-2.31	-12.84
727	1645	664993	4350551	377.56	1018.02	1105.69	0.13	0.20	-2.64	-13.18
727	1646	664995	4349512	370.16	1018.99	1104.86	0.01	0.13	-2.56	-12.92
727	1647	664479	4348883	320.34	1030.63	1104.37	0.01	0.17	-1.59	-10.53
727	1648	664433	4347777	298.95	1036.49	1103.49	0.00	0.12	0.30	-8.06
727	1649	664443	4346377	277.54	1041.72	1102.37	0.00	0.16	1.87	-5.87
727	1650	664845	4345733	279.36	1041.01	1101.85	0.00	0.24	2.17	-5.60
727	1652	664521	4343405	277.14	1043.50	1100.00	0.00	0.15	5.93	-1.80
727	1653	664545	4342321	288.16	1042.26	1099.13	0.01	0.11	7.98	-0.07
727	1654	664273	4341473	280.39	1044.02	1098.46	0.03	0.13	8.70	0.87
727	1655	664661	4340826	295.25	1041.50	1097.94	0.10	0.21	10.12	1.90
727	1669	663523	4355595	456.04	1008.21	1109.75	0.03	0.29	1.23	-11.48
727	1672	664333	4353445	354.69	1025.17	1108.02	0.04	0.21	-2.93	-12.82
727	1675	663739	4349286	303.66	1036.64	1104.71	0.00	0.16	0.33	-8.15
727	1676	663452	4348363	309.77	1036.44	1103.97	0.00	0.13	2.20	-6.46
727	1677	663403	4347287	288.87	1040.83	1103.12	0.06	0.27	2.89	-5.13
727	1678	663528	4346764	279.67	1042.50	1102.70	0.01	0.20	2.85	-4.94
727	1679	663635	4345527	299.54	1038.87	1101.71	0.01	0.14	4.61	-3.75
727	1680	663716	4344703	360.80	1026.06	1101.05	0.09	0.56	6.64	-3.30
727	1681	663762	4343643	295.27	1040.00	1100.20	0.02	0.15	6.29	-1.95
727	1682	663946	4342500	298.27	1039.87	1099.29	0.03	0.16	7.76	-0.56
727	1683	663277	4341746	298.66	1040.00	1098.70	0.01	0.10	8.51	0.16
727	1684	663585	4341028	296.01	1040.68	1098.12	0.05	0.17	9.24	0.99
727	1705	662522	4348605	310.49	1037.98	1104.18	0.01	0.16	3.73	-4.94
727	1706	662312	4347353	304.28	1039.23	1103.19	0.01	0.20	4.61	-3.87
727	1707	662874	4346383	297.25	1039.96	1102.40	0.01	0.18	4.52	-3.76
727	1708	662420	4345336	365.44	1025.93	1101.57	0.17	0.50	6.97	-3.13
727	1709	662695	4344510	309.12	1037.76	1100.91	0.01	0.14	6.44	-2.19
727	1712	662580	4341578	305.22	1038.37	1098.57	0.01	0.11	8.49	-0.04
727	1727	661776	4353397	335.36	1033.30	1108.02	0.00	0.33	0.97	-8.34
727	1728	661767	4352344	333.86	1034.65	1107.18	0.03	0.17	2.66	-6.66
727	1729	661714	4351527	313.10	1039.24	1106.53	0.00	0.18	3.25	-5.49
727	1730	661658	4350747	313.48	1039.07	1105.91	0.03	0.20	3.80	-4.94
727	1731	661490	4349756	331.21	1035.47	1105.12	0.01	0.14	4.91	-4.34
727	1732	661405	4348716	302.48	1040.87	1104.29	0.01	0.22	4.77	-3.65

GRAVIMETRIA EN: CACERES

PAG Nº: 18

DENSIDAD DE REDUCCION: 2.67

HOJA	NUM	X m.	Y m.	Z m.	G mgal.	GN mgal.	TP mgal.	T mgal.	A mgal.	A1 mgal.
727	1733	661326	4347683	309.31	1039.03	1103.47	0.03	0.27	5.33	-3.27
727	1734	661709	4345385	329.75	1033.95	1101.63	0.01	0.18	6.59	-2.61
727	1735	661519	4344622	309.15	1037.60	1101.02	0.00	0.14	6.18	-2.46
727	1736	661584	4343487	288.66	1041.38	1100.11	0.03	0.18	6.31	-1.74
727	1737	661916	4342629	278.00	1043.36	1099.42	0.02	0.18	6.58	-1.17
727	1738	661863	4341597	304.99	1037.82	1098.60	0.01	0.13	7.88	-0.65
727	1751	660101	4354119	353.37	1031.21	1108.62	0.01	0.42	2.41	-7.38
727	1752	660099	4354241	365.30	1028.89	1108.72	0.03	0.34	2.59	-7.56
727	1753	660688	4353501	333.39	1035.19	1108.12	0.01	0.27	2.26	-7.02
727	1754	660317	4352509	326.87	1037.85	1107.33	0.01	0.21	4.17	-4.94
727	1755	660453	4351737	334.21	1036.49	1106.72	0.00	0.15	5.02	-4.31
727	1756	660796	4350626	335.52	1035.77	1105.82	0.01	0.14	5.48	-3.90
727	1757	660470	4349785	316.94	1039.19	1105.16	0.01	0.20	5.45	-3.39
727	1758	660572	4348203	310.30	1039.41	1103.89	0.00	0.27	5.51	-3.11
727	1773	659087	4354006	346.78	1033.34	1108.55	0.01	0.43	3.15	-6.45
727	1774	659591	4353331	327.32	1037.38	1108.00	0.00	0.29	3.21	-5.88
727	1775	659307	4352336	343.51	1035.45	1107.21	0.01	0.43	5.86	-3.65
727	1776	659390	4351766	349.34	1034.28	1106.76	0.01	0.50	6.52	-3.13
727	1777	659079	4350187	328.78	1037.89	1105.50	0.02	0.29	6.55	-2.59
727	1778	659350	4349153	329.12	1037.03	1104.67	0.01	0.38	6.69	-2.43
727	1793	658094	4353838	346.75	1032.94	1108.43	0.01	0.54	2.96	-6.60
727	1794	658318	4353128	350.14	1033.40	1107.86	0.01	0.80	5.01	-4.55
727	1797	658502	4350048	346.70	1034.32	1105.40	0.00	0.28	7.10	-2.54
727	1812	657809	4354149	363.97	1029.01	1108.69	0.05	0.41	2.52	-7.57
727	1814	657704	4352878	373.84	1028.82	1107.67	0.04	0.99	6.14	-4.03
727	2002	657546	4345783	342.83	1031.61	1102.01	0.01	0.27	6.90	-2.64
727	2003	657421	4344852	357.79	1027.67	1101.27	0.02	0.33	7.12	-2.82
727	2004	657336	4344084	340.70	1029.62	1100.66	0.03	0.32	5.84	-3.63
727	2005	657577	4342057	316.02	1031.76	1099.04	0.04	0.34	4.08	-4.68
727	2006	657611	4341582	344.90	1025.18	1098.66	0.01	0.44	4.46	-5.08
727	2007	657066	4341004	443.32	1004.19	1098.21	0.27	2.07	7.67	-4.08
727	2008	657812	4339851	410.64	1012.80	1097.27	0.02	0.51	8.31	-3.05
727	2009	658276	4348714	384.77	1024.84	1104.34	0.30	1.12	8.08	-2.36
727	2010	658192	4345569	330.10	1033.97	1101.83	0.01	0.19	6.50	-2.71
727	2011	657884	4344398	354.06	1027.92	1100.90	0.02	0.26	6.84	-3.02
727	2012	658660	4343546	354.37	1027.17	1100.21	0.02	0.23	6.82	-3.06
727	2013	658648	4342605	305.37	1035.31	1099.46	0.02	0.14	4.61	-3.93
727	2014	658827	4341578	308.39	1034.09	1098.64	0.04	0.20	4.95	-3.65
727	2015	658388	4340324	396.81	1015.70	1097.64	0.14	0.56	7.78	-3.18
727	2016	658280	4339502	397.32	1016.18	1096.99	0.03	0.41	8.88	-2.14
727	2017	659101	4347576	431.20	1015.31	1103.42	0.03	0.42	9.20	-2.77
727	2018	659751	4345651	395.32	1020.49	1101.87	0.13	0.58	8.03	-2.88
727	2019	659755	4344469	326.58	1033.87	1100.93	0.09	0.24	6.56	-2.53
727	2020	659424	4343575	336.15	1031.31	1100.22	0.02	0.13	6.76	-2.64
727	2021	659286	4342171	293.31	1037.88	1099.10	0.01	0.15	4.83	-3.35
727	2022	659402	4341419	311.51	1034.05	1098.50	0.01	0.14	5.69	-3.01
727	2023	659595	4340942	334.76	1029.18	1098.12	0.01	0.17	6.46	-2.89
727	2024	658809	4339731	400.18	1015.24	1097.16	0.02	0.43	8.42	-2.67
727	2025	659312	4338675	351.66	1028.01	1096.31	0.01	0.11	10.83	0.99
727	2026	660355	4346394	356.74	1029.60	1102.45	0.04	0.31	7.62	-2.29

GRAVIMETRIA EN: CACERES

PAG N°: 19

DENSIDAD DE REDUCCION: 2.67

HOJA	NUM	X m.	Y m.	Z m.	G mgal.	GN mgal.	TP mgal.	T mgal.	A mgal.	A1 mgal.
727	2028	660140	4343607	340.10	1030.62	1100.23	0.02	0.25	7.05	-2.42
727	2029	660037	4342234	290.36	1039.14	1099.14	0.02	0.20	5.44	-2.65
727	2030	660481	4341322	310.08	1035.05	1098.40	0.02	0.18	6.50	-2.15
727	2031	660263	4340019	393.15	1018.25	1097.37	0.01	0.23	9.46	-1.51
727	2032	660774	4339518	382.61	1021.27	1096.96	0.01	0.13	10.41	-0.29
727	2033	660092	4338472	352.24	1028.50	1096.14	0.01	0.15	11.66	1.82
727	2034	660925	4340432	368.34	1024.28	1097.69	0.01	0.16	9.52	-0.78
727	2035	661154	4339806	381.75	1021.73	1097.18	0.01	0.13	10.45	-0.23
727	2036	661112	4338442	341.95	1032.24	1096.10	0.00	0.09	13.07	3.50
727	2037	662655	4340766	337.18	1031.40	1097.92	0.07	0.23	9.47	0.08
727	2038	662473	4339594	351.15	1029.63	1096.99	0.01	0.15	11.69	1.88
727	2039	662740	4338856	331.13	1035.31	1096.40	0.01	0.14	13.46	4.21
727	2040	662460	4337602	376.72	1026.68	1095.40	0.02	0.39	16.32	5.87
727	2061	667649	4337307	329.16	1038.16	1095.08	0.03	0.22	17.26	8.09
727	2073	670250	4337572	231.19	1057.78	1095.25	0.00	0.21	14.69	8.27
727	2101	677569	4337722	348.98	1031.89	1095.24	0.00	0.09	15.16	5.39
727	2104	678760	4337806	318.88	1038.17	1095.28	0.00	0.06	14.60	5.66
727	2107	679419	4337637	309.21	1039.90	1095.14	0.01	0.07	14.31	5.65
727	2110	680624	4339526	289.48	1044.41	1096.62	0.04	0.11	12.95	4.85
727	2111	680361	4339053	293.51	1043.77	1096.25	0.03	0.11	13.58	5.37
727	2115	681283	4339524	268.53	1048.74	1096.61	0.02	0.12	12.59	5.09
727	2116	681433	4338065	299.01	1043.07	1095.44	0.00	0.07	14.88	6.51
727	2120	682555	4342102	282.63	1042.32	1098.64	0.03	0.13	7.32	-0.57
727	2121	683002	4341580	270.76	1045.29	1098.22	0.23	0.34	8.26	0.76
727	2122	682681	4340651	246.36	1051.37	1097.48	0.00	0.11	9.36	2.48
727	2123	682347	4339616	262.84	1049.72	1096.66	0.01	0.08	12.20	4.85
727	2124	682411	4338575	294.54	1042.79	1095.83	0.03	0.13	13.28	5.05
727	2125	682098	4337878	303.60	1041.32	1095.28	0.01	0.08	14.34	5.84
727	2138	684363	4343214	245.36	1043.75	1099.49	0.01	0.25	-0.36	-7.17
727	2142	684793	4339778	271.57	1046.94	1096.74	0.02	0.12	11.33	3.74
727	1614	665358	4353916	391.17	1018.10	1108.37	0.04	0.15	-2.22	-13.16
727	2089	674150	4337878	276.35	1046.57	1095.42	0.01	0.62	13.86	6.30
728	802	714125	4342540	381.72	1020.56	1098.35	0.01	0.07	8.05	-2.65
728	803	714098	4341581	399.79	1015.29	1097.59	0.00	0.17	7.70	-3.47
728	804	714177	4340740	368.85	1020.17	1096.91	0.07	0.21	6.35	-3.94
728	805	713613	4346383	387.34	1025.59	1101.43	0.01	0.16	11.35	0.53
728	806	713398	4345593	380.69	1026.67	1100.80	0.01	0.18	11.59	0.96
728	809	713448	4342907	373.01	1022.86	1098.66	0.02	0.14	8.15	-2.28
728	810	713346	4340898	397.25	1014.77	1097.06	0.01	0.11	7.09	-4.03
728	811	713328	4340660	388.16	1016.29	1096.87	0.01	0.11	6.75	-4.11
728	815	712998	4343359	378.59	1022.59	1099.03	0.00	0.08	8.71	-1.89
728	816	713313	4342362	370.65	1022.65	1098.23	0.04	0.12	7.83	-2.54
728	817	712950	4341071	387.06	1016.97	1097.21	0.00	0.09	6.83	-4.01
728	818	712674	4340793	394.37	1015.13	1096.99	0.00	0.10	6.86	-4.18
728	820	711511	4347874	379.74	1029.26	1102.66	0.08	0.24	12.17	1.59
728	821	711202	4347999	361.54	1033.49	1102.77	0.04	0.12	12.08	1.96
728	823	711663	4345723	350.21	1033.22	1100.94	0.01	0.12	11.09	1.29
728	824	711946	4344683	378.02	1025.35	1100.11	0.01	0.08	10.27	-0.32
728	825	711727	4343749	359.64	1027.17	1099.37	0.00	0.07	8.69	-1.39
728	827	711688	4341460	392.13	1016.46	1097.54	0.01	0.13	7.16	-3.81

GRAVIMETRIA EN: CACERES

PAG Nº: 20

DENSIDAD DE REDUCCION: 2.67

HOJA	NUM	X m.	Y m.	Z m.	G mgal.	GN mgal.	TP mgal.	T mgal.	A mgal.	Al mgal.
728	829	710660	4348112	341.02	1038.52	1102.87	0.01	0.10	12.38	2.84
728	830	710845	4347262	339.58	1038.17	1102.19	0.04	0.14	12.43	2.93
728	832	710223	4345857	391.77	1024.27	1101.08	0.01	0.14	11.36	0.41
728	836	709375	4348781	327.27	1043.23	1103.43	0.01	0.12	13.46	4.31
728	837	709002	4348477	322.55	1043.88	1103.20	0.03	0.14	13.30	4.29
728	839	709742	4346555	380.53	1028.70	1101.65	0.01	0.14	12.70	2.06
728	840	709003	4345808	378.23	1027.47	1101.07	0.01	0.13	11.52	0.94
728	841	709704	4345000	363.25	1029.24	1100.41	0.06	0.11	10.57	0.40
728	842	709782	4343461	339.33	1030.70	1099.18	0.09	0.21	7.98	-1.48
728	843	709530	4342366	371.09	1021.96	1098.31	0.00	0.14	7.17	-3.20
728	847	708253	4348509	336.44	1041.26	1103.24	0.01	0.10	13.72	4.30
728	848	708481	4347894	363.64	1034.47	1102.74	0.01	0.13	13.57	3.40
728	849	708471	4347357	354.07	1036.26	1102.32	0.00	0.07	13.57	3.65
728	850	708475	4345929	372.87	1028.85	1101.18	0.01	0.10	11.56	1.12
728	851	708948	4344456	344.21	1031.68	1099.99	0.02	0.09	9.12	-0.52
728	852	708965	4343771	331.88	1032.56	1099.44	0.07	0.19	7.88	-1.37
728	853	708536	4342287	362.41	1023.24	1098.27	0.00	0.14	6.54	-3.59
728	856	707039	4350303	330.27	1045.29	1104.70	0.01	0.11	14.91	5.67
728	857	707021	4349702	307.63	1048.64	1104.22	0.18	0.32	13.87	5.33
728	858	707894	4348806	324.16	1044.31	1103.48	0.06	0.15	13.82	4.76
728	861	707460	4345213	363.13	1029.04	1100.63	0.00	0.12	10.13	-0.03
728	862	707583	4344370	350.83	1029.99	1099.95	0.01	0.10	8.97	-0.85
728	865	707459	4341532	349.10	1025.16	1097.69	0.00	0.18	6.09	-3.66
728	864	707300	4342293	348.10	1026.36	1098.30	0.01	0.19	6.46	-3.25
728	867	706772	4350488	330.62	1045.47	1104.85	0.01	0.09	15.00	5.75
728	868	706744	4349526	310.10	1047.64	1104.08	0.12	0.23	13.47	4.83
728	871	706151	4346614	354.85	1033.15	1101.77	0.01	0.09	11.20	1.26
728	873	706562	4344461	346.57	1030.75	1100.05	0.01	0.14	8.72	-0.96
728	874	706138	4343626	336.64	1031.18	1099.39	0.02	0.18	7.62	-1.78
728	880	705190	4350279	329.46	1045.20	1104.72	0.01	0.10	14.61	5.39
728	881	705559	4349644	303.34	1049.22	1104.20	0.00	0.12	13.30	4.82
728	882	705219	4348360	345.90	1037.85	1103.18	0.01	0.13	12.52	2.84
728	883	705029	4347312	343.80	1036.64	1102.35	0.01	0.13	11.67	2.05
728	884	705625	4346671	360.71	1031.86	1101.83	0.00	0.14	11.22	1.14
728	886	705288	4344201	306.66	1038.28	1099.86	0.01	0.11	7.43	-1.14
728	887	705264	4343496	310.75	1036.26	1099.30	0.07	0.17	6.95	-1.72
728	889	705234	4342380	328.27	1031.11	1098.41	0.00	0.13	6.59	-2.58
728	891	703962	4354213	360.60	1046.89	1107.88	0.05	0.19	20.23	10.16
728	895	704319	4349669	305.21	1048.84	1104.25	0.00	0.10	13.27	4.73
728	896	704645	4348548	335.58	1040.27	1103.35	0.01	0.13	12.46	3.07
728	897	704650	4347534	331.13	1039.60	1102.54	0.01	0.09	11.56	2.29
728	898	704394	4346724	335.96	1037.11	1101.90	0.00	0.11	10.81	1.41
728	899	704194	4345556	312.57	1039.76	1100.97	0.05	0.14	9.17	0.43
728	901	704788	4343847	306.30	1037.94	1099.59	0.05	0.14	7.32	-1.24
728	902	703977	4342812	343.61	1028.91	1098.78	0.00	0.09	7.42	-2.20
728	903	705080	4341905	344.59	1027.14	1098.04	0.01	0.15	6.68	-2.94
728	904	703576	4354931	370.99	1046.58	1108.46	0.01	0.10	21.58	11.19
728	905	703333	4352943	354.25	1044.22	1106.88	0.01	0.24	17.18	7.31
728	906	703298	4352719	373.12	1042.64	1106.70	0.01	0.12	19.90	9.46
728	907	703823	4351453	353.81	1043.15	1105.68	0.01	0.10	17.07	7.17

GRAVIMETRIA EN: CACERES

PAG NQ: 21

DENSIDAD DE REDUCCION: 2.67

HOJA	NUM	X m.	Y m.	Z m.	G mgal.	GN mgal.	TP mgal.	T mgal.	A mgal.	A1 mgal.
728	908	703209	4350542	342.09	1043.16	1104.97	0.01	0.09	15.15	5.57
728	909	703278	4349502	317.31	1045.58	1104.14	0.01	0.09	12.83	3.95
728	910	703952	4348397	320.64	1043.01	1103.24	0.07	0.18	12.00	3.06
728	911	703452	4347157	331.81	1038.18	1102.26	0.01	0.20	10.68	1.43
728	913	703679	4345458	294.84	1043.03	1100.90	0.00	0.11	8.49	0.25
728	914	703833	4344925	305.65	1039.88	1100.47	0.01	0.08	8.17	-0.38
728	915	703811	4343329	338.35	1030.54	1099.20	0.01	0.11	7.47	-1.99
728	916	703228	4342879	323.06	1033.31	1098.85	0.01	0.10	7.14	-1.90
728	917	704503	4341731	356.97	1024.21	1097.91	0.00	0.18	6.69	-3.27
728	918	703045	4354487	360.65	1048.67	1108.12	0.01	0.20	21.79	11.72
728	919	702177	4353748	342.20	1051.20	1107.55	0.03	0.28	20.82	11.30
728	920	702537	4352670	349.93	1047.27	1106.68	0.01	0.10	19.32	9.52
728	922	702363	4350421	310.29	1049.29	1104.89	0.01	0.12	14.25	5.58
728	923	702617	4349704	317.82	1046.00	1104.31	0.00	0.10	13.20	4.30
728	924	702680	4348328	308.30	1045.67	1103.21	0.00	0.08	11.82	3.19
728	928	702945	4344968	286.49	1043.80	1100.53	0.01	0.14	7.79	-0.21
728	929	702762	4343222	324.34	1033.38	1099.14	0.00	0.07	7.19	-1.90
728	930	702474	4342100	340.52	1029.00	1098.25	0.00	0.07	7.34	-2.20
728	931	703054	4341735	340.61	1028.50	1097.94	0.02	0.08	7.17	-2.37
728	932	701477	4354371	362.50	1047.90	1108.06	0.00	0.27	21.57	11.48
728	933	701743	4353077	341.33	1049.99	1107.02	0.00	0.12	19.79	10.24
728	934	701522	4352510	339.56	1048.84	1106.57	0.00	0.09	18.66	9.15
728	935	701895	4351673	326.50	1049.01	1105.90	0.04	0.14	16.61	7.49
728	936	701369	4350694	336.56	1044.81	1105.13	0.00	0.09	15.39	5.97
728	937	701721	4350225	324.59	1046.05	1104.74	0.01	0.08	14.32	5.23
728	938	701504	4348926	312.26	1045.93	1103.71	0.00	0.15	12.53	3.81
728	939	701420	4346986	315.12	1041.53	1102.17	0.01	0.10	10.27	1.45
728	940	701998	4346458	296.34	1044.37	1101.73	0.05	0.14	9.36	1.09
728	941	701033	4345051	295.52	1041.95	1100.63	0.01	0.09	7.82	-0.45
728	942	701038	4343608	302.57	1038.57	1099.48	0.00	0.07	7.15	-1.33
728	943	701672	4343153	317.04	1035.11	1099.10	0.00	0.06	7.30	-1.58
728	944	702002	4342552	329.30	1031.80	1098.62	0.00	0.07	7.25	-1.97
728	946	700985	4353091	349.62	1048.15	1107.05	0.00	0.16	19.82	10.06
728	947	700809	4352307	351.61	1045.29	1106.43	0.03	0.10	17.97	8.13
728	949	700624	4350738	328.79	1046.33	1105.18	0.01	0.09	15.13	5.92
728	950	700642	4349924	344.24	1041.06	1104.53	0.01	0.12	14.00	4.37
728	951	701123	4348621	379.43	1030.77	1103.48	0.03	0.39	12.94	2.41
728	953	700529	4346279	307.62	1041.58	1101.62	0.00	0.08	9.16	0.55
728	954	700377	4345451	293.69	1042.99	1100.96	0.01	0.09	8.11	-0.11
728	955	700259	4344956	294.39	1042.01	1100.57	0.01	0.09	7.67	-0.57
728	956	699354	4353361	386.46	1039.65	1107.30	0.01	0.14	19.33	8.53
728	962	699479	4346628	315.83	1040.27	1101.92	0.01	0.11	9.43	0.59
728	963	699677	4345914	299.91	1042.32	1101.35	0.00	0.08	8.44	0.04
728	964	699962	4345274	286.97	1044.00	1100.83	0.05	0.14	7.79	-0.22
728	965	699528	4345115	285.66	1043.85	1100.71	0.00	0.11	7.43	-0.56
728	971	698492	4350205	387.08	1032.21	1104.80	0.00	0.10	14.50	3.66
728	972	698491	4350205	387.08	1034.71	1104.80	0.03	0.25	17.14	6.35
728	973	698913	4348639	373.79	1031.75	1103.54	0.00	0.12	12.33	1.87
728	974	698616	4347902	368.98	1031.33	1102.96	0.00	0.10	11.39	1.06
728	975	697980	4346258	364.65	1028.28	1101.66	0.01	0.36	8.92	-1.20

GRAVIMETRIA EN: CACERES

PAG NO: 22

DENSIDAD DE REDUCCION: 2.67

HOJA	NUM	X m.	Y m.	Z m.	G mgal.	GN mgal.	TP mgal.	T mgal.	A mgal.	A1 mgal.
728	977	698817	4344642	265.34	1047.00	1100.35	0.02	0.22	6.49	-0.89
728	978	698501	4343996	260.98	1047.02	1099.84	0.10	0.33	6.15	-1.07
728	981	697119	4353997	358.65	1044.30	1107.85	0.06	0.15	17.19	7.17
728	982	697286	4353172	338.92	1047.51	1107.19	0.02	0.13	16.61	7.14
728	983	697739	4352393	359.36	1047.87	1106.56	0.00	0.12	22.18	12.12
728	984	697363	4351739	344.39	1043.82	1106.04	0.01	0.07	15.23	5.58
728	988	697623	4347038	339.54	1035.19	1102.29	0.02	0.07	9.27	-0.24
728	989	697712	4345940	368.78	1028.41	1101.41	0.00	0.15	10.01	-0.30
728	990	697928	4344484	304.83	1038.72	1100.24	0.03	0.17	7.14	-1.36
728	991	697779	4343952	295.62	1040.03	1099.82	0.03	0.14	6.77	-1.49
728	992	697902	4342718	276.40	1041.44	1098.83	0.05	0.20	4.91	-2.79
728	999	696837	4352203	329.98	1042.15	1106.42	0.00	0.08	9.96	0.72
728	1007	696870	4344317	291.64	1040.91	1100.13	0.01	0.10	6.42	-1.74
728	1004	696004	4346980	328.73	1036.80	1102.27	0.01	0.12	8.52	-0.68
728	1005	696308	4346487	303.63	1041.28	1101.87	0.01	0.15	7.78	-0.70
728	1008	697041	4343965	277.70	1043.35	1099.85	0.02	0.13	6.03	-1.72
728	1013	695193	4355726	371.08	1041.71	1109.27	0.00	0.12	15.95	5.57
728	1021	695776	4347149	320.89	1038.47	1102.41	0.01	0.09	8.25	-0.73
728	1024	695487	4345076	356.37	1027.81	1100.76	0.00	0.22	7.34	-2.60
728	1025	695501	4343560	273.57	1043.24	1099.55	0.15	0.34	5.50	-2.07
728	1026	695422	4342441	302.11	1037.83	1098.66	0.10	0.22	7.28	-1.13
728	1031	694148	4354663	345.27	1045.77	1108.44	0.00	0.09	15.00	5.33
728	1032	694113	4353591	316.27	1049.68	1107.59	0.01	0.22	13.38	4.58
728	1034	694514	4351395	358.43	1037.11	1105.82	0.04	0.22	12.05	2.05
728	1035	695034	4350938	366.91	1034.83	1105.45	0.04	0.35	12.18	1.99
728	1037	695039	4347923	340.43	1035.00	1103.04	0.00	0.09	8.54	-0.99
728	1040	694846	4345949	294.36	1041.21	1101.47	0.00	0.14	6.02	-2.20
728	1041	694985	4344939	357.22	1026.30	1100.66	0.00	0.21	6.12	-3.85
728	1042	694004	4343563	278.06	1041.85	1099.59	0.01	0.19	4.94	-2.81
728	1043	694885	4342984	254.39	1046.90	1099.11	0.07	0.46	5.42	-1.57
728	1048	693539	4354369	334.23	1047.07	1108.22	0.05	0.14	14.09	4.75
728	1051	693007	4351552	295.15	1047.40	1105.98	0.07	0.35	8.09	-0.09
728	1050	693823	4352564	302.27	1050.31	1106.77	0.06	0.30	11.76	3.36
728	1052	693764	4350277	314.18	1043.46	1104.95	0.03	0.20	9.31	0.56
728	1053	693076	4349740	326.90	1039.03	1104.53	0.01	0.20	8.15	-0.96
728	1054	693335	4348842	347.39	1033.32	1103.81	0.01	0.16	7.72	-1.98
728	1056	692978	4346515	319.03	1035.21	1101.96	0.01	0.14	5.08	-3.83
728	1058	694323	4344887	353.98	1026.75	1100.64	0.00	0.20	5.85	-4.03
728	1064	692404	4355184	332.24	1047.90	1108.89	0.01	0.12	13.79	4.50
728	1067	692675	4351738	300.39	1048.07	1106.14	0.02	0.53	9.97	1.71
728	1068	692461	4351016	290.38	1048.30	1105.56	0.10	0.22	8.20	0.12
728	1069	692722	4350121	316.56	1041.55	1104.84	0.06	0.29	8.13	-0.67
728	1070	692540	4349213	355.30	1031.60	1104.12	0.06	0.18	7.49	-2.42
728	1072	692981	4346948	336.81	1032.27	1102.31	0.01	0.15	5.80	-3.61
728	1074	692163	4345255	302.91	1036.50	1100.97	0.06	0.20	3.79	-4.65
728	1079	691935	4355418	332.66	1047.69	1109.09	0.01	0.09	13.44	4.12
728	1080	691413	4354859	309.50	1050.83	1108.65	0.00	0.11	11.83	3.18
728	1082	691452	4352270	313.07	1045.00	1106.58	0.01	0.11	8.87	0.12
728	1083	692170	4351533	300.77	1047.08	1105.98	0.01	0.16	8.84	0.45
728	1086	691914	4348936	332.04	1035.26	1103.91	0.14	0.41	6.37	-2.82

GRAVIMETRIA EN: CACERES

PAG Nº: 23

DENSIDAD DE REDUCCION: 2.67

HOJA	NUM	X m.	Y m.	Z m.	G mgal.	GN mgal.	TP mgal.	T mgal.	A mgal.	Al mgal.
728	1087	691618	4347842	302.73	1038.52	1103.05	0.06	0.21	3.70	-4.73
728	1088	691935	4346762	293.93	1039.74	1102.18	0.00	0.10	3.70	-4.52
728	1094	690565	4355054	294.58	1053.34	1108.82	0.01	0.13	10.84	2.61
728	1095	690571	4354268	287.96	1053.20	1108.20	0.01	0.48	10.19	2.26
728	1096	690927	4353810	310.65	1048.22	1107.82	0.14	0.22	10.42	1.77
728	1097	690809	4352884	330.05	1042.24	1107.09	0.01	0.08	9.39	0.15
728	1099	690121	4350771	270.73	1048.76	1105.41	0.08	0.40	4.58	-2.89
728	1101	690391	4348243	287.44	1040.19	1103.39	0.00	0.19	1.58	-6.43
728	1108	689647	4355834	290.99	1054.10	1109.46	0.01	0.09	10.11	1.97
728	1109	689096	4354100	279.70	1052.61	1108.09	0.09	0.21	7.58	-0.21
728	1110	690220	4353577	298.28	1049.87	1107.65	0.00	0.17	9.41	1.09
728	1111	689835	4352731	311.18	1044.46	1106.98	0.01	0.09	7.49	-1.22
728	1112	689515	4351749	303.16	1043.44	1106.21	0.01	0.42	5.78	-2.60
728	1113	689605	4350816	272.66	1047.70	1105.46	0.01	0.23	3.73	-3.85
728	1115	689730	4348244	287.09	1039.09	1103.40	0.01	0.26	0.46	-7.52
728	1116	689398	4347688	292.11	1037.04	1102.97	0.01	0.13	-0.16	-8.32
728	1122	687886	4355383	329.00	1043.64	1109.14	0.01	0.14	8.56	-0.63
728	1123	688479	4354346	290.31	1050.05	1108.30	0.04	0.16	7.14	-0.96
728	1124	688561	4353090	270.76	1051.06	1107.29	0.02	0.17	4.77	-2.78
728	1125	688227	4352279	267.79	1048.98	1106.65	0.05	0.18	2.68	-4.79
728	1126	688522	4351173	265.83	1047.74	1105.77	0.01	0.14	1.85	-5.57
728	1127	688988	4350635	283.47	1044.19	1105.33	0.01	0.10	2.66	-5.27
728	1128	688263	4349868	259.41	1045.45	1104.73	0.00	0.13	-0.86	-8.10
728	1129	688638	4348557	272.03	1041.19	1103.68	0.00	0.11	-1.25	-8.86
728	1130	688553	4347607	264.81	1040.68	1102.92	0.03	0.11	-2.62	-10.02
728	1136	687516	4355243	338.40	1040.65	1109.03	0.05	0.29	7.95	-1.46
728	1138	687158	4353320	326.12	1036.65	1107.51	0.00	0.16	2.58	-6.53
728	1141	687869	4350435	269.40	1043.77	1105.19	0.01	0.12	-0.76	-8.28
728	1142	688076	4348705	250.32	1044.32	1103.80	0.00	0.17	-3.07	-10.04
728	1144	687763	4347085	247.98	1042.00	1102.52	0.00	0.15	-4.65	-11.56
728	1145	687819	4346505	242.09	1043.23	1102.05	0.00	0.15	-4.27	-11.02
728	1150	686646	4355205	364.55	1033.12	1109.02	0.00	0.17	6.18	-4.00
728	1151	686784	4354467	331.97	1038.23	1108.43	0.00	0.09	4.48	-4.81
728	1152	686592	4353286	329.68	1034.37	1107.49	0.02	0.17	1.13	-8.08
728	1153	687265	4351958	274.17	1044.11	1106.42	0.01	0.12	-0.58	-8.24
728	1154	686955	4351758	282.30	1041.04	1106.26	0.09	0.23	-1.56	-9.41
728	1155	686789	4350575	286.15	1037.18	1105.32	0.34	0.44	-3.41	-11.30
728	1156	686148	4349426	318.95	1027.39	1104.42	0.02	0.11	-5.25	-14.17
728	1157	686368	4348809	306.51	1029.10	1103.92	0.01	0.16	-5.79	-14.35
728	1158	686292	4347158	290.93	1030.68	1102.60	0.01	0.08	-6.47	-14.62
728	1159	686070	4346722	286.89	1031.16	1102.26	0.00	0.08	-6.56	-14.59
728	1169	685742	4348148	313.83	1026.41	1103.40	0.00	0.05	-6.42	-15.22
728	1170	685753	4347488	310.62	1026.82	1102.88	0.00	0.13	-6.13	-14.81
728	1171	685839	4346434	293.00	1029.72	1102.03	0.05	0.10	-6.37	-14.57
728	2148	685733	4345464	258.75	1036.10	1101.26	0.17	0.32	-6.70	-13.86
728	2150	685630	4342660	242.15	1047.53	1099.03	0.00	0.12	3.04	-3.72
728	2151	685462	4341727	237.74	1051.92	1098.29	0.11	0.34	7.39	0.83
728	2152	685680	4340078	283.05	1044.17	1096.97	0.01	0.07	10.88	2.95
728	2158	687049	4345128	253.53	1039.67	1100.97	0.01	0.13	-4.20	-11.28
728	2161	686515	4342581	247.48	1046.86	1098.95	0.00	0.13	3.65	-3.26

GRAVIMETRIA EN: CACERES

PAG Nº: 24

DENSIDAD DE REDUCCION: 2.67

HOJA	NUM	X m.	Y m.	Z m.	G mgal.	GN mgal.	TP mgal.	T mgal.	A mgal.	A1 mgal.
728	2162	686360	4341532	264.97	1047.31	1098.11	0.05	0.18	8.92	1.54
728	2163	686581	4340712	286.98	1042.96	1097.46	0.01	0.07	10.06	2.02
728	2164	686517	4339746	305.65	1040.36	1096.69	0.06	0.13	12.48	3.94
728	2167	687724	4341924	285.04	1042.11	1098.40	0.01	0.09	7.85	-0.12
728	2168	687670	4341433	306.35	1039.00	1098.01	0.01	0.10	9.92	1.35
728	2169	687476	4340212	307.67	1038.95	1097.04	0.01	0.06	11.10	2.48
728	2170	687556	4339456	315.45	1037.92	1096.44	0.02	0.08	12.45	3.62
728	2171	687711	4338647	316.45	1037.60	1095.79	0.00	0.05	12.97	4.10
728	2173	688609	4341967	278.16	1043.53	1098.42	0.00	0.08	7.70	-0.08
728	2174	688513	4341497	299.84	1040.27	1098.04	0.01	0.06	9.66	1.26
728	2175	688650	4340693	321.15	1036.34	1097.40	0.00	0.07	11.17	2.18
728	2176	688994	4339493	330.28	1035.12	1096.44	0.01	0.08	12.98	3.73
728	2177	688096	4338875	313.42	1039.14	1095.96	0.00	0.04	13.65	4.86
728	2178	689748	4343761	261.51	1043.90	1099.83	0.01	0.09	2.92	-4.39
728	2180	689230	4341379	308.34	1038.63	1097.94	0.07	0.14	10.12	1.50
728	2181	689200	4340760	314.81	1037.61	1097.44	0.02	0.10	11.00	2.19
728	2182	689794	4339232	337.75	1033.44	1096.21	0.00	0.13	13.24	3.80
728	2183	689612	4338350	333.47	1034.15	1095.51	0.00	0.08	13.65	4.31
728	2184	690676	4343290	241.73	1048.61	1099.43	0.00	0.21	3.70	-3.02
728	2186	690460	4341434	311.68	1038.06	1097.96	0.01	0.12	10.26	1.54
728	2187	690543	4340129	326.13	1034.90	1096.91	0.01	0.15	11.41	2.30
728	2188	690564	4339341	333.51	1034.15	1096.29	0.00	0.11	12.92	3.59
728	2190	691593	4343556	252.40	1046.41	1099.63	0.01	0.15	3.65	-3.39
728	2193	691448	4340583	320.32	1036.15	1097.26	0.02	0.10	10.96	2.00
728	2194	691109	4339869	320.62	1036.04	1096.70	0.01	0.08	11.46	2.49
728	2196	692501	4343518	257.54	1045.58	1099.58	0.02	0.21	4.08	-3.09
728	2197	692640	4342909	261.27	1045.04	1099.09	0.01	0.15	4.81	-2.48
728	2198	692410	4341661	281.90	1042.37	1098.10	0.01	0.13	7.74	-0.13
728	2199	692438	4340657	323.02	1035.64	1097.30	0.01	0.09	11.01	1.97
728	2200	692465	4339541	339.24	1031.90	1096.41	0.00	0.13	11.85	2.36
728	2201	691905	4338661	333.72	1033.67	1095.72	0.01	0.09	13.03	3.68
728	959	699382	4350534	356.13	1040.20	1105.04	0.00	0.09	15.27	5.30
728	5010	696512	4348675	467.08	1010.84	1103.61	0.09	1.56	13.74	1.15
728	5011	695911	4349006	422.76	1021.23	1103.89	0.09	0.54	12.87	1.18
728	5012	696749	4349345	370.53	1032.53	1104.14	0.01	0.27	11.92	1.60
728	5013	696079	4349729	362.64	1034.52	1104.46	0.07	0.20	11.74	1.62
728	5014	697464	4349807	372.59	1033.38	1104.50	0.05	0.12	12.73	2.30
728	5015	696529	4350140	371.02	1033.86	1104.78	0.01	0.10	12.54	2.16
728	5016	696451	4351138	314.89	1047.72	1105.58	0.02	0.17	13.07	4.28
728	5054	713801	4352122	395.57	1024.01	1106.00	0.01	0.21	7.10	-3.92
728	5055	713847	4351602	392.64	1024.43	1105.59	0.02	0.23	7.30	-3.64
728	5056	713911	4351111	395.63	1023.86	1105.19	0.04	0.21	7.77	-3.27
728	5059	713638	4349833	369.89	1028.72	1104.18	0.03	0.19	7.85	-2.48
728	5060	713246	4349550	368.58	1029.35	1103.96	0.02	0.11	8.32	-2.00
728	819	712236	4349134	366.02	1030.74	1103.65	0.02	0.18	9.51	-0.71
728	5061	712767	4349371	355.53	1031.99	1103.83	0.02	0.20	8.24	-1.67
729	287	738224	4356969	452.29	983.42	1109.30	0.04	0.11	-24.14	-36.81
729	316	737305	4341692	421.37	985.26	1097.14	0.03	0.12	-17.08	-28.87
729	317	738227	4340966	435.11	980.65	1096.54	0.02	0.15	-17.97	-30.14
729	342	735798	4344517	402.38	990.25	1099.43	0.03	0.10	-18.66	-29.92

GRAVIMETRIA EN: CACERES

PAG Nº: 25

DENSIDAD DE REDUCCION: 2.67

HOJA	NUM	X m.	Y m.	Z m.	G mgal.	GN mgal.	TP mgal.	T mgal.	A mgal.	A1 mgal.
729	343	736060	4343298	407.81	990.29	1098.45	0.00	0.07	-16.45	-27.88
729	344	736114	4342225	416.12	988.67	1097.60	0.00	0.08	-15.34	-27.00
729	345	736666	4340209	437.97	982.86	1095.97	0.05	0.22	-14.48	-26.71
729	346	736264	4340396	444.31	981.95	1096.13	0.05	0.20	-14.15	-26.56
729	363	735349	4345702	402.53	989.39	1100.39	0.08	0.16	-20.39	-31.64
729	364	735802	4344100	412.36	988.94	1099.10	0.01	0.09	-17.41	-28.97
729	365	734273	4344525	395.08	994.44	1099.47	0.07	0.14	-16.12	-27.16
729	366	735301	4342636	411.38	990.78	1097.94	0.01	0.09	-14.63	-26.15
729	367	735649	4341588	430.27	986.45	1097.10	0.01	0.13	-13.84	-25.88
729	368	735803	4341636	426.96	986.82	1097.13	0.04	0.15	-14.23	-26.17
729	379	734449	4355321	442.34	987.14	1108.08	0.02	0.05	-21.49	-33.90
729	380	734695	4354274	435.26	987.01	1107.24	0.01	0.04	-22.39	-34.60
729	388	734759	4346223	399.63	990.69	1100.82	0.13	0.20	-20.13	-31.28
729	389	734661	4345467	403.38	991.47	1100.22	0.05	0.11	-17.99	-29.28
729	390	734881	4344863	406.84	990.96	1099.73	0.00	0.07	-17.28	-28.69
729	392	734454	4342705	418.01	990.37	1098.02	0.00	0.09	-13.63	-25.34
729	393	734777	4341515	438.28	985.61	1097.06	0.01	0.19	-12.78	-25.02
729	408	733748	4356096	423.60	992.24	1108.72	0.01	0.03	-21.26	-33.15
729	417	732901	4348197	394.40	994.60	1102.43	0.01	0.06	-19.15	-30.21
729	421	733453	4343715	417.53	991.84	1098.85	0.00	0.10	-13.09	-24.78
729	422	733513	4342732	429.70	988.92	1098.06	0.01	0.12	-12.47	-24.50
729	423	733742	4341483	451.88	983.67	1097.06	0.07	0.26	-11.59	-24.20
729	434	732706	4354660	447.74	987.79	1107.59	0.03	0.07	-19.13	-31.68
729	435	732909	4354295	446.71	987.40	1107.30	0.05	0.09	-19.43	-31.94
729	438	732030	4351129	404.28	995.31	1104.79	0.10	0.14	-18.50	-29.81
729	441	732453	4348430	382.95	998.71	1102.63	0.02	0.10	-17.77	-28.49
729	442	733129	4346567	380.94	997.22	1101.13	0.05	0.16	-18.15	-28.80
729	443	733160	4346005	386.68	997.21	1100.68	0.01	0.09	-16.49	-27.33
729	444	731147	4344743	408.34	997.15	1099.72	0.01	0.07	-10.75	-22.19
729	445	733167	4343615	409.34	993.91	1098.77	0.06	0.17	-12.72	-24.16
729	446	732481	4342871	429.12	990.49	1098.20	0.00	0.12	-11.17	-23.18
729	447	732667	4341596	475.41	979.84	1097.18	0.08	0.46	-10.05	-23.25
729	457	731415	4355437	438.74	991.21	1108.25	0.00	0.07	-18.38	-30.68
729	458	731556	4354653	443.55	989.43	1107.62	0.28	0.35	-18.17	-30.51
729	463	731867	4349727	375.51	1001.95	1103.68	0.06	0.16	-17.19	-27.68
729	465	731727	4347763	375.64	1001.85	1102.12	0.00	0.11	-15.75	-26.26
729	466	732417	4346567	380.44	999.35	1101.15	0.00	0.10	-16.21	-26.86
729	467	731843	4345263	389.33	999.73	1100.12	0.07	0.17	-12.74	-23.61
729	469	731635	4343214	422.76	992.79	1098.49	0.04	0.15	-10.56	-22.39
729	470	731949	4343092	417.94	993.50	1098.39	0.11	0.23	-10.75	-22.41
729	480	731696	4356184	444.62	990.28	1108.84	0.01	0.05	-18.60	-31.07
729	482	730741	4353390	406.84	999.26	1106.63	0.00	0.05	-15.90	-27.31
729	484	730978	4351769	390.37	1001.71	1105.33	0.00	0.04	-15.86	-26.81
729	486	730631	4349390	371.43	1005.83	1103.44	0.00	0.08	-14.07	-24.48
729	487	730577	4349014	373.68	1005.25	1103.14	0.00	0.06	-13.86	-24.34
729	488	729926	4348005	391.94	1002.36	1102.35	0.00	0.03	-11.89	-22.89
729	489	730793	4346385	399.09	999.36	1101.04	0.00	0.04	-11.96	-23.16
729	490	730894	4345620	405.61	998.14	1100.43	0.00	0.05	-11.10	-22.48
729	491	731011	4345089	409.25	997.33	1100.00	0.00	0.05	-10.66	-22.13
729	492	730687	4343720	425.63	993.88	1098.92	0.01	0.10	-9.30	-21.22

GRAVIMETRIA EN: CACERES

PAG Nº: 26

DENSIDAD DE REDUCCION: 2.67

HOJA	NUM	X m.	Y m.	Z m.	G mgal.	GN mgal.	TP mgal.	T mgal.	A mgal.	A1 mgal.
729	503	729747	4354575	409.55	1001.39	1107.60	0.00	0.07	-14.11	-25.59
729	508	729427	4350043	385.22	1005.51	1103.99	0.00	0.03	-11.89	-22.70
729	510	729212	4347246	390.16	1003.29	1101.76	0.01	0.07	-10.74	-21.67
729	511	729929	4346314	402.80	999.72	1101.00	0.00	0.05	-10.73	-22.02
729	512	729441	4345329	411.88	998.40	1100.23	0.00	0.06	-9.22	-20.76
729	513	729853	4344741	417.33	996.68	1099.75	0.03	0.08	-9.21	-20.91
729	514	729687	4343589	443.35	991.27	1098.84	0.01	0.12	-7.83	-20.24
729	524	728165	4356304	405.02	1006.04	1109.01	0.00	0.03	-11.93	-23.30
729	531	728606	4349494	384.92	1006.32	1103.57	0.00	0.03	-10.72	-21.52
729	532	729014	4348374	385.64	1006.00	1102.67	0.00	0.04	-9.98	-20.79
729	533	728552	4347794	381.14	1006.36	1102.22	0.00	0.05	-10.16	-20.85
729	534	729195	4346713	398.14	1001.69	1101.34	0.00	0.04	-10.14	-21.31
729	535	729101	4345708	409.41	999.44	1100.54	0.01	0.07	-9.03	-20.51
729	536	729010	4344543	419.64	997.35	1099.61	0.01	0.07	-7.90	-19.66
729	547	727628	4356553	402.08	1007.53	1109.23	0.00	0.04	-11.31	-22.58
729	548	727503	4355610	389.24	1009.81	1108.48	0.00	0.03	-11.18	-22.10
729	553	728026	4349930	373.81	1009.33	1103.93	0.00	0.04	-10.57	-21.05
729	554	727959	4349516	373.79	1009.28	1103.60	0.00	0.04	-10.29	-20.78
729	555	727883	4348706	369.34	1009.89	1102.96	0.04	0.11	-9.97	-20.30
729	556	727234	4348014	375.95	1009.32	1102.42	0.00	0.07	-8.55	-19.09
729	557	728156	4346948	384.68	1005.89	1101.55	0.00	0.07	-9.15	-19.93
729	558	727856	4346113	389.89	1005.01	1100.89	0.00	0.09	-8.18	-19.10
729	559	728036	4344827	395.90	1003.49	1099.86	0.04	0.14	-7.27	-18.34
729	560	727751	4344042	416.31	999.35	1099.24	0.01	0.26	-6.09	-17.70
729	561	727687	4342934	474.17	986.36	1098.36	0.10	0.36	-5.10	-18.30
729	562	727805	4341936	437.25	993.11	1097.56	0.03	0.19	-6.01	-18.23
729	574	726034	4356730	392.72	1011.80	1109.40	0.03	0.07	-9.29	-20.30
729	575	726765	4355081	371.95	1014.04	1108.07	0.00	0.04	-10.42	-20.85
729	583	726758	4347707	386.09	1007.68	1102.19	0.01	0.07	-7.68	-18.50
729	584	726523	4346792	401.06	1004.68	1101.46	0.00	0.12	-6.55	-17.77
729	585	726876	4345769	397.03	1004.80	1100.64	0.00	0.05	-6.58	-17.71
729	586	726922	4344777	428.78	998.05	1099.85	0.04	0.37	-5.08	-16.99
729	587	726486	4343043	452.42	992.96	1098.47	0.06	0.29	-3.57	-16.18
729	588	726484	4342020	412.50	1001.33	1097.66	0.01	0.15	-3.49	-15.03
729	589	726147	4341544	391.79	1008.12	1097.29	0.05	0.22	-0.91	-11.84
729	590	726140	4341041	391.41	1008.85	1096.89	0.00	0.17	0.08	-10.86
729	601	725071	4356237	368.24	1017.72	1109.03	0.00	0.04	-8.53	-18.86
729	602	725447	4355933	371.48	1016.56	1108.78	0.00	0.04	-8.71	-19.13
729	603	725749	4354913	362.67	1017.27	1107.96	0.00	0.05	-9.15	-19.32
729	605	725564	4352658	355.23	1018.00	1106.17	0.00	0.05	-8.29	-18.25
729	606	725585	4351318	368.31	1014.62	1105.10	0.03	0.08	-7.64	-17.96
729	607	725682	4350617	369.71	1013.90	1104.53	0.00	0.06	-7.50	-17.87
729	608	725899	4349800	376.00	1011.84	1103.88	0.00	0.07	-7.48	-18.02
729	610	725862	4347154	403.26	1005.23	1101.77	0.01	0.17	-5.76	-17.03
729	611	725188	4342096	393.80	1010.61	1097.75	0.00	0.17	1.52	-9.49
729	612	725541	4341914	390.72	1010.25	1097.60	0.01	0.27	0.72	-10.17
729	614	725112	4339147	349.35	1015.63	1095.40	0.00	0.09	-1.18	-10.96
729	625	724731	4356769	383.03	1015.30	1109.47	0.00	0.07	-8.03	-18.76
729	626	724920	4355062	357.76	1019.43	1108.10	0.01	0.04	-8.24	-18.28
729	627	725179	4354010	355.74	1018.83	1107.25	0.01	0.05	-8.44	-18.47

GRAVIMETRIA EN: CACERES

PAG N°: 27

DENSIDAD DE REDUCCION: 2.67

HOJA	NUM	X m.	Y m.	Z m.	G mgal.	GN mgal.	TP mgal.	T mgal.	A mgal.	A1 mgal.
729	628	724702	4352866	370.53	1016.19	1106.35	0.00	0.04	-6.86	-17.25
729	629	724145	4352861	380.93	1014.97	1106.36	0.01	0.04	-5.75	-16.44
729	630	724406	4351665	381.38	1013.80	1105.40	0.03	0.07	-5.83	-16.52
729	631	724628	4350160	391.06	1010.91	1104.19	0.00	0.07	-5.34	-16.30
729	632	725022	4349278	379.38	1012.12	1103.48	0.02	0.10	-6.01	-16.64
729	634	724850	4342562	406.15	1008.18	1098.13	0.01	0.22	1.53	-9.81
729	635	724723	4342032	383.21	1014.33	1097.71	0.01	0.17	2.90	-7.81
729	636	724617	4340643	392.71	1013.60	1096.60	0.00	0.41	5.65	-5.24
729	637	724749	4339676	359.39	1015.92	1095.83	0.00	0.13	0.97	-9.08
729	646	723002	4356538	372.24	1020.92	1109.32	0.01	0.04	-4.72	-15.16
729	648	723580	4356934	354.47	1022.65	1109.62	0.01	0.05	-7.28	-17.22
729	650	723470	4354832	366.13	1019.63	1107.95	0.00	0.05	-6.00	-16.27
729	651	723811	4354117	366.30	1018.71	1107.37	0.00	0.04	-6.31	-16.59
729	652	722925	4352969	372.91	1018.25	1106.47	0.00	0.06	-4.37	-14.82
729	653	723770	4352172	370.18	1017.13	1105.82	0.01	0.08	-5.43	-15.79
729	654	723549	4351078	385.42	1013.81	1104.95	0.01	0.09	-4.45	-15.25
729	655	723717	4349518	402.35	1009.28	1103.70	0.01	0.10	-3.91	-15.18
729	656	724150	4348700	396.43	1009.55	1103.04	0.01	0.12	-4.30	-15.39
729	657	723618	4342467	372.09	1019.23	1098.08	0.00	0.16	4.91	-5.48
729	658	723436	4341387	366.32	1020.04	1097.22	0.05	0.25	5.38	-4.82
729	659	723846	4340601	376.44	1015.27	1096.59	0.01	0.29	3.56	-6.92
729	660	723758	4339900	352.85	1018.83	1096.03	0.02	0.14	2.22	-7.65
729	671	722147	4356605	357.30	1024.41	1109.39	0.00	0.05	-4.65	-14.66
729	672	722700	4355361	353.54	1023.94	1108.39	0.00	0.05	-4.96	-14.87
729	673	723312	4354930	361.68	1020.80	1108.03	0.00	0.04	-5.92	-16.07
729	674	724005	4353594	369.65	1017.60	1106.95	0.00	0.03	-6.25	-16.62
729	675	722211	4353062	366.88	1020.34	1106.56	0.00	0.09	-3.70	-13.97
729	676	722675	4351801	376.12	1017.26	1105.55	0.00	0.10	-3.68	-14.21
729	677	722755	4350399	404.29	1010.53	1104.43	0.01	0.14	-2.91	-14.22
729	678	723327	4342530	376.73	1018.97	1098.14	0.00	0.19	5.67	-4.85
729	680	723086	4341162	362.35	1020.15	1097.05	0.01	0.18	4.70	-5.42
729	681	722779	4340219	335.81	1023.60	1096.31	0.00	0.09	2.84	-6.56
729	692	721051	4356760	354.81	1026.21	1109.54	0.01	0.08	-3.53	-13.46
729	693	721525	4353617	375.12	1019.91	1107.02	0.03	0.10	-2.73	-13.23
729	694	721354	4353714	374.03	1020.40	1107.10	0.00	0.07	-2.59	-13.07
729	696	721462	4353054	387.68	1017.00	1106.58	0.01	0.09	-2.37	-13.23
729	697	721399	4351293	396.46	1014.02	1105.17	0.00	0.19	-1.88	-12.95
729	698	721825	4350759	399.30	1012.76	1104.74	0.00	0.24	-2.01	-13.14
729	699	722156	4342349	388.75	1016.80	1098.02	0.00	0.35	6.49	-4.31
729	700	721667	4341642	352.93	1023.52	1097.47	0.01	0.12	5.47	-4.40
729	701	722195	4341137	334.70	1026.19	1097.05	0.01	0.13	4.47	-4.85
729	702	722227	4340424	324.51	1026.55	1096.48	0.01	0.14	3.12	-5.94
729	714	721747	4355743	344.50	1027.09	1108.71	0.00	0.06	-4.15	-13.85
729	715	721099	4354508	364.95	1023.14	1107.74	0.01	0.06	-2.53	-12.76
729	716	720111	4353587	370.97	1021.78	1107.03	0.00	0.10	-1.79	-12.18
729	717	720681	4352463	380.19	1018.72	1106.12	0.00	0.14	-1.83	-12.46
729	718	720675	4342187	360.54	1022.97	1097.92	0.02	0.17	6.22	-3.85
729	719	720573	4341598	387.38	1017.18	1097.46	0.06	0.28	7.05	-3.73
729	720	721036	4340937	342.40	1024.70	1096.92	0.01	0.14	4.86	-4.73
729	721	721687	4340418	324.85	1026.75	1096.49	0.00	0.13	3.38	-5.70

GRAVIMETRIA EN: CACERES

PAG Nº: 28

DENSIDAD DE REDUCCION: 2.67

HOJA	NUM	X m.	Y m.	Z m.	G mgal.	GN mgal.	TP mgal.	T mgal.	A mgal.	A1 mgal.
729	731	719844	4356812	351.43	1027.91	1109.61	0.01	0.08	-2.65	-12.50
729	732	720152	4355937	340.64	1029.39	1108.91	0.00	0.07	-2.91	-12.45
729	733	720263	4354219	363.21	1024.05	1107.53	0.00	0.10	-1.77	-11.94
729	734	719933	4353472	363.25	1023.52	1106.94	0.08	0.21	-1.59	-11.72
729	735	719712	4352888	373.48	1021.06	1106.48	0.00	0.17	-1.33	-11.76
729	736	720459	4342450	377.57	1019.55	1098.14	0.03	0.17	6.42	-4.12
729	737	720268	4341460	365.81	1022.01	1097.35	0.01	0.11	6.96	-3.28
729	738	720304	4341046	363.44	1021.87	1097.02	0.01	0.13	6.65	-3.52
729	739	720267	4340521	334.87	1026.50	1096.61	0.03	0.22	5.36	-3.97
729	747	718084	4356461	338.97	1032.05	1109.37	0.01	0.08	-1.08	-10.57
729	748	719372	4355334	349.31	1028.21	1108.44	0.01	0.10	-1.64	-11.42
729	749	719116	4354197	356.99	1026.10	1107.54	0.01	0.12	-1.10	-11.09
729	750	719218	4353133	367.76	1022.92	1106.69	0.05	0.22	-0.92	-11.17
729	752	718523	4343797	437.92	1009.39	1099.26	0.19	0.86	9.39	-2.62
729	760	716975	4356976	338.26	1032.60	1109.81	0.00	0.07	-1.13	-10.61
729	761	718135	4356278	337.71	1032.26	1109.22	0.04	0.11	-0.97	-10.42
729	762	717829	4355158	355.02	1028.62	1108.34	0.01	0.13	0.19	-9.74
729	763	717728	4354305	356.48	1027.62	1107.66	0.01	0.15	0.22	-9.74
729	764	717579	4353630	366.68	1024.94	1107.12	0.00	0.21	0.42	-9.81
729	765	717980	4344067	443.07	1008.91	1099.48	0.01	0.30	9.28	-3.07
729	768	717633	4341800	409.64	1013.21	1097.68	0.02	0.36	7.94	-3.45
729	769	717277	4341078	373.81	1019.43	1097.12	0.00	0.11	6.42	-4.04
729	770	717792	4340166	369.08	1018.47	1096.38	0.00	0.13	5.15	-5.17
729	775	716884	4356540	342.44	1032.88	1109.46	0.00	0.06	0.43	-9.17
729	776	716546	4355507	344.89	1032.07	1108.64	0.00	0.10	1.03	-8.62
729	777	716539	4354542	361.86	1028.01	1107.87	0.00	0.14	1.59	-8.52
729	779	715495	4343151	394.60	1018.75	1098.81	0.01	0.22	8.82	-2.19
729	780	716282	4342313	386.38	1018.69	1098.12	0.06	0.28	7.67	-3.09
729	781	716471	4341968	399.76	1015.40	1097.84	0.01	0.24	7.63	-3.52
729	784	715767	4356396	350.54	1032.19	1109.37	0.01	0.09	1.67	-8.14
729	785	715544	4355482	357.95	1030.70	1108.65	0.00	0.09	2.58	-7.45
729	786	715610	4354392	356.58	1029.98	1107.77	0.00	0.15	2.48	-7.48
729	787	715228	4346153	448.78	1011.50	1101.21	0.04	0.24	11.37	-1.15
729	788	715448	4345244	388.21	1022.25	1100.48	0.06	0.55	9.55	-1.17
729	789	714759	4344347	477.99	1004.21	1099.78	0.13	0.87	12.70	-0.43
729	790	715180	4342989	396.88	1018.23	1098.69	0.00	0.36	9.09	-1.94
729	791	715614	4341816	381.68	1019.37	1097.74	0.00	0.22	7.62	-3.03
729	796	714525	4355702	361.59	1030.65	1108.84	0.00	0.07	3.12	-7.01
729	798	714963	4346199	445.03	1012.78	1101.25	0.07	0.34	11.87	-0.51
729	799	714655	4345529	379.81	1025.42	1100.72	0.04	0.26	10.30	-0.28
729	198	742300	4357614	443.29	986.87	1109.72	0.03	0.05	-23.19	-35.62
729	199	742393	4356863	465.69	981.64	1109.12	0.07	0.17	-22.67	-35.69
729	201	742529	4354372	467.09	978.59	1107.13	0.01	0.05	-23.53	-36.63
729	220	742060	4357721	442.43	987.06	1109.81	0.02	0.04	-23.29	-35.71
729	221	741327	4356556	447.90	984.63	1108.90	0.01	0.04	-23.58	-36.15
729	222	741554	4355168	476.59	977.28	1107.79	0.04	0.13	-23.29	-36.61
729	223	741982	4354989	465.00	979.42	1107.63	0.03	0.06	-23.67	-36.71
729	226	741732	4350916	489.83	969.96	1104.39	0.01	0.06	-24.30	-38.04
729	245	740364	4354070	488.18	972.73	1106.94	0.02	0.09	-24.43	-38.11
729	246	740870	4353147	479.33	973.64	1106.19	0.01	0.04	-24.80	-38.21

GRAVIMETRIA EN: CACERES

PAG N°: 29

DENSIDAD DE REDUCCION: 2.67

HOJA	NUM	X m.	Y m.	Z m.	G mgal.	GN mgal.	TP mgal.	T mgal.	A mgal.	A1 mgal.
729	247	740655	4351291	492.68	969.42	1104.71	0.03	0.11	-24.48	-38.28
729	248	741563	4350339	499.21	966.87	1103.93	0.04	0.08	-24.81	-38.80
729	249	740234	4349436	511.66	962.88	1103.25	0.04	0.14	-25.26	-39.58
729	271	739809	4349534	500.83	965.66	1103.33	0.01	0.07	-25.07	-39.11
729	433	732050	4355275	457.02	987.01	1108.10	0.00	0.09	-18.31	-31.11
729	439	732290	4349205	381.25	999.73	1103.25	0.01	0.09	-17.77	-28.45
729	460	731132	4352813	392.36	1000.12	1106.16	0.01	0.09	-17.79	-28.78
729	483	730679	4352891	384.85	1003.06	1106.23	0.00	0.07	-16.62	-27.41
729	485	730050	4350771	368.77	1008.11	1104.56	0.00	0.06	-13.52	-23.86
729	505	729396	4352360	377.38	1008.01	1105.84	0.00	0.04	-12.99	-23.57
729	506	730333	4351928	381.06	1005.06	1105.47	0.00	0.04	-14.75	-25.44
729	507	730556	4351346	372.74	1006.03	1105.00	0.00	0.06	-15.15	-25.60
729	527	728380	4352839	385.68	1008.20	1106.24	0.00	0.04	-11.34	-22.16
729	529	729439	4351519	366.36	1009.02	1105.17	0.00	0.05	-13.77	-24.04
729	530	728378	4350811	368.85	1010.52	1104.63	0.00	0.06	-11.17	-21.51
729	580	726775	4350030	370.82	1012.04	1104.04	0.00	0.04	-8.63	-19.03
729	756	719119	4340102	370.43	1018.18	1096.30	0.01	0.12	5.24	-5.13
729	778	716339	4344981	409.22	1017.60	1100.25	0.06	0.48	9.78	-1.56
729	801	714255	4343178	379.27	1022.53	1098.86	0.00	0.10	9.00	-1.62
729	459	731462	4353581	423.82	992.95	1106.76	0.09	0.14	-18.44	-30.30
729	479	730545	4356510	425.52	997.74	1109.12	0.00	0.05	-15.72	-27.66
729	5017	732362	4351961	403.29	994.91	1105.45	0.04	0.13	-19.79	-31.08
729	5018	732933	4352275	417.49	991.80	1105.69	0.06	0.16	-19.91	-31.58
729	5019	733137	4352544	424.08	990.37	1105.90	0.05	0.11	-20.12	-32.00
729	5020	733564	4352754	439.71	986.84	1106.05	0.04	0.07	-20.34	-32.67
729	5021	734059	4352744	438.19	986.44	1106.03	0.02	0.05	-21.09	-33.38
729	5022	734754	4353117	441.42	984.90	1106.31	0.01	0.04	-22.19	-34.58
729	359	735097	4353246	438.57	984.90	1106.41	0.03	0.07	-22.89	-35.19
729	5023	732674	4351652	415.35	992.08	1105.20	0.01	0.06	-19.72	-31.37
729	5024	733384	4351257	425.53	988.84	1104.86	0.03	0.08	-20.33	-32.26
729	5025	733686	4350913	412.48	990.80	1104.58	0.06	0.13	-20.97	-32.52
729	5026	733803	4350637	403.93	992.04	1104.36	0.02	0.09	-21.47	-32.78
729	5027	734225	4351110	390.63	994.09	1104.73	0.02	0.27	-22.59	-33.47
729	5028	734766	4351190	402.33	991.08	1104.78	0.02	0.14	-23.15	-34.40
729	5029	734952	4350553	393.58	992.21	1104.26	0.01	0.17	-23.45	-34.44
729	5030	734844	4349982	396.45	991.54	1103.81	0.01	0.20	-22.99	-34.06
729	437	731654	4351808	391.56	999.01	1105.34	0.01	0.07	-18.28	-29.26
729	385	734733	4349445	407.20	989.24	1103.39	0.01	0.13	-22.51	-33.91
729	5031	734484	4348970	406.66	989.68	1103.01	0.02	0.09	-21.86	-33.26
729	386	734274	4348478	404.61	990.34	1102.63	0.01	0.09	-21.28	-32.61
729	5032	734087	4348085	412.01	989.13	1102.32	0.01	0.08	-20.53	-32.07
729	5033	733973	4347509	418.98	987.89	1101.86	0.03	0.09	-19.74	-31.48
729	5034	734354	4347528	444.71	982.08	1101.87	0.03	0.17	-19.69	-32.12
729	5035	733828	4346783	400.34	992.04	1101.28	0.02	0.08	-19.21	-30.43
729	418	733740	4346568	389.57	994.81	1101.12	0.05	0.14	-18.63	-29.52
729	5036	734226	4346676	405.29	990.50	1101.19	0.06	0.12	-19.50	-30.84
729	5037	734930	4346769	410.83	987.91	1101.25	0.10	0.17	-20.85	-32.34
729	5038	735299	4346826	422.98	984.91	1101.28	0.04	0.10	-21.23	-33.07
729	5039	735916	4347502	435.34	981.35	1101.81	0.08	0.13	-22.50	-34.69
729	5041	736357	4347854	450.35	977.86	1102.08	0.04	0.09	-22.93	-35.55

GRAVIMETRIA EN: CACERES

PAG Nº: 30

DENSIDAD DE REDUCCION: 2.67

HOJA	NUM	X m.	Y m.	Z m.	G mgal.	GN mgal.	TP mgal.	T mgal.	A mgal.	A1 mgal.
729	5042	736792	4347965	449.91	977.22	1102.16	0.02	0.08	-23.76	-36.37
729	5043	737327	4348093	458.85	974.69	1102.25	0.02	0.08	-24.37	-37.23
729	5044	737727	4348195	459.81	973.95	1102.32	0.04	0.10	-24.95	-37.83
729	5045	738190	4348312	467.12	971.97	1102.40	0.02	0.08	-25.39	-38.48
729	5046	738660	4348311	469.69	971.06	1102.39	0.05	0.13	-25.66	-38.81
729	5047	739405	4348324	473.52	969.85	1102.38	0.01	0.10	-26.03	-39.29
729	5048	739478	4349113	532.83	958.16	1103.01	0.10	0.52	-24.60	-39.39
729	797	714910	4354707	361.03	1030.39	1108.04	0.02	0.15	3.62	-6.47
729	5049	714551	4354282	368.45	1028.87	1107.71	0.03	0.22	4.17	-6.11
729	5050	714288	4353882	389.33	1024.32	1107.40	0.14	0.28	4.69	-6.15
729	5051	714343	4353435	407.02	1020.90	1107.04	0.02	0.16	5.48	-5.90
729	5052	714172	4353068	394.03	1023.34	1106.75	0.04	0.21	5.34	-5.66
729	5053	713983	4352606	394.88	1023.48	1106.38	0.03	0.22	6.04	-4.97
729	5057	714038	4350634	383.76	1026.42	1104.81	0.05	0.36	8.20	-2.45
729	5058	714033	4350205	377.68	1027.71	1104.47	0.07	0.33	8.44	-2.05
729	5062	714564	4350035	379.39	1026.57	1104.32	0.01	0.27	7.77	-2.80
729	5063	715161	4349949	394.85	1021.92	1104.24	0.01	0.19	6.60	-4.43
729	5064	715613	4349528	399.94	1019.68	1103.89	0.01	0.24	5.89	-5.26
729	5065	716158	4349073	414.91	1015.38	1103.52	0.06	0.40	5.50	-6.02
729	5066	716543	4348584	414.95	1014.89	1103.12	0.01	0.36	5.37	-6.16
729	5067	716812	4348200	416.24	1014.19	1102.81	0.02	0.44	5.35	-6.19
729	5068	717069	4347816	424.57	1012.32	1102.49	0.06	0.62	5.85	-5.87
729	5069	717463	4347340	439.87	1008.62	1102.11	0.08	0.65	6.01	-6.13
729	5070	717738	4346806	451.30	1006.89	1101.67	0.03	0.52	7.15	-5.35
729	5071	717869	4346287	466.13	1004.07	1101.26	0.06	0.30	7.85	-5.14
729	5072	718137	4345830	439.53	1009.87	1100.89	0.02	0.45	8.20	-4.00
729	5074	719221	4345235	410.09	1015.27	1100.39	0.08	1.08	8.11	-3.05
729	5075	719672	4345024	400.13	1016.72	1100.21	0.04	0.94	7.36	-3.56
729	5077	720417	4344252	376.34	1021.53	1099.58	0.03	1.45	7.96	-2.12
729	5078	720926	4343868	374.63	1021.48	1099.26	0.02	0.50	6.90	-3.46
729	5079	721347	4344196	397.08	1016.22	1099.51	0.02	0.28	6.21	-4.85
729	5082	715428	4350486	401.61	1019.24	1104.66	0.02	0.41	5.23	-5.91
729	5083	715643	4350792	405.10	1018.69	1104.90	0.14	0.71	5.53	-5.61
729	5084	716209	4350853	411.45	1015.54	1104.94	0.01	0.51	3.57	-7.82
729	5085	716722	4350690	419.19	1012.79	1104.80	0.01	0.60	2.79	-8.78
729	5086	717103	4350506	425.91	1010.58	1104.64	0.03	0.75	2.40	-9.31
729	5087	717568	4350126	441.00	1006.78	1104.33	0.02	0.74	2.28	-9.85
729	5088	717998	4349806	449.15	1004.16	1104.06	0.05	0.90	1.92	-10.39
729	5089	718498	4349461	464.54	1000.41	1103.78	0.03	0.95	1.97	-10.76
729	5090	719116	4348999	500.98	993.13	1103.39	0.02	0.50	2.80	-11.10
730	14	752581	4357577	411.64	1006.21	1109.43	0.01	0.09	-10.63	-22.16
730	15	752312	4356688	402.97	1006.92	1108.73	0.01	0.18	-11.08	-22.34
730	29	751583	4357761	401.03	1009.02	1109.60	0.01	0.15	-10.32	-21.53
730	30	751294	4356567	428.26	1001.74	1108.66	0.00	0.05	-10.64	-22.65
730	44	750461	4357610	419.42	1004.63	1109.51	0.01	0.07	-10.57	-22.32
730	45	750633	4356516	413.26	1004.13	1108.63	0.01	0.09	-11.55	-23.13
730	59	749735	4357373	443.20	999.03	1109.34	0.01	0.06	-10.66	-23.09
730	60	749347	4356757	444.44	997.35	1108.86	0.01	0.07	-11.58	-24.04
730	74	748278	4357517	447.16	996.83	1109.49	0.01	0.06	-12.13	-24.66
730	75	748153	4356625	461.68	992.29	1108.78	0.00	0.04	-12.72	-25.67

GRAVIMETRIA EN: CACERES

PAG Nº: 31

DENSIDAD DE REDUCCION: 2.67

HOJA	NUM	X m.	Y m.	Z m.	G mgal.	GN mgal.	TP mgal.	T mgal.	A mgal.	A1 mgal.
730	89	747518	4357707	459.58	993.50	1109.66	0.01	0.04	-12.86	-25.75
730	90	747470	4356562	471.91	989.41	1108.75	0.00	0.07	-13.23	-26.46
730	110	746818	4357856	451.46	994.04	1109.80	0.00	0.04	-14.28	-26.94
730	111	746810	4356496	459.15	990.76	1108.71	0.01	0.04	-14.74	-27.62
730	132	745609	4357273	444.06	991.75	1109.36	0.00	0.04	-17.80	-30.26
730	155	744686	4356691	469.16	982.66	1108.92	0.00	0.05	-20.79	-33.95
730	176	744239	4357273	453.27	986.48	1109.40	0.00	0.03	-21.03	-33.75
730	91	747434	4355260	451.45	990.76	1107.71	0.01	0.05	-15.46	-28.12
730	92	747779	4353992	465.82	986.45	1106.69	0.00	0.05	-15.53	-28.59
730	93	747559	4353663	463.90	985.43	1106.43	0.00	0.05	-16.71	-29.72
730	94	747285	4353173	457.76	984.81	1106.05	0.00	0.12	-18.26	-31.07
730	95	747729	4351588	477.32	977.07	1104.78	0.02	0.13	-20.32	-33.69
730	96	748012	4350914	491.40	973.20	1104.23	0.15	0.26	-20.35	-34.07
730	113	746744	4354327	452.89	988.42	1106.98	0.01	0.06	-16.74	-29.44
730	114	747437	4354072	457.34	987.47	1106.76	0.00	0.05	-16.48	-29.31
730	115	747692	4351915	480.70	977.27	1105.04	0.06	0.15	-19.60	-33.05
730	116	747589	4351274	484.19	976.54	1104.53	0.10	0.18	-19.01	-32.54
730	134	745076	4355929	457.02	986.36	1108.31	0.01	0.04	-19.22	-32.04
730	137	745384	4352611	466.52	982.07	1105.65	0.01	0.06	-18.69	-31.77
730	138	745629	4351254	473.75	978.61	1104.56	0.00	0.10	-19.40	-32.67
730	139	745241	4350366	474.09	977.00	1103.86	0.00	0.18	-20.16	-33.41
730	156	744188	4354997	459.43	982.42	1107.58	0.01	0.05	-21.88	-34.76
730	157	744303	4354311	457.62	982.39	1107.03	0.01	0.05	-21.77	-34.60
730	158	744326	4353897	460.60	981.71	1106.70	0.01	0.05	-21.45	-34.37
730	159	744339	4353444	462.51	978.06	1106.34	0.01	0.05	-24.30	-37.27
730	160	744524	4352723	477.02	977.40	1105.76	0.00	0.05	-21.13	-34.51
730	161	744905	4350389	470.99	976.88	1103.89	0.00	0.18	-21.00	-34.17
730	177	743896	4356608	453.01	984.12	1108.88	0.05	0.09	-22.88	-35.57
730	179	743467	4354353	495.17	973.33	1107.09	0.02	0.16	-22.33	-36.18
730	181	743358	4352667	470.10	977.23	1105.75	0.01	0.07	-22.82	-36.00
730	182	743515	4351902	486.59	974.15	1105.13	0.00	0.06	-21.58	-35.22
730	183	743778	4350445	496.63	970.37	1103.96	0.01	0.08	-21.92	-35.85
730	203	742845	4352367	483.84	973.58	1105.52	0.01	0.06	-23.16	-36.73
730	204	742751	4351189	494.01	970.86	1104.58	0.01	0.06	-22.66	-36.51
730	205	742833	4350543	490.41	970.56	1104.06	0.01	0.06	-23.25	-37.00
750	2041	662447	4335693	314.24	1036.47	1093.88	0.06	0.15	13.35	4.58
750	2042	662929	4335273	301.24	1039.39	1093.54	0.01	0.13	13.67	5.25
750	2043	663194	4334303	346.10	1029.10	1092.76	0.00	0.13	14.24	4.56
750	2044	663998	4337069	373.93	1028.65	1094.95	0.05	0.50	18.22	7.89
750	2045	663396	4335981	324.25	1035.77	1094.10	0.02	0.08	14.61	5.53
750	2046	663532	4335196	292.24	1041.62	1093.47	0.02	0.16	13.98	5.82
750	2047	663687	4334900	310.29	1038.21	1093.23	0.01	0.09	14.79	6.10
750	2048	664476	4336988	362.20	1030.68	1094.88	0.19	0.52	17.70	7.70
750	2049	664436	4336451	316.49	1039.65	1094.45	0.01	0.06	16.38	7.51
750	2050	664464	4335191	292.23	1042.07	1093.45	0.01	0.09	14.37	6.19
750	2069	670140	4336826	317.22	1039.57	1094.65	0.26	0.97	17.17	8.58
750	2070	670380	4336260	243.28	1055.75	1094.20	0.01	0.12	16.34	9.54
750	2071	670083	4335867	263.86	1052.14	1093.89	0.07	0.18	17.72	10.37
750	2074	670709	4336495	234.88	1056.83	1094.38	0.02	0.20	15.42	8.89
750	2075	670519	4335363	231.10	1058.61	1093.48	0.02	0.20	17.25	10.83

GRAVIMETRIA EN: CACERES

PAG Nº: 32

DENSIDAD DE REDUCCION: 2.67

HOJA	NUM	X m.	Y m.	Z m.	G mgal.	GN mgal.	TP mgal.	T mgal.	A mgal.	A1 mgal.
750	2076	670795	4334202	221.15	1050.50	1092.55	0.01	0.40	8.04	1.96
750	2077	671159	4336363	271.93	1049.47	1094.27	0.12	0.26	16.57	9.02
750	2078	671035	4335622	257.16	1053.32	1093.68	0.03	0.15	17.57	10.40
750	2079	671052	4334907	283.16	1046.97	1093.11	0.07	0.25	17.74	9.87
750	2080	671650	4334286	304.79	1039.97	1092.60	0.03	0.26	16.11	7.64
750	2083	672856	4335208	316.01	1037.97	1093.32	0.03	0.19	15.85	7.04
750	2084	672028	4334533	298.17	1042.05	1092.79	0.01	0.10	16.36	8.02
750	2086	674281	4335940	381.39	1023.86	1093.88	0.03	0.48	16.16	5.61
750	2087	673980	4334990	318.92	1035.83	1093.12	0.03	0.20	14.56	5.67
750	2088	673629	4334623	312.69	1037.02	1092.84	0.00	0.12	14.56	5.82
750	2090	674379	4336508	341.11	1033.49	1094.33	0.08	0.24	16.05	6.54
750	2091	674726	4335905	341.29	1032.08	1093.84	0.12	0.25	15.18	5.67
750	2092	674946	4334632	296.26	1040.28	1092.82	0.00	0.07	14.10	5.80
750	2094	675685	4336003	337.09	1032.36	1093.90	0.02	0.14	14.34	4.92
750	2095	675309	4335672	326.50	1034.15	1093.64	0.01	0.10	13.97	4.83
750	2096	675533	4334379	281.95	1043.02	1092.61	0.00	0.14	13.90	6.03
750	2098	676727	4336816	347.13	1031.07	1094.53	0.00	0.11	14.65	4.94
750	2099	676347	4335313	304.19	1037.74	1093.34	0.01	0.09	12.84	4.32
750	2100	676751	4335007	301.40	1038.15	1093.09	0.02	0.08	12.87	4.43
750	2102	677606	4336760	371.08	1025.05	1094.47	0.02	0.31	14.27	3.95
750	2103	677665	4335021	294.13	1038.67	1093.08	0.01	0.08	11.76	3.52
750	2105	678599	4336467	321.64	1034.78	1094.22	0.03	0.10	12.94	3.94
750	2106	678700	4335525	332.88	1030.51	1093.47	0.04	0.23	12.07	2.80
750	2108	679605	4336679	321.48	1035.21	1094.37	0.04	0.12	13.20	4.21
750	2109	679429	4335566	314.08	1033.94	1093.48	0.06	0.19	11.22	2.47
750	2112	680478	4337291	296.18	1041.92	1094.84	0.01	0.06	13.69	5.39
750	2113	680558	4336668	296.16	1040.54	1094.34	0.08	0.17	12.91	4.65
750	2114	680494	4335415	322.29	1030.89	1093.34	0.15	0.50	10.46	1.58
750	2117	681274	4337312	305.56	1040.07	1094.84	0.00	0.06	13.95	5.39
750	2118	681546	4336884	336.48	1032.02	1094.50	0.09	0.37	13.50	4.17
750	2119	681358	4335399	275.44	1039.97	1093.32	0.03	0.18	8.72	1.05
750	2126	682064	4337079	290.36	1041.55	1094.64	0.07	0.34	12.49	4.45
750	2135	683792	4335513	240.42	1045.14	1093.36	0.06	0.31	6.11	-0.53
750	2145	684842	4336186	247.73	1046.76	1093.88	0.09	0.20	8.74	1.85
750	2146	684827	4335105	252.17	1039.79	1093.02	0.09	0.22	3.66	-3.35
750	2154	685350	4335370	293.62	1032.53	1093.22	0.17	0.37	5.66	-2.46
750	2053	665384	4336605	314.99	1040.53	1094.56	0.01	0.08	16.83	8.01
750	2058	666356	4336702	302.73	1044.26	1094.62	0.02	0.09	17.76	9.29
750	5001	666797	4336879	278.40	1050.43	1094.75	0.02	0.15	18.38	10.61
750	5002	667495	4336574	295.27	1046.87	1094.50	0.02	0.08	18.80	10.54
750	5003	668051	4336364	278.10	1050.10	1094.32	0.02	0.09	18.36	10.58
750	5004	668868	4336217	280.91	1049.07	1094.19	0.03	0.09	18.09	10.23
750	5005	669669	4336232	259.86	1052.83	1094.19	0.05	0.19	17.22	9.99
750	5006	669011	4336987	309.82	1042.22	1094.80	0.04	0.23	17.27	8.64
750	2067	668453	4335631	281.26	1048.97	1093.73	0.02	0.08	18.51	10.64
750	2068	668447	4334755	272.54	1047.84	1093.03	0.03	0.11	16.15	8.52
750	5007	669151	4334571	264.38	1050.14	1092.87	0.01	0.08	16.75	9.35
750	5008	667625	4334986	284.79	1045.08	1093.23	0.06	0.15	15.99	8.04
750	5009	667057	4334853	284.31	1044.59	1093.13	0.03	0.10	15.44	7.48
750	2060	666440	4334849	262.98	1048.76	1093.14	0.01	0.14	14.85	7.51

GRAVIMETRIA EN: CACERES

PAG N°: 33

DENSIDAD DE REDUCCION: 2.67

HOJA	NUM	X m.	Y m.	Z m.	G mgal.	GN mgal.	TP mgal.	T mgal.	A mgal.	A1 mgal.
------	-----	---------	---------	---------	------------	-------------	-------------	------------	------------	-------------

Nº TOTAL DE ESTACIONES PROCESADAS 1600

Nombre del fichero creado: CACERES.RES; contiene 1600 registros
Esta grabado en la unidad C:\GRAVIMET\DATAGRA

Contiene las siguientes variables:

Nº de hoja, Nº de estación,

Coordenada X, Coordenada Y, Coordenada Z,

Gravedad medida, Gravedad normal, Corrección topográfica próxima y total,

Anomalia de bouguer a densidad 2.

Factor de conversión, anomalia de Bouguer a densidad 2.67

APENDICE II

Contiene los ficheros de datos BOUIN1, BOUIN2, BOUIN3 y BOUINLL, todos ellos formados por el valor de la anomalía de Bouguer a densidad 2.67, su función es la división del mapa en perfiles N-S y E-W con valores interpolados a malla regular para la interpretación cuantitativa.

BOUIN1 - contiene 638 observaciones para X<685000

BOUIN2 - contiene 386 observaciones para X>685000
y X<716000

BOUIN3 - contiene 667 observaciones para X>717000

BOUINLL - contiene 743 observaciones para los
perfiles E-W entre las coordenadas
y>4343000; y<4350000.

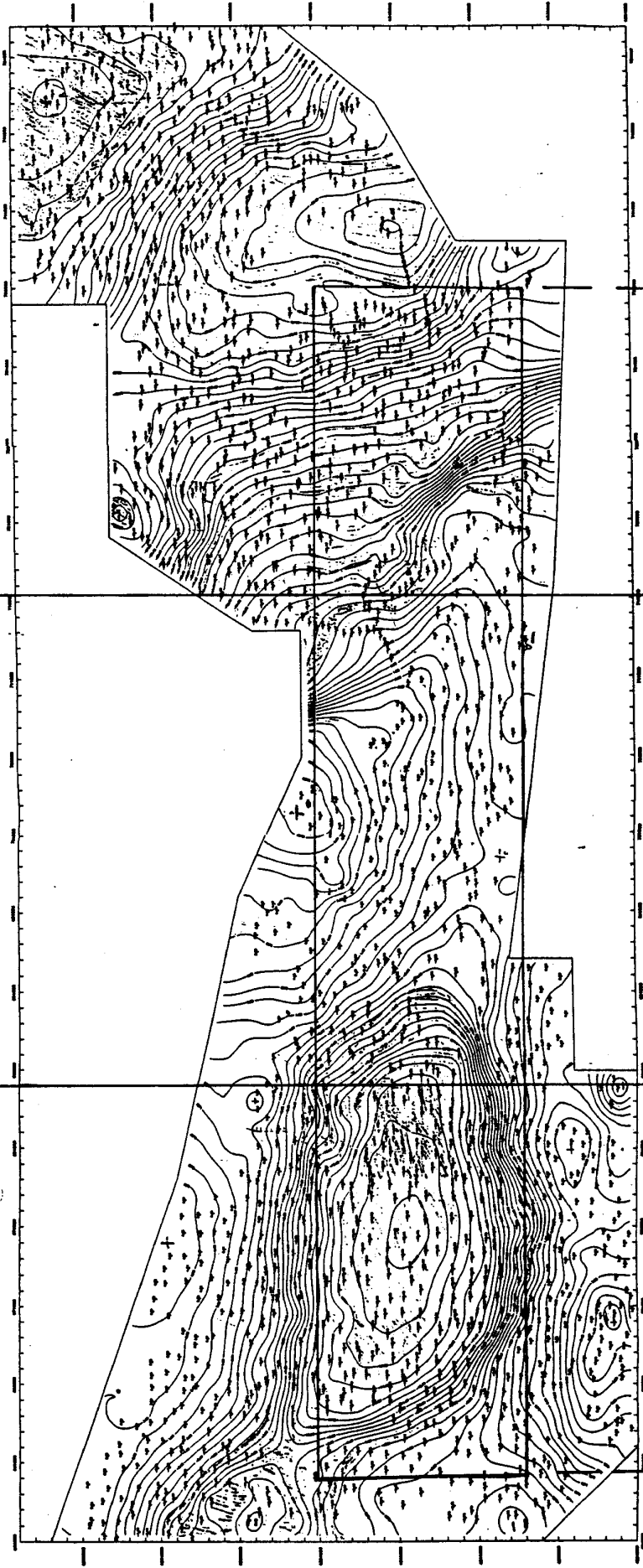
* Cada registro en disco, contiene los valores
X, Y (en m.), G (en mGal).

BOUIN 3

BOUIN 2

BOUIN 1

BOUIN 22



638.00 observaciones

Limites predefinidos

List= 2.00

Bnd= 1.00

VALORES OBSERVADOS:

Xbar= 670127.70

Xsig= 7711.30

Maxx= 684842.00

Minx= 656291.00

Ybar= 4349407.49

Ysig= 9155.58

Maxy= 4368602.00

Miny= 4334202.00

Wbar=-4.16

Wsig= 7.78

Maxw= 10.83

Minw=-17.45

Area= 891000000.00

Avedis= 1268.57

Best= 1181.76

Gsize= 1000.00

Rows= 34.00

Cols= 28.00

Filas, columnas o paso de malla especificados a priori

VALORES EMPLEADOS

Xmax= 684000.00

Xmin= 657000.00

Ymax= 4368000.00

Ymin= 4335000.00

Paso= 1000.00

Filas= 34.00

Columnas= 28.00

BOUGUER INTERPOLADO PARA X<685000 (BOUINI)

CACERES 1989

VALORES RESULTANTES

657000

.26	-.15	-1.75	-2.22	-2.77	-3.20	-4.09	-4.55
-4.32	-3.41	-2.88	-2.74	-2.67	-2.46	-2.44	-2.64
-2.86	-4.42	-4.67	-7.10	-9.07	-10.37	-10.71	-11.27
-11.18	-10.00	-9.56	-8.27	-7.65	-5.47	-2.66	-3.33
.60	2.30						

658000

1.02	.40	-.09	-.15	-1.98	-3.06	-4.54	-4.51
-3.89	-3.09	-2.87	-2.73	-2.73	-2.45	-2.44	-2.58
-2.90	-4.05	-4.50	-6.67	-9.45	-10.50	-10.83	-10.86
-11.14	-10.28	-9.89	-9.01	-6.22	-3.45	-1.66	-.06
.75	2.64						

659000

3.99	1.06	.70	.53	.02	-2.65	-3.08	-3.35
-3.53	-2.97	-2.66	-2.78	-2.71	-2.70	-2.50	-2.61
-2.89	-3.56	-5.45	-6.44	-7.05	-10.33	-11.14	-11.07
-10.71	-8.63	-8.14	-5.35	-4.13	-2.51	-.50	.84
2.34	2.50						

660000

4.59	4.09	2.21	1.41	1.20	-1.46	-2.61	-2.74
-2.64	-2.46	-2.55	-2.76	-2.57	-3.03	-2.77	-3.29
-3.93	-4.26	-5.89	-7.23	-7.27	-10.11	-10.81	-10.67
-9.99	-8.78	-5.36	-4.02	-3.04	-1.47	.12	1.97
2.80	3.02						

661000

4.90	4.55	3.27	2.96	.23	-.37	-1.06	-1.86
-1.81	-2.04	-2.54	-2.49	-3.17	-3.33	-3.69	-4.24
-4.14	-4.70	-6.78	-7.04	-7.38	-9.10	-9.58	-8.04
-7.30	-5.70	-5.32	-2.66	-.98	.05	1.39	2.24
2.86	3.00						

662000

4.89	4.92	5.43	4.75	3.38	1.35	-.45	-.62
-1.25	-1.96	-2.63	-2.82	-3.87	-3.98	-4.62	-4.32
-4.98	-6.32	-7.58	-8.17	-8.61	-10.37	-8.79	-8.37
-4.74	-3.89	-2.56	-.58	-.30	1.11	1.63	2.57
2.88	2.98						

663000

5.29	5.56	6.17	5.57	3.72	1.61	.17	.03
-1.44	-2.31	-2.62	-3.81	-4.96	-5.99	-5.65	-7.36
-5.91	-7.47	-9.05	-9.50	-11.16	-10.22	-6.83	-5.28
-3.73	-3.24	-1.03	.35	.41	1.70	1.98	2.82
3.24	2.96						

664000

5.95	6.11	7.79	7.43	4.05	1.63	1.03	-.11
-.69	-2.06	-3.50	-5.28	-5.29	-7.68	-8.45	-9.45
-12.84	-13.00	-12.98	-12.78	-11.60	-10.57	-6.16	-4.42
-2.61	-.96	-.00	.84	1.87	2.30	3.56	3.35
3.34	3.23						

665000

6.44	7.84	7.93	7.52	4.34	2.56	1.70	.14
-1.58	-3.18	-5.66	-6.34	-9.78	-9.31	-12.24	-12.77
-13.31	-13.10	-13.32	-13.26	-11.57	-10.29	-4.95	-2.73
-1.67	.15	.42	1.71	1.97	3.00	3.32	3.53
3.46	3.39						

666000

7.58	9.08	9.17	7.72	4.95	3.38	1.38	-.19
-1.29	-5.13	-6.47	-8.78	-11.10	-13.61	-14.10	-14.00
-14.66	-14.23	-13.77	-13.85	-10.97	-9.23	-3.98	-3.06
-.45	.22	1.61	1.95	2.87	3.60	3.64	3.63
3.55	3.54						
667000							
7.72	10.05	10.22	7.90	6.33	3.19	1.46	-.31
-2.48	-7.10	-10.18	-10.87	-12.95	-14.19	-14.51	-14.85
-15.04	-14.79	-14.37	-13.20	-10.14	-6.68	-4.52	-3.12
-.82	.55	1.81	2.32	3.28	3.57	3.83	3.81
3.79	3.78						
668000							
8.43	10.33	8.70	7.78	4.46	3.58	1.38	.04
-2.55	-8.37	-11.63	-13.05	-13.94	-14.69	-15.36	-15.64
-15.24	-15.04	-14.42	-13.25	-11.15	-6.38	-3.50	-3.19
-2.19	1.82	2.02	2.52	3.14	3.70	3.82	3.90
3.91	3.91						
669000							
9.40	10.19	8.68	6.36	4.69	3.61	1.37	-.25
-8.43	-10.99	-12.33	-14.10	-14.53	-15.56	-15.82	-16.06
-15.51	-15.28	-14.65	-13.55	-10.27	-7.79	-2.36	-2.73
-1.31	1.65	2.20	2.68	3.21	3.75	3.93	4.04
4.04	4.02						
670000							
9.96	10.16	8.71	7.56	5.16	3.18	1.04	-4.33
-8.35	-11.11	-13.29	-14.25	-15.16	-15.80	-16.22	-16.31
-16.18	-14.85	-12.86	-13.40	-9.47	-4.25	-2.41	-2.08
.22	1.48	2.09	3.11	3.83	4.01	4.39	4.45
4.44	4.45						
671000							
9.52	10.08	8.96	5.82	4.09	1.79	-.69	-5.26
-10.01	-11.08	-13.62	-14.63	-15.72	-16.11	-16.38	-16.61
-16.59	-15.13	-12.90	-12.37	-8.98	-4.13	-3.27	-.86
.43	1.55	2.88	3.35	4.04	4.50	4.58	4.57
4.57	4.57						
672000							
7.89	8.97	8.49	5.01	4.61	2.74	-.40	-4.78
-9.38	-12.04	-13.10	-14.91	-16.14	-16.42	-16.65	-16.83
-16.34	-15.37	-15.02	-13.51	-9.06	-4.45	-2.91	-1.25
.51	2.12	3.17	3.51	4.46	4.65	4.66	4.65
4.65	4.65						
673000							
6.89	6.61	6.10	4.86	3.63	1.64	-2.06	-6.17
-9.79	-13.39	-14.90	-15.43	-16.49	-16.65	-17.06	-17.01
-16.34	-15.56	-14.83	-13.89	-9.61	-4.17	-2.19	-.77
.41	1.86	3.10	4.16	4.38	4.58	4.59	4.59
4.60	4.60						
674000							
5.69	5.73	6.16	5.84	4.46	-.42	-1.92	-6.34
-11.74	-13.70	-14.25	-16.13	-16.57	-17.06	-17.22	-17.10
-17.04	-15.95	-14.72	-12.33	-11.23	-6.65	-3.02	-.76
.98	2.06	3.48	4.51	4.75	4.78	4.79	4.61
4.60	4.60						
675000							
5.71	5.58	6.14	4.09	3.29	-.52	-2.44	-7.56
-11.66	-12.76	-14.34	-15.64	-16.93	-17.32	-17.29	-17.08
-16.71	-16.15	-15.08	-11.48	-10.73	-5.36	-3.05	-.81
1.05	2.10	3.47	4.43	4.56	4.77	4.78	4.78
4.77	4.59						
676000							
4.63	4.88	5.01	3.91	2.55	1.16	-5.29	-8.02
-11.69	-13.68	-15.26	-16.17	-17.05	-17.34	-17.32	-16.93
-16.18	-15.81	-15.01	-10.46	-9.66	-4.68	-1.48	-.03
1.80	2.52	3.01	4.30	4.53	4.45	4.79	4.77
4.77	0.00						
677000							
4.37	4.65	4.80	4.91	3.47	-2.24	-3.73	-5.40
-12.15	-13.73	-14.44	-15.86	-17.05	-17.30	-17.31	-16.92
-16.58	-15.80	-14.76	-13.38	-8.80	-4.41	-2.39	-.01
2.08	2.64	3.43	4.11	4.32	4.38	4.45	4.46
4.50	0.00						

678000	3.52	3.77	4.32	5.31	4.76	.84	-1.99	-7.43
	-9.49	-12.71	-15.26	-15.73	-16.95	-17.02	-17.27	-16.71
	-16.42	-15.71	-14.80	-12.36	-10.11	-4.97	-2.02	1.04
	1.68	3.06	3.36	4.60	4.65	4.59	4.69	4.73
	4.71	0.00						
679000	2.87	2.99	4.36	5.33	5.12	1.87	-.40	-5.59
	-10.18	-12.37	-14.32	-15.21	-16.70	-16.85	-16.86	-16.79
	-15.94	-15.33	-14.00	-11.12	-9.42	-3.14	-1.44	.84
	2.30	2.64	3.38	4.41	4.57	4.57	4.56	4.74
	4.69	0.00						
680000	2.03	2.92	4.60	5.55	5.14	3.46	.85	-1.53
	-5.94	-12.28	-14.64	-15.27	-16.57	-16.95	-16.82	-16.60
	-16.30	-14.64	-12.40	-11.16	-6.63	-3.75	-.06	.59
	2.18	2.32	3.05	4.39	4.42	4.55	4.66	4.69
	0.00	0.00						
681000	1.66	2.19	5.21	6.08	5.00	3.81	.95	-.44
	-4.00	-11.44	-12.72	-14.74	-16.61	-16.67	-16.51	-16.00
	-16.01	-12.76	-9.86	-9.28	-4.79	-1.82	-.78	1.21
	1.27	2.19	2.51	3.89	4.39	4.53	4.71	4.66
	0.00	0.00						
682000	1.60	2.23	4.57	5.71	5.08	3.67	1.66	.73
	-7.01	-9.32	-12.13	-14.83	-15.36	-15.74	-16.43	-16.35
	-16.04	-13.06	-10.03	-8.69	-4.38	-2.61	-1.61	1.00
	1.02	1.61	2.26	2.66	4.29	4.66	0.00	0.00
	0.00	0.00						
683000	.13	.36	4.32	5.13	4.83	2.83	2.15	.17
	-6.97	-8.82	-12.48	-14.50	-15.44	-15.81	-15.51	-15.45
	-15.11	-12.95	-10.56	-6.37	-4.63	-2.90	.84	1.55
	1.52	1.68	1.88	2.00	0.00	0.00	0.00	0.00
	0.00	0.00						
684000	-.31	.15	1.93	4.68	3.98	3.57	1.39	-.72
	-6.76	-8.57	-12.76	-14.96	-15.42	-15.65	-15.59	-15.40
	-14.69	-12.89	-12.09	-7.14	-5.52	-.48	1.25	1.68
	1.45	1.39	1.36	1.75	0.00	0.00	0.00	0.00
	0.00	0.00						

N= 952.00

Xmin= 657000.00

Ymin= 4368000.00

Zmax= 10.33

Zmin=-17.34

Zbar=-3.94

Zsig= 7.08

Fin de los datos

366.00 observaciones

Límites predefinidos

List= 2.00 Bnd= 1.00

VALORES OBSERVADOS:

Xbar= 699916.89	Xsig= 10885.24	Maxx= 717998.00	Minx= 683002.00
Ybar= 4348160.07	Ysig= 5170.12	Maxy= 4361142.00	Miny= 4335105.00
Wbar=-1.68	Wsig= 5.85	Maxw= 12.12	Minw=-15.86
Area= 620000000.00	Avedis= 1397.14	Best= 1301.53	Gsize= 1000.00
Rows= 21.00	Cols= 32.00		

Filas, columnas o paso de malla especificados a priori

VALORES EMPLEADOS

Xmax= 716000.00	Xmin= 685000.00	Ymax= 4358000.00	Ymin= 4338000.00
Paso= 1000.00	Filas= 21.00	Columnas= 32.00	

BOUGUER INTERPOLADO PARA X>685000 Y X<716000 CACERES 1989

VALORES RESULTANTES

1	685000	2.79	3.59	3.41	1.14	-.75	-5.62	-7.58	-13.52
		-14.90	-15.18	-15.37	-15.12	-15.11	-14.81	-12.51	-10.86
		-10.34	-5.81	-.21	.63	1.41			
22	686000	3.67	3.69	2.96	1.56	.51	-3.13	-5.27	-13.80
		-14.34	-14.66	-15.07	-14.50	-14.09	-11.58	-9.24	-8.13
		-5.94	-4.38	-.83	-.44	.64			
43	687000	3.96	3.68	2.80	1.93	-.21	-2.27	-8.65	-11.54
		-12.02	-14.01	-13.91	-13.47	-11.19	-10.24	-8.95	-6.82
		-4.87	-3.58	-1.13	-.57	-.15			
34	688000	4.13	4.58	2.90	1.31	.25	-.42	-8.27	-11.15
		-11.37	-11.14	-10.00	-9.89	-8.10	-6.52	-5.23	-3.84
		-1.76	-1.10	-.57	-.31	-.08			
55	689000	4.23	3.89	3.39	1.93	.41	-2.70	-3.86	-6.35
		-10.56	-9.79	-8.49	-8.83	-5.54	-5.03	-3.03	-2.39
		-.29	-.44	1.60	1.60	1.47			
103	690000	4.18	3.69	2.64	1.72	1.14	-2.50	-4.03	-4.63
		-7.98	-7.75	-7.50	-7.07	-3.97	-3.15	-2.22	-.66
		1.13	2.29	2.17	2.14	1.91			
122	691000	3.58	3.46	2.51	1.89	.51	-2.88	-3.43	-4.28
		-4.56	-5.09	-5.18	-3.68	-2.54	-2.20	-.26	.33
		1.82	3.07	2.85	2.49	2.62			
145	692000	3.54	3.33	2.37	1.79	-.42	-2.56	-3.33	-4.40
		-4.45	-4.39	-4.22	-2.72	-.90	.21	.46	.39
		3.26	3.85	3.95	3.83	4.08			
158	693000	3.24	2.52	2.23	1.54	-.73	-2.45	-3.19	-4.23
		-3.85	-3.65	-2.56	-1.83	-.90	.21	1.34	2.99
		4.64	4.49	4.58	4.30	4.23			
180	694000	2.54	2.27	1.97	.97	-1.37	-2.54	-2.88	-3.76
		-2.75	-3.02	-1.58	-1.59	.38	1.60	2.84	3.48
		4.65	5.23	5.43	5.46	4.98			
201	695000	2.53	1.96	-.16	-1.06	-1.36	-1.70	-2.41	-3.71
		-2.26	-.96	-.89	.75	1.79	2.01	2.37	4.07
		4.81	5.46	5.65	5.68	5.36			
222	696000	2.48	-.04	-.88	-1.52	-1.41	-1.91	-2.13	-2.45
		-1.13	-.69	.66	1.19	1.78	3.45	2.03	3.27
		6.28	5.78	6.01	6.03	6.05			
250	697000	0.00	-1.34	-2.32	-2.31	-2.35	-2.34	-1.71	-1.63
		-.46	-.42	.80	1.61	2.15	3.74	2.49	6.79
		7.13	6.81	6.14	6.08	6.10			
274	698000	0.00	-2.24	-2.29	-2.26	-2.38	-2.43	-1.43	-1.22
		-.95	-.23	.92	2.51	5.09	6.03	9.70	9.88
		7.20	7.44	6.17	6.05	6.09			

	0.00	-2.22	-2.45	-2.29	-2.22	-1.31	-1.04	-.79
	.08	.49	.95	2.39	4.05	5.62	9.80	8.62
316	700000	8.64	8.87	6.85	6.56	6.12		
	0.00	-1.67	-2.01	-2.00	-1.57	-1.29	-.62	-.46
	.06	.59	1.85	3.75	4.77	5.75	8.00	8.93
327	701000	9.03	10.75	11.01	10.35	6.99		
	0.00	-2.16	-2.07	-2.06	-1.92	-1.45	-1.12	-.44
	.47	1.27	2.33	3.08	4.57	6.00	8.29	10.00
355	702000	10.93	11.13	11.27	11.27	11.15		
	-1.72	-2.37	-2.30	-2.12	-2.12	-1.69	-1.43	-.17
	.84	1.30	2.81	3.78	5.18	6.76	7.91	10.13
329	703000	11.14	11.32	11.30	11.14	11.22		
	-1.89	-2.42	-2.41	-2.35	-2.28	-1.93	-1.66	-.19
	.34	1.45	3.01	3.88	4.56	5.73	8.74	8.25
400	704000	11.11	11.34	11.00	11.17	11.09		
	-2.72	-2.95	-2.96	-2.98	-2.95	-2.10	-1.72	-.32
	.47	1.56	2.82	3.29	4.88	6.51	7.36	8.13
421	705000	10.18	10.91	10.96	11.15	11.01		
	-2.94	-3.07	-3.07	-2.99	-2.87	-1.90	-1.29	-.88
	1.11	1.95	2.70	3.45	5.02	5.49	7.01	9.75
442	706000	10.07	10.25	10.79	11.03	10.74		
	-3.06	-3.39	-3.07	-2.96	-2.74	-1.84	-1.58	-.85
	1.10	1.42	2.51	4.61	5.03	5.55	5.72	8.88
453	707000	9.89	10.11	11.01	11.00	10.59		
	-3.09	-3.45	-3.46	-3.49	-3.21	-2.83	-1.08	-.19
	.16	1.50	4.27	4.95	5.34	5.60	5.56	5.96
454	708000	9.24	10.46	10.21	0.00	0.00		
	-3.09	-3.51	-3.48	-3.39	-3.37	-3.16	-.95	-.05
	.98	3.34	3.72	4.67	5.41	5.46	5.55	5.58
500	709000	5.65	0.00	0.00	0.00	0.00		
	-3.15	-3.56	-3.45	-3.42	-3.30	-1.82	-1.24	-.19
	1.06	3.15	4.16	4.26	4.51	5.36	5.42	5.59
508	710000	0.00	0.00	0.00	0.00	0.00		
	-3.66	-3.78	-3.77	-3.27	-2.96	-1.72	-1.32	.37
	.72	2.01	2.98	3.98	3.68	3.93	4.22	-3.40
512	711000	0.00	0.00	0.00	0.00	0.00		
	-4.09	-4.10	-3.86	-3.84	-3.46	-1.68	-.92	.64
	1.21	2.61	2.08	2.45	.27	-.37	-3.50	-4.47
530	712000	-5.80	-6.07	-6.87	-8.08	-8.75		
	-4.10	-4.11	-4.11	-3.84	-3.55	-1.68	-1.27	-.21
	1.16	1.73	1.45	-.45	-1.22	-1.98	-3.96	-4.47
539	713000	-5.81	-6.19	-7.11	-8.01	-8.80		
	-4.07	-4.07	-4.07	-4.02	-2.80	-2.00	-1.59	.58
	.73	.72	-.43	-1.58	-1.97	-3.13	-3.96	-5.01
550	714000	-6.01	-6.63	-7.12	-8.24	-8.83		
	-4.04	-3.96	-3.96	-3.93	-3.16	-1.86	-1.05	-.17
	.25	.21	-.30	-2.49	-2.21	-3.16	-3.97	-5.57
571	715000	-6.07	-6.76	-7.12	-8.27	-9.03		
	-4.09	-3.87	-3.86	-3.80	-2.89	-1.96	-.79	-.98
	-.56	-.47	-5.17	-4.88	-4.37	-5.13	-4.74	-5.72
582	716000	-6.22	-6.61	-7.32	-8.30	-9.25		
	-4.64	-4.60	-3.94	-3.25	-3.08	-2.37	-1.94	-1.33
	-1.27	-2.63	-6.07	-5.92	-5.53	-7.44	-7.46	-7.40
	-7.51	-7.64	-8.36	-9.16	-9.44			

N= 672.00

Xmin= 605000.00

Ymin= 4350000.00

Zmax= 11.34

Zmin=-15.37

Zbar= .23

Zsig= 4.66

Fin de los datos

	-5.86	-5.39	-5.48	-4.17	-4.15	-11.48	-14.77	-16.02
	-17.10	-17.32	-18.11	-20.02	-21.44	-22.01	-23.52	-26.98
	-28.87	-30.66	-32.38	-34.38	-36.14	-37.65	-38.68	-39.20
	-39.21	-39.23	-36.65	-35.85	-34.13	-33.61	-33.43	-33.76
321	33.70	-33.57	-33.65	0.00	0.00			
4348000	-5.93	-6.65	-9.51	-9.87	-12.11	-14.86	-15.53	-15.75
	-16.03	-18.19	-18.97	-20.43	-21.00	-22.76	-25.62	-26.98
	-30.16	-32.05	-32.40	-35.35	-36.51	-37.93	-38.76	-39.23
	-39.39	-39.23	-37.10	-35.83	-34.10	-33.60	-33.43	-33.78
	-33.68	-33.68	-33.70	-33.65	0.00			
4349000	-6.62	-10.13	-10.85	-11.17	-11.95	-14.27	-15.16	-15.54
	-16.58	-18.05	-19.84	-20.45	-20.98	-23.75	-24.80	-28.19
	-29.05	-33.04	-33.34	-35.13	-37.25	-38.44	-39.26	-39.42
	-39.35	-38.47	-36.88	-35.78	-34.04	-33.59	-33.75	-33.68
	-33.69	-33.68	-33.68	-33.70	0.00			
4350000	-9.14	-10.28	-10.53	-11.24	-13.09	-13.56	-14.48	-15.36
	-16.59	-17.95	-19.19	-21.01	-22.33	-23.18	-25.04	-27.63
	-31.69	-33.13	-34.04	-34.02	-36.84	-38.49	-39.13	-39.14
	-38.83	-38.32	-36.89	-35.62	-34.19	-33.54	-33.66	-33.71
	-33.59	-33.38	-33.53	-33.67	0.00			
4351000	-8.76	-9.70	-10.45	-12.54	-13.08	-13.32	-15.00	-15.42
	-17.53	-17.90	-19.14	-21.44	-22.16	-24.15	-26.12	-29.74
	-32.02	-33.31	-34.18	-34.20	-34.53	-39.03	-39.08	-38.52
	-38.32	-37.88	-36.53	-35.64	-33.95	-32.84	-32.87	-33.87
	-33.47	-33.36	-33.31	-33.67	-33.71			
4352000	-8.66	-10.64	-11.66	-12.25	-12.65	-13.97	-14.55	-15.89
	-16.81	-17.93	-18.71	-22.14	-23.53	-25.37	-26.95	-30.60
	-31.65	-33.00	-34.32	-34.36	-34.79	-38.17	-38.50	-38.33
	-38.10	-36.78	-36.54	-35.50	-32.81	-32.60	-32.97	-32.95
	-32.84	-33.29	-33.08	-32.49	-22.78			
4353000	-9.51	-10.24	-11.24	-11.80	-13.00	-13.87	-14.89	-16.41
	-17.29	-18.13	-20.90	-22.42	-23.12	-26.97	-28.40	-30.36
	-32.06	-33.33	-34.87	-34.78	-34.84	-37.36	-38.10	-38.07
	-38.14	-36.80	-36.15	-36.50	-33.09	-31.96	-30.75	-30.90
	-29.72	-29.74	-28.54	-24.44	-22.39			
4354000	-9.46	-9.84	-11.16	-11.86	-12.92	-13.32	-16.20	-16.62
	-18.24	-18.61	-20.56	-22.48	-25.14	-26.65	-29.45	-30.45
	-31.86	-34.20	-34.49	-34.74	-34.97	-37.25	-37.86	-37.94
	-37.78	-36.80	-36.06	-34.78	-34.55	-30.07	-29.44	-28.87
	-28.96	-28.14	-23.98	-22.64	-22.36			
4355000	-8.75	-9.90	-11.26	-11.67	-12.81	-13.91	-15.86	-16.38
	-18.33	-19.31	-20.97	-22.34	-24.77	-26.70	-30.38	-31.10
	-31.80	-33.50	-33.96	-34.60	-36.03	-36.64	-37.63	-37.66
	-36.81	-36.71	-36.33	-34.80	-34.66	-29.79	-28.44	-28.31
	-28.09	-23.74	-23.02	-22.37	-22.31			
4356000	-9.42	-10.38	-11.31	-12.45	-13.38	-14.11	-15.35	-17.17
	-18.92	-19.31	-21.84	-23.04	-23.76	-27.80	-28.82	-30.89
	-32.60	-33.16	-33.59	-34.46	-36.33	-36.70	-36.73	-36.42
	-36.17	-36.20	-35.82	-34.92	-32.30	-30.93	-27.43	-25.96
	-24.28	-23.27	-22.94	-22.37	-22.29			
4357000	-10.54	-10.51	-12.20	-12.75	-13.39	-14.72	-15.51	-17.27
	-18.99	-20.26	-21.69	-22.76	-25.30	-28.68	-28.82	-30.91
	-31.64	-33.26	-33.30	-35.67	-36.22	-36.65	-36.58	-35.96
	-36.00	-35.73	-35.51	-33.96	-33.43	-30.06	-27.04	-25.66
	-24.16	-23.05	-22.60	-22.27	-22.09			
4358000	-10.75	-11.64	-11.97	-13.48	-13.93	-15.47	-15.62	-16.76
	-19.43	-20.89	-22.38	-23.29	-25.77	-28.88	-31.01	-31.59
	-31.59	-33.27	-33.30	-34.86	-36.00	-36.25	-36.09	-35.94
	-35.83	-35.67	-35.14	-32.68	-31.82	-29.20	-26.76	-24.98
	-22.85	-22.35	-21.63	-21.57	-21.94			

4359000	-12.39	-12.61	-13.05	-14.49	-15.58	-16.48	-16.65	-19.60
	-20.19	-21.54	-22.54	-24.30	-25.51	-27.97	-29.57	-31.59
	-32.14	-33.09	-33.53	-34.66	-35.16	-35.49	-35.48	-35.89
	-35.56	-35.05	-33.36	-31.76	-29.27	-28.29	-25.60	-23.66
	-22.38	-21.48	-21.07	-21.03	-21.35			
4360000	-13.75	-13.92	-14.16	-15.23	-18.10	-17.03	-18.12	-19.75
	-20.16	-21.71	-23.00	-24.27	-26.84	-27.96	-30.94	-31.76
	-32.29	-33.04	-33.73	-34.02	-34.39	-34.97	-35.04	-34.61
	-34.19	-34.65	-32.07	-31.38	-28.38	-26.54	-24.16	-23.35
	-22.23	-21.05	-20.82	-20.69	-20.79			
4361000	-14.38	-16.07	-16.79	-21.08	-20.94	-21.31	-19.89	-19.79
	-20.43	-22.42	-23.70	-25.78	-26.41	-29.96	-30.86	-32.36
	-33.39	-33.26	-33.50	-33.95	-34.01	-34.40	-34.64	-33.88
	-33.49	-31.82	-30.97	-29.11	-27.40	-25.50	-24.59	-21.87
	-21.21	-20.60	-20.63	-20.66	-20.65			
4362000	-16.26	-20.62	-20.54	-23.64	-22.70	-22.21	-21.87	-21.85
	-23.03	-22.79	-24.19	-25.70	-26.48	-28.34	-30.76	-32.15
	-32.86	-33.21	-33.98	-34.02	-33.05	-33.69	-32.94	-32.58
	-32.06	-30.21	-28.47	-28.66	-26.15	-25.48	-22.66	-21.41
	-20.30	-20.11	-19.80	-20.47	-20.82			
4363000	-22.56	-23.54	-23.34	-24.46	-25.87	-25.54	-23.81	-23.65
	-23.60	-24.03	-24.84	-25.75	-27.42	-28.18	-29.53	-30.82
	-32.26	-31.81	-32.91	-33.06	-32.44	-31.57	-30.21	-29.79
	-29.42	-28.44	-26.22	-25.22	-24.08	-22.62	-22.13	-20.35
	-19.67	-19.44	-19.51	-20.18	-20.75			
4364000	-23.19	-24.20	-27.26	-28.07	-27.40	-28.07	-27.38	-24.85
	-25.47	-26.46	-27.95	-26.92	-27.24	-28.20	-28.91	-30.27
	-30.66	-30.76	-30.66	-30.90	-30.70	-29.78	-29.26	-28.06
	-27.60	-26.25	-25.69	-24.01	-22.52	-22.20	-20.25	-19.24
	-19.28	-19.03	-19.42	-20.23	-20.36			
4365000	-24.74	-25.17	-28.20	-29.19	-30.44	-29.43	-28.07	-26.81
	-26.32	-27.06	-27.90	-27.93	-27.96	-28.25	-29.02	-29.38
	-30.27	-30.45	-30.23	-29.66	-28.19	-27.77	-27.68	-26.95
	-26.07	-25.23	-24.03	-22.76	-21.33	-20.27	-19.72	-18.76
	-18.32	-18.69	-19.35	-20.30	-21.22			
4366000	-25.64	-29.33	-29.48	-29.90	-30.67	-30.95	-29.89	-28.65
	-28.40	-27.16	-27.94	-27.94	-27.96	-28.29	-29.01	-29.47
	-30.25	-30.19	-28.41	-27.63	-27.03	-25.67	-26.63	-24.91
	-25.45	-21.41	-22.27	-21.07	-20.48	-18.96	-18.67	-17.96
	-17.89	-18.10	-18.89	-21.11	-21.30			
4367000	-29.35	-29.43	-29.89	-30.90	-31.12	-31.01	-29.98	-28.83
	-28.66	-28.28	-28.12	-28.05	-28.08	-28.31	-28.90	-29.29
	-29.16	-25.57	-24.96	-25.46	-24.87	-24.79	-23.28	-23.38
	-21.84	-21.21	-20.41	-19.76	-18.90	-18.69	-17.97	-17.87
	-17.62	-17.80	-18.87	-20.79	-20.96			
4368000	-29.41	-29.48	-29.92	-30.90	-31.05	-30.89	-29.99	-28.91
	-28.63	-28.59	-28.13	-28.10	-28.16	-28.32	-28.89	-28.76
	-25.35	-24.25	-24.01	-24.02	-24.17	-23.50	-22.64	-21.97
	-20.74	-20.54	-19.58	-18.74	-18.27	-18.29	-17.91	-17.82
	-17.51	-17.56	-18.02	-20.37	-20.36			
4369000	-29.19	-29.91	-30.86	-31.01	-31.02	-30.86	-29.48	-29.12
	-28.61	-28.59	-28.42	-28.10	-28.14	-28.37	-28.56	-25.09
	-23.77	-23.51	-23.52	-22.77	-22.74	-22.13	-21.97	-21.48
	-20.97	-19.49	-19.15	-18.12	-17.58	-17.49	-17.23	-16.70
	-17.27	-17.45	-18.57	-18.98	-19.24			
4370000	0.00	0.00	-31.14	-31.24	-31.00	-31.01	-29.48	-29.35
	-28.92	-28.81	-28.83	-29.04	0.00	0.00	0.00	-23.23
	-23.17	-22.48	-22.46	-21.69	-21.61	-20.97	-20.56	-20.04
	-19.37	-18.66	-18.24	-17.80	-17.28	-17.34	-17.01	-16.55

	-16.57	-17.06	-17.75	-18.74	-19.00			
1700 4371000	0.00	0.00	0.00	-30.81	-31.05	-31.23	-29.26	-29.02
	-29.02	-29.02	0.00	0.00	0.00	0.00	0.00	-22.51
	-21.44	-21.42	-21.15	-21.11	-20.95	-20.75	-20.38	-19.46
	-18.80	-18.47	-17.91	-17.43	-17.23	-16.89	-16.68	-16.53
	-16.64	-16.87	-17.88	-18.20	-18.97			
1359 4372000	0.00	0.00	0.00	0.00	0.00	0.00	0.00	0.00
	0.00	0.00	0.00	0.00	0.00	0.00	0.00	-21.14
	-21.31	-21.14	-21.12	-20.96	-20.89	-20.61	-19.54	-19.13
	-18.69	-18.33	-17.67	-17.50	-16.97	-16.89	-16.76	-16.55
	-16.73	-16.93	-17.99	-18.18	-18.94			

N= 1295.00

Xmin= 4338000.00

Ymin= 753000.00

Zmax= 0.00

Zmin=-39.42

Zbar=-21.00

Zsig= 11.70

Fin de los datos

743.00 observaciones

Límites predefinidos

List= 2.00

Bnd= 1.00

VALORES OBSERVADOS:

Xbar= 4347498.97

Xsig= 3738.78

Maxx= 4353997.00

Minx= 4341004.00

Ybar= 697918.76

Ysig= 25433.83

Maxy= 748012.00

Miny= 657066.00

Wbar=-10.62

Wsig= 11.07

Maxw= 12.12

Minw=-39.58

Area= 532000000.00

Avedis= 908.34

Best= 846.18

Gsize= 1000.00

Rows= 77.00

Cols= 8.00

Filas, columnas o paso de malla especificados a priori

VALORES EMPLEADOS

Xmax= 4350000.00

Xmin= 4343000.00

Ymax= 736000.00

Ymin= 660000.00

Paso= 1000.00

Filas= 77.00

Columnas= 8.00

ZONA LONGITUDINAL (BOUGLL) INTERPOLADA CACERES 1989 [BUINLL]

VALORES RESULTANTES

4343000

-2.64	-1.81	-1.25	-1.44	-.69	-1.58	-1.29	-2.48
-2.55	-8.43	-8.35	-10.01	-9.38	-9.79	-11.74	-11.66
-11.69	-12.15	-9.49	-10.18	-5.94	-4.00	-7.01	-6.97
-6.56	-5.62	-3.13	-2.27	-.42	-2.70	-2.50	-2.88
-2.56	-2.45	-2.54	-1.70	-1.91	-2.34	-2.43	-1.31
-1.29	-1.45	-1.69	-1.93	-2.10	-1.90	-1.84	-2.83
-3.16	-1.82	-1.72	-1.68	-1.68	-2.00	-1.86	-1.96
-2.37	-3.06	-2.91	-2.88	-3.82	-3.97	-4.31	-5.13
-6.16	-9.75	-14.56	-16.35	-18.09	-19.76	-20.61	-22.17
-22.52	-23.45	-25.05	-26.32	-27.58			

4344000

-2.46	-2.04	-1.96	-2.31	-2.06	-3.18	-5.13	-7.10
-8.37	-10.99	-11.11	-11.08	-12.04	-13.39	-13.70	-12.76
-13.68	-13.73	-12.71	-12.37	-12.28	-11.44	-9.32	-8.82
-8.57	-7.58	-5.27	-8.65	-8.27	-3.86	-4.03	-3.43
-3.33	-3.19	-2.88	-2.41	-2.13	-1.71	-1.43	-1.04
-.62	-1.12	-1.43	-1.66	-1.72	-1.29	-1.58	-1.08
-.95	-1.24	-1.32	-.92	-1.27	-1.59	-1.05	-.79
-1.94	-2.70	-3.04	-2.76	-2.59	-3.54	-4.45	-5.08
-6.21	-10.39	-16.17	-17.58	-17.94	-19.66	-20.49	-21.50
-22.65	-24.26	-26.48	-28.62	-28.81			

4345000

-2.55	-2.54	-2.63	-2.62	-3.50	-5.66	-6.47	-10.18
-11.63	-12.33	-13.29	-13.62	-13.10	-14.90	-14.25	-14.34
-15.26	-14.44	-15.26	-14.32	-14.64	-12.72	-12.13	-12.48
-12.76	-13.52	-13.80	-11.54	-11.15	-6.35	-4.63	-4.28
-4.40	-4.23	-3.76	-3.71	-2.45	-1.63	-1.22	-.79
-.46	-.44	-.17	-.19	-.32	-.88	-.85	-.19
-.05	-.19	.37	.64	-.21	.58	-.17	-.98
-1.33	-2.13	-3.67	-3.09	-3.42	-4.19	-4.28	-4.54
-7.23	-16.51	-17.20	-17.27	-18.42	-19.88	-20.96	-22.15
-23.64	-26.63	-27.61	-28.89	-29.77			

4346000

-2.76	-2.49	-2.82	-3.81	-5.28	-6.34	-8.78	-10.87
-13.05	-14.10	-14.25	-14.63	-14.91	-15.43	-16.13	-15.64
-16.17	-15.86	-15.73	-15.21	-15.27	-14.74	-14.83	-14.50
-14.96	-14.90	-14.34	-12.02	-11.37	-10.56	-7.98	-4.56
-4.45	-3.85	-2.75	-2.26	-1.13	-.46	-.95	-.08
.06	.47	.84	.34	.47	1.11	1.10	.16
.98	1.06	.72	1.21	1.16	.73	.25	-.56
-1.27	-4.60	-4.25	-3.65	-3.59	-3.52	-4.89	-6.29
-16.14	-17.16	-17.73	-17.89	-19.20	-20.66	-21.91	-22.57
-26.11	-27.51	-29.67	-31.31	-31.52			

4347000

-2.57	-3.17	-3.87	-4.96	-5.29	-9.78	-11.10	-12.95
-13.94	-14.53	-15.16	-15.72	-16.14	-16.49	-16.57	-16.93
-17.05	-17.05	-16.95	-16.70	-16.57	-16.61	-15.36	-15.44
-15.42	-15.18	-14.66	-14.01	-11.14	-9.79	-7.75	-5.09
-4.39	-3.65	-3.02	-.96	-.69	-.42	-.23	.49
.59	1.27	1.30	1.45	1.56	1.95	1.42	1.50
3.34	3.15	2.01	2.61	1.73	.72	.21	-.47
-2.63	-5.86	-5.39	-5.48	-4.17	-4.15	-11.48	-14.77
-16.02	-17.10	-17.32	-18.11	-20.02	-21.44	-22.01	-23.52
-26.98	-28.87	-30.66	-32.38	-34.38			

4348000

-3.03	-3.33	-3.98	-5.99	-7.68	-9.31	-13.61	-14.19
-14.69	-15.56	-15.80	-16.11	-16.42	-16.65	-17.06	-17.32
-17.34	-17.30	-17.02	-16.85	-16.95	-16.67	-15.74	-15.81
-15.65	-15.37	-15.07	-13.91	-10.00	-8.49	-7.50	-5.18
-4.22	-2.56	-1.58	-.89	.66	.80	.92	.95
1.85	2.33	2.81	3.01	2.82	2.70	2.51	4.27
3.72	4.16	2.98	2.08	1.45	-.43	-.30	-5.17
-6.07	-5.93	-6.65	-9.51	-9.87	-12.11	-14.86	-15.53
-15.75	-16.03	-18.19	-18.97	-20.43	-21.00	-22.76	-25.62
-26.98	-30.16	-32.05	-32.40	-35.35			

4349000

-2.77	-3.69	-4.62	-5.65	-8.45	-12.24	-14.10	-14.51
-15.36	-15.82	-16.22	-16.38	-16.65	-17.06	-17.22	-17.29
-17.32	-17.31	-17.27	-16.86	-16.82	-16.51	-16.43	-15.51
-15.57	-15.12	-14.50	-13.47	-9.89	-8.83	-7.07	-3.68
-2.72	-1.83	-1.59	.75	1.19	1.61	2.51	2.39
3.75	3.08	3.78	3.88	3.29	3.45	4.61	4.95
4.67	4.26	3.98	2.45	-.45	-1.58	-2.49	-4.88
-5.92	-6.62	-10.13	-10.85	-11.17	-11.95	-14.27	-15.16
-15.54	-16.58	-18.05	-19.84	-20.45	-20.98	-23.75	-24.80
-28.19	-29.05	-33.04	-33.34	-35.13			

4350000

-3.29	-4.24	-4.32	-7.36	-9.45	-12.77	-14.00	-14.85
-15.64	-16.06	-16.31	-16.61	-16.83	-17.01	-17.10	-17.08
-16.93	-16.92	-16.71	-16.79	-16.60	-16.00	-16.35	-15.45
-15.37	-15.11	-14.09	-11.19	-8.10	-5.54	-3.97	-2.54
-.90	-.90	.38	1.79	1.78	2.15	5.09	4.05
4.77	4.57	5.18	4.56	4.88	5.02	5.03	5.34
5.41	4.51	3.68	.27	-1.22	-1.97	-2.21	-4.37
-5.53	-9.14	-10.28	-10.53	-11.24	-13.09	-13.56	-14.48
-15.36	-16.59	-17.95	-19.19	-21.01	-22.33	-23.18	-25.04
-27.63	-31.69	-33.13	-34.04	-34.02			

N= 616.00

Zmax= 0.00

Fin de los datos

Xmin= 4343000.00

Zmin=-14.85

Ymin= 736000.00

Zbar=-.60

Zsig= 2.20

APENDICE III

Listado para el cálculo de la densidad de reducción , contiene 472 registros de 16 bytes y cada registro contiene las variables X_m , Y_m , $D_m(X_m, Y_m)$ siendo todas variables short.

X_m , Y_m - Coordenadas UTM en m.

$D_m(X_m, Y_m)$ - Densidad en gr/cc.

Coordenadas del centro de la primera muestra

X= 656000

Y=4334000

Intervalo de avance de 2000 m en X y de 2000 m en Y

Radio de muestreo R= 2000 m

Se han efectuado 50 desplazamientos segun el eje X y 20 segun el eje Y

Densidad limitada entre 1.50 y 3.50 g/cm³

Precision de calculo = .001

Distribucion de frecuencias cada .10 g/cm³

DISTRIBUCION DE DENSIDADES

=====

Estaciones de la zona 1603

Muestras tomadas 1000

Muestras admitidas 472(47.2%)

DENSIDAD MEDIA = 2.57 g/cm³

INTERVALO	Nº MUESTRAS
1.5 - 1.6	2.0
1.6 - 1.7	8.0
1.7 - 1.8	7.0
1.8 - 1.9	12.0
1.9 - 2.0	5.0
2.0 - 2.1	21.0
2.1 - 2.2	17.0
2.2 - 2.3	34.0
2.3 - 2.4	41.0
2.4 - 2.5	48.0
2.5 - 2.6	52.0
2.6 - 2.7	53.0
2.7 - 2.8	57.0
2.8 - 2.9	34.0
2.9 - 3.0	23.0
3.0 - 3.1	18.0
3.1 - 3.2	12.0
3.2 - 3.3	11.0
3.3 - 3.4	11.0
3.4 - 3.5	6.0
3.5 - 3.6	0.0

ORIGEN	DE MUESTRA	TAMAÑO	DENSIDAD	ORIGEN	DE MUESTRA	TAMAÑO	DENSIDAD
656000	4362000	6	2.56	656000	4364000	6	2.71
656000	4368000	6	3.19	658000	4340000	10	2.30
658000	4342000	10	2.99	658000	4344000	10	3.01
658000	4346000	6	2.59	658000	4350000	4	2.21
658000	4354000	7	2.75	658000	4356000	5	2.09
658000	4358000	5	2.46	658000	4360000	6	2.50
658000	4362000	12	2.72	658000	4364000	15	2.54
658000	4366000	12	2.65	658000	4368000	10	2.42
660000	4340000	14	2.17	660000	4342000	12	2.89
660000	4344000	10	2.93	660000	4346000	6	2.53
660000	4348000	8	2.47	660000	4350000	11	2.59
660000	4352000	9	2.80	660000	4354000	10	3.23
660000	4356000	4	1.91	660000	4360000	10	2.77
660000	4362000	11	2.55	660000	4364000	14	2.89
660000	4366000	11	2.45	660000	4368000	7	2.37
662000	4334000	5	2.57	662000	4338000	7	2.23
662000	4340000	11	1.84	662000	4342000	10	2.79
662000	4344000	9	2.28	662000	4346000	11	2.68
662000	4348000	10	2.71	662000	4350000	8	2.66
662000	4352000	8	2.38	662000	4354000	5	2.55
662000	4362000	10	2.01	662000	4364000	13	2.67
662000	4366000	10	2.51	662000	4368000	4	2.46
664000	4336000	11	2.75	664000	4338000	6	3.19
664000	4340000	9	1.73	664000	4342000	13	2.34
664000	4344000	10	2.46	664000	4346000	13	2.37
664000	4348000	12	1.94	664000	4350000	7	2.14
664000	4352000	7	2.71	664000	4354000	7	2.88
664000	4360000	11	2.59	664000	4362000	12	2.62
664000	4364000	12	3.00	666000	4334000	4	2.21
666000	4336000	10	2.22	666000	4338000	10	2.53
666000	4340000	12	3.05	666000	4342000	12	2.70
666000	4344000	11	2.59	666000	4346000	12	2.60
666000	4348000	13	2.28	666000	4350000	13	1.82
666000	4352000	13	2.69	666000	4354000	15	3.34
666000	4356000	11	2.30	666000	4358000	9	1.73
666000	4360000	9	2.37	666000	4362000	12	2.78
666000	4364000	10	2.41	668000	4334000	6	1.84
668000	4336000	14	1.61	668000	4338000	12	2.51
668000	4340000	14	2.17	668000	4342000	9	2.48
668000	4344000	7	2.02	668000	4346000	10	1.88
668000	4348000	11	2.78	668000	4350000	12	2.83
668000	4352000	11	2.80	668000	4354000	9	2.72
668000	4356000	7	3.35	668000	4362000	12	2.70
668000	4364000	5	2.55	670000	4336000	17	3.16
670000	4338000	13	2.58	670000	4340000	13	2.44
670000	4342000	11	2.52	670000	4344000	10	2.26
670000	4346000	11	2.43	670000	4348000	10	2.91
670000	4350000	9	2.72	670000	4354000	5	2.69
670000	4356000	6	2.76	670000	4358000	7	1.62
670000	4360000	8	3.20	670000	4362000	7	2.81
670000	4364000	4	2.51	672000	4336000	10	2.26
672000	4338000	9	2.51	672000	4340000	13	3.40
672000	4342000	15	3.34	672000	4344000	12	2.27
672000	4346000	9	3.02	672000	4348000	9	2.86
672000	4350000	11	2.79	672000	4352000	9	2.63
672000	4354000	9	2.53	672000	4356000	9	2.43
672000	4358000	12	3.41	672000	4360000	10	2.67
672000	4362000	8	2.91	672000	4364000	7	2.77
674000	4334000	6	1.80	674000	4336000	10	2.61
674000	4338000	8	2.15	674000	4340000	14	3.25
674000	4342000	14	3.26	674000	4344000	14	3.30
674000	4346000	10	3.02	674000	4348000	12	2.27
674000	4350000	12	2.65	674000	4352000	10	2.37
674000	4354000	9	1.53	674000	4356000	12	2.30
674000	4358000	13	3.00	674000	4360000	12	2.61
674000	4362000	11	2.52	674000	4364000	6	2.81
676000	4334000	6	2.48	676000	4336000	12	2.32
676000	4338000	9	2.42	676000	4340000	13	2.57
676000	4342000	9	2.46	676000	4344000	10	2.65

676000	4346000	9	3.06	676000	4348000	8	3.00
676000	4350000	9	2.24	676000	4352000	10	2.52
676000	4354000	10	1.81	676000	4356000	12	2.28
676000	4358000	13	1.82	676000	4360000	11	2.58
676000	4362000	9	2.21	676000	4364000	3	3.11
678000	4336000	11	2.09	678000	4338000	12	3.47
678000	4340000	13	1.94	678000	4342000	12	2.66
678000	4344000	11	2.83	678000	4346000	8	2.28
678000	4348000	10	2.35	678000	4350000	11	2.67
678000	4352000	11	2.14	678000	4354000	13	3.49
678000	4356000	11	1.60	678000	4360000	8	2.80
678000	4362000	5	2.46	680000	4336000	11	2.74
680000	4338000	15	2.36	680000	4340000	11	2.68
680000	4342000	12	2.08	680000	4344000	13	2.03
680000	4346000	12	2.76	680000	4348000	13	2.04
680000	4350000	8	2.66	680000	4352000	5	2.96
680000	4354000	7	2.42	682000	4336000	9	2.70
682000	4338000	11	2.87	682000	4340000	10	2.12
682000	4342000	10	2.08	682000	4344000	12	2.33
682000	4346000	16	2.99	682000	4348000	11	2.26
682000	4350000	5	2.56	682000	4354000	8	2.76
682000	4356000	8	2.34	682000	4358000	6	2.03
684000	4336000	4	2.71	684000	4340000	5	2.97
684000	4344000	7	2.48	684000	4346000	10	2.62
684000	4348000	11	2.69	684000	4350000	6	3.32
684000	4352000	7	1.64	684000	4356000	11	1.55
684000	4358000	5	3.15	686000	4340000	8	3.06
686000	4346000	8	2.33	686000	4348000	11	2.05
686000	4350000	7	1.83	686000	4352000	6	2.70
686000	4354000	7	3.22	686000	4356000	8	2.63
686000	4358000	5	2.71	688000	4340000	14	3.01
688000	4342000	11	3.11	688000	4346000	4	3.06
688000	4348000	10	2.19	688000	4350000	9	2.58
688000	4352000	13	2.44	688000	4354000	10	2.04
688000	4356000	8	2.26	690000	4338000	4	3.00
690000	4340000	11	3.42	690000	4342000	9	2.89
690000	4348000	6	2.95	690000	4350000	9	2.75
690000	4352000	11	2.46	690000	4354000	11	2.35
692000	4340000	8	3.15	692000	4342000	8	3.37
692000	4344000	5	2.81	692000	4346000	5	2.67
692000	4348000	8	2.61	692000	4350000	10	2.46
692000	4354000	10	2.34	692000	4356000	4	2.23
694000	4342000	5	2.50	694000	4344000	8	2.51
694000	4346000	7	2.33	694000	4348000	7	2.27
694000	4350000	9	2.48	694000	4352000	9	2.69
694000	4354000	5	2.39	694000	4356000	7	2.39
696000	4344000	10	2.62	696000	4346000	10	2.40
696000	4348000	9	2.73	696000	4350000	8	2.62
696000	4356000	7	2.42	696000	4358000	7	2.05
698000	4344000	9	2.56	698000	4346000	10	2.60
698000	4348000	7	2.75	698000	4350000	11	2.94
700000	4344000	10	2.64	700000	4346000	10	2.40
700000	4348000	7	2.32	700000	4350000	10	2.48
700000	4352000	8	1.87	702000	4342000	7	2.32
702000	4344000	10	2.15	702000	4346000	8	2.29
702000	4348000	9	2.34	702000	4350000	12	2.34
702000	4352000	15	2.60	702000	4354000	11	2.78
704000	4342000	10	2.29	704000	4344000	11	2.63
704000	4346000	9	2.22	704000	4348000	10	2.05
704000	4350000	10	2.65	706000	4342000	7	2.50
706000	4344000	8	2.70	706000	4346000	8	2.45
706000	4348000	9	2.16	706000	4350000	9	2.42
708000	4344000	11	2.49	708000	4346000	10	2.30
708000	4348000	8	2.11	708000	4350000	8	2.74
710000	4342000	4	2.44	710000	4344000	7	2.38
710000	4346000	8	2.39	710000	4348000	10	1.99
712000	4340000	5	2.61	712000	4342000	9	2.24
712000	4344000	5	2.40	712000	4346000	7	1.89
712000	4348000	7	2.73	712000	4350000	4	3.21
714000	4340000	6	2.69	714000	4342000	14	2.49
714000	4344000	11	2.90	714000	4346000	7	2.66

714000	4348000	4	2.89	714000	4350000	13	1.65
714000	4352000	9	2.56	714000	4354000	9	2.15
714000	4356000	7	3.45	716000	4340000	4	2.66
716000	4342000	9	2.58	716000	4344000	8	2.85
716000	4346000	8	2.99	716000	4348000	6	2.72
716000	4350000	13	1.67	716000	4354000	10	2.53
716000	4356000	12	2.19	716000	4358000	9	2.73
716000	4360000	4	3.06	718000	4340000	4	2.45
718000	4342000	6	2.80	718000	4344000	6	2.07
718000	4346000	8	2.08	718000	4348000	9	2.63
718000	4350000	7	3.09	718000	4352000	6	2.05
718000	4354000	7	2.50	718000	4356000	10	2.70
718000	4358000	14	3.32	718000	4360000	10	2.80
718000	4362000	8	2.82	718000	4364000	3	2.47
720000	4340000	7	1.85	720000	4342000	8	2.96
720000	4350000	4	2.69	720000	4352000	7	2.33
720000	4354000	13	3.05	720000	4356000	11	2.57
720000	4358000	12	2.84	720000	4362000	9	2.05
720000	4364000	10	2.83	720000	4366000	5	2.13
722000	4340000	12	2.78	722000	4342000	16	3.12
722000	4350000	6	2.29	722000	4352000	12	2.65
722000	4354000	13	2.30	722000	4356000	10	3.26
722000	4358000	10	2.78	722000	4360000	12	2.64
722000	4362000	13	1.75	722000	4364000	11	2.79
724000	4342000	11	2.13	724000	4350000	9	2.37
724000	4352000	11	2.59	724000	4354000	12	2.63
724000	4356000	13	2.90	724000	4358000	11	2.62
724000	4360000	9	2.87	724000	4364000	11	3.11
724000	4366000	8	3.36	726000	4342000	11	2.83
726000	4344000	6	1.64	726000	4346000	6	3.08
726000	4348000	7	2.53	726000	4350000	6	2.87
726000	4352000	5	2.73	726000	4354000	6	2.60
726000	4356000	11	2.72	726000	4358000	12	2.95
726000	4360000	10	2.81	726000	4362000	7	2.07
728000	4344000	9	2.22	728000	4346000	14	2.51
728000	4348000	14	2.57	728000	4350000	8	2.78
728000	4356000	6	2.79	728000	4358000	12	2.72
728000	4360000	9	2.40	728000	4362000	11	1.70
730000	4344000	10	2.49	730000	4346000	12	2.88
730000	4350000	13	2.77	730000	4352000	11	2.99
730000	4354000	8	2.11	730000	4356000	6	3.39
730000	4358000	10	2.98	730000	4360000	10	2.51
730000	4362000	12	2.48	732000	4342000	7	2.23
732000	4344000	11	2.59	732000	4346000	11	2.26
732000	4350000	13	2.40	732000	4352000	15	2.78
732000	4354000	12	2.55	732000	4356000	9	1.80
732000	4358000	11	3.46	732000	4360000	11	3.26
732000	4362000	12	2.68	732000	4364000	11	3.37
734000	4342000	11	2.21	734000	4344000	11	1.97
734000	4346000	15	3.03	734000	4348000	16	2.33
734000	4350000	12	2.33	734000	4352000	14	2.79
734000	4354000	9	2.46	734000	4356000	6	2.90
734000	4358000	9	3.21	734000	4360000	11	2.80
734000	4362000	11	2.63	734000	4364000	11	2.26
736000	4340000	5	2.44	736000	4342000	10	2.32
736000	4344000	9	2.79	736000	4348000	12	2.63
736000	4350000	5	2.02	736000	4352000	5	2.84
736000	4358000	6	1.74	736000	4360000	7	2.17
736000	4362000	10	2.67	736000	4364000	12	2.46
736000	4366000	7	2.70	736000	4368000	6	2.91
736000	4370000	8	2.71	738000	4340000	4	1.61
738000	4350000	5	2.49	738000	4358000	9	2.35
738000	4360000	11	2.45	738000	4362000	14	3.05
738000	4364000	12	2.81	738000	4366000	11	2.44
738000	4368000	12	2.29	738000	4370000	12	2.77
738000	4372000	5	2.81	740000	4348000	6	2.48
740000	4350000	7	2.41	740000	4358000	8	2.66
740000	4360000	15	2.57	740000	4362000	14	2.44
740000	4364000	10	3.18	740000	4366000	8	2.78
740000	4368000	8	3.11	740000	4370000	11	2.88
742000	4354000	8	2.37	742000	4356000	9	2.84

742000	4358000	12	2.93	742000	4360000	12	2.84
742000	4362000	12	2.57	742000	4364000	13	2.06
742000	4366000	11	2.96	742000	4368000	10	1.76
742000	4370000	11	2.39	742000	4372000	6	3.31
744000	4350000	6	2.35	744000	4354000	9	2.73
744000	4356000	8	2.44	744000	4358000	12	2.45
744000	4360000	11	2.16	744000	4364000	13	2.94
744000	4368000	13	2.43	744000	4370000	11	2.84
744000	4372000	6	2.51	746000	4354000	11	3.20
746000	4356000	7	2.31	746000	4358000	11	2.08
746000	4360000	11	2.68	746000	4362000	11	1.82
746000	4364000	9	2.75	746000	4366000	11	2.67
746000	4368000	11	2.59	746000	4370000	7	2.64
748000	4356000	7	3.00	748000	4358000	13	2.69
748000	4360000	9	2.85	748000	4362000	11	3.23
748000	4364000	11	2.52	748000	4366000	10	2.63
748000	4368000	9	2.81	748000	4370000	4	2.73
750000	4356000	6	2.69	750000	4358000	14	2.53
750000	4360000	10	2.39	750000	4362000	9	3.00
750000	4364000	11	2.50	750000	4366000	11	2.93
750000	4368000	11	2.77	750000	4370000	8	2.57
752000	4356000	5	2.45	752000	4358000	11	2.49
752000	4360000	11	2.82	752000	4362000	8	2.66
752000	4366000	9	2.77	752000	4368000	9	2.25
752000	4370000	8	2.45	754000	4370000	4	2.31

APENDICE IV

Fichero de datos CTLCC de corrección topográfica lejana, contiene 220 registros en 22 columnas por 10 filas y cada registro está formado por:

- I - Orden de la columna
- J - Orden de la fila
- K - (1) para Zo (en m.) , (2) para To (en mGal.)
- T - Valor de Zo ó To.

TABLAS DE CORRECCION TOPOGRAFICA LEJANA DE LA ZONA CORRECCION TOP LEJANA CACE

RES

HAY 22 COLUMNAS Y 10 FILAS, SIENDO EL PASO DE 5000 m

EL ORIGEN DE LA MALLA ES EL PUNTO Xo= 655000

Yo= 4330000

I	J	K	T
1	1	1	0
2	1	1	299.86
3	1	1	281.97
4	1	1	270.3
5	1	1	253.89
6	1	1	255.58
7	1	1	255.61
8	1	1	260.75
9	1	1	269.95
10	1	1	283.04
11	1	1	0
12	1	1	0
13	1	1	0
14	1	1	0
15	1	1	0
16	1	1	0
17	1	1	0
18	1	1	0
19	1	1	0
20	1	1	0
21	1	1	0
22	1	1	0
1	2	1	0
2	2	1	323.88
3	2	1	313.91
4	2	1	302.49
5	2	1	287.69
6	2	1	280.49
7	2	1	282.37
8	2	1	278.37
9	2	1	296.99
10	2	1	312.14
11	2	1	331.51
12	2	1	335.31
13	2	1	348.54
14	2	1	352.05
15	2	1	361.61
16	2	1	376.09
17	2	1	392.42
18	2	1	386.25
19	2	1	0
20	2	1	0
21	2	1	0
22	2	1	0
1	3	1	0
2	3	1	356.63
3	3	1	339.48
4	3	1	331.56
5	3	1	330.87
6	3	1	313.88
7	3	1	308.76
8	3	1	322.67
9	3	1	324.1
10	3	1	336.16
11	3	1	349.67
12	3	1	362.9
13	3	1	382.24
14	3	1	385.73
15	3	1	396.82
16	3	1	400.68
17	3	1	423.74
18	3	1	437.92
19			
20			

21	3	1	0
22	3	1	0
1	4	1	0
2	4	1	390.01
3	4	1	365.53
4	4	1	348.47
5	4	1	344.31
6	4	1	337.11
7	4	1	328.3
8	4	1	331.7
9	4	1	342.95
10	4	1	360.22
11	4	1	377.59
12	4	1	398.5
13	4	1	401.86
14	4	1	405.06
15	4	1	414.64
16	4	1	421.99
17	4	1	454.95
18	4	1	470.86
19	4	1	0
20	4	1	0
21	4	1	0
22	4	1	0
1	5	1	467.97
2	5	1	419.16
3	5	1	385.35
4	5	1	375.42
5	5	1	361.83
6	5	1	353.03
7	5	1	349.68
8	5	1	343.76
9	5	1	342.01
10	5	1	365.11
11	5	1	384.65
12	5	1	396.05
13	5	1	400.26
14	5	1	399.99
15	5	1	414.88
16	5	1	419.68
17	5	1	432.91
18	5	1	465.24
19	5	1	498.26
20	5	1	508.07
21	5	1	495.63
22	5	1	0
1	6	1	483.65
2	6	1	440.47
3	6	1	402.58
4	6	1	390.43
5	6	1	390.59
6	6	1	380.42
7	6	1	363.77
8	6	1	373.88
9	6	1	366.17
10	6	1	384.19
11	6	1	386.34
12	6	1	389.57
13	6	1	402.22
14	6	1	409.96
15	6	1	402.39
16	6	1	406.78
17	6	1	423.33
18	6	1	436.51
19	6	1	443.79
20	6	1	457.87
21	6	1	461.7
22	6	1	0
1	7	1	468.59
2	7	1	442.71
3	7	1	423.43

4 7 1 418.42
5 7 1 408.93
6 7 1 385.76
7 7 1 377.29
8 7 1 385.6
9 7 1 399.88
10 7 1 392.76
11 7 1 402.73
12 7 1 395.6
13 7 1 399.08
14 7 1 395.88
15 7 1 404.31
16 7 1 405.74
17 7 1 420.49
18 7 1 430.96
19 7 1 430.9
20 7 1 434.57
21 7 1 441.87
22 7 1 0
1 8 1 446.36
2 8 1 451.22
3 8 1 404.16
4 8 1 397.29
5 8 1 383.34
6 8 1 385.23
7 8 1 373.43
8 8 1 355.81
9 8 1 351.5
10 8 1 368.52
11 8 1 0
12 8 1 382.55
13 8 1 382.37
14 8 1 385.85
15 8 1 399.14
16 8 1 405.23
17 8 1 407.39
18 8 1 404.23
19 8 1 397.69
20 8 1 418.63
21 8 1 420.66
22 8 1 0
1 9 1 397.31
2 9 1 399.41
3 9 1 382.03
4 9 1 378.23
5 9 1 349.61
6 9 1 0
7 9 1 0
8 9 1 0
9 9 1 0
10 9 1 0
11 9 1 0
12 9 1 0
13 9 1 384.43
14 9 1 387.65
15 9 1 390.14
16 9 1 390.54
17 9 1 397.26
18 9 1 398.3
19 9 1 384
20 9 1 391.68
21 9 1 396.41
22 9 1 0
1 10 1 365.32
2 10 1 373.4
3 10 1 0
4 10 1 0
5 10 1 0
6 10 1 0
7 10 1 0
8 10 1 0

9	10	1	0
10	10	1	0
11	10	1	0
12	10	1	0
13	10	1	0
14	10	1	0
15	10	1	0
16	10	1	383.15
17	10	1	372.17
18	10	1	373.51
19	10	1	361.3
20	10	1	375.04
21	10	1	387.55
22	10	1	0

1	1	2	0
2	1	2	1.75
3	1	2	1.76
4	1	2	1.57
5	1	2	2.14
6	1	2	2
7	1	2	1.46
8	1	2	2.04
9	1	2	2.3

10	1	2	2.58
11	1	2	0
12	1	2	0
13	1	2	0
14	1	2	0
15	1	2	0
16	1	2	0
17	1	2	0
18	1	2	0
19	1	2	0
20	1	2	0
21	1	2	0
22	1	2	0

1	2	2	0
2	2	2	2.2
3	2	2	2.19
4	2	2	2.44
5	2	2	2.13
6	2	2	1.81
7	2	2	1.62
8	2	2	2.66
9	2	2	2.68

10	2	2	3.24
11	2	2	3.19
12	2	2	1.9
13	2	2	2.29
14	2	2	3.12
15	2	2	3.48
16	2	2	6.92
17	2	2	4.05
18	2	2	5.26
19	2	2	0
20	2	2	0
21	2	2	0
22	2	2	0

1	3	2	0
2	3	2	3.58
3	3	2	3.2
4	3	2	2.52
5	3	2	2
6	3	2	2.15
7	3	2	1.74
8	3	2	1.4
9	3	2	2.27
10	3	2	2.52
11	3	2	2.59
12	3	2	2.67
13	3	2	3.11

14	3	2	4.06
15	3	2	3.71
16	3	2	3.8
17	3	2	3.46
18	3	2	4.65
19	3	2	0
20	3	2	0
21	3	2	0
22	3	2	0
1	4	2	0
2	4	2	5.09
3	4	2	2.95
4	4	2	2.72
5	4	2	1.64
6	4	2	1.56
7	4	2	1.41
8	4	2	1.79
9	4	2	2.13
10	4	2	2.29
11	4	2	2.58
12	4	2	2.91
13	4	2	3.03
14	4	2	2.11
15	4	2	3.58
16	4	2	2.79
17	4	2	3.34
18	4	2	6.17
19	4	2	0
20	4	2	0
21	4	2	0
22	4	2	0
1	5	2	10.27
2	5	2	5.14
3	5	2	2.45
4	5	2	1.83
5	5	2	1.52
6	5	2	1.9
7	5	2	1.61
8	5	2	1.72
9	5	2	2.07
10	5	2	2.39
11	5	2	2.03
12	5	2	2.19
13	5	2	1.9
14	5	2	1.53
15	5	2	2.19
16	5	2	1.31
17	5	2	1.83
18	5	2	3.36
19	5	2	5.01
20	5	2	7.84
21	5	2	5.05
22	5	2	0
1	6	2	8.36
2	6	2	6.26
3	6	2	2.47
4	6	2	1.67
5	6	2	2.11
6	6	2	3
7	6	2	2.69
8	6	2	2.17
9	6	2	2.23
10	6	2	2.13
11	6	2	2.51
12	6	2	1.81
13	6	2	2.3
14	6	2	2.1
15	6	2	.96
16	6	2	1.19
17	6	2	1.43
18	6	2	1.34

19	6	2	2.16
20	6	2	3.14
21	6	2	3.21
22	6	2	0
1	7	2	7.35
2	7	2	4.81
3	7	2	2.81
4	7	2	4
5	7	2	2.41
6	7	2	1.91
7	7	2	2
8	7	2	1.91
9	7	2	1.86
10	7	2	1.13
11	7	2	1.66
12	7	2	1.05
13	7	2	1.26
14	7	2	1.05
15	7	2	.79
16	7	2	.76
17	7	2	1.23
18	7	2	1.27
19	7	2	2.26
20	7	2	.88
21	7	2	1.58
22	7	2	0
1	8	2	5.51
2	8	2	3.8
3	8	2	2.12
4	8	2	3.05
5	8	2	3.43
6	8	2	3.82
7	8	2	3.95
8	8	2	2.61
9	8	2	2.34
10	8	2	3.3
11	8	2	0
12	8	2	1.58
13	8	2	.94
14	8	2	.97
15	8	2	1.09
16	8	2	1.08
17	8	2	1.15
18	8	2	.72
19	8	2	1.53
20	8	2	2.26
21	8	2	1.77
22	8	2	0
1	9	2	4.86
2	9	2	3.43
3	9	2	3.53
4	9	2	5.66
5	9	2	6.47
6	9	2	0
7	9	2	0
8	9	2	0
9	9	2	0
10	9	2	0
11	9	2	0
12	9	2	0
13	9	2	.7
14	9	2	.84
15	9	2	1.07
16	9	2	.94
17	9	2	1.11
18	9	2	.74
19	9	2	1.7
20	9	2	1.41
21	9	2	2.57
22	9	2	0
1	10	2	4.32

2	10	2	3.49
3	10	2	0
4	10	2	0
5	10	2	0
6	10	2	0
7	10	2	0
8	10	2	0
9	10	2	0
10	10	2	0
11	10	2	0
12	10	2	0
13	10	2	0
14	10	2	0
15	10	2	0
16	10	2	2.14
17	10	2	1.6
18	10	2	1.11
19	10	2	1.89
20	10	2	1.38
21	10	2	.8
22	10	2	0

ESTOS VALORES SE HAN GRABADO EN EL FICHERO CTLCC